

ANT S.r.l.



CODE CODICE

C23ANTW001A019R00

PAGE

1 di/of 209

Regione Sardegna

Provincia di Sassari

Comune di Sant'Antonio di Gallura

“Impianto eolico di potenza nominale pari a 59,4 MW integrato con un sistema di accumulo di potenza nominale pari a 11,88 MW da realizzarsi nel Comune di Sant'Antonio di Gallura”

RELAZIONE GEOTECNICA

Il Tecnico

Ing. Leonardo Sblendido

File:C23ANTW001A001R00_Relazione geotecnica

REV.	DATE	DESCRIPTION	PREPARED	VERIFIED	APPROVED
00	16/10/2023	Prima Emissione	S. Khan	D. Morelli	L. Sblendido

ANT S.r.l.		CODE CODICE C23ANTW001A019R00
		PAGE 2 di/of 209

INDICE

1. PREMESSA	4
1.1. GENERALITA'	4
1.2. DESCRIZIONE GENERALE DELL'IMPIANTO	4
1.3. SCOPO DEL LAVORO E METODOLOGIE DI INDAGINE	5
1.4. RACCOMANDAZIONI E NORMATIVE TECNICHE	5
2. INQUADRAMENTO GEOGRAFICO E CARTOGRAFICO	7
3. INQUADRAMENTO GEOLOGICO	8
3.1 INQUADRAMENTO GEOLOGICO - STRUTTURALE GENERALE	8
3.2 ASSETTO GEOLOGICO-STRATIGRAFICO LOCALE	14
4. INDAGINI GEOGNOSTICHE	18
5. CARATTERISTICHE SISMICHE GENERALI	18
5.1. SISMICITA' E TETTONICA ATTIVA	18
5.1.1. LE SORGENTI SISMOGENETICHE	19
5.1.2. ITHACA - DATABASE DELLE FAGLIE CAPACI	20
5.2. MACROZONAZIONE SISMICA - PERICOLOSITA' SISMICA DI BASE	21
6. LIQUEFAZIONE	22
7. CATEGORIA DI SOTTOSUOLO	23
8. CATEGORIA TOPOGRAFICA	25
9. LITOSTRATIGRAFIA LOCALE E CARATTERIZZAZIONE GEOTECNICA	26
10. RELAZIONE DI CALCOLO	27
10.1. PARAMETRI DI PROGETTO	27
10.2. QUADRO NORMATIVO DI RIFERIMENTO ADOTTATO	27
10.3. AZIONI DI PROGETTO SULLA COSTRUZIONE	27
10.4. MODELLO NUMERICO	28
10.4.1. TIPO DI ANALISI STRUTTURALE	28
10.4.2. INFORMAZIONI SUL CODICE DI CALCOLO	29
10.5. COMBINAZIONI E/O PERCORSI DI CARICO	30
11. NORMATIVA DI RIFERIMENTO	32
12. CARICO LIMITE DI FONDAZIONI SUPERFICIALI SU TERRENI	36
13. CARICO LIMITE DI FONDAZIONI SUPERFICIALI SU ROCCIA	43
14. VERIFICA A ROTTURA PER SCORRIMENTO DI FONDAZIONI SUPERFICIALI	45
15. DETERMINAZIONE DELLE TENSIONI INDOTTE NEL TERRENO	46
16. CALCOLO DEI CEDIMENTI DELLA FONDAZIONE	48

ANT S.r.l.		<i>CODE CODICE</i> C23ANTW001A019R00
		<i>PAGE</i> 3 di/of 209

17.	SIMBOLOGIA ADOTTATA NEI TABULATI DI CALCOLO	50
18.	PARAMETRI DI CALCOLO	54
19.	DATI GEOMETRICI DEGLI ELEMENTI COSTITUENTI LE FONDAZIONI SUPERFICIALI	57
19.1.	LEGENDA TABELLA DATI GEOMETRICI	57
20.	DATI DI CARICO DEGLI ELEMENTI COSTITUENTI LE FONDAZIONI SUPERFICIALI	73
20.1.	LEGENDA TABELLA CARICHI DEGLI ELEMENTI	73
21.	VALORI DI CALCOLO DELLA PORTANZA PER FONDAZIONI SUPERFICIALI	76
21.1.	LEGENDA TABELLA DATI MATERIALI	76
22.	VALORI DI CALCOLO DELLO SCORRIMENTO	80
22.1.	SCORRIMENTO LONGITUDINALE	80
	22.1.1. LEGENDA TABELLA VERIFICHE ELEMENTI	80
22.2.	SCORRIMENTO TRASVERSALE.....	81
	22.2.1. LEGENDA TABELLA VERIFICHE ELEMENTI	81
23.	VALORI DI CALCOLO DEI CEDIMENTI PER FONDAZIONI SUPERFICIALI	84
23.1.	LEGENDA TABELLA VERIFICHE ELEMENTI	84
24.	CONCLUSIONI.....	209

ANT S.r.l.		<i>CODE CODICE</i> C23ANTW001A019R00
		<i>PAGE</i> 4 di/of 209

1. PREMESSA

1.1. GENERALITA'

La presente relazione ha lo scopo di illustrare le caratteristiche geotecniche dell'area dell'impianto eolico proposto dalla Società ANT S.r.l., costituito da nove (9) aerogeneratori di potenza nominale unitaria pari a 6,6 MW, per una potenza nominale complessiva pari a 59,4 MW, a cui si integrano un sistema di accumulo di 11,88 MW e le relative opere di connessione alla RTN, nonché di fornire le prime verifiche geotecniche.

L'energia elettrica prodotta, riferita alla potenza di 71,28 MW, sarà convogliata dall'impianto, mediante cavi interrati di tensione 30 kV (MT), ad una Sottostazione Elettrica 150/30 kV e successivamente, in conformità alla Soluzione Tecnica Minima Generale (STMG) rilasciata da TERNA S.p.A., (Codice Pratica: 202301817), l'impianto sarà collegato alla Rete di Trasmissione (RTN) antenna a 150 kV su una nuova Stazione Elettrica (SE) di trasformazione a 380/150/36 kV da collegare tramite un nuovo elettrodotto a 380 kV al futuro ampliamento della SE RTN di Codrongianos e da raccordare alla linea 150 kV della RTN "Olbia – Siniscola 2".

L'energia elettrica prodotta dall'impianto nel Comune di S. Antonio di Gallura in provincia di Sassari, Sardegna, concorrerà al raggiungimento dell'obiettivo di incrementare la produzione di energia

In fase esecutiva, le ipotesi e le prescrizioni contenute nella presente relazione dovranno essere necessariamente verificate. Se il confronto tra i dati forniti dalla presente relazione e quelli provenienti da osservazioni dirette dovesse evidenziare differenze sostanziali, nel pieno rispetto del D.M. 17/01/2018, le indagini dovranno essere necessariamente integrate e le opere adeguate alle eventuali criticità riscontrate.

1.2. DESCRIZIONE GENERALE DELL'IMPIANTO

Il parco eolico è costituito da nove (9) aerogeneratori e relative opere di connessione e interessa il comune di S. Antonio di Gallura in provincia di Sassari.

L'impianto, proposto in aree distanti da centri abitati, si sviluppa altimetricamente tra le quote comprese fra i 398 m s.l.m. (WTG 2) e i 449 m s.l.m. (WTG 6).

Il progetto nel suo insieme prevede la realizzazione di:

- fondazioni degli aerogeneratori;
- piazzole di montaggio e manutenzione per ogni singolo aerogeneratore;
- viabilità interna di impianto per consentire l'accesso alle singole piazzole sia per le fasi di cantiere che per le fasi di manutenzione;
- eventuale adeguamento della viabilità esistente interna all'area di impianto per consentire

ANT S.r.l.		<i>CODE CODICE</i> C23ANTW001A019R00
		<i>PAGE</i> 5 di/of 209

la trasportabilità delle componenti;

- elettrodotti MT (30 kV) interrati interni all'impianto di connessione tra i singoli aerogeneratori e di veicolazione dell'energia prodotta dall'intero parco eolico SSE
- opere di connessione alla RTN (compresa la Sottostazione elettrica e 150/30 kV);
- sistema di accumulo BESS.

Le coordinate degli aerogeneratori costituenti l'impianto, della cabina di raccolta e della Sottostazione di nuova realizzazione, espresse nel sistema di riferimento UTM-WGS84 (fuso 32), risultano:

<u>COMUNE</u>	<u>WTG</u>	<u>FOGLIO</u>	<u>PARTICELLA</u>	<u>UTM-WGS84 32N</u>	
				<u>EST</u>	<u>NORD</u>
Sant'Antonio di Gallura (sez. A)	1	18	85	529015,3	4536357,18
	2	18	79	528257,79	4536207,21
	3	18	10	527766,74	4535830,92
	4	18	49	528541	4535569,49
	5	18	138	527693,4	4535357,61
	6	18	105	528358,94	4535105,59
	7	18	47	527915,45	4534713,83
	8	17	103	526943,17	4535124,44
	9	17	106	526858,93	4534585,29
	SSE-BESS	26	378	525098.00	4533246.70

Tabella 1: Coordinate degli aerogeneratori.

1.3. SCOPO DEL LAVORO E METODOLOGIE DI INDAGINE

L'obiettivo del lavoro è stato quello di fornire un modello geologico-tecnico di prima approssimazione dell'area; in particolare, lo studio è stato impostato seguendo quelle che sono le direttive ministeriali e regionali, allo scopo di:

Nella presente fase progettuale non vengono definite in maniera dettagliata le caratteristiche geometriche e geotecniche dei litotipi, dato che sarà approfondito nella successiva fase di progetto mediante una adeguata campagna di indagini geognostiche.

1.4. RACCOMANDAZIONI E NORMATIVE TECNICHE

La presente relazione e gli studi ad essa associati sono redatti in conformità a quanto previsto dalla normativa tecnica, fra cui di seguito sono elencati i principali riferimenti:

- ✓ Decreto Ministero dei Lavori Pubblici n. 47 (11 marzo 1988) "Norme tecniche riguardanti le indagini sui terreni e sulle rocce, la stabilità dei pendii naturali e delle

ANT S.r.l.		CODE CODICE C23ANTW001A019R00
		PAGE 6 di/of 209

scarpate, i criteri generali e le prescrizioni per la progettazione, l'esecuzione ed il collaudo delle opere di sostegno delle terre e delle opere di fondazione"

- ✓ Circolare Min. LL.PP: 24 settembre 1988 n° 30483: "Istruzioni riguardanti le indagini sui terreni e sulle rocce, la stabilità dei pendii naturali e delle scarpate, i criteri generali e le prescrizioni per la progettazione, l'esecuzione ed il collaudo delle opere di sostegno delle terre e delle opere di fondazione".
- ✓ Eurocodice 8 – Indicazioni progettuali per la resistenza sismica delle strutture. Parte 5: Fondazioni, Strutture di contenimento ed Aspetti geotecnici (1998).
- ✓ Circolare Ministero Lavori Pubblici 24 settembre 1988 n.30483 "Norme tecniche riguardanti le indagini sui terreni e sulle rocce, la stabilità dei pendii naturali e delle scarpate, i criteri generali e le prescrizioni per la progettazione, l'esecuzione e il collaudo delle opere di sostegno delle terre e delle opere di fondazione. Istruzioni per l'applicazione". (Pres. Cons. Superiore — Servizio Tecnico Centrale).
- ✓ D.P.R 6 giugno 2001 n. 380: "Testo unico delle disposizioni legislative e regolamentari in materia edilizia";
- ✓ Ordinanza del Presidente del Consiglio dei Ministri del 20 marzo 2003 "Primi elementi in materia di criteri generali per la classificazione sismica del territorio nazionale e di normative tecniche per le costruzioni in zona sismica (ordinanza n. 3274 – Allegati 1, 2 e 3);
- ✓ Nuove Norme Tecniche per le Costruzioni di cui al DM 14/01/2008 pubblicate sulla G.U. n° 29 del 04.02.2008;
- ✓ Istruzioni per l'applicazione delle "Nuove Norme Tecniche per le Costruzioni" di cui al DM 14/01/2008. Circolare 02/02/2009 n° 617 C.S.LL.PP;
- ✓ O.P.C.M. 13/11/2010 n. 3907: "Contributi per gli interventi di prevenzione del rischio sismico";
- ✓ DM 17/01/2018: Aggiornamento delle Norme tecniche per le costruzioni;

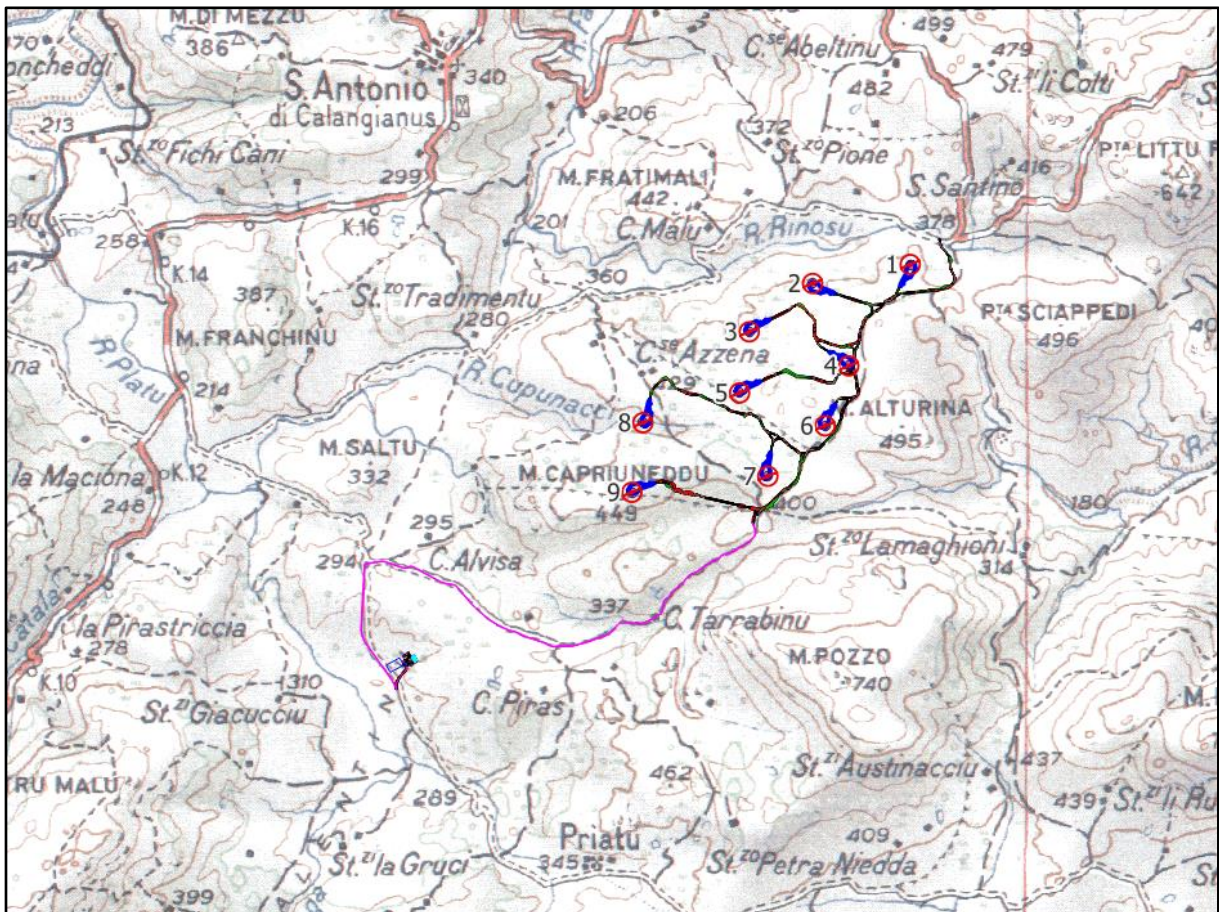
È necessario ricordare che le norme stesse tengono conto del fatto che la fase di progetto non è sufficiente per definire nei dettagli la reale situazione geologico-tecnica. È necessario pertanto che, in base a quanto disposto dalle norme medesime, sia da eseguirsi, in relazione alle esigenze della fase costruttiva, il controllo delle ipotesi di progetto attraverso i dati ottenuti con verifiche nel corso dei lavori, adottando il cosiddetto "Metodo Osservazionale", volto al controllo e all'eventuale modifica di quelle variabili di progetto sensibili alle caratteristiche geologiche e geotecniche effettivamente riscontrate.

2. INQUADRAMENTO GEOGRAFICO E CARTOGRAFICO

L'area oggetto del presente studio ricade integralmente nel territorio comunale di Sant'Antonio di Gallura, alle località Macchia di Campi e Paparu, e le aree sono comprese fra le quote 400 e 450 m circa s.l.m.

I centri abitati più prossimi alle aree di impianto sono quelli di Sant'Antonio di Gallura (2,9 km circa a nord-ovest) e di Priatu, frazione del medesimo comune, posto circa 2,8 km a sud.

Di seguito si riporta un inquadramento generale del layout di progetto.



WTG

— Piazzole

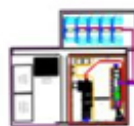
— Cavidotto

— Viabilità interna

□ Stazione di nuova realizzazione

■ Scavi

■ Riporti



SSE

Figura 1: Inquadramento territoriale (non in scala) dell'area di impianto e del cavidotto su base Carta Topografica d'Italia in scala 1:100.000, da GeoPortale Nazionale.

ANT S.r.l.		<i>CODE CODICE</i> C23ANTW001A019R00
		<i>PAGE</i> 8 di/of 209

3. INQUADRAMENTO GEOLOGICO

3.1 INQUADRAMENTO GEOLOGICO – STRUTTURALE GENERALE

L'inquadramento geologico che qui segue riprende largamente quanto riportato nelle note illustrative del Foglio Geologico CarG 443, "Tempio Pausania", che comprende parte dell'impianto e le cui note descrivono anche il quadro generale dell'area.

La Sardegna è usualmente divisa in tre complessi: il basamento metamorfico ercinico, il complesso intrusivo tardo-ercinico, le coperture sedimentarie e vulcaniche tardo-erciniche, mesozoiche e cenozoiche.

Il basamento sardo è un segmento della catena ercinica sud-europea, considerata una catena collisionale, con subduzione di crosta oceanica e metamorfismo di alta pressione a partire dal Siluriano, e collisione continentale con importante ispessimento crostale, metamorfismo e magmatismo durante il Devoniano e il carbonifero. In Sardegna la geometria collisionale della catena ercinica è ancora ben riconoscibile. Secondo alcuni autori il margine armoricano sovrascorso è rappresentato dal complesso metamorfico di alto grado che affiora nella Sardegna settentrionale, mentre il margine del Gondwana subdotto è rappresentato da un complesso metamorfico di basso e medio grado, a sua volta suddiviso in Falde interne e Falde esterne, che affiora nella Sardegna centrale e sud-orientale. I due complessi sono separati dalla Linea Posada-Asinara, lungo la quale si rinvengono relitti di crosta oceanica.

Alla strutturazione collisionale segue nel tardo-ercinico un'evoluzione caratterizzata da: collasso gravitativo della catena, metamorfismo di alto T/P, messa in posto delle plutoniti che formano il Batolite sardo-corso.

Dopo l'Orogenesi ercinica altri settori di crosta sono stati incorporati nella catena pirenaica, nelle Alpi e nell'Appennino, mentre il settore di crosta che attualmente costituisce il Blocco sardo-corso non è stato coinvolto in eventi orogenici di qualche rilevanza. Le deformazioni più importanti sono di carattere trascorrente e si manifestano tra l'Oligocene ed il Miocene.

La successione stratigrafica attualmente riconosciuta parte dal Mesozoico e tali successioni appartengono alla piattaforma connessa con l'evoluzione del margine passivo sud-europeo, costituita prevalentemente da calcari e da dolomie. I depositi più diffusi, riferiti al Terziario, sono rappresentati da vulcaniti e da sedimenti clastici e carbonatici. Le vulcaniti sono costituite da lave andesitiche alternate a flussi piroclastici saldati e non saldati a chimismo riolitico e riodacitico.

Nella Carta Geologica della Sardegna in scala 1:200.000 a cura del Comitato per il Coordinamento della Cartografia Geologica e Geotematica della Sardegna (edizione 1996) l'area rientra nell'area del Basamento Ercinico, Complesso Plutonico del Carbonifero superiore – Permiano (26-leucograniti equigranulari e 30-Granodioriti e monzograniti equigranulari).

I complessi plutonici sono attraversati da cortei filoniani a chimismo variabile, ma con una generale

orientazione sud-ovest – nord-est.

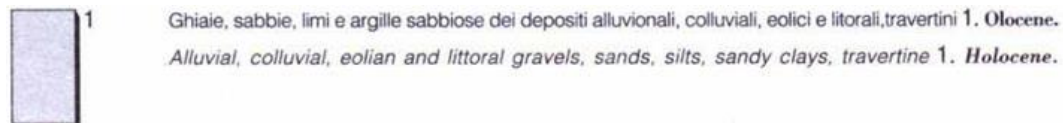
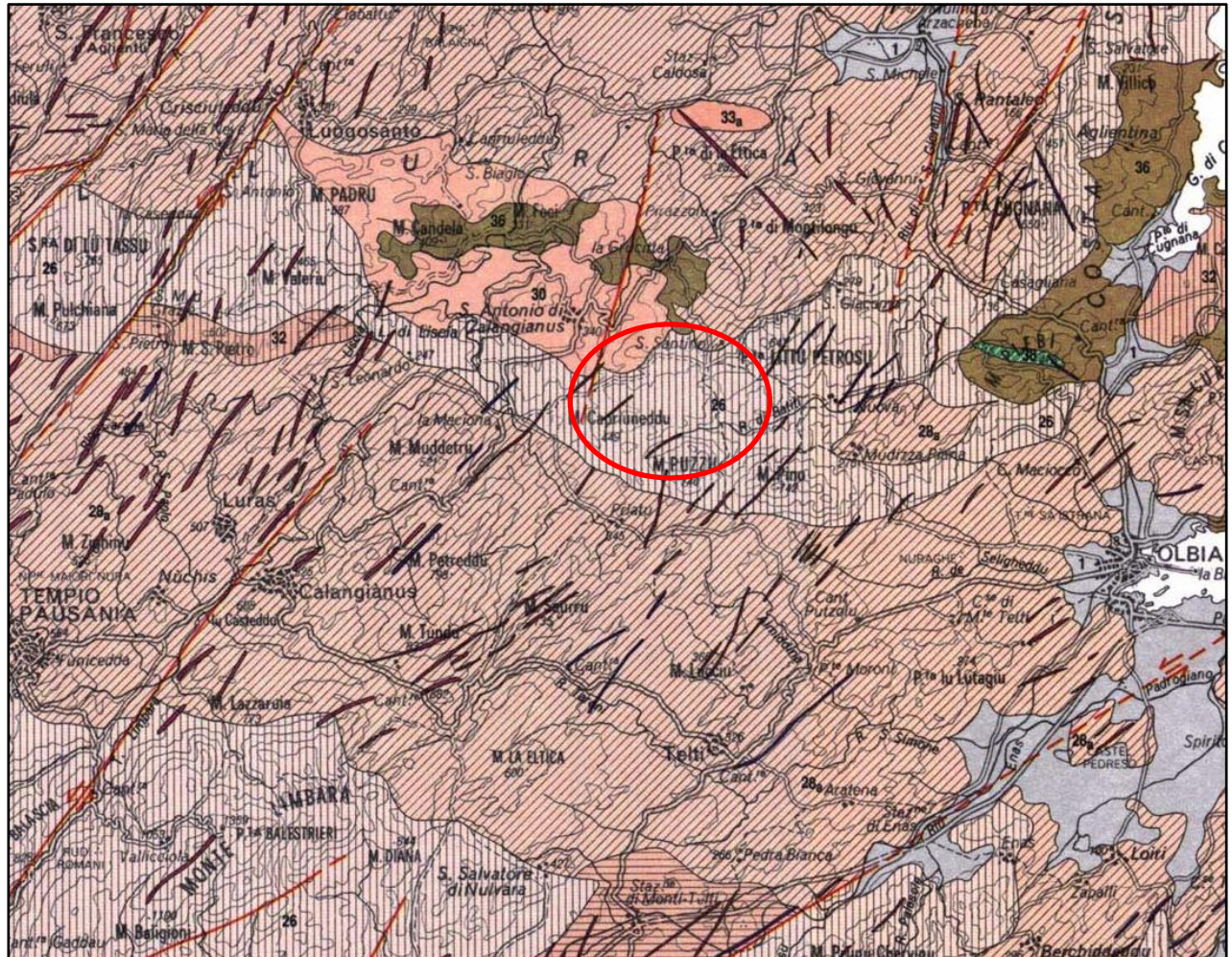


Figura 2: Carta geologica della Sardegna in scala 1:200.000 e legenda rappresentante ghiaie, sabbie, limi e argille dei depositi alluvionali, colluviali, eolici e litorali, travertini posti a sud-est e nord-est della carta; Comitato per il Coordinamento della Cartografia Geologica e Geotecnica della Sardegna (1996).



Area di interesse

BASAMENTO ERCINICO

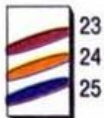
HERCYNIAN BASEMENT

COMPLESSO INTRUSIVO

INTRUSIVE COMPLEX

Complesso filoniano del Carbonifero sup. - Permiano

Upper Carboniferous - Permian dyke complex



Principali filoni di porfidi granitici e ammassi di micrograniti, principali filoni aplitici e pegmatitici (Sarrabus; Ogliastra; Gallura; etc.) 23.

Principali filoni di quarzo (Sulcis; etc.) 24.

Principali corpi filoniani a composizione prevalentemente basaltica, ad affinità calcalcalina e subordinatamente shoshonitica (Baronie; etc.) 25.

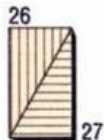
Main porphyritic-microgranite dykes, microgranite domes, aplitic and pegmatic dykes (Sarrabus; Ogliastra; Gallura; etc.) 23.

Main quartz dykes (Sulcis; etc.) 24.

Main calcalcaline and shoshonitic basaltic dykes (Baronie; etc.) 25.

Complesso plutonico del Carbonifero sup. - Permiano

Upper Carbonifous - Permian plutonic complex



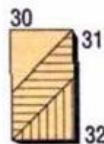
Leucograniti equigranulari (Gallura: Limbara; Sarrabus: Rio Picocca, San Vito; Sulcis), etc. 26.
Leucograniti a Grt (Baronie: P.ta Tepilora), etc. 27.

Equigranular leucogranites (Gallura: Limbara; Sarrabus: Rio Picocca, San Vito; Sulcis), etc. 26.
Grt bearing leucogranites (Baronie: P.ta Tepilora), etc. 27.



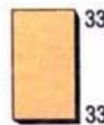
Monzograniti equigranulari (Goceano: Buddusò, Bortamelone; Gallura: Costa Paradiso), etc. 28_b.
Monzograniti inequigranulari (Gallura: Calangianus, Arzachena; Barbagia: Olzai), etc. 28_a.
Sieniti sodiche (Sarrabus: Villasimius) 29.

Equigranular monzogranites (Goceano: Buddusò, Bortamelone; Gallura: Costa Paradiso), etc. 28_b.
Inequigranular monzogranites (Gallura: Calangianus, Arzachena; Barbagia: Olzai), etc. 28_a.
Sieniti sodiche (Sarrabus: Villasimius) 29.



Granodioriti, monzogranitiche equigranulari (Marghine: Bolotana; Gallura: S. Antonio; Barbagia: Gavoi), etc. 30.
Granodioriti, monzogranitiche inequigranulari (Gallura: Monti; Barbagia: Orotelli), etc. 31.
Granodioriti tonalitiche (Barbagia: Mamoiada; Ogliastra: Villagrande; Goceano: Benetutti), etc. 32.

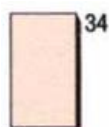
Equigranular monzogranitic granodiorites (Marghine: Bolotana; Gallura: S. Antonio; Barbagia: Gavoi), etc. 30.
Inequigranular monzogranitic granodiorites (Gallura: Monti; Barbagia: Orotelli), etc. 31.
Tonalitic granodiorites (Barbagia: Mamoiada; Ogliastra: Villagrande; Goceano: Benetutti), etc. 32.



Tonaliti (Goceano: Burgos, Serra d'Orotelli; Mandrolisai: Ortueri), etc. 33_b.
Gabbri e masse gabbro-tonalitiche (Gallura: P.ta Falcone, Bortigiadas; Goceano: Osidda; Sarrabus: Solanas), etc. 33_a.

Tonalites (Goceano: Burgos, Serra d'Orotelli; Mandrolisai: Ortueri), etc. 33_b.
Gabbroes and gabbro-tonalitic bodies (Gallura: P.ta Falcone, Bortigiadas; Goceano: Osidda; Sarrabus: Solanas), etc. 33_a.

ANT S.r.l.		CODE CODICE C23ANTW001A019R00
		PAGE 11 di/of 209



34

Granitoidi a Crd (Barbagia: Rio Isalle) **34**.
Crd-bearing granitoids (Barbagia: Rio Isalle) 34.



35

Granitoidi foliati, principalmente granodioriti tonalitiche fino a tonaliti (Goceano: Pattada; Gallura: Bortigiadas, N.ghe Ola; Baronia: M. Senes, etc.) **35**.
Foliated granitoids, mostly tonalitic granodiorites and tonalites (Goceano: Pattada; Gallura: Bortigiadas, N.ghe Ola; Baronia: M. Senes, etc) 35.

COMPLESSO MIGMATITICO ERCINICO *HERCYNIAN MIGMATITIC COMPLEX*



36

Migmatiti leucocratiche, nebuliti, agmatiti, gneiss, talora con lenti a silicati di calcio (Gallura: Golfo Aranci, Palau, Tarra Padedda; Baronia: Brunella, Straula; Asinara) **36**. ? **Precambriano**.
Leucocratic migmatites, nebulites, agmatites, gneisses, with calc-silicate lenses (Gallura: Golfo Aranci, Palau, Tarra Padedda; Baronia: Brunella, Straula; Asinara) 36. ? Precambrian.



37

Ortogneiss granodioritici e monzogranitici (Asinara; Baronia: Tanaunella, P. Ottiolu; Gallura: Valle del Liscia, Tarra Padedda) **37**. Anfiboliti e anfiboliti ultramafiche con relitti di paragenesi granulitiche, derivate da complessi basici stratificati (Gallura: M. giu Nieddu; Asinara: P. Scorno; etc.) **38**. ? **Precambriano**.

38

Granodioritic and monzogranitic orthogneisses (Asinara; Baronia: Tanaunella, P. Ottiolu; Gallura: Valle del Liscia, Tarra Padedda) 37. Amphibolites and ultramafic amphibolites with granulitic relics derived from layered basic complexes (Gallura: M. giu Nieddu; Asinara: P. Scorno; etc.) 38. ? Precambrian

Figura 3: Legenda della carta geologica della Sardegna rappresentante il Basamento Ercinico suddiviso in complesso intrusivo (complesso filoniano e complesso plutonico) e complesso migmatitico Ercinico; Comitato per il Coordinamento della Cartografia Geologica e Geotecnica della Sardegna (1996).

Nell'area del Foglio 443 "Tempio Pausania" affiorano diffusamente i termini del basamento paleozoico, che vengono distinti in Unità su base genetica e in base alla posizione tettono-strutturale.

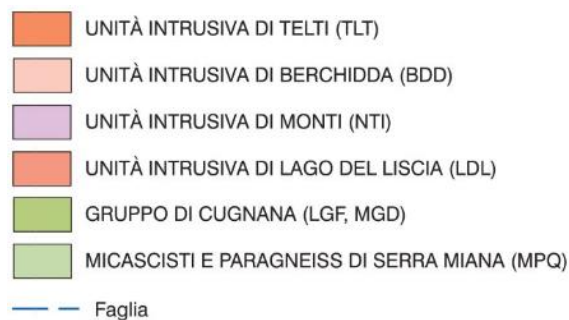
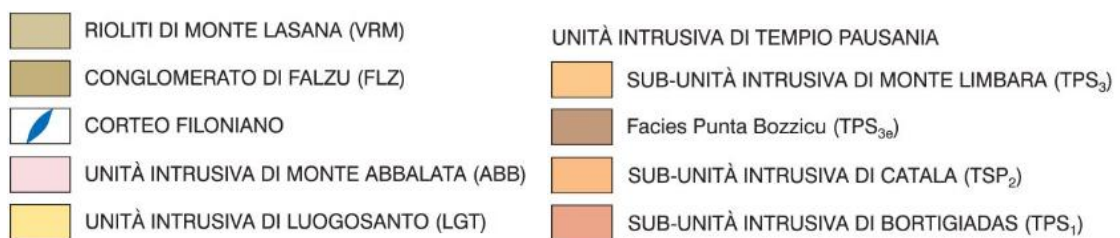
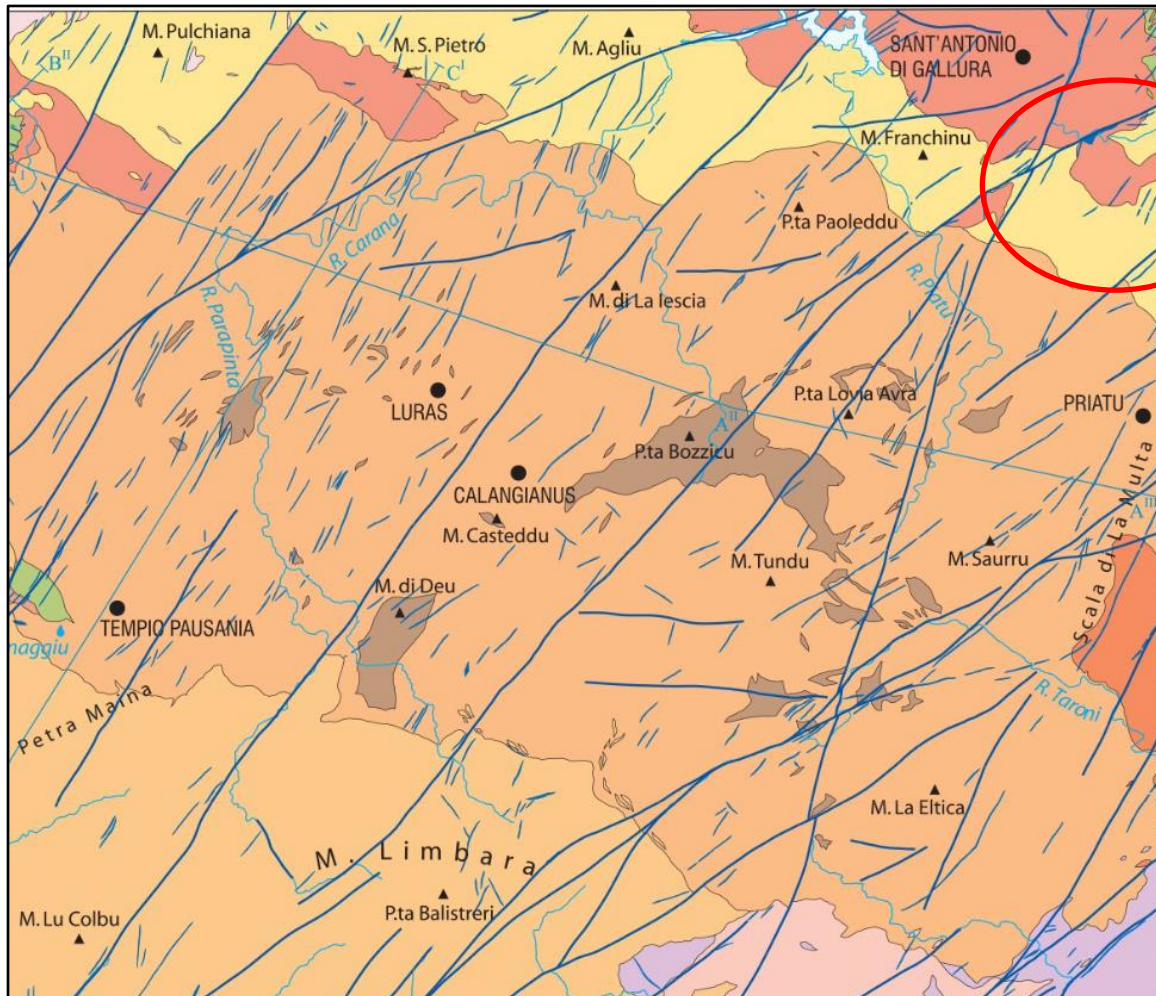


Figura 4: Foglio geologico CarG 1:50.000 “Tempio Pausania” che comprende parte dell’impianto (ellisse in rosso) e legenda annessa in cui vengono riportate le informazioni dell’area sulle Unità tettonostratigrafiche.

ANT S.r.l.		CODE CODICE C23ANTW001A019R00
		PAGE 13 di/of 209

Le unità tettonostratigrafiche di maggiore ordine gerarchico sono raggruppate secondo l'ordine stratigrafico, dal basso verso l'alto, in:

- Basamento metamorfico paleozoico;
- Corteo filoniano;
- Depositi quaternari dell'area continentale;

- **BASAMENTO METAMORFICO PALEOZOICO**

Le unità del basamento presenti nell'area di diretto interesse, distinte su base petrografica, e in un suo intorno sono le seguenti:

Complesso Granitoide della Gallura

- Unità Intrusiva di Luogosanto (facies Montiggiu Santu, facies Stazzo Vitedda, facies Monte Pulchiana, facies Monte Agliu, facies Monte Franchinu).
- Unità Intrusiva di Sant'Antonio di Gallura (facies Sant'Antonio di Gallura)
- Unità Intrusiva di Arzachena (Sub-Unità Intrusiva di Monte Tiana-Facies Arzachena, Facies San Pantaleo)
- Unità Intrusiva di Monte Limbara
 - Sub-unità Intrusiva di Monte Limbara (facies Monte La Eltica, facies Punta Bozzicu, facies Punta Balistreri, facies Vallicciola, facies Monte di Li Conchi, facies Monte San Giorgio)
 - Sub-unità intrusiva di Monte Catala (facies Punta Pauleddu, facies Punta Lovia Avra, facies di Monte La Jescia, facies Giacone, facies Rinaggiu, facies Riu Pedralzu)
 - Sub-unità intrusiva di Bortigiadas (facies Stazzo Spina, facies di Punta Capragia, facies San Pancrazio, facies di Punta Cuccaro Santu)

- **COMPLESSO METAMORFICO DI ALTO GRADO (COMPLESSO MIGMATITICO)**

Gruppo di Cugnana

- Diatessiti di Cala Capra (Migmatiti diatessitiche scistose)

- **CORTEO FILONIANO**

- Nel basamento cristallino è rappresentata la varietà di litotipi che caratterizzano il corteo filoniano tardo-paleozoico, con un ampio spettro compositivo e da rapporti complessi

ANT S.r.l.		CODE CODICE C23ANTW001A019R00
		PAGE 14 di/of 209

con le rocce incassanti. Sono presenti filoni di vario chimismo:

- **fb** – filoni basaltico-olivinici e trachibasaltici (filoni a composizione basica e serialità transizionali);
- **fr** – filoni riolitici (filoni e ammassi a composizione acida e serialità calcalcalina);
- **fq** – filoni idrotermali a quarzo prevalente.

- **DEPOSITI QUATERNARI DELL'AREA CONTINENTALE**

Si tratta di depositi di origine fluviale, in parte terrazzati, a granulometria molto variabile e di depositi di origine gravitativa, sia di tipo detritico, sia di tipo franoso in senso stretto, con questi ultimi nettamente subordinati rispetto a quelli detritici. I depositi di tipo alluvionale sono presenti anche nell'area di impianto e costituiscono i prodotti presenti in corrispondenza del reticolo idrografico. La granulometria è generalmente medio-fine, ma possono essere presenti anche elementi clastici di dimensione decimetrica. Vengono distinti:

- depositi antropici
- depositi alluvionali
- depositi eluvio-colluviali
- depositi di versante
- depositi alluvionali terrazzati
- depositi di frana

3.2 ASSETTO GEOLOGICO-STRATIGRAFICO LOCALE

Il dettaglio delle condizioni geologiche può essere desunto facilmente attraverso la sovrapposizione fra il layout di progetto e gli shapefile dei tematismi CarG disponibili nel Portale Cartografico della Regione Sardegna, dettagliando quindi le singole facies in cui sono suddivise le Unità Strutturali, come visibile nello stralcio che a seguire si riporta.

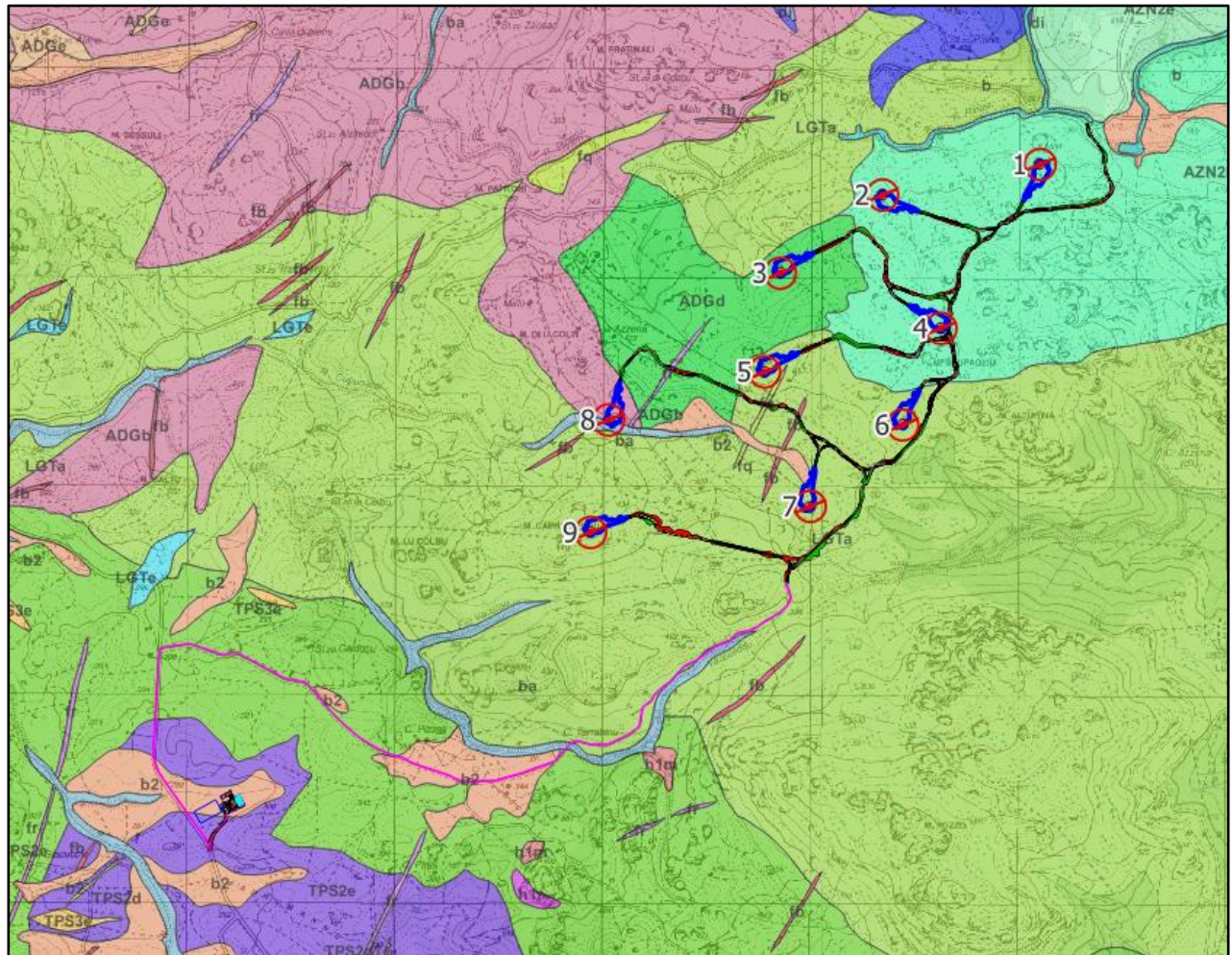


Figura 5: Carta Litologica (Fonte SITR Sardegna ed elaborazione in ambiente GIS).

b - Depositi alluvionali.

ba - Depositi alluvionali. Ghiaie da grossolane a medie.

fq - Filoni idrotermali a prevalente quarzo, spesso mineralizzati.

fb - Filoni basaltici porfirici di composizione basaltica olivinica e trachibasaltica.

Fr - Filoni e stocks di composizione dacitica e riodacitica.

LGTa - Facies Monte Franchinu (U. I. di Luogosanto). Monzograniti moderatamente inequigranulari.

ADGb - Facies S. Antonio di Gallura (U. I. di S. Antonio di Gallura). Granodioriti inequigranulari.

ADGd - Facies S. Maria delle Grazie (U. I. di S. Antonio di Gallura). Granodioriti monzogranitici equigranulari.

AZN2h - Facies San Pantaleo (SubU. I. Monte Tiana–U. I. di Arzachena). Leucomonzograniti biotitici equigranulari.

ANT S.r.l.		CODE CODICE C23ANTW001A019R00
		PAGE 16 di/of 209

Il contesto geologico dell'area d'impianto è caratterizzato dai seguenti terreni, distinti da quelli più recenti a quelli più antichi:

- **b**-Depositi alluvionali. *Olocene*
- **ba**-Depositi alluvionali. Ghiaie da grossolane a medie. *Olocene*
- **fq**-Filoni idrotermali a prevalente quarzo, spesso mineralizzati a barite e fluorite, talora anche con solfuri metallici (Pb, Zn, Cu, Fe, etc). *Carbonifero Sup. - Permiano*
- **fb**-Filoni basaltici a serialità transizionale, di composizione basaltica olivinica e trachibasaltica, a struttura porfirica per fenocristalli di Pl, Ol, Cpx, tessitura intersertaleofitica. *Carbonifero Sup. - Permiano*
- **fr**-Filoni e stocks di composizione dacitica e riodacitica, a serialità calcalcalina, a struttura da porfirica a microporfirica, talora granofirica, con fenocristalli di Qtz, Fsp, Bt e tessiture isotrope talora fluidali. *Carbonifero Sup. - Permiano*
- **LGTa** - Facies Monte Franchinu (Unità Intrusiva di Luogosanto). Monzograniti moderatamente inequigranulari, a tendenza leucocrata, con fenocristalli di Kfs fino a 1,5 cm. *Carbonifero Sup. - Permiano*
- **ADGb** - Facies S. Antonio di Gallura (Unità Intrusiva di S. Antonio di Gallura). Granodioriti inequigranulari, con fenocristalli di Kfs di taglia compresa fra 0,5 e 5 cm. *Carbonifero Sup. - Permiano*
- **ADGd** - Facies S. Maria delle Grazie (Unità Intrusiva di S. Antonio di Gallura). Granodioriti monzogranitiche equigranulari. *Carbonifero Sup. - Permiano*
- **AZN2h** - Facies San Pantaleo (Subunità intrusiva di Monte Tiana – Unità Intrusiva di Arzachena). Leucomonzograniti biotitici rosati equigranulari. *Carbonifero Sup. - Permiano*

Qui di seguito si riporta un dettaglio dell'area di impianto, per verificare i litotipi interessati dai principali interventi di progetto.

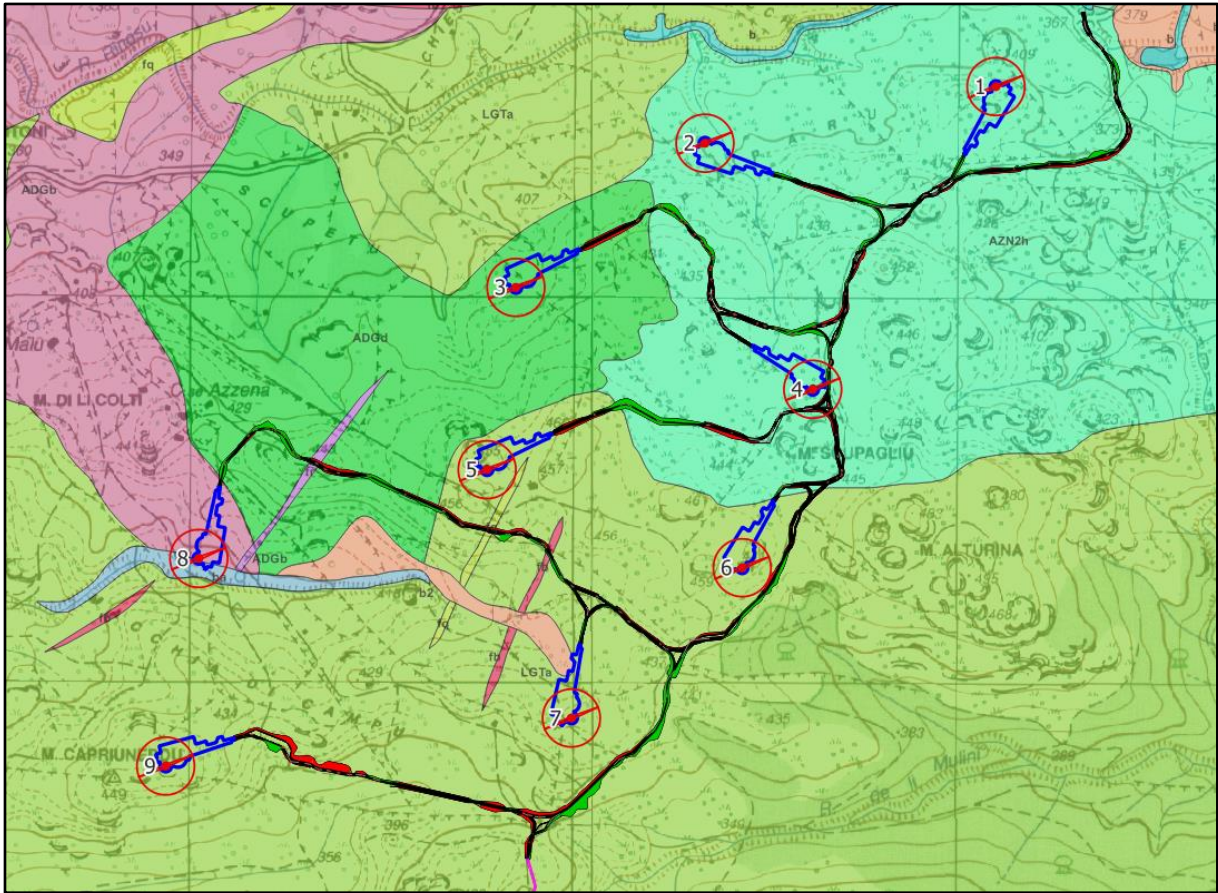


Figura 6: dettaglio delle caratteristiche geolitologiche delle aree di impianto: WTG3, 4, 5 – Facies di San Pantaleo

Facendo riferimento allo stralcio cartografico appena proposto, gli aerogeneratori e le relative piazzole ricadono nei seguenti contesti geologici:

- **WTG1** Facies Monte Franchinu (Unità Intrusiva di Luogosanto). Monzograniti moderatamente inequigranulari, a tendenza leucocrata, con fenocristalli di Kfs fino a 1,5 cm.
- **WTG2** Facies Monte Franchinu (Unità Intrusiva di Luogosanto). Monzograniti moderatamente inequigranulari, a tendenza leucocrata, con fenocristalli di Kfs fino a 1,5 cm.
- **WTG3** Facies San Pantaleo (Subunità intrusiva di Monte Tiana – Unità Intrusiva di Arzachena). Leucomonzograniti biotitici rosati equigranulari. Intera piazzola.
- **WTG4** Facies San Pantaleo (Subunità intrusiva di Monte Tiana – Unità Intrusiva di Arzachena). Leucomonzograniti biotitici rosati equigranulari. Intera piazzola.
- **WTG5** Facies Monte Franchinu (Unità Intrusiva di Luogosanto). Monzograniti moderatamente inequigranulari, a tendenza leucocrata, con fenocristalli di Kfs fino a 1,5

ANT S.r.l.		CODE CODICE C23ANTW001A019R00
		PAGE 18 di/of 209

cm. In parte sono presenti anche Filoni idrotermali a prevalente quarzo, spesso mineralizzati a barite e fluorite, talora anche con solfuri metallici (Pb, Zn, Cu, Fe, etc).

- **WTG6** Facies Di Santa Maria delle Grazie (Unità Intrusiva di Luogosanto). Monzograniti moderatamente inequigranulari, a tendenza leucocrata, con fenocristalli di Kfs fino a 1,5 cm. Intera piazzola.
- **WTG7** Facies Monte Franchinu (Unità Intrusiva di Sant'Antonio di Gallura). Monzograniti moderatamente inequigranulari, a tendenza leucocrata, con fenocristalli di Kfs fino a 1,5 cm. La piazzola oltre alla suddetta litologia ricade in piccola parte a circa 110 m a nord dello stesso aerogeneratore su coltri eluvio – colluviali.
- **WTG8** Facies S. Antonio di Gallura (Unità intrusiva di S. Antonio di Gallura). Granodioriti inequigranulari, con fenocristalli di Kfs di taglia compresa tra 0.5 e 5 cm. La piazzola oltre alla suddetta Facies ricade in piccola parte, sui depositi alluvionali con ghiaie da grossolane a medie.
- **WTG9** Facies Monte Franchinu (Unità Intrusiva di Luogosanto). Monzograniti moderatamente inequigranulari, a tendenza leucocrata, con fenocristalli di Kfs fino a 1,5 cm. Intera piazzola.

Da quanto riportato è quindi evidente che quasi tutte le piazzole, sono caratterizzati da terreni a carattere litoide, da semiduri a duri, per cui in fase di realizzazione degli scavi è da attendersi una forte resistenza all'escavazione. Tale fattispecie potrebbe necessitare dell'utilizzo di martelloni o altre attrezzature atte alla rottura di rocce di elevata resistenza. Per contrastare, tali terreni consentono l'adozione di tipologie di fondazione di tipo superficiale, date le grandi capacità di portanza. Per le piazzole dell'aerogeneratore WTG8, essendo caratterizzata da terreni a carattere litoide e in piccola parte da depositi alluvionali e coltri eluvio – colluviali, in fase di realizzazione è da attenersi una resistenza forte e localmente moderata, che potrebbe ingenerare cedimenti differenziali in fondazione.

4. INDAGINI GEOGNOSTICHE

Nella presente fase progettuale non sono disponibili indagini geognostiche, demandate alla fase successiva.

5. CARATTERISTICHE SISMICHE GENERALI

5.1. SISMICITA' E TETTONICA ATTIVA

ANT S.r.l.		CODE CODICE C23ANTW001A019R00
		PAGE 19 di/of 209

Come ampiamente noto la Sardegna è priva di sorgenti sismogenetiche note, con una sismicità storica pressoché assente, legata esclusivamente al risentimento locale di sismi a grande distanza.

5.1.1. LE SORGENTI SIMOGENETICHE

Il primo passo per la definizione dell'azione sismica è quella di individuare le "sorgenti sismiche capaci" caratterizzanti l'area di studio. Per il presente studio si è fatto riferimento al DISS 3.2.1 (Database of Potential Sources for Earthquakes larger than M 5.5 in Italy) che individua per l'area oggetto del presente studio le sorgenti sismogenetiche.

Dall'osservazione della cartografia su WebGis è possibile osservare che l'area sarda non è caratterizzata dalla presenza di sorgenti sismogenetiche; le sorgenti all'intorno sono posizionate a centinaia di chilometri e le più prossime sono **Northern Africa offshore East** (magnitudo massima 7,0), e la **Southern Tyrrhenian** (magnitudo massima 6,5), seguono quindi tutte le sorgenti sismogenetiche appenniniche e del Nordafrica. A causa della grande distanza nessuna di queste sorgenti è in grado di indurre deformazioni significative nel territorio o danni nel patrimonio antropico di qualche rilievo.

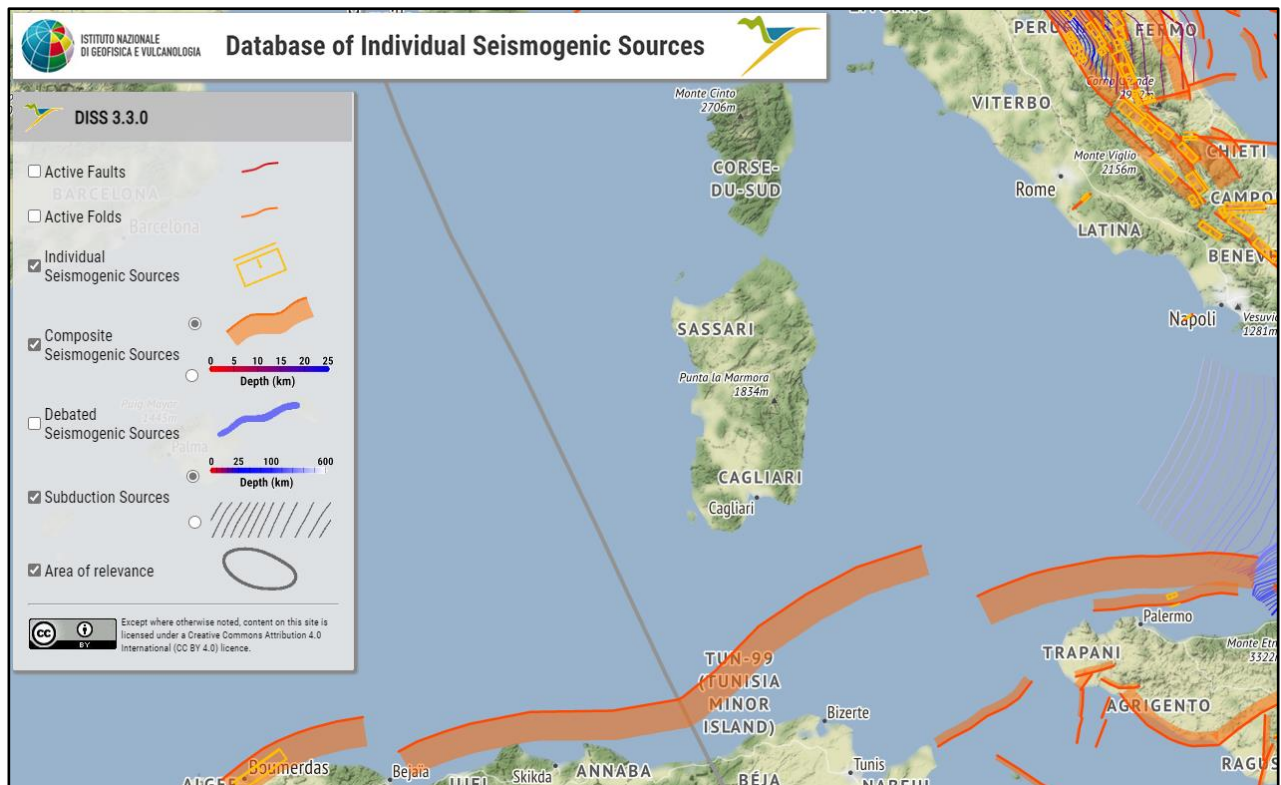


Figura 7: Le Sorgenti Sismogenetiche nell'intorno della Sardegna contenute nella nuova versione del "Database of Potential Sources for Earthquakes larger than M 5.5 in Italy"; per l'ubicazione dell'area in esame (progetto DISS 3.3.0. - [DISS - Mapper \(ingv.it\)](http://diiss-mapper.ingv.it)).

ANT S.r.l.		CODE CODICE C23ANTW001A019R00
		PAGE 20 di/of 209

5.1.2. ITHACA – DATABASE DELLE FAGLIE CAPACI

Il catalogo ITHACA (ITaly HAZard from CAPable faults) colleziona le informazioni disponibili sulle faglie capaci, cioè le faglie con attività almeno pleistocenica che potenzialmente possono creare deformazione tettonica permanente in superficie, che interessano il territorio italiano. ITHACA è uno strumento fondamentale per l'analisi di pericolosità ambientale e sismica, per la comprensione dell'evoluzione recente del paesaggio, per la pianificazione territoriale e per la gestione delle emergenze di Protezione Civile.

L'area di progetto non è interessata da faglie capaci, che in Sardegna sono presenti esclusivamente nella zona sud-occidentale e in particolare nel Campidano, come ben visibile nello stralcio riportato.



ANT S.r.l.		CODE CODICE C23ANTW001A019R00
		PAGE 21 di/of 209

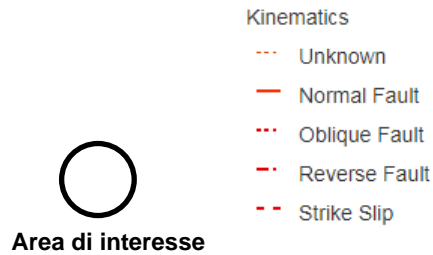


Figura 8: Le faglie capaci presenti in Sardegna, contenute nel database ITHACA (GeoMapView, ISPRA - [Viewer Progetto ITHACA \(isprambiente.it\)](#))

5.2. MACROZONAZIONE SISMICA - PERICOLOSITÀ SISMICA DI BASE

In data 24 ottobre 2005 entra in vigore il D.M. 14/09/2005 “Norme Tecniche per le Costruzioni”. La norma suddivide il territorio in zone sismiche, ciascuna contrassegnata da un diverso valore di parametro a_g , che rappresenta l’accelerazione orizzontale massima convenzionale su suolo di categoria A. L’area in esame ricade nel comune di Sant’Antonio di Gallura.

Zona sismica	Fenomeni riscontrati	Accelerazione con probabilità di superamento del 10% in 50 anni
1	Zona con pericolosità sismica alta . Indica la zona più pericolosa, dove possono verificarsi forti terremoti.	$a_g \geq 0,25g$
2	Zona con pericolosità sismica media , dove possono verificarsi terremoti abbastanza forti.	$0,15 \leq a_g < 0,25g$
3	Zona con pericolosità sismica bassa , che può essere soggetta a scuotimenti modesti.	$0,05 \leq a_g < 0,15g$
4	Zona con pericolosità sismica molto bassa . E' la zona meno pericolosa, dove le possibilità di danni sismici sono basse.	$a_g < 0,05g$

Figura 9: Livello di pericolosità delle zone sismiche suddivise in relazione all’accelerazione di picco su terreno rigido (NTC 2018).

Le accelerazioni a_g attese su suolo di categoria A, in tutta l’area di impianto (e in generale in tutta la Sardegna), rientrano nel range 0,025-0,050 g.

Modello di pericolosità sismica MPS04-S1

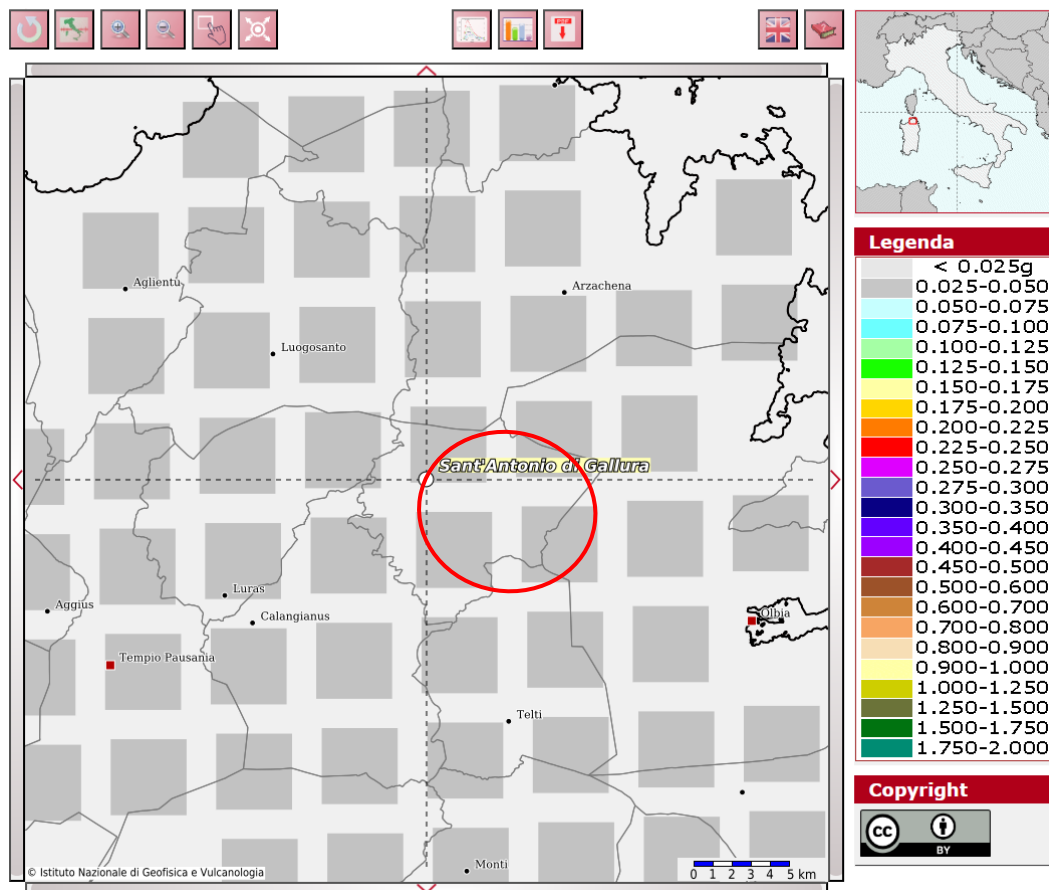


Figura 10: Accelerazioni al suolo attese per suolo di categoria A nel Modello di pericolosità sismica MPS04-S1 dell'Istituto Nazionale Italiano di Geofisica e Vulcanologia (fonte [Modello di pericolosità sismica MPS04 \(ingv.it\)](#)).

6. LIQUEFAZIONE

La liquefazione comporta una diminuzione di resistenza a taglio e/o rigidità causata dall'aumento di pressione interstiziale in un terreno saturo non coesivo, durante lo scuotimento sismico, tale da generare deformazioni permanenti significative o persino l'annullamento degli sforzi efficaci nel terreno.

L'aggiornamento delle Norme tecniche per le costruzioni (NTC2018), così come già indicato nelle NTC 2008, indica che le verifiche alla liquefazione per le opere possono essere omesse quando si manifesti almeno una delle seguenti circostanze:

- accelerazioni massime attese al piano campagna in condizioni di campo libero inferiori a $0,1g$;
- profondità media stagionale della falda superiore a 15 m dal piano campagna, per piano campagna suborizzontale e per strutture con fondazioni superficiali;

ANT S.r.l.		CODE CODICE C23ANTW001A019R00
		PAGE 23 di/of 209

- depositi costituiti da sabbie pulite con resistenza penetrometrica normalizzata (N1) $60 > 30$ oppure $qc1N > 180$ dove (N1)60 è il valore della resistenza determinata in prove penetrometriche dinamiche (Standard Penetration Test) normalizzata ad una tensione efficace verticale di 100 kPa e qc1N è il valore della resistenza determinata in prove penetrometriche statiche (Cone Penetration Test) normalizzata ad una tensione efficace verticale di 100 kPa;
- distribuzione granulometrica esterna alle zone indicate nel caso di terreni con coefficiente di uniformità $U_c < 3,5$ (sinistra) e nel caso di terreni con coefficiente di uniformità $U_c > 3,5$ (destra).

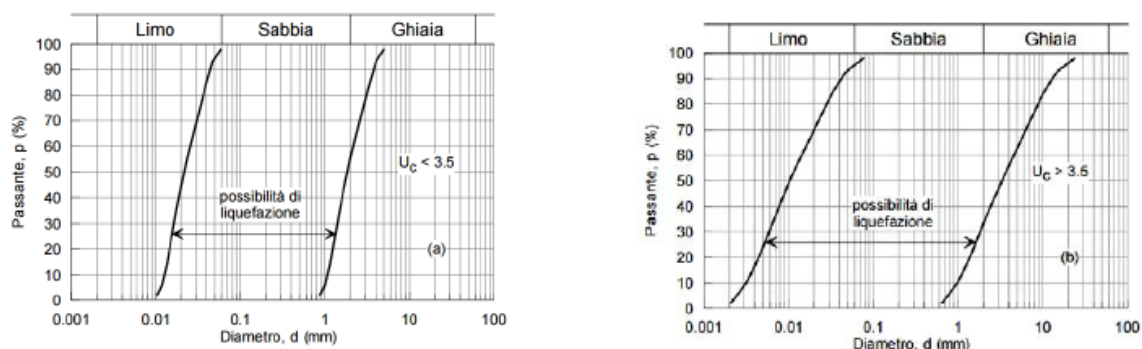


Figura 11: Fusi granulometrici di terreni suscettibili di liquefazione ai sensi delle NTC 2018

Alla luce delle caratteristiche sismiche dell'area, caratterizzata da sismicità molto bassa e delle caratteristiche litologiche dei terreni, prevalentemente granitici, si esclude che vi possano essere fenomeni di liquefazione dei sottofondi.

7. CATEGORIA DI SOTTOSUOLO

Ai fini della definizione dell'azione sismica di progetto, l'effetto della risposta sismica locale si valuta mediante specifiche analisi. In alternativa, qualora le condizioni stratigrafiche e le proprietà dei terreni siano chiaramente riconducibili alle categorie definite nella tabella seguente, si può fare riferimento a un approccio semplificato che si basa sulla classificazione del sottosuolo in funzione dei valori della velocità di propagazione delle onde di taglio "Vs".

La classificazione del sottosuolo si effettua in base alle condizioni stratigrafiche ed ai valori della velocità equivalente di propagazione delle onde di taglio VSeq (in m/s), definita dall'espressione:

ANT S.r.l.		CODE CODICE C23ANTW001A019R00
		PAGE 24 di/of 209

$$V_{S,eq} = \frac{H}{\sum_{i=1}^N \frac{h_i}{V_{S,i}}}$$

con:

- h_i spessore dell' i -esimo strato;
- $V_{S,i}$ velocità delle onde di taglio nell' i -esimo strato;
- N numero di strati;
- H profondità del substrato, definito come quella formazione costituita da roccia o terreno molto rigido, caratterizzata da V_S non inferiore a 800 m/s.

Per le fondazioni superficiali, la profondità del substrato è riferita al piano di imposta delle stesse, mentre per le fondazioni su pali è riferita alla testa dei pali. Nel caso di opere di sostegno di terreni naturali, la profondità è riferita alla testa dell'opera. Per muri di sostegno di terrapieni, la profondità è riferita al piano di imposta della fondazione.

Per depositi con profondità H del substrato superiore a 30 m, la velocità equivalente delle onde di taglio $V_{S,eq}$ è definita dal parametro $V_{S,30}$, ottenuto ponendo $H=30$ m nella precedente espressione e considerando le proprietà degli strati di terreno fino a tale profondità.

Le categorie di sottosuolo che permettono l'utilizzo dell'approccio semplificato sono definite nella tabella seguente.

Categoria	Descrizione
A	Ammassi rocciosi affioranti o terreni molto rigidi caratterizzati da valori di velocità delle onde di taglio superiori a 800 m/s, eventualmente comprendenti in superficie terreni di caratteristiche meccaniche più scadenti con spessore massimo pari a 3 m
B	Rocce tenere e depositi di terreni a grana grossa molto addensati o terreni a grana fina molto consistenti, caratterizzati da un miglioramento delle proprietà meccaniche con la profondità e da valori di velocità equivalente compresi tra 360 m/s e 800 m/s.
C	Depositati di terreni a grana grossa mediamente addensati o terreni a grana fina mediamente consistenti con profondità del substrato superiori a 30 m, caratterizzati da un miglioramento delle proprietà meccaniche con la profondità e da valori di velocità equivalente compresi tra 180 m/s e 360 m/s.
D	Depositati di terreni a grana grossa scarsamente addensati o di terreni a grana fina scarsamente consistenti, con profondità del substrato superiori a 30 m, caratterizzati da un miglioramento delle proprietà meccaniche con la profondità e da valori di velocità equivalente compresi tra 100 e 180 m/s
E	Terreni con caratteristiche e valori di velocità equivalente riconducibili a quelle definite per le categorie C o D, con profondità del substrato non superiore a 30 m.

ANT S.r.l.		CODE CODICE C23ANTW001A019R00
		PAGE 25 di/of 209

Tabella 2: Categorie di sottosuolo ai sensi delle NTC vigenti

La caratterizzazione di tale importante parametro di progetto è demandata alla successiva fase progettuale. Situazioni geologiche simili conducono solitamente a categoria di tipo B se con copertura rilevante oppure A se il complesso granitico è in affioramento o quasi (situazione prevalente). In linea generale si ritiene che la categoria prevalente possa essere la categoria A. Tali asserzioni saranno verificate mediante opportune tecniche geofisiche volte a determinare il profilo di velocità delle onde S.

8. CATEGORIA TOPOGRAFICA

Per quanto attiene la categoria topografica, l'area ricade in un contesto collinare a bassa-moderata pendenza e pertanto la categoria topografica è la T1, come da tabella seguente.

Categoria	Caratteristiche della superficie topografica
T1	Superficie pianeggiante, pendii e rilievi isolati con inclinazione media $i \leq 15^\circ$
T2	Pendii con inclinazione media $i > 15^\circ$
T3	Rilievi con larghezza in cresta molto minore che alla base e inclinazione media $15^\circ \leq i \leq 30^\circ$
T4	Rilievi con larghezza in cresta molto minore che alla base e inclinazione media $i > 30^\circ$

Figura 12: Categorie topografiche ai sensi delle NTC 2018

WTG	Categoria topografica	Coefficiente di amplificazione topografica
1	T1	1
2	T1	1
3	T1	1
4	T1	1
5	T1	1
6	T1	1
7	T1	1
8	T1	1
9	T3	1,2

Tabella 3: Categoria topografica per tutte le WTG

ANT S.r.l.		CODE CODICE C23ANTW001A019R00
		PAGE 26 di/of 209

A tutte le WTG, eccettuata la 9, si attribuisce la medesima categoria T1, nonostante la collocazione in area di dorsale per alcune WTG, poiché la dorsale è molto blanda e il risalto morfologico rispetto ai fondivalle circostanti è parimenti modesto.

9. LITOSTRATIGRAFIA LOCALE E CARATTERIZZAZIONE GEOTECNICA

Non essendo disponibili in tale fase progettuale indagini geognostiche, è possibile fornire per i terreni in oggetto solamente delle valutazioni di larga massima delle caratteristiche geotecniche. In linea generale i terreni mostrano esclusivamente una tipologia granitoida (Complesso Granitoida della Gallura), ma in varie facies petrografiche, che non dovrebbero comportare significative variazioni di comportamento geomeccanico.

Al netto di coperture eluvio-colluviali modeste e locali la colonna litostratigrafica è ovunque caratterizzata da un orizzonte di alterazione superficiale da *weathering* di spessore attualmente non noto, costituito da rocce granitoidi tenere e localmente disgregate a causa dell'alterazione dei silicati e in particolare per l'idrolisi dei fillosilicati, che spesso comporta la perdita della coerenza intergranulare.

Sarà precipuo compito delle indagini geognostiche verificare la geometria delle coperture eluvio-colluviali e lo stato di alterazione dei litotipi granitoidi. Il comportamento litoida dei terreni incide in maniera decisiva sulla progettazione della tipologia di fondazione e in linea di principio la tipologia di fondazione da adottare può essere anche di tipo superficiale.

Di seguito viene riportata una tabella con i principali valori geotecnici per i terreni previsti.

Complesso	Descrizione	Spessore presunto (m)	ϕ (°)	C (kPa)	c_u (kPa)	γ (t/m ³)
Coltre eluvio-colluviale	Colluvium eterogeneo	0,5-1,0	22-26	0	0	1,6-1,7
Granitoida molto alterato	Granodioriti e monzograniti molto alterati/fratturati	2-5	32-36	0-4	0-10	2,2-2,4
Granitoida	Granodioriti e	Indef.	38-45	120	350	2,6-2,8

ANT S.r.l.		CODE CODICE C23ANTW001A019R00
		PAGE 27 di/of 209

<i>integro/poco alterato</i>	monzograniti poco alterati/fratturati o integri					
------------------------------	---	--	--	--	--	--

Tabella 4: Parametri geotecnici di massima

10. RELAZIONE DI CALCOLO

10.1. PARAMETRI DI PROGETTO

Parametri della struttura			
Classe d'uso	Vita Vn [anni]	Coeff. Uso	Periodo Vr [anni]
IV	50	2.0	100

Fattore di struttura/comportamento
NON DISSIPATIVA

10.2. QUADRO NORMATIVO DI RIFERIMENTO ADOTTATO

Le norme ed i documenti assunti quale riferimento per la progettazione strutturale vengono indicati di seguito. Nel capitolo "normativa di riferimento" è comunque presente l'elenco completo delle normative disponibili.

Progetto-verifica degli elementi	
Progetto cemento armato	D.M. 17-01-2018
Progetto acciaio	D.M. 17-01-2018
Progetto legno	D.M. 14-01-2008
Progetto muratura	D.M. 14-01-2008
Azione sismica	
Norma applicata per l' azione sismica	D.M. 17-01-2018

10.3. AZIONI DI PROGETTO SULLA COSTRUZIONE

Nel prosieguo si indicano tipo di analisi strutturale condotta (statico,dinamico, lineare o non lineare) e il metodo adottato per la risoluzione del problema strutturale nonché le metodologie seguite per la verifica o per il progetto-verifica delle sezioni. Si riportano le combinazioni di carico adottate e, nel caso di calcoli non lineari, i percorsi di carico seguiti; le configurazioni studiate per la struttura in esame *sono risultate effettivamente esaustive per la progettazione-verifica.*

La verifica della sicurezza degli elementi strutturali avviene con i metodi della scienza delle costruzioni. L'analisi strutturale è condotta con il metodo degli spostamenti per la valutazione dello stato tensodeformativo indotto da carichi statici. L'analisi strutturale è condotta con il metodo dell'analisi modale e dello spettro di risposta in termini di accelerazione per la valutazione dello stato tensodeformativo indotto da carichi dinamici (tra cui quelli di tipo sismico).

ANT S.r.l.		CODE CODICE C23ANTW001A019R00
		PAGE 28 di/of 209

L'analisi strutturale viene effettuata con il metodo degli elementi finiti. Il metodo sopraindicato si basa sulla schematizzazione della struttura in elementi connessi solo in corrispondenza di un numero prefissato di punti denominati nodi. I nodi sono definiti dalle tre coordinate cartesiane in un sistema di riferimento globale. Le incognite del problema (nell'ambito del metodo degli spostamenti) sono le componenti di spostamento dei nodi riferite al sistema di riferimento globale (traslazioni secondo X, Y, Z, rotazioni attorno X, Y, Z). La soluzione del problema si ottiene con un sistema di equazioni algebriche lineari i cui termini noti sono costituiti dai carichi agenti sulla struttura opportunamente concentrati ai nodi:

$$\mathbf{K} * \mathbf{u} = \mathbf{F}$$

dove \mathbf{K} = matrice di rigidezza
 \mathbf{u} = vettore spostamenti nodali
 \mathbf{F} = vettore forze nodali

Dagli spostamenti ottenuti con la risoluzione del sistema vengono quindi dedotte le sollecitazioni e/o le tensioni di ogni elemento, riferite generalmente ad una terna locale all'elemento stesso.

Il sistema di riferimento utilizzato è costituito da una terna cartesiana destrorsa XYZ. Si assume l'asse Z verticale ed orientato verso l'alto.

Gli elementi utilizzati per la modellazione dello schema statico della struttura sono i seguenti:

Elemento tipo TRUSS	(biella-D2)
Elemento tipo BEAM	(trave-D2)
Elemento tipo MEMBRANE	(membrana-D3)
Elemento tipo PLATE	(piastra-guscio-D3)
Elemento tipo BOUNDARY	(molla)
Elemento tipo STIFFNESS	(matrice di rigidezza)
Elemento tipo BRICK	(elemento solido)
Elemento tipo SOLAIO	(macro elemento composto da più membrane)

10.4. MODELLO NUMERICO

In questa parte viene descritto il modello numerico utilizzato (o i modelli numerici utilizzati) per l'analisi della struttura. La presentazione delle informazioni deve essere, coerentemente con le prescrizioni del paragrafo 10.2 e relativi sottoparagrafi delle NTC-18, tale da garantirne la leggibilità, la corretta interpretazione e la riproducibilità

10.4.1. TIPO DI ANALISI STRUTTURALE	
Sismica statica lineare	NO
Sismica dinamica lineare	SI
Sismica statica non lineare (prop. masse)	NO
Sismica statica non lineare (prop. modo)	NO
Sismica statica non lineare (triangolare)	NO
Non linearità geometriche (fattore P delta)	NO
Analisi lineare	SI

Di seguito si indicano l'origine e le caratteristiche dei codici di calcolo utilizzati riportando titolo, produttore e distributore, versione, estremi della licenza d'uso:

ANT S.r.l.		CODE CODICE C23ANTW001A019R00
		PAGE 29 di/of 209

10.4.2. INFORMAZIONI SUL CODICE DI CALCOLO	
Titolo:	PRO_SAP PROfessional Structural Analysis Program
Versione:	PROFESSIONAL (build 2020-01-187)
Produttore-Distributore:	2S.I. Software e Servizi per l'Ingegneria s.r.l., Ferrara
Codice Licenza:	Licenza dsi5451

Un attento esame preliminare della documentazione a corredo del software **ha consentito di valutarne l'affidabilità e soprattutto l'idoneità al caso specifico**. La documentazione, fornita dal produttore e distributore del software, contiene una esauriente descrizione delle basi teoriche e degli algoritmi impiegati, l'individuazione dei campi d'impiego, nonché casi prova interamente risolti e commentati, corredati dei file di input necessari a riprodurre l'elaborazione:

Affidabilità dei codici utilizzati
2S.I. ha verificato l'affidabilità e la robustezza del codice di calcolo attraverso un numero significativo di casi prova in cui i risultati dell'analisi numerica sono stati confrontati con soluzioni teoriche.
E' possibile reperire la documentazione contenente alcuni dei più significativi casi trattati al seguente link: https://www.2si.it/it/prodotti/affidabilita/

Modellazione della geometria e proprietà meccaniche:	
nodi	529
elementi D2 (per aste, travi, pilastri...)	0
elementi D3 (per pareti, platee, gusci...)	528
elementi solaio	0
elementi solidi	0
Dimensione del modello strutturale [cm]:	
X min =	-1160.00
Xmax =	1160.00
Ymin =	-1160.00
Ymax =	1160.00
Zmin =	0.00
Zmax =	0.00
Strutture verticali:	
Elementi di tipo asta	NO
Pilastri	NO
Pareti	NO
Setti (a comportamento membranale)	NO
Strutture non verticali:	
Elementi di tipo asta	NO
Travi	NO
Gusci	NO
Membrane	NO

ANT S.r.l.		CODE CODICE C23ANTW001A019R00
		PAGE 30 di/of 209

Orizzontamenti:	
Solai con la proprietà piano rigido	NO
Solai senza la proprietà piano rigido	NO
Tipo di vincoli:	
Nodi vincolati rigidamente	NO
Nodi vincolati elasticamente	NO
Nodi con isolatori sismici	NO
Fondazioni puntuali (plinti/plinti su palo)	NO
Fondazioni di tipo trave	NO
Fondazioni di tipo platea	SI
Fondazioni con elementi solidi	NO

10.5. COMBINAZIONI E/O PERCORSI DI CARICO

Nel caso di calcoli non lineari, i percorsi di carico seguiti.

Combinazioni dei casi di carico	
APPROCCIO PROGETTUALE	Approccio 2
SLU	SI
SLV (SLU con sisma)	SI
SLC	NO
SLD	SI
SLO	NO
SLU GEO A2 (per approccio 1)	NO
SLU EQU	NO
Combinazione caratteristica (rara)	SI
Combinazione frequente	SI
Combinazione quasi permanente (SLE)	SI
SLA (accidentale quale incendio)	NO

Principali risultati
<p>I risultati devono costituire una sintesi completa ed efficace, presentata in modo da riassumere il comportamento della struttura, per ogni tipo di analisi svolta.</p> <p>Nella presente relazione di calcolo sono riportati i seguenti risultati che il progettista ritiene di interesse per la descrizione e la comprensione del/i modello/i e del comportamento della struttura:</p> <ul style="list-style-type: none"> • valore di calcolo per la portanza • valore di calcolo dei cedimenti

Informazioni generali sull'elaborazione e giudizio motivato di accettabilità dei risultati.
<p>Il programma prevede una serie di controlli automatici (check) che consentono l'individuazione di errori di modellazione. Al termine dell'analisi un controllo automatico identifica la presenza di spostamenti o rotazioni abnormi. Si può pertanto asserire che l'elaborazione sia corretta e completa. I risultati delle elaborazioni sono stati sottoposti a controlli che ne comprovano l'attendibilità. Tale valutazione ha compreso il confronto con i risultati di semplici calcoli, eseguiti con metodi tradizionali e adottati, anche in fase di primo proporzionamento</p>

ANT S.r.l.		<i>CODE CODICE</i> C23ANTW001A019R00
		<i>PAGE</i> 31 di/of 209

della struttura. Inoltre, sulla base di considerazioni riguardanti gli stati tensionali e deformativi determinati, si è valutata la validità delle scelte operate in sede di schematizzazione e di modellazione della struttura e delle azioni. Si allega al termine della presente relazione elenco sintetico dei controlli svolti (verifiche di equilibrio tra reazioni vincolari e carichi applicati, comparazioni tra i risultati delle analisi e quelli di valutazioni semplificate, etc.) .

ANT S.r.l.		<p>CODE CODICE C23ANTW001A019R00</p> <hr/> <p>PAGE 32 di/of 209</p>
------------	---	--

11. NORMATIVA DI RIFERIMENTO

1. **LEGGE n° 64 del 02/02/1974.** "Provvedimenti per le costruzioni, con particolari prescrizioni per le zone sismiche.";
2. **D.M. LL.PP. del 11/03/1988.** "Norme tecniche riguardanti le indagini sui terreni e sulle rocce, la stabilità dei pendii naturali e delle scarpate, i criteri generali e le prescrizioni per la progettazione, l'esecuzione e il collaudo delle opere di sostegno delle terre e delle opere di fondazione.";
3. **D.M. LL.PP. del 16/01/1996.** "Norme tecniche per le costruzioni in zone sismiche.";
4. **Circolare Ministeriale LL.PP. n° 65/AA.GG. del 10/04/1997.** "Istruzioni per l'applicazione delle "Norme Tecniche per le costruzioni in zone sismiche" di cui al D.M. 16/01/1996.";
5. **Eurocodice 1 - Parte 1 - "Basi di calcolo ed azioni sulle strutture - Basi di calcolo - .";**
6. **Eurocodice 7 - Parte 1 - "Progettazione geotecnica - Regole generali - .";**
7. **Eurocodice 8 - Parte 5 - "Indicazioni progettuali per la resistenza sismica delle strutture - Fondazioni, strutture di contenimento ed aspetti geotecnici - .";**
8. **D.M. 17/01/2018 - NUOVE NORME TECNICHE PER LE COSTRUZIONI**
9. **Circolare n. 7 del 21/01/2019**

NOTA il capitolo "normativa di riferimento": riporta l'elenco delle normative implementate nel software. Le norme utilizzate per la struttura oggetto della presente relazione sono indicate nel precedente capitolo "RELAZIONE DI CALCOLO STRUTTURALE" "ANALISI E VERIFICHE SVOLTE CON L'AUSILIO DI CODICI DI CALCOLO". Laddove nei capitoli successivi vengano richiamate norme antecedenti al DM 17.01.18 è dovuto o a progettazione simulata di edificio esistente.

ANT S.r.l.

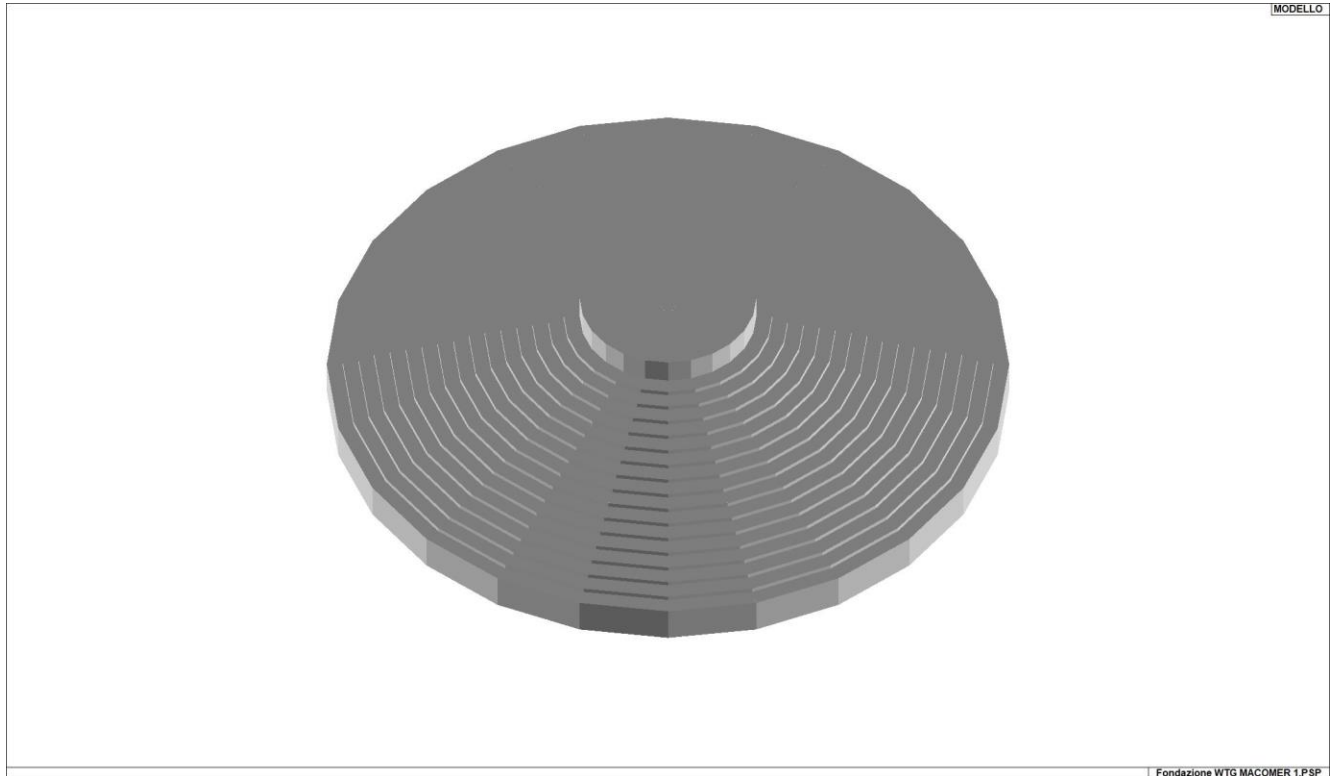


CODE CODICE

C23ANTW001A019R00

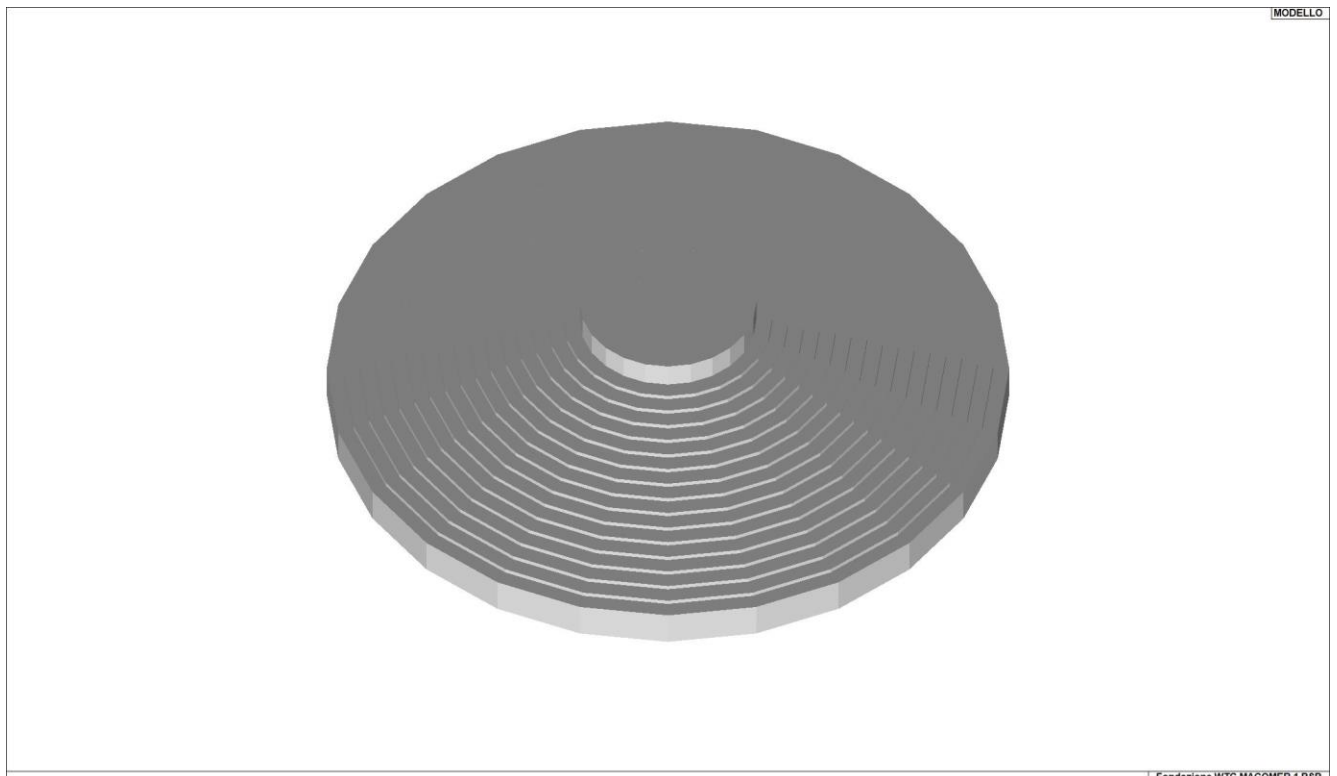
PAGE

33 di/of 209



Fondazione WTG MACOMER 1.PSP

01_INT_VISTA_SOLIDATA_001



Fondazione WTG MACOMER 1.PSP

01_INT_VISTA_SOLIDATA_002

ANT S.r.l.

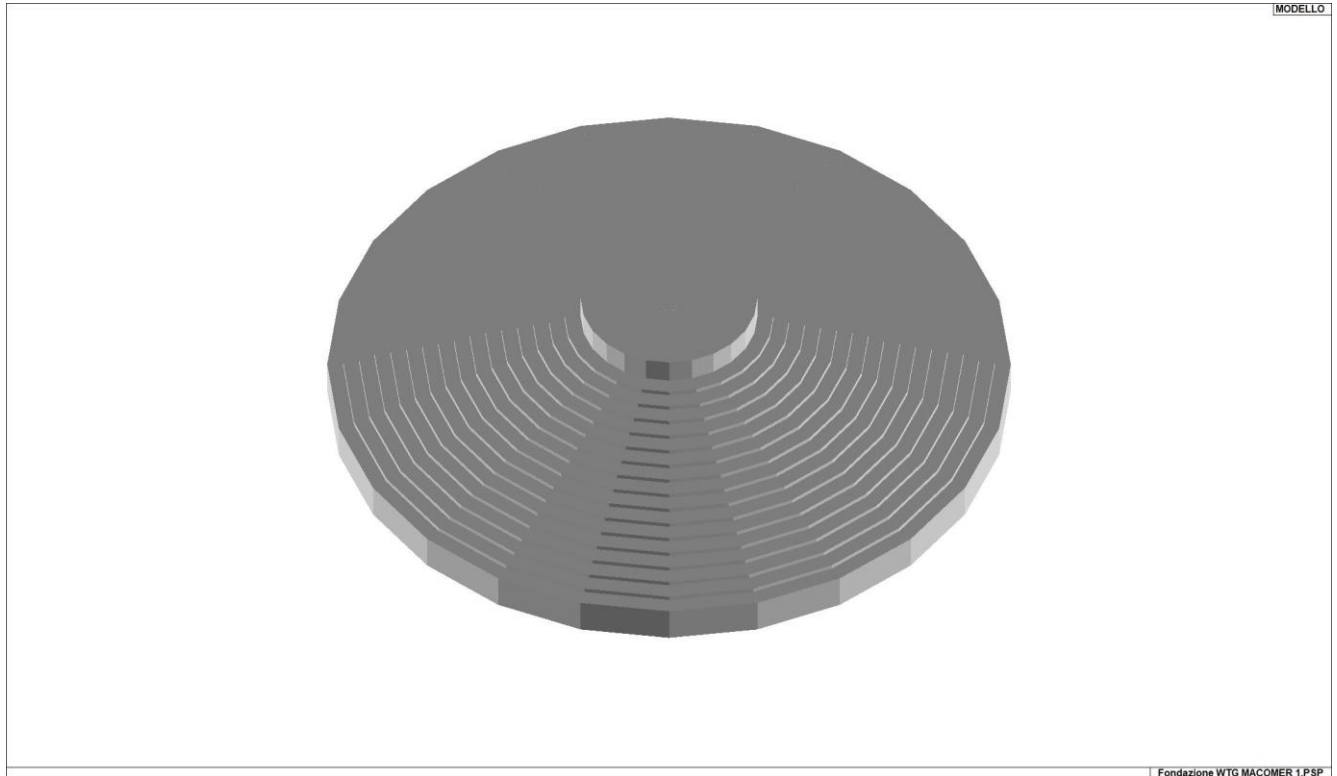


CODE CODICE

C23ANTW001A019R00

PAGE

34 di/of 209



Fondazione WTG MACOMER 1.PSP

01_INT_VISTA_SOLIDATA_003

ANT S.r.l.

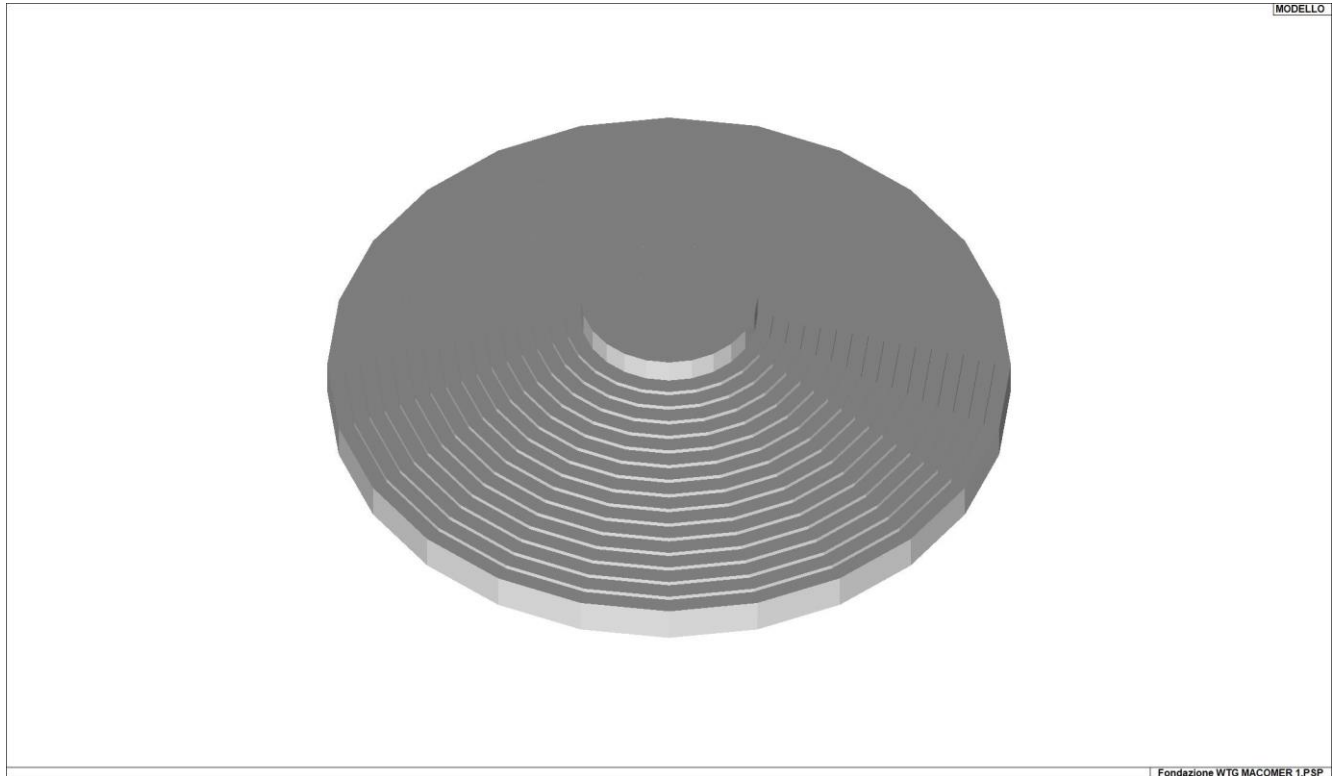


CODE CODICE

C23ANTW001A019R00

PAGE

35 di/of 209



Fondazione WTG MACOMER 1.PSP

01_INT_VISTA_SOLIDATA_004

ANT S.r.l.		CODE CODICE C23ANTW001A019R00
		PAGE 36 di/of 209

12. CARICO LIMITE DI FONDAZIONI SUPERFICIALI SU TERRENI

Per la determinazione del carico limite del complesso terreno-fondazione (inteso come valore asintotico del diagramma carico-cedimento) si fa riferimento a due principali meccanismi di rottura: il "meccanismo generale" e quello di "punzonamento". Il primo è caratterizzato dalla formazione di una superficie di scorrimento: il terreno sottostante la fondazione rifluisce lateralmente e verso l'alto, conseguentemente il terreno circostante la fondazione è interessato da un meccanismo di sollevamento ed emersione della superficie di scorrimento. Il secondo meccanismo è caratterizzato dall'assenza di una superficie di scorrimento ben definita: il terreno sotto la fondazione si comprime ed in corrispondenza della superficie del terreno circostante la fondazione si osserva un abbassamento generalizzato. Quest'ultimo meccanismo non consente una precisa individuazione del carico limite in quanto la curva cedimenti-carico applicato non raggiunge mai un valore asintotico ma cresce indefinitamente. Vesic ha studiato il fenomeno della rottura per punzonamento assimilando il terreno ad un mezzo elasto-plastico e la rottura per carico limite all'espansione di una cavità cilindrica. In questo caso il fenomeno risulta retto da un indice di rigidità " I_r " così definito:

$$I_r = \frac{G}{c' + \sigma' \cdot \operatorname{tg}(\varphi)}$$

Per la determinazione del modulo di rigidità a taglio si utilizzeranno le seguenti relazioni:

$$G = \frac{E}{2 \cdot (1 + \nu)}; \quad E = E_{ed} \frac{1 - \nu - 2 \cdot \nu^2}{1 - \nu}; \quad \nu = \frac{k_0}{1 + k_0}; \quad k_0 = 1 - \operatorname{sen}(\varphi).$$

L'indice di rigidità viene confrontato con l'indice di rigidità critico " $I_{r,crit}$ ":

$$I_{r,crit} = \frac{e^{\left[\left(3.3 - 0.45 \frac{B}{L} \right) \cdot \operatorname{ctg} \left(45^\circ - \frac{\varphi}{2} \right) \right]}}{2}$$

La rottura per punzonamento del terreno di fondazione avviene quando l'indice di rigidità è minore di quello critico. Tale teoria comporta l'introduzione di coefficienti correttivi all'interno della formula trinomia del carico limite detti "coefficienti di punzonamento" i quali sono funzione dell'indice di rigidità, dell'angolo d'attrito e della geometria dell'elemento di fondazione. La loro espressione è la seguente:

- se $I_r < I_{r,crit}$ si ha :

$$\Psi_\gamma = \Psi_q = e^{\left[\left(0.6 \frac{B}{L} - 4.4 \right) \operatorname{tg}(\varphi) + \frac{3.07 \cdot \operatorname{sen}(\varphi) \log_{10}(2 \cdot I_r)}{1 + \operatorname{sen}(\varphi)} \right]} \quad \text{se } \varphi = 0 \Rightarrow \Psi_\gamma = \Psi_q = 1$$

ANT S.r.l.		CODE CODICE C23ANTW001A019R00
		PAGE 37 di/of 209

$$\Psi_c = \Psi_q - \frac{1 - \Psi_q}{N_c \cdot \tan(\varphi)}$$

$$\text{se } \varphi = 0 \Rightarrow \Psi_c = 0.32 + 0.12 \cdot \frac{B}{L} + 0.6 \cdot \log_{10}(I_r)$$

- se $I_r > I_{r,crit}$ si ha che $\psi_\gamma = \psi_q = \psi_c = 1$.

Il significato dei simboli adottati nelle equazioni sopra riportate è il seguente:

- E_{ed} modulo edometrico del terreno sottostante la fondazione
- ν coefficiente di Poisson del terreno sottostante la fondazione
- k_0 coefficiente di spinta a riposo del terreno sottostante la fondazione
- φ angolo d'attrito efficace del terreno sottostante il piano di posa
- c' coesione (espressa in termini di tensioni efficaci)
- σ' tensione litostatica effettiva a profondità $D+B/2$
- L luce delle singole travi di fondazione
- D profondità del piano di posa della fondazione a partire dal piano campagna
- B larghezza della trave di fondazione

Definito il meccanismo di rottura, il calcolo del carico limite viene eseguito modellando il terreno come un mezzo rigido perfettamente plastico con la seguente espressione:

$$q_{ult} = \gamma_1 \cdot D \cdot N_q \cdot s_q \cdot d_q \cdot i_q \cdot \Psi_q + c \cdot N_c \cdot s_c \cdot d_c \cdot i_c \cdot \Psi_c + \gamma_2 \cdot \frac{B}{2} \cdot N_\gamma \cdot s_\gamma \cdot d_\gamma \cdot i_\gamma \cdot \Psi_\gamma \cdot r_\gamma$$

Il significato dei termini presenti nella relazione trinomia sopra riportata è il seguente:

- N_q, N_c, N_γ , fattori adimensionali di portanza funzione dell'angolo d'attrito interno φ del terreno
- s_q, s_c, s_γ , coefficienti che rappresentano il fattore di forma
- d_q, d_c, d_γ , coefficienti che rappresentano il fattore dell'approfondimento
- i_q, i_c, i_γ , coefficienti che rappresentano il fattore di inclinazione del carico
- γ_1 peso per unità di volume del terreno sovrastante il piano di posa
- γ_2 peso per unità di volume del terreno sottostante il piano di posa

ANT S.r.l.		CODE CODICE C23ANTW001A019R00
		PAGE 38 di/of 209

Per fondazioni aventi larghezza modesta si dimostra che il terzo termine non aumenta indefinitamente e per valori elevati di "B", sia secondo Vesic che secondo de Beer, il valore limite è prossimo a quello di una fondazione profonda. Bowles per fondazioni di larghezza maggiore di 2.00 metri propone il seguente fattore riduttivo:

$$r_\gamma = 1 - 0.25 \cdot \log_{10} \left(\frac{B}{2} \right) \quad \text{dove "B" va espresso in metri.}$$

Questa relazione risulta particolarmente utile per fondazioni larghe con rapporto D/B basso (platee e simili), caso nel quale il terzo termine dell'equazione trinomia è predominante.

Nel caso di carico eccentrico Meyerhof consiglia di ridurre le dimensioni della superficie di contatto (A_f) tra fondazione e terreno (B, L) in tutte le formule del calcolo del carico limite. Tale riduzione è espressa dalle seguenti relazioni:

$$B_{rid} = B - 2 \cdot e_B \quad L_{rid} = L - 2 \cdot e_L \quad \text{dove } e_B, e_L \text{ sono le eccentricità relative alle dimensioni in esame.}$$

L'equazione trinomia del carico limite può essere risolta secondo varie formulazioni, di seguito si riportano quelle che sono state implementate:

Formulazione di Hansen (1970)

$$N_q = \text{tg}^2 \left(\frac{90^\circ + \varphi}{2} \right) \cdot e^{\pi \cdot \text{tg}(\varphi)} \quad N_\gamma = 1.5 \cdot (N_q - 1) \cdot \text{tg}(\varphi) \quad N_c = (N_q - 1) \cdot \text{ctg}(\varphi)$$

- se $\varphi \neq 0$ si ha:

$$s_q = 1 + \frac{B}{L} \cdot \text{tg}(\varphi) \quad s_\gamma = 1 - 0.4 \cdot \frac{B}{L} \quad s_c = 1 + \frac{N_q \cdot B}{N_c \cdot L}$$

$$d_q = 1 + 2 \cdot \text{tg}(\varphi) \cdot (1 - \text{sen}(\varphi))^2 \cdot \Theta \quad d_\gamma = 1.0 \quad d_c = 1 + 0.4 \cdot \Theta$$

$$\text{dove: se } \frac{D}{B} \leq 1 \Rightarrow \Theta = \frac{D}{B}, \text{ se } \frac{D}{B} > 1 \Rightarrow \Theta = \arctg \left(\frac{D}{B} \right)$$

$$i_q = \left[1 - \frac{0.5 \cdot H}{V + A_f \cdot c_a \cdot \text{ctg}(\varphi)} \right]^{\alpha_1} \quad i_\gamma = \left[1 - \frac{0.7 \cdot H}{V + A_f \cdot c_a \cdot \text{ctg}(\varphi)} \right]^{\alpha_2} \quad i_c = i_q - \frac{1 - i_q}{N_q - 1}$$

- se $\varphi = 0$ si ha:

$$s_q = 1.0 \quad s_\gamma = 1.0 \quad s_c = 1 + 0.2 \cdot \frac{B}{L}$$

ANT S.r.l.		CODE CODICE C23ANTW001A019R00
		PAGE 39 di/of 209

$$d_q = 1.0 \quad d_\gamma = 1.0 \quad d_c = 1 + 0.4 \cdot \Theta$$

$$i_q = 1.0 \quad i_\gamma = 1.0 \quad i_c = 0.5 \cdot \left(1 + \sqrt{1 - \frac{H}{A_f \cdot c_a}} \right)$$

Formulazione di Vesic (1975)

$$N_q = tg^2 \left(\frac{90^\circ + \varphi}{2} \right) \cdot e^{\pi \cdot tg(\varphi)} \quad N_\gamma = 2 \cdot (N_q + 1) \cdot tg(\varphi) \quad N_c = (N_q - 1) \cdot ctg(\varphi)$$

- se $\varphi \neq 0$ si ha:

$$s_q = 1 + \frac{B}{L} \cdot tg(\varphi) \quad s_\gamma = 1 - 0.4 \cdot \frac{B}{L} \quad s_c = 1 + \frac{N_q \cdot B}{N_c \cdot L}$$

$$d_q = 1 + 2 \cdot tg(\varphi) \cdot (1 - \sin(\varphi))^2 \cdot \Theta \quad d_\gamma = 1.0 \quad d_c = 1 + 0.4 \cdot \Theta$$

dove: se $\frac{D}{B} \leq 1 \Rightarrow \Theta = \frac{D}{B}$, se $\frac{D}{B} > 1 \Rightarrow \Theta = \arctg\left(\frac{D}{B}\right)$

$$i_q = \left[1 - \frac{H}{V + A_f \cdot c_a \cdot ctg(\varphi)} \right]^m \quad i_\gamma = \left[1 - \frac{H}{V + A_f \cdot c_a \cdot ctg(\varphi)} \right]^{m+1} \quad i_c = i_q - \frac{1 - i_q}{N_q - 1}$$

dove: $m = m_B = \frac{2 + \frac{B}{L}}{1 + \frac{B}{L}}$ $m = m_L = \frac{2 + \frac{L}{B}}{1 + \frac{L}{B}}$

- se $\varphi = 0$ si ha:

$$s_q = 1.0 \quad s_\gamma = 1.0 \quad s_c = 1 + 0.2 \cdot \frac{B}{L}$$

$$d_q = 1.0 \quad d_\gamma = 1.0 \quad d_c = 1 + 0.4 \cdot \Theta$$

$$i_q = 1.0 \quad i_\gamma = 1.0 \quad i_c = 1 - \frac{m \cdot H}{A_f \cdot c_a \cdot N_c}$$

Formulazione di Brinch-Hansen

$$N_q = tg^2 \left(\frac{90^\circ + \varphi}{2} \right) \cdot e^{\pi \cdot tg(\varphi)} \quad N_\gamma = 2 \cdot (N_q + 1) \cdot tg(\varphi) \quad N_c = (N_q - 1) \cdot ctg(\varphi)$$

- se $\varphi \neq 0$ si ha:

ANT S.r.l.		CODE CODICE C23ANTW001A019R00
		PAGE 40 di/of 209

$$s_q = 1 + 0.1 \cdot \frac{B \cdot (1 + \sin(\varphi))}{L \cdot (1 - \sin(\varphi))} \quad s_\gamma = 1 + 0.1 \cdot \frac{B \cdot (1 + \sin(\varphi))}{L \cdot (1 - \sin(\varphi))} \quad s_c = 1 + 0.2 \cdot \frac{B \cdot (1 + \sin(\varphi))}{L \cdot (1 - \sin(\varphi))}$$

$$d_q = 1 + 2 \cdot \operatorname{tg}(\varphi) \cdot (1 - \sin(\varphi))^2 \cdot \Theta \quad d_\gamma = 1.0 \quad d_c = d_q - \frac{1 - d_q}{N_c \cdot \operatorname{tg}(\varphi)}$$

$$\text{dove: se } \frac{D}{B} \leq 1 \Rightarrow \Theta = \frac{D}{B}, \text{ se } \frac{D}{B} > 1 \Rightarrow \Theta = \operatorname{arctg}\left(\frac{D}{B}\right)$$

$$i_q = \left[1 - \frac{H}{V + A_f \cdot c_a \cdot \operatorname{ctg}(\varphi)} \right]^m \quad i_\gamma = \left[1 - \frac{H}{V + A_f \cdot c_a \cdot \operatorname{ctg}(\varphi)} \right]^{m+1} \quad i_c = i_q - \frac{1 - i_q}{N_q - 1}$$

$$\text{dove: } m = m_B = \frac{2 + \frac{B}{L}}{1 + \frac{B}{L}} \quad m = m_L = \frac{2 + \frac{L}{B}}{1 + \frac{L}{B}}$$

- se $\varphi = 0$ si ha:

$$s_q = 1.0 \quad s_\gamma = 1.0 \quad s_c = 1 + 0.2 \cdot \frac{B}{L}$$

$$d_q = 1.0 \quad d_\gamma = 1.0 \quad d_c = 1 + 0.4 \cdot \Theta$$

$$i_q = 1.0 \quad i_\gamma = 1.0 \quad i_c = 1 - \frac{m \cdot H}{A_f \cdot c_a \cdot N_c}$$

Formulazione Eurocodice 7

$$N_q = \operatorname{tg}^2\left(\frac{90^\circ + \varphi}{2}\right) \cdot e^{\pi \cdot \operatorname{tg}(\varphi)} \quad N_\gamma = 2 \cdot (N_q - 1) \cdot \operatorname{tg}(\varphi) \quad N_c = (N_q - 1) \cdot \operatorname{ctg}(\varphi)$$

- se $\varphi \neq 0$ si ha:

$$s_q = 1 + \frac{B}{L} \cdot \sin(\varphi) \quad s_\gamma = 1 - 0.3 \cdot \frac{B}{L} \quad s_c = \frac{s_q \cdot (N_q - 1)}{N_q - 1}$$

$$d_q = 1 + 2 \cdot \operatorname{tg}(\varphi) \cdot (1 - \sin(\varphi))^2 \cdot \Theta \quad d_\gamma = 1.0 \quad d_c = 1 + 0.4 \cdot \Theta$$

$$\text{dove: se } \frac{D}{B} \leq 1 \Rightarrow \Theta = \frac{D}{B}, \text{ se } \frac{D}{B} > 1 \Rightarrow \Theta = \operatorname{arctg}\left(\frac{D}{B}\right)$$

- se H è parallela al lato B si ha:

$$i_q = \left[1 - \frac{0.7 \cdot H}{V + A_f \cdot c_a \cdot \operatorname{ctg}(\varphi)} \right]^3 \quad i_\gamma = \left[1 - \frac{H}{V + A_f \cdot c_a \cdot \operatorname{ctg}(\varphi)} \right]^3 \quad i_c = \frac{i_q \cdot N_q - 1}{N_q - 1}$$

ANT S.r.l.		CODE CODICE C23ANTW001A019R00
		PAGE 41 di/of 209

- se H è parallela al lato L si ha:

$$i_q = 1 - \frac{H}{V + A_f \cdot c_a \cdot ctg(\varphi)} \quad i_\gamma = 1 - \frac{H}{V + A_f \cdot c_a \cdot ctg(\varphi)} \quad i_c = \frac{i_q \cdot N_q - 1}{N_q - 1}$$

- se $\varphi = 0$ si ha:

$$s_q = 1.0 \quad s_\gamma = 1.0 \quad s_c = 1 + 0.2 \cdot \frac{B}{L}$$

$$d_q = 1.0 \quad d_\gamma = 1.0 \quad d_c = 1 + 0.4 \cdot \Theta$$

$$i_q = 1.0 \quad i_\gamma = 1.0 \quad i_c = 0.5 \cdot \left(1 + \sqrt{1 - \frac{H}{A_f \cdot c_a}} \right)$$

Si ricorda che per le relazioni sopra riportate nel caso in cui $\varphi = 0 \Rightarrow N_q = 1.0$, $N_\gamma = 1.0$ e $N_c = 2 + \pi$.

Il significato dei termini presenti nelle relazioni su descritte è il seguente:

- V componente verticale del carico agente sulla fondazione
- H componente orizzontale del carico agente sulla fondazione (sia lungo B che lungo L)
- c_a adesione fondazione-terreno (valore variabile tra il 60% e 100% della coesione)
- α_1, α_2 esponenti di potenza che variano tra 2 e 5

Nel caso in cui il cuneo di fondazione sia interessato da falda idrica il valore di γ_2 nella formula trinomia assume la seguente espressione:

$$\gamma_2 = \frac{\gamma \cdot z + \gamma_{sat} \cdot (h_c - z)}{h_c} \quad h_c = \frac{B}{2} \cdot tg\left(\frac{90 + \varphi}{2}\right)$$

dove i termini dell'espressione hanno il seguente significato:

- γ peso per unità di volume del terreno sottostante il piano di posa
- γ_{sat} peso per unità di volume saturo del terreno sottostante il piano di posa
- z profondità della falda dal piano di posa
- h_c altezza del cuneo di rottura della fondazione

Tutto ciò che è stato detto sopra è valido nell'ipotesi di terreno con caratteristiche geotecniche omogenee. Nella realtà i terreni costituenti il piano di posa delle fondazioni sono quasi sempre

ANT S.r.l.		CODE CODICE C23ANTW001A019R00
		PAGE 42 di/of 209

composti, o comunque riconducibili, a formazioni di terreno omogenee di spessore variabile che si sovrappongono (caso di terreni stratificati). In queste condizioni i parametri vengono determinati con la seguente procedura:

- viene determinata l'altezza del cuneo di rottura in funzione delle caratteristiche geotecniche degli strati attraversati; quindi si determinano il numero degli strati interessati da esso
- in corrispondenza di ogni superficie di separazione, partendo da quella immediatamente sottostante il piano di posa della fondazione, fino a raggiungere l'altezza del cuneo di rottura, viene determinata la capacità portante di ogni singolo strato come somma di due valori: il primo dato dall'applicazione della formula trinomia alla quota *i*-esima dello strato; il secondo dato dalla resistenza al punzonamento del terreno sovrastante lo strato in esame
- il minimo di questi due valori sarà assunto come valore massimo della capacità portante della fondazione stratificata

Si può formulare il procedimento anche in forma analitica:

$$q'_{ult} = [q''_{ult} + q_{resT}]_{\min} = \left[q''_{ult} + \frac{p}{A_f} (P_V \cdot K_s \cdot tg(\varphi) + d \cdot c) \right]_{\min}$$

dove i termini dell'espressione hanno il seguente significato:

- q''_{ult} carico limite per un'ipotetica fondazione posta alla quota dello strato interessato
- p perimetro della fondazione
- P_V spinta verticale del terreno dal piano di posa allo strato interessato
- K_s coefficiente di spinta laterale del terreno
- d distanza dal piano di posa allo strato interessato

ANT S.r.l.		CODE CODICE C23ANTW001A019R00
		PAGE 43 di/of 209

13. CARICO LIMITE DI FONDAZIONI SUPERFICIALI SU ROCCIA

Per la determinazione del carico limite nel caso di presenza di ammasso roccioso bisogna valutare molto attentamente il grado di solidità della roccia stessa. Tale valutazione viene in genere eseguita stimando l'indice *RQD* (Rock Quality Designation) che rappresenta una misura della qualità di un ammasso roccioso. Tale indice può variare da un minimo di 0 (caso in cui la lunghezza dei pezzi di roccia estratti dal carotiere è inferiore a 100 mm) ad un massimo di 1 (caso in cui la carota risulta integra) ed è calcolato nel seguente modo:

$$RQD = \frac{\sum \text{lunghezze dei pezzi di roccia intatta} > 100\text{mm}}{\text{lunghezza del carotiere}}$$

Se il valore di *RQD* è molto basso la roccia è molto fratturata ed il calcolo della capacità portante dell'ammasso roccioso va condotto alla stregua di un terreno sciolto utilizzando tutte le formulazioni sopra descritte.

Per ricavare la capacità portante di rocce non assimilabili ad ammassi di terreno sciolto sono state implementate due formulazioni: quella di Terzaghi (1943) e quella di Stagg-Zienkiewicz (1968), entrambe correlate all'indice *RQD*. In definitiva il valore della capacità portante sarà espresso dalla seguente relazione:

$$q'_{ult} = q''_{ult} \cdot RQD^2$$

dove i termini dell'espressione hanno il seguente significato:

- q'_{ult} carico limite dell'ammasso roccioso
- q''_{ult} carico limite calcolato alla Terzaghi o alla Stagg-Zienkiewicz

In questo caso l'equazione trinomia del carico limite assume la seguente forma:

$$q''_{ult} = \gamma_1 \cdot D \cdot N_q + c \cdot N_c \cdot s_c + \gamma_2 \cdot \frac{B}{2} \cdot N_\gamma \cdot s_\gamma$$

I termini presenti nell'equazione hanno lo stesso significato già visto in precedenza; i coefficienti di forma assumeranno i seguenti valori:

- $s_c = 1.0$ per fondazioni di tipo nastriforme $s_c = 1.3$ per fondazioni di tipo quadrato;
- $s_\gamma = 1.0$ per fondazioni di tipo nastriforme $s_\gamma = 0.8$ per fondazioni di tipo quadrato.

ANT S.r.l.		CODE CODICE C23ANTW001A019R00
		PAGE 44 di/of 209

I fattori adimensionali di portanza a seconda della formulazione adottata saranno:

Formulazione di Terzaghi (1943)

$$N_q = \frac{e^{2 \left(0.75 \cdot \pi - \frac{\varphi}{2}\right) \operatorname{tg}(\varphi)}}{2 \cdot \cos^2\left(\frac{90^\circ + \varphi}{2}\right)} \quad N_\gamma = \frac{\operatorname{tg}(\varphi)}{2} \left(\frac{K_{p\gamma}}{\cos^2(\varphi)} - 1 \right) \quad N_c = (N_q - 1) \cdot \operatorname{ctg}(\varphi)$$

se $\varphi = 0 \Rightarrow N_c = 1.5 \cdot \pi + 1$

φ	0	5	10	15	20	25	30	35	40	45	50
$K_{p\gamma}$	10.8	12.2	14.7	18.6	25.0	35.0	52.0	82.0	141.0	298.0	800.0

Formulazione di Stagg-Zienkiewicz (1968)

$$N_q = \operatorname{tg}^6\left(\frac{90^\circ + \varphi}{2}\right) \quad N_\gamma = N_q + 1 \quad N_c = 5 \cdot \operatorname{tg}^4\left(\frac{90^\circ + \varphi}{2}\right)$$

ANT S.r.l.		CODE CODICE C23ANTW001A019R00
		PAGE 45 di/of 209

14. VERIFICA A ROTTURA PER SCORRIMENTO DI FONDAZIONI SUPERFICIALI

Se il carico applicato alla base della fondazione non è normale alla stessa bisogna effettuare anche una verifica per rottura a scorrimento. Rispetto al collasso per scorrimento la resistenza offerta dal sistema fondale viene valutata come somma di due componenti: la prima derivante dall'attrito fondazione-terreno, la seconda derivante dall'adesione. In generale, oltre a queste due componenti, può essere tenuto in conto anche l'effetto della spinta passiva del terreno di ricoprimento esercita sulla fondazione fino ad un massimo del 30%. La formulazione analitica della verifica può essere esposta nel seguente modo:

$$T_{Sd} \leq T_{Rd} = N_{Sd} \cdot tg(\delta) + A_f \cdot c_a + S_p \cdot f_{Sp}$$

dove i termini dell'espressione hanno il seguente significato:

- T_{Sd} componente orizzontale del carico agente sulla fondazione (sia lungo B che lungo L)
- N_{Sd} componente verticale del carico agente sulla fondazione
- c_a adesione fondazione-terreno (valore variabile tra il 60% e 100% della coesione)
- δ angolo d'attrito fondazione-terreno (valore variabile tra il 60% e 100% dell'angolo di attrito)
- S_p spinta passiva del terreno di ricoprimento della fondazione
- f_{Sp} percentuale di partecipazione della spinta passiva
- A_f superficie di contatto del piano di posa della fondazione

La verifica deve essere effettuata sia per componenti taglianti parallele alla base della fondazione che per quelle ortogonali.

ANT S.r.l.		CODE CODICE C23ANTW001A019R00
		PAGE 46 di/of 209

15. DETERMINAZIONE DELLE TENSIONI INDOTTE NEL TERRENO

Ai fini del calcolo dei cedimenti è essenziale conoscere lo stato tensionale indotto nel terreno a varie profondità da un carico applicato in superficie. Tale determinazione viene eseguita ipotizzando che il terreno si comporti come un mezzo continuo, elastico-lineare, omogeneo e isotopo. Tale assunzione, utilizzata per la determinazione della variazione delle tensioni verticali dovuta all'applicazione di un carico in superficie, è confortata dalla letteratura (Morgenstern e Phukan) perché la non linearità del materiale poco influenza la distribuzione delle tensioni verticali. Per ottenere un profilo verticale di pressioni si possono utilizzare tre metodi di calcolo: quello di Boussinesq, quello di Westergaard oppure quello di Mindlin; tutti basati sulla teoria del continuo elastico. Il metodo di Westergaard differisce da quello di Boussinesq per la presenza del coefficiente di Poisson "ν", quindi si adatta meglio ai terreni stratificati. Il metodo di Mindlin differisce dai primi due per la possibilità di posizionare il carico all'interno del continuo elastico mentre i primi due lo pongono esclusivamente sulla frontiera quindi si presta meglio al caso di fondazioni molto profonde. Nel caso di fondazioni poste sulla frontiera del continuo elastico il metodo di Mindlin risulta equivalente a quello di Boussinesq. Le espressioni analitiche dei tre metodi di calcolo sono:

$$\text{Boussinesq} \Rightarrow \Delta\sigma_v = \frac{3 \cdot Q \cdot z^3}{2 \cdot \pi \cdot (r^2 + z^2)^{\frac{5}{2}}} \quad \text{Westergaard} \Rightarrow \Delta\sigma_v = \frac{Q}{2 \cdot \pi \cdot z^2} \cdot \frac{\sqrt{\frac{1-2 \cdot \nu}{2-2 \cdot \nu}}}{\left(\frac{1-2 \cdot \nu}{2-2 \cdot \nu} + \frac{r^2}{z^2}\right)^{\frac{3}{2}}}$$

dove i termini dell'espressioni hanno il seguente significato:

- Q carico puntiforme applicato sulla frontiera del mezzo
- r proiezione orizzontale della distanza del punto di applicazione del carico dal punto in esame
- z proiezione verticale della distanza del punto di applicazione del carico dal punto in esame

$$\text{Mindlin} \Rightarrow \Delta\sigma_v = \frac{Q}{8 \cdot \pi \cdot (1-\nu) \cdot D^2} \left(-\frac{(1-2 \cdot \nu) \cdot (m-1)}{A^3} + \frac{(1-2 \cdot \nu) \cdot (m-1)}{B^3} - \frac{3 \cdot (m-1)^3}{A^5} - \frac{30 \cdot m \cdot (m+1)^3}{B^7} - \frac{3 \cdot (3-4 \cdot \nu) \cdot m \cdot (m+1)^2 - 3 \cdot (m+1) \cdot (5 \cdot m-1)}{B^5} \right)$$

$$n = \frac{r}{D}; \quad m = \frac{z}{D}; \quad A^2 = n^2 + (m-1)^2; \quad B^2 = n^2 + (m+1)^2$$

dove i termini dell'espressioni hanno il seguente significato:

- Q carico puntiforme applicato sulla frontiera o all'interno del mezzo

ANT S.r.l.		CODE CODICE C23ANTW001A019R00
		PAGE 47 di/of 209

- D proiezione verticale della distanza del punto di applicazione del carico dalla frontiera del mezzo
- r proiezione orizzontale della distanza del punto di applicazione del carico dal punto in esame
- z proiezione verticale della distanza del punto di applicazione del carico dal punto in esame

Basandosi sulle ben note equazioni ricavate per un carico puntiforme, l'algoritmo implementato esegue un'integrazione delle equazioni di cui sopra lungo la verticale di ogni punto notevole degli elementi fondali estesa a tutte le aree di carico presenti sulla superficie del terreno; questo consente di determinare la variazione dello stato tensionale verticale " $\Delta\sigma_v$ ". Bisogna sottolineare che, nel caso di pressione, " Q " va definito come "pressione netta", ossia la pressione in eccesso rispetto a quella geostatica esistente che può essere sopportata con sicurezza alla profondità " D " del piano di posa delle fondazioni. Questo perché i cedimenti sono causati solo da incrementi netti di pressione che si aggiungono all'esistente pressione geostatica.

ANT S.r.l.		CODE CODICE C23ANTW001A019R00
		PAGE 48 di/of 209

16. CALCOLO DEI CEDIMENTI DELLA FONDAZIONE

La determinazione dei cedimenti delle fondazioni assume una rilevanza notevole per il manufatto da realizzarsi, in special modo nella fase di esercizio. Nell'evolversi della fase di cedimento il terreno passa da uno stato di sforzo corrente dovuto al peso proprio ad uno nuovo dovuto all'effetto del carico addizionale applicato. Questa variazione dello stato tensionale produce una serie di movimenti di rotolamento e scorrimento relativo tra i granuli del terreno, nonché deformazioni elastiche e rotture delle particelle costituenti il mezzo localizzate in una limitata zona d'influenza a ridosso dell'area di carico. L'insieme di questi fenomeni costituisce il cedimento che nel caso in esame è verticale. Nonostante la frazione elastica sia modesta, l'esperienza ha dimostrato che ai fini del calcolo dei cedimenti modellare il terreno come materiale pseudoelastico permette di ottenere risultati soddisfacenti. In letteratura sono descritti diversi metodi per il calcolo dei cedimenti ma si ricorda che, qualunque sia il metodo di calcolo, la determinazione del valore del cedimento deve intendersi come la miglior stima delle deformazioni subite dal terreno da attendersi all'applicazione dei carichi. Nel seguito vengono descritte le teorie implementate:

Metodo edometrico, che si basa sulla nota relazione:

$$w_{ed} = \sum_{i=1}^n \frac{\Delta\sigma_{v,i}}{E_{ed,i}} \cdot \Delta z_i$$

dove i termini dell'espressioni hanno il seguente significato:

- $\Delta\sigma_{v,i}$ variazione dello stato tensionale verticale alla profondità "z_i" dello strato i-esimo per l'applicazione del carico
- $E_{ed,i}$ modulo edometrico del terreno relativo allo strato i-esimo
- Δz_i spessore dello strato i-esimo

Si ricorda che questo metodo si basa sull'ipotesi edometrica quindi l'accuratezza del risultato è maggiore quando il rapporto tra lo spessore dello strato deformabile e la dimensione in pianta delle fondazioni è ridotto, tuttavia il metodo edometrico consente una buona approssimazione anche nel caso di strati deformabili di spessore notevole.

Metodo dell'elasticità, che si basa sulle note relazioni:

ANT S.r.l.		CODE CODICE C23ANTW001A019R00
		PAGE 49 di/of 209

$$w_{\text{Imp.}} = \sum_{i=1}^n \frac{\Delta\sigma_{v,i}}{E_i} \cdot \Delta z_i \quad w_{\text{Lib.}} = \sum_{i=1}^n \frac{\Delta\sigma_{v,i}}{E_i} \cdot \frac{1-2 \cdot \nu^2}{1-\nu} \cdot \Delta z_i$$

dove i termini dell'espressioni hanno il seguente significato:

- $w_{\text{Imp.}}$ cedimento in condizioni di deformazione laterale impedita
- $w_{\text{Lib.}}$ cedimento in condizioni di deformazione laterale libera
- $\Delta\sigma_{v,i}$ variazione stato tensionale verticale alla profondità "z_i" dello strato i-esimo per l'applicazione del carico
- E_i modulo elastico del terreno relativo allo strato i-esimo
- Δz_i spessore dello strato i-esimo

La doppia formulazione adottata consente di ottenere un intervallo di valori del cedimento elastico per la fondazione in esame (valore minimo per $w_{\text{Imp.}}$ e valore massimo per $w_{\text{Lib.}}$).

ANT S.r.l.		CODE CODICE C23ANTW001A019R00
		PAGE 50 di/of 209

17. SIMBOLOGIA ADOTTATA NEI TABULATI DI CALCOLO

Per maggior chiarezza nella lettura dei tabulati di calcolo viene riportata la descrizione dei simboli principali utilizzati nella stesura degli stessi. Per comodità di lettura la legenda è suddivisa in paragrafi con la stessa modalità in cui sono stampati i tabulati di calcolo.

Dati geometrici degli elementi costituenti le fondazioni superficiali

per tipologie travi e plinti superficiali:

- Indice Strat. indice della stratigrafia associata all'elemento
- Prof. Fon. profondità del piano di posa dell'elemento a partire dal piano campagna
- Base larghezza della sezione trasversale dell'elemento
- Altezza altezza della sezione trasversale dell'elemento
- Lung. Elem. dimensione dello sviluppo longitudinale dell'elemento
- Lung. Travata nel caso l'elemento appartenga ad un macroelemento, rappresenta la dimensione dello sviluppo longitudinale del macroelemento

per tipologia platea:

- Indice Strat. indice della stratigrafia associata all'elemento
- Prof. Fon. profondità del piano di posa dell'elemento dal piano campagna
- Dia. Eq. diametro del cerchio equivalente alla superficie dell'elemento
- Spessore spessore dell'elemento
- Superficie superficie dell'elemento
- Vert. Elem. Numero dei vertici che costituiscono l'elemento
- Macro nel caso l'elemento appartenga ad un macroelemento, rappresenta il numero del macroelemento

Nel caso si avesse scelto di determinare la portanza anche per gli elementi platea è presente un ulteriore riga nella quale sono riportate le caratteristiche geometriche del plinto equivalente alla

ANT S.r.l.		<small>CODE CODICE</small> C23ANTW001A019R00
		<small>PAGE</small> 51 di/of 209

macro/platea in esame.

Dati di carico degli elementi costituenti le fondazioni superficiali

per tipologie travi e plinti superficiali:

- Cmb numero della combinazione di carico
- Tipologia tipologia della combinazione di carico
- Sismica flag per l'applicazione della riduzione sismica alle caratteristiche meccaniche del terreno di fondazione per la combinazione di carico in esame
- Ecc. B eccentricità del carico normale agente sul piano di fondazione in direzione parallela alla sezione trasversale dell'elemento
- Ecc. L eccentricità del carico normale agente sul piano di fondazione in direzione parallela allo sviluppo longitudinale dell'elemento
- S.Taglio B sforzo di taglio agente sul piano di fondazione in direzione parallela alla sezione trasversale dell'elemento
- S.Taglio L sforzo di taglio agente sul piano di fondazione in direzione parallela allo sviluppo longitudinale dell'elemento
- S.Normale carico normale agente sul piano di fondazione
- T.T.min minimo valore della distribuzione tensionale di contatto tra terreno ed elemento fondale
- T.T.max massimo valore della distribuzione tensionale di contatto tra terreno ed elemento fondale

per tipologia platea:

- Cmb numero della combinazione di carico
- Tipologia tipologia della combinazione di carico
- Sismica flag per l'applicazione della riduzione sismica alle caratteristiche meccaniche del terreno di fondazione per la combinazione di carico in esame
- Press. N1 tensione di contatto tra terreno e fondazione nel vertice n° 1 dell'elemento

ANT S.r.l.		CODE CODICE C23ANTW001A019R00
		PAGE 52 di/of 209

- Press. N2 tensione di contatto tra terreno e fondazione nel vertice n° 2 dell'elemento
- Press. N3 tensione di contatto tra terreno e fondazione nel vertice n° 3 dell'elemento
- Press. N4 tensione di contatto tra terreno e fondazione nel vertice n° 4 dell'elemento
- S.Taglio X sforzo di taglio agente sul piano di fondazione in direzione parallela all'asse X del riferimento globale
- S.Taglio Y sforzo di taglio agente sul piano di fondazione in direzione parallela all'asse Y del riferimento globale

Nel caso si avesse scelto di determinare la portanza anche per gli elementi platea è presente un ulteriore riga nella quale sono riportate le macroazioni (integrale delle azioni applicate sui singoli elementi che compongono la platea) agenti sul plinto equivalente alla macro/platea in esame.

Valori di calcolo della portanza per fondazioni superficiali

- Cmb numero della combinazione di carico
- Qlim capacità portante totale data dalla somma di Qlim q, Qlim g, Qlim c e di Qres P (nel caso in cui si operi alle tensioni ammissibili corrisponde alla portanza ammissibile)
- Qlim q termine relativo al sovraccarico della formula trinomia per il calcolo della capacità portante (nel caso in cui si operi alle tensioni ammissibili corrisponde alla relativa parte della portanza ammissibile)
- Qlim g termine relativo alla larghezza della base di fondazione della formula trinomia per il calcolo della capacità portante (nel caso in cui si operi alle tensioni ammissibili corrisponde alla relativa parte della portanza ammissibile)
- Qlim c termine relativo alla coesione della formula trinomia per il calcolo della capacità portante (nel caso in cui si operi alle tensioni ammissibili corrisponde alla relativa parte della portanza ammissibile)
- Qres P termine relativo alla resistenza al punzonamento del terreno sovrastante lo strato di rottura. Diverso da zero solo nel caso di terreni stratificati dove lo strato di rottura è diverso dal primo (nel caso in cui si operi alle tensioni ammissibili corrisponde alla relativa parte della portanza ammissibile)

ANT S.r.l.		CODE CODICE C23ANTW001A019R00
		PAGE 53 di/of 209

- Q_{max} / Q_{lim} rapporto tra il massimo valore della distribuzione tensionale di contatto tra terreno ed elemento fondale ed il valore della capacità portante (verifica positiva se il rapporto è < 1.0).
- T_{Blim} valore limite della resistenza a scorrimento in direzione parallela alla sezione trasversale dell'elemento
- T_B / T_{Blim} rapporto tra lo sforzo di taglio agente ed il valore limite della resistenza a scorrimento in direzione parallela alla sezione trasversale dell'elemento (verifica positiva se il rapporto è < 1.0)
- T_{Llim} valore limite della resistenza a scorrimento in direzione parallela allo sviluppo longitudinale dell'elemento
- T_L / T_{Llim} rapporto tra lo sforzo di taglio agente ed il valore limite della resistenza a scorrimento in direzione parallela allo sviluppo longitudinale dell'elemento (verifica positiva se il rapporto è < 1.0)
- Sgm. Lt. tensione litostatica agente alla quota del piano di posa dell'elemento fondale

Nel caso si avesse scelto di determinare la portanza anche per gli elementi platea è presente un'ulteriore riga nella quale sono riportate le verifiche di portanza del plinto equivalente alla macro/platea in esame.

Valori di calcolo dei cedimenti per fondazioni superficiali

- Cmb numero della combinazione di carico e tipologia
- Nodo vertice dell'elemento in cui viene calcolato il cedimento
- Car. Netto valore del carico netto applicato sulla superficie del terreno
- Cedimento/i valore del cedimento (nel caso di calcolo di cedimenti elastici i valori riportati sono due, il primo corrisponde al cedimento $w_{imp.}$, mentre il secondo al cedimento $w_{Lib.}$)

ANT S.r.l.		CODE CODICE C23ANTW001A019R00
		PAGE 54 di/of 209

18. PARAMETRI DI CALCOLO

Metodi di calcolo della portanza per fondazioni superficiali:

- Per terreni sciolti: Brinch - Hansen
- Per terreni lapidei: Terzaghi

Fattori utilizzati per il calcolo della portanza per fondazioni superficiali :

- Riduzione dimensioni per eccentricità: si
- Fattori di forma della fondazione: si
- Fattori di profondità del piano di posa: si
- Fattori di inclinazione del carico: si
- Fattori di punzonamento (Vesic): si
- Fattore riduzione effetto piastra (Bowles): si
- Fattore di riduzione dimensione Base equivalente platea: 20,0 %
- Fattore di riduzione dimensione Lunghezza equivalente platea: 20,0 %

Coefficienti parziali di sicurezza per Tensioni Ammissibili, SLE nel calcolo della portanza per fondazioni superficiali:

- Coeff. parziale di sicurezza Fc (statico): 2,50
- Coeff. parziale di sicurezza Fq (statico): 2,50
- Coeff. parziale di sicurezza Fg (statico): 2,50
- Coeff. parziale di sicurezza Fc (sismico): 3,00
- Coeff. parziale di sicurezza Fq (sismico): 3,00
- Coeff. parziale di sicurezza Fg (sismico): 3,00

Combinazioni di carico:

APPROCCIO PROGETTUALE TIPO 2 - Comb. (A1+M1+R3)

Coefficienti parziali di sicurezza per SLU nel calcolo della portanza per fondazioni superficiali :

I coeff. A1 risultano combinati secondo lo schema presente nella relazione di calcolo della struttura.

ANT S.r.l.		CODE CODICE C23ANTW001A019R00
		PAGE 55 di/of 209

- Coeff. M1 per Tan ϕ (statico): 1
- Coeff. M1 per c' (statico): 1
- Coeff. M1 per Cu (statico): 1
- Coeff. M1 per Tan ϕ (sismico): 1
- Coeff. M1 per c' (sismico): 1
- Coeff. M1 per Cu sismico): 1

- Coeff. R3 capacità portante (statico e sismico): 2,30
- Coeff. R3 scorrimento (statico e sismico): 1,10

Parametri per la verifica a scorrimento delle fondazioni superficiali:

- Fattore per l'adesione ($6 < Ca < 10$): 8
- Fattore per attrito terreno-fondazione ($5 < \Delta < 10$): 7
- Frazione di spinta passiva fSp: 50,00 %
- Coeff. resistenza sulle sup. laterali: 1,30

Metodi e parametri per il calcolo dei cedimenti delle fondazioni superficiali:

- Metodo di calcolo tensioni superficiali: Boussinesq
- Modalità d'interferenza dei bulbi tensionali: sovrapposizione dei bulbi
- Metodo di calcolo dei cedimenti del terreno: cedimenti edometrici

ARCHIVIO STRATIGRAFIE

Indice / Descrizione: 001 / Stratigrafia Macomer 2

Numero strati: 1

Profondità falda: assente

Strato n. Neg.	Quota di riferimento	Spessore	Indice / Descrizione terreno	Attrito
-------------------	----------------------	----------	------------------------------	---------

ANT S.r.l.		<i>CODE CODICE</i> C23ANTW001A019R00
		<i>PAGE</i> 56 di/of 209

1 da 0,0 a -500,0 cm 500,0 cm 001 / Basalti alcalini e trachibasalti Assente

ARCHIVIO TERRENI

Indice / Descrizione terreno: **001 / Basalti alcalini e trachibasalti**

Comportamento del terreno: litoide (roccia)

Peso Spec.	P. Spec. Sat.	Angolo Res.	Coesione	Mod.Elast.	Poisson	RQD	C. Ades.
daN/cm ³	daN/cm ³	Gradi°	daN/cm ²	daN/cm ²	%	%	
2,200 E-3	2,200 E-3	32,000	0,100	1000,000	0,295	50,0	0,90

ANT S.r.l.		CODE CODICE C23ANTW001A019R00
		PAGE 57 di/of 209

19. DATI GEOMETRICI DEGLI ELEMENTI COSTITUENTI LE FONDAZIONI SUPERFICIALI

19.1. LEGENDA TABELLA DATI GEOMETRICI

Elemento	Tipologia	Id.Strat.		Prof. Fon.	Dia. Eq.	Spessore	Superficie	Vertici
Macro								
n.		mm	mm	mm	mm ²	n. per elem.	n.	
Platea n. 1	Platea	001	625.00	1416.71	1250.00	1576351.00	4	1
Platea n. 2	Platea	001	700.00	1382.70	1400.00	1501575.00	4	1
Platea n. 3	Platea	001	775.00	1347.84	1550.00	1426800.00	4	1
Platea n. 4	Platea	001	850.00	1312.04	1700.00	1352026.00	4	1
Platea n. 5	Platea	001	925.00	1275.82	1850.00	1278406.00	4	1
Platea n. 6	Platea	001	1000.00	1236.76	2000.00	1201324.00	4	1
Platea n. 7	Platea	001	1075.00	1198.26	2150.00	1127703.00	4	1
Platea n. 8	Platea	001	1150.00	1157.86	2300.00	1052929.00	4	1
Platea n. 9	Platea	001	1225.00	1115.99	2450.00	978154.00	4	1
Platea n. 10	Platea	001	1300.00	1072.48	2600.00	903379.60	4	1
Platea n. 11	Platea	001	1375.00	1027.14	2750.00	828605.20	4	1
Platea n. 12	Platea	001	1450.00	979.70	2900.00	753830.50	4	1
Platea n. 13	Platea	001	1525.00	929.84	3050.00	679056.30	4	1
Platea n. 14	Platea	001	1600.00	877.15	3200.00	604281.80	4	1
Platea n. 15	Platea	001	1675.00	821.09	3350.00	529507.40	4	1
Platea n. 16	Platea	001	1750.00	760.91	3500.00	454733.00	4	1
Platea n. 17	Platea	001	2175.00	607.52	4350.00	289877.30	4	1
Platea n. 18	Platea	001	2175.00	622.26	4350.00	304112.40	4	1
Platea n. 19	Platea	001	2175.00	552.11	4350.00	239407.60	4	1
Platea n. 20	Platea	001	2175.00	471.63	4350.00	174702.90	4	1
Platea n. 21	Platea	001	2175.00	374.24	4350.00	109998.10	4	1
Platea n. 22	Platea	001	2175.00	243.55	4350.00	46587.43	3	1
Platea n. 23	Platea	001	625.00	1416.71	1250.00	1576351.00	4	1
Platea n. 24	Platea	001	700.00	1382.70	1400.00	1501575.00	4	1
Platea n. 25	Platea	001	775.00	1347.84	1550.00	1426800.00	4	1
Platea n. 26	Platea	001	850.00	1312.04	1700.00	1352026.00	4	1
Platea n. 27	Platea	001	925.00	1275.82	1850.00	1278406.00	4	1

ANT S.r.l.		CODE CODICE C23ANTW001A019R00
		PAGE 58 di/of 209

Platea n. 28	Platea	001	1000.00	1236.76	2000.00	1201324.00	4	1
Platea n. 29	Platea	001	1075.00	1198.26	2150.00	1127703.00	4	1
Platea n. 30	Platea	001	1150.00	1157.86	2300.00	1052929.00	4	1
Platea n. 31	Platea	001	1225.00	1115.99	2450.00	978154.00	4	1
Platea n. 32	Platea	001	1300.00	1072.48	2600.00	903379.60	4	1
Platea n. 33	Platea	001	1375.00	1027.14	2750.00	828605.20	4	1
Platea n. 34	Platea	001	1450.00	979.70	2900.00	753830.50	4	1
Platea n. 35	Platea	001	1525.00	929.84	3050.00	679056.30	4	1
Platea n. 36	Platea	001	1600.00	877.15	3200.00	604281.80	4	1
Platea n. 37	Platea	001	1675.00	821.09	3350.00	529507.40	4	1
Platea n. 38	Platea	001	1750.00	760.91	3500.00	454733.00	4	1
Platea n. 39	Platea	001	2175.00	607.52	4350.00	289877.30	4	1
Platea n. 40	Platea	001	2175.00	622.26	4350.00	304112.40	4	1
Platea n. 41	Platea	001	2175.00	552.11	4350.00	239407.60	4	1
Platea n. 42	Platea	001	2175.00	471.63	4350.00	174702.90	4	1
Platea n. 43	Platea	001	2175.00	374.24	4350.00	109998.10	4	1
Platea n. 44	Platea	001	2175.00	243.55	4350.00	46587.43	3	1
Platea n. 45	Platea	001	625.00	1416.71	1250.00	1576351.00	4	1
Platea n. 46	Platea	001	700.00	1382.70	1400.00	1501575.00	4	1
Platea n. 47	Platea	001	775.00	1347.84	1550.00	1426800.00	4	1
Platea n. 48	Platea	001	850.00	1312.04	1700.00	1352027.00	4	1
Platea n. 49	Platea	001	925.00	1275.82	1850.00	1278406.00	4	1
Platea n. 50	Platea	001	1000.00	1236.76	2000.00	1201324.00	4	1
Platea n. 51	Platea	001	1075.00	1198.26	2150.00	1127703.00	4	1
Platea n. 52	Platea	001	1150.00	1157.86	2300.00	1052929.00	4	1
Platea n. 53	Platea	001	1225.00	1115.99	2450.00	978154.20	4	1
Platea n. 54	Platea	001	1300.00	1072.48	2600.00	903379.30	4	1
Platea n. 55	Platea	001	1375.00	1027.14	2750.00	828605.30	4	1
Platea n. 56	Platea	001	1450.00	979.70	2900.00	753830.50	4	1
Platea n. 57	Platea	001	1525.00	929.84	3050.00	679056.30	4	1
Platea n. 58	Platea	001	1600.00	877.15	3200.00	604281.80	4	1
Platea n. 59	Platea	001	1675.00	821.09	3350.00	529507.50	4	1
Platea n. 60	Platea	001	1750.00	760.91	3500.00	454732.90	4	1
Platea n. 61	Platea	001	2175.00	607.52	4350.00	289877.30	4	1

ANT S.r.l.		CODE CODICE C23ANTW001A019R00
		PAGE 59 di/of 209

Platea n. 62	Platea	001	2175.00	622.26	4350.00	304112.40	4	1
Platea n. 63	Platea	001	2175.00	552.11	4350.00	239407.60	4	1
Platea n. 64	Platea	001	2175.00	471.63	4350.00	174702.80	4	1
Platea n. 65	Platea	001	2175.00	374.24	4350.00	109998.10	4	1
Platea n. 66	Platea	001	2175.00	243.55	4350.00	46587.43	3	1
Platea n. 67	Platea	001	625.00	1416.71	1250.00	1576350.00	4	1
Platea n. 68	Platea	001	700.00	1382.70	1400.00	1501575.00	4	1
Platea n. 69	Platea	001	775.00	1347.84	1550.00	1426800.00	4	1
Platea n. 70	Platea	001	850.00	1312.04	1700.00	1352027.00	4	1
Platea n. 71	Platea	001	925.00	1275.82	1850.00	1278404.00	4	1
Platea n. 72	Platea	001	1000.00	1236.76	2000.00	1201325.00	4	1
Platea n. 73	Platea	001	1075.00	1198.26	2150.00	1127702.00	4	1
Platea n. 74	Platea	001	1150.00	1157.86	2300.00	1052929.00	4	1
Platea n. 75	Platea	001	1225.00	1115.99	2450.00	978153.70	4	1
Platea n. 76	Platea	001	1300.00	1072.48	2600.00	903379.30	4	1
Platea n. 77	Platea	001	1375.00	1027.14	2750.00	828605.30	4	1
Platea n. 78	Platea	001	1450.00	979.70	2900.00	753830.60	4	1
Platea n. 79	Platea	001	1525.00	929.84	3050.00	679056.30	4	1
Platea n. 80	Platea	001	1600.00	877.15	3200.00	604281.80	4	1
Platea n. 81	Platea	001	1675.00	821.09	3350.00	529507.60	4	1
Platea n. 82	Platea	001	1750.00	760.91	3500.00	454732.90	4	1
Platea n. 83	Platea	001	2175.00	607.52	4350.00	289877.30	4	1
Platea n. 84	Platea	001	2175.00	622.26	4350.00	304112.40	4	1
Platea n. 85	Platea	001	2175.00	552.11	4350.00	239407.60	4	1
Platea n. 86	Platea	001	2175.00	471.63	4350.00	174702.90	4	1
Platea n. 87	Platea	001	2175.00	374.24	4350.00	109998.10	4	1
Platea n. 88	Platea	001	2175.00	243.55	4350.00	46587.43	3	1
Platea n. 89	Platea	001	625.00	1416.71	1250.00	1576350.00	4	1
Platea n. 90	Platea	001	700.00	1382.70	1400.00	1501575.00	4	1
Platea n. 91	Platea	001	775.00	1347.84	1550.00	1426800.00	4	1
Platea n. 92	Platea	001	850.00	1312.04	1700.00	1352027.00	4	1
Platea n. 93	Platea	001	925.00	1275.82	1850.00	1278404.00	4	1
Platea n. 94	Platea	001	1000.00	1236.76	2000.00	1201325.00	4	1
Platea n. 95	Platea	001	1075.00	1198.26	2150.00	1127702.00	4	1

ANT S.r.l.		CODE CODICE C23ANTW001A019R00
		PAGE 60 di/of 209

Platea n. 96	Platea	001	1150.00	1157.86	2300.00	1052929.00	4	1
Platea n. 97	Platea	001	1225.00	1115.99	2450.00	978153.70	4	1
Platea n. 98	Platea	001	1300.00	1072.48	2600.00	903379.30	4	1
Platea n. 99	Platea	001	1375.00	1027.14	2750.00	828605.30	4	1
Platea n. 100	Platea	001	1450.00	979.70	2900.00	753830.60	4	1
Platea n. 101	Platea	001	1525.00	929.84	3050.00	679056.30	4	1
Platea n. 102	Platea	001	1600.00	877.15	3200.00	604281.80	4	1
Platea n. 103	Platea	001	1675.00	821.09	3350.00	529507.60	4	1
Platea n. 104	Platea	001	1750.00	760.91	3500.00	454732.90	4	1
Platea n. 105	Platea	001	2175.00	607.52	4350.00	289877.30	4	1
Platea n. 106	Platea	001	2175.00	622.26	4350.00	304112.40	4	1
Platea n. 107	Platea	001	2175.00	552.11	4350.00	239407.60	4	1
Platea n. 108	Platea	001	2175.00	471.63	4350.00	174702.90	4	1
Platea n. 109	Platea	001	2175.00	374.24	4350.00	109998.10	4	1
Platea n. 110	Platea	001	2175.00	243.55	4350.00	46587.43	3	1
Platea n. 111	Platea	001	625.00	1416.71	1250.00	1576351.00	4	1
Platea n. 112	Platea	001	700.00	1382.70	1400.00	1501575.00	4	1
Platea n. 113	Platea	001	775.00	1347.84	1550.00	1426800.00	4	1
Platea n. 114	Platea	001	850.00	1312.04	1700.00	1352027.00	4	1
Platea n. 115	Platea	001	925.00	1275.82	1850.00	1278406.00	4	1
Platea n. 116	Platea	001	1000.00	1236.76	2000.00	1201324.00	4	1
Platea n. 117	Platea	001	1075.00	1198.26	2150.00	1127703.00	4	1
Platea n. 118	Platea	001	1150.00	1157.86	2300.00	1052929.00	4	1
Platea n. 119	Platea	001	1225.00	1115.99	2450.00	978154.20	4	1
Platea n. 120	Platea	001	1300.00	1072.48	2600.00	903379.30	4	1
Platea n. 121	Platea	001	1375.00	1027.14	2750.00	828605.30	4	1
Platea n. 122	Platea	001	1450.00	979.70	2900.00	753830.50	4	1
Platea n. 123	Platea	001	1525.00	929.84	3050.00	679056.30	4	1
Platea n. 124	Platea	001	1600.00	877.15	3200.00	604281.80	4	1
Platea n. 125	Platea	001	1675.00	821.09	3350.00	529507.50	4	1
Platea n. 126	Platea	001	1750.00	760.91	3500.00	454732.90	4	1
Platea n. 127	Platea	001	2175.00	607.52	4350.00	289877.30	4	1
Platea n. 128	Platea	001	2175.00	622.26	4350.00	304112.40	4	1
Platea n. 129	Platea	001	2175.00	552.11	4350.00	239407.60	4	1

ANT S.r.l.		CODE CODICE C23ANTW001A019R00
		PAGE 61 di/of 209

Platea n. 130	Platea	001	2175.00	471.63	4350.00	174702.80	4	1
Platea n. 131	Platea	001	2175.00	374.24	4350.00	109998.10	4	1
Platea n. 132	Platea	001	2175.00	243.55	4350.00	46587.43	3	1
Platea n. 133	Platea	001	625.00	1416.71	1250.00	1576351.00	4	1
Platea n. 134	Platea	001	700.00	1382.70	1400.00	1501575.00	4	1
Platea n. 135	Platea	001	775.00	1347.84	1550.00	1426800.00	4	1
Platea n. 136	Platea	001	850.00	1312.04	1700.00	1352026.00	4	1
Platea n. 137	Platea	001	925.00	1275.82	1850.00	1278406.00	4	1
Platea n. 138	Platea	001	1000.00	1236.76	2000.00	1201324.00	4	1
Platea n. 139	Platea	001	1075.00	1198.26	2150.00	1127703.00	4	1
Platea n. 140	Platea	001	1150.00	1157.86	2300.00	1052929.00	4	1
Platea n. 141	Platea	001	1225.00	1115.99	2450.00	978154.00	4	1
Platea n. 142	Platea	001	1300.00	1072.48	2600.00	903379.60	4	1
Platea n. 143	Platea	001	1375.00	1027.14	2750.00	828605.20	4	1
Platea n. 144	Platea	001	1450.00	979.70	2900.00	753830.50	4	1
Platea n. 145	Platea	001	1525.00	929.84	3050.00	679056.30	4	1
Platea n. 146	Platea	001	1600.00	877.15	3200.00	604281.80	4	1
Platea n. 147	Platea	001	1675.00	821.09	3350.00	529507.40	4	1
Platea n. 148	Platea	001	1750.00	760.91	3500.00	454733.00	4	1
Platea n. 149	Platea	001	2175.00	607.52	4350.00	289877.30	4	1
Platea n. 150	Platea	001	2175.00	622.26	4350.00	304112.40	4	1
Platea n. 151	Platea	001	2175.00	552.11	4350.00	239407.60	4	1
Platea n. 152	Platea	001	2175.00	471.63	4350.00	174702.90	4	1
Platea n. 153	Platea	001	2175.00	374.24	4350.00	109998.10	4	1
Platea n. 154	Platea	001	2175.00	243.55	4350.00	46587.43	3	1
Platea n. 155	Platea	001	625.00	1416.71	1250.00	1576351.00	4	1
Platea n. 156	Platea	001	700.00	1382.70	1400.00	1501575.00	4	1
Platea n. 157	Platea	001	775.00	1347.84	1550.00	1426800.00	4	1
Platea n. 158	Platea	001	850.00	1312.04	1700.00	1352026.00	4	1
Platea n. 159	Platea	001	925.00	1275.82	1850.00	1278406.00	4	1
Platea n. 160	Platea	001	1000.00	1236.76	2000.00	1201324.00	4	1
Platea n. 161	Platea	001	1075.00	1198.26	2150.00	1127703.00	4	1
Platea n. 162	Platea	001	1150.00	1157.86	2300.00	1052929.00	4	1
Platea n. 163	Platea	001	1225.00	1115.99	2450.00	978154.00	4	1

ANT S.r.l.		CODE CODICE C23ANTW001A019R00
		PAGE 62 di/of 209

Platea n. 164	Platea	001	1300.00	1072.48	2600.00	903379.60	4	1
Platea n. 165	Platea	001	1375.00	1027.14	2750.00	828605.20	4	1
Platea n. 166	Platea	001	1450.00	979.70	2900.00	753830.50	4	1
Platea n. 167	Platea	001	1525.00	929.84	3050.00	679056.30	4	1
Platea n. 168	Platea	001	1600.00	877.15	3200.00	604281.80	4	1
Platea n. 169	Platea	001	1675.00	821.09	3350.00	529507.40	4	1
Platea n. 170	Platea	001	1750.00	760.91	3500.00	454733.00	4	1
Platea n. 171	Platea	001	2175.00	607.52	4350.00	289877.30	4	1
Platea n. 172	Platea	001	2175.00	622.26	4350.00	304112.40	4	1
Platea n. 173	Platea	001	2175.00	552.11	4350.00	239407.60	4	1
Platea n. 174	Platea	001	2175.00	471.63	4350.00	174702.90	4	1
Platea n. 175	Platea	001	2175.00	374.24	4350.00	109998.10	4	1
Platea n. 176	Platea	001	2175.00	243.55	4350.00	46587.43	3	1
Platea n. 177	Platea	001	625.00	1416.71	1250.00	1576351.00	4	1
Platea n. 178	Platea	001	700.00	1382.70	1400.00	1501575.00	4	1
Platea n. 179	Platea	001	775.00	1347.84	1550.00	1426800.00	4	1
Platea n. 180	Platea	001	850.00	1312.04	1700.00	1352027.00	4	1
Platea n. 181	Platea	001	925.00	1275.82	1850.00	1278406.00	4	1
Platea n. 182	Platea	001	1000.00	1236.76	2000.00	1201324.00	4	1
Platea n. 183	Platea	001	1075.00	1198.26	2150.00	1127703.00	4	1
Platea n. 184	Platea	001	1150.00	1157.86	2300.00	1052929.00	4	1
Platea n. 185	Platea	001	1225.00	1115.99	2450.00	978154.20	4	1
Platea n. 186	Platea	001	1300.00	1072.48	2600.00	903379.30	4	1
Platea n. 187	Platea	001	1375.00	1027.14	2750.00	828605.30	4	1
Platea n. 188	Platea	001	1450.00	979.70	2900.00	753830.50	4	1
Platea n. 189	Platea	001	1525.00	929.84	3050.00	679056.30	4	1
Platea n. 190	Platea	001	1600.00	877.15	3200.00	604281.80	4	1
Platea n. 191	Platea	001	1675.00	821.09	3350.00	529507.50	4	1
Platea n. 192	Platea	001	1750.00	760.91	3500.00	454732.90	4	1
Platea n. 193	Platea	001	2175.00	607.52	4350.00	289877.30	4	1
Platea n. 194	Platea	001	2175.00	622.26	4350.00	304112.40	4	1
Platea n. 195	Platea	001	2175.00	552.11	4350.00	239407.60	4	1
Platea n. 196	Platea	001	2175.00	471.63	4350.00	174702.80	4	1
Platea n. 197	Platea	001	2175.00	374.24	4350.00	109998.10	4	1

ANT S.r.l.		CODE CODICE C23ANTW001A019R00
		PAGE 63 di/of 209

Platea n. 198	Platea	001	2175.00	243.55	4350.00	46587.43	3	1
Platea n. 199	Platea	001	625.00	1416.71	1250.00	1576350.00	4	1
Platea n. 200	Platea	001	700.00	1382.70	1400.00	1501575.00	4	1
Platea n. 201	Platea	001	775.00	1347.84	1550.00	1426800.00	4	1
Platea n. 202	Platea	001	850.00	1312.04	1700.00	1352027.00	4	1
Platea n. 203	Platea	001	925.00	1275.82	1850.00	1278404.00	4	1
Platea n. 204	Platea	001	1000.00	1236.76	2000.00	1201325.00	4	1
Platea n. 205	Platea	001	1075.00	1198.26	2150.00	1127702.00	4	1
Platea n. 206	Platea	001	1150.00	1157.86	2300.00	1052929.00	4	1
Platea n. 207	Platea	001	1225.00	1115.99	2450.00	978153.70	4	1
Platea n. 208	Platea	001	1300.00	1072.48	2600.00	903379.30	4	1
Platea n. 209	Platea	001	1375.00	1027.14	2750.00	828605.30	4	1
Platea n. 210	Platea	001	1450.00	979.70	2900.00	753830.60	4	1
Platea n. 211	Platea	001	1525.00	929.84	3050.00	679056.30	4	1
Platea n. 212	Platea	001	1600.00	877.15	3200.00	604281.80	4	1
Platea n. 213	Platea	001	1675.00	821.09	3350.00	529507.60	4	1
Platea n. 214	Platea	001	1750.00	760.91	3500.00	454732.90	4	1
Platea n. 215	Platea	001	2175.00	607.52	4350.00	289877.30	4	1
Platea n. 216	Platea	001	2175.00	622.26	4350.00	304112.40	4	1
Platea n. 217	Platea	001	2175.00	552.11	4350.00	239407.60	4	1
Platea n. 218	Platea	001	2175.00	471.63	4350.00	174702.90	4	1
Platea n. 219	Platea	001	2175.00	374.24	4350.00	109998.10	4	1
Platea n. 220	Platea	001	2175.00	243.55	4350.00	46587.43	3	1
Platea n. 221	Platea	001	625.00	1416.71	1250.00	1576350.00	4	1
Platea n. 222	Platea	001	700.00	1382.70	1400.00	1501575.00	4	1
Platea n. 223	Platea	001	775.00	1347.84	1550.00	1426800.00	4	1
Platea n. 224	Platea	001	850.00	1312.04	1700.00	1352027.00	4	1
Platea n. 225	Platea	001	925.00	1275.82	1850.00	1278404.00	4	1
Platea n. 226	Platea	001	1000.00	1236.76	2000.00	1201325.00	4	1
Platea n. 227	Platea	001	1075.00	1198.26	2150.00	1127702.00	4	1
Platea n. 228	Platea	001	1150.00	1157.86	2300.00	1052929.00	4	1
Platea n. 229	Platea	001	1225.00	1115.99	2450.00	978153.70	4	1
Platea n. 230	Platea	001	1300.00	1072.48	2600.00	903379.30	4	1
Platea n. 231	Platea	001	1375.00	1027.14	2750.00	828605.30	4	1

ANT S.r.l.		CODE CODICE C23ANTW001A019R00
		PAGE 64 di/of 209

Platea n. 232	Platea	001	1450.00	979.70	2900.00	753830.60	4	1
Platea n. 233	Platea	001	1525.00	929.84	3050.00	679056.30	4	1
Platea n. 234	Platea	001	1600.00	877.15	3200.00	604281.80	4	1
Platea n. 235	Platea	001	1675.00	821.09	3350.00	529507.60	4	1
Platea n. 236	Platea	001	1750.00	760.91	3500.00	454732.90	4	1
Platea n. 237	Platea	001	2175.00	607.52	4350.00	289877.30	4	1
Platea n. 238	Platea	001	2175.00	622.26	4350.00	304112.40	4	1
Platea n. 239	Platea	001	2175.00	552.11	4350.00	239407.60	4	1
Platea n. 240	Platea	001	2175.00	471.63	4350.00	174702.90	4	1
Platea n. 241	Platea	001	2175.00	374.24	4350.00	109998.10	4	1
Platea n. 242	Platea	001	2175.00	243.55	4350.00	46587.43	3	1
Platea n. 243	Platea	001	625.00	1416.71	1250.00	1576351.00	4	1
Platea n. 244	Platea	001	700.00	1382.70	1400.00	1501575.00	4	1
Platea n. 245	Platea	001	775.00	1347.84	1550.00	1426800.00	4	1
Platea n. 246	Platea	001	850.00	1312.04	1700.00	1352027.00	4	1
Platea n. 247	Platea	001	925.00	1275.82	1850.00	1278406.00	4	1
Platea n. 248	Platea	001	1000.00	1236.76	2000.00	1201324.00	4	1
Platea n. 249	Platea	001	1075.00	1198.26	2150.00	1127703.00	4	1
Platea n. 250	Platea	001	1150.00	1157.86	2300.00	1052929.00	4	1
Platea n. 251	Platea	001	1225.00	1115.99	2450.00	978154.20	4	1
Platea n. 252	Platea	001	1300.00	1072.48	2600.00	903379.30	4	1
Platea n. 253	Platea	001	1375.00	1027.14	2750.00	828605.30	4	1
Platea n. 254	Platea	001	1450.00	979.70	2900.00	753830.50	4	1
Platea n. 255	Platea	001	1525.00	929.84	3050.00	679056.30	4	1
Platea n. 256	Platea	001	1600.00	877.15	3200.00	604281.80	4	1
Platea n. 257	Platea	001	1675.00	821.09	3350.00	529507.50	4	1
Platea n. 258	Platea	001	1750.00	760.91	3500.00	454732.90	4	1
Platea n. 259	Platea	001	2175.00	607.52	4350.00	289877.30	4	1
Platea n. 260	Platea	001	2175.00	622.26	4350.00	304112.40	4	1
Platea n. 261	Platea	001	2175.00	552.11	4350.00	239407.60	4	1
Platea n. 262	Platea	001	2175.00	471.63	4350.00	174702.80	4	1
Platea n. 263	Platea	001	2175.00	374.24	4350.00	109998.10	4	1
Platea n. 264	Platea	001	2175.00	243.55	4350.00	46587.43	3	1
Platea n. 265	Platea	001	625.00	1416.71	1250.00	1576351.00	4	1

ANT S.r.l.		CODE CODICE C23ANTW001A019R00
		PAGE 65 di/of 209

Platea n. 266	Platea	001	700.00	1382.70	1400.00	1501575.00	4	1
Platea n. 267	Platea	001	775.00	1347.84	1550.00	1426800.00	4	1
Platea n. 268	Platea	001	850.00	1312.04	1700.00	1352026.00	4	1
Platea n. 269	Platea	001	925.00	1275.82	1850.00	1278406.00	4	1
Platea n. 270	Platea	001	1000.00	1236.76	2000.00	1201324.00	4	1
Platea n. 271	Platea	001	1075.00	1198.26	2150.00	1127703.00	4	1
Platea n. 272	Platea	001	1150.00	1157.86	2300.00	1052929.00	4	1
Platea n. 273	Platea	001	1225.00	1115.99	2450.00	978154.00	4	1
Platea n. 274	Platea	001	1300.00	1072.48	2600.00	903379.60	4	1
Platea n. 275	Platea	001	1375.00	1027.14	2750.00	828605.20	4	1
Platea n. 276	Platea	001	1450.00	979.70	2900.00	753830.50	4	1
Platea n. 277	Platea	001	1525.00	929.84	3050.00	679056.30	4	1
Platea n. 278	Platea	001	1600.00	877.15	3200.00	604281.80	4	1
Platea n. 279	Platea	001	1675.00	821.09	3350.00	529507.40	4	1
Platea n. 280	Platea	001	1750.00	760.91	3500.00	454733.00	4	1
Platea n. 281	Platea	001	2175.00	607.52	4350.00	289877.30	4	1
Platea n. 282	Platea	001	2175.00	622.26	4350.00	304112.40	4	1
Platea n. 283	Platea	001	2175.00	552.11	4350.00	239407.60	4	1
Platea n. 284	Platea	001	2175.00	471.63	4350.00	174702.90	4	1
Platea n. 285	Platea	001	2175.00	374.24	4350.00	109998.10	4	1
Platea n. 286	Platea	001	2175.00	243.55	4350.00	46587.43	3	1
Platea n. 287	Platea	001	625.00	1416.71	1250.00	1576351.00	4	1
Platea n. 288	Platea	001	700.00	1382.70	1400.00	1501575.00	4	1
Platea n. 289	Platea	001	775.00	1347.84	1550.00	1426800.00	4	1
Platea n. 290	Platea	001	850.00	1312.04	1700.00	1352026.00	4	1
Platea n. 291	Platea	001	925.00	1275.82	1850.00	1278406.00	4	1
Platea n. 292	Platea	001	1000.00	1236.76	2000.00	1201324.00	4	1
Platea n. 293	Platea	001	1075.00	1198.26	2150.00	1127703.00	4	1
Platea n. 294	Platea	001	1150.00	1157.86	2300.00	1052929.00	4	1
Platea n. 295	Platea	001	1225.00	1115.99	2450.00	978154.00	4	1
Platea n. 296	Platea	001	1300.00	1072.48	2600.00	903379.60	4	1
Platea n. 297	Platea	001	1375.00	1027.14	2750.00	828605.20	4	1
Platea n. 298	Platea	001	1450.00	979.70	2900.00	753830.50	4	1
Platea n. 299	Platea	001	1525.00	929.84	3050.00	679056.30	4	1

ANT S.r.l.



CODE CODICE

C23ANTW001A019R00

PAGE

66 di/of 209

Platea n. 300	Platea	001	1600.00	877.15	3200.00	604281.80	4	1
Platea n. 301	Platea	001	1675.00	821.09	3350.00	529507.40	4	1
Platea n. 302	Platea	001	1750.00	760.91	3500.00	454733.00	4	1
Platea n. 303	Platea	001	2175.00	607.52	4350.00	289877.30	4	1
Platea n. 304	Platea	001	2175.00	622.26	4350.00	304112.40	4	1
Platea n. 305	Platea	001	2175.00	552.11	4350.00	239407.60	4	1
Platea n. 306	Platea	001	2175.00	471.63	4350.00	174702.90	4	1
Platea n. 307	Platea	001	2175.00	374.24	4350.00	109998.10	4	1
Platea n. 308	Platea	001	2175.00	243.55	4350.00	46587.43	3	1
Platea n. 309	Platea	001	625.00	1416.71	1250.00	1576351.00	4	1
Platea n. 310	Platea	001	700.00	1382.70	1400.00	1501575.00	4	1
Platea n. 311	Platea	001	775.00	1347.84	1550.00	1426800.00	4	1
Platea n. 312	Platea	001	850.00	1312.04	1700.00	1352027.00	4	1
Platea n. 313	Platea	001	925.00	1275.82	1850.00	1278406.00	4	1
Platea n. 314	Platea	001	1000.00	1236.76	2000.00	1201324.00	4	1
Platea n. 315	Platea	001	1075.00	1198.26	2150.00	1127703.00	4	1
Platea n. 316	Platea	001	1150.00	1157.86	2300.00	1052929.00	4	1
Platea n. 317	Platea	001	1225.00	1115.99	2450.00	978154.20	4	1
Platea n. 318	Platea	001	1300.00	1072.48	2600.00	903379.30	4	1
Platea n. 319	Platea	001	1375.00	1027.14	2750.00	828605.30	4	1
Platea n. 320	Platea	001	1450.00	979.70	2900.00	753830.50	4	1
Platea n. 321	Platea	001	1525.00	929.84	3050.00	679056.30	4	1
Platea n. 322	Platea	001	1600.00	877.15	3200.00	604281.80	4	1
Platea n. 323	Platea	001	1675.00	821.09	3350.00	529507.50	4	1
Platea n. 324	Platea	001	1750.00	760.91	3500.00	454732.90	4	1
Platea n. 325	Platea	001	2175.00	607.52	4350.00	289877.30	4	1
Platea n. 326	Platea	001	2175.00	622.26	4350.00	304112.40	4	1
Platea n. 327	Platea	001	2175.00	552.11	4350.00	239407.60	4	1
Platea n. 328	Platea	001	2175.00	471.63	4350.00	174702.80	4	1
Platea n. 329	Platea	001	2175.00	374.24	4350.00	109998.10	4	1
Platea n. 330	Platea	001	2175.00	243.55	4350.00	46587.43	3	1
Platea n. 331	Platea	001	625.00	1416.71	1250.00	1576350.00	4	1
Platea n. 332	Platea	001	700.00	1382.70	1400.00	1501575.00	4	1
Platea n. 333	Platea	001	775.00	1347.84	1550.00	1426800.00	4	1

ANT S.r.l.		CODE CODICE C23ANTW001A019R00
		PAGE 67 di/of 209

Platea n. 334	Platea	001	850.00	1312.04	1700.00	1352027.00	4	1
Platea n. 335	Platea	001	925.00	1275.82	1850.00	1278404.00	4	1
Platea n. 336	Platea	001	1000.00	1236.76	2000.00	1201325.00	4	1
Platea n. 337	Platea	001	1075.00	1198.26	2150.00	1127702.00	4	1
Platea n. 338	Platea	001	1150.00	1157.86	2300.00	1052929.00	4	1
Platea n. 339	Platea	001	1225.00	1115.99	2450.00	978153.70	4	1
Platea n. 340	Platea	001	1300.00	1072.48	2600.00	903379.30	4	1
Platea n. 341	Platea	001	1375.00	1027.14	2750.00	828605.30	4	1
Platea n. 342	Platea	001	1450.00	979.70	2900.00	753830.60	4	1
Platea n. 343	Platea	001	1525.00	929.84	3050.00	679056.30	4	1
Platea n. 344	Platea	001	1600.00	877.15	3200.00	604281.80	4	1
Platea n. 345	Platea	001	1675.00	821.09	3350.00	529507.60	4	1
Platea n. 346	Platea	001	1750.00	760.91	3500.00	454732.90	4	1
Platea n. 347	Platea	001	2175.00	607.52	4350.00	289877.30	4	1
Platea n. 348	Platea	001	2175.00	622.26	4350.00	304112.40	4	1
Platea n. 349	Platea	001	2175.00	552.11	4350.00	239407.60	4	1
Platea n. 350	Platea	001	2175.00	471.63	4350.00	174702.90	4	1
Platea n. 351	Platea	001	2175.00	374.24	4350.00	109998.10	4	1
Platea n. 352	Platea	001	2175.00	243.55	4350.00	46587.43	3	1
Platea n. 353	Platea	001	625.00	1416.71	1250.00	1576350.00	4	1
Platea n. 354	Platea	001	700.00	1382.70	1400.00	1501575.00	4	1
Platea n. 355	Platea	001	775.00	1347.84	1550.00	1426800.00	4	1
Platea n. 356	Platea	001	850.00	1312.04	1700.00	1352027.00	4	1
Platea n. 357	Platea	001	925.00	1275.82	1850.00	1278404.00	4	1
Platea n. 358	Platea	001	1000.00	1236.76	2000.00	1201325.00	4	1
Platea n. 359	Platea	001	1075.00	1198.26	2150.00	1127702.00	4	1
Platea n. 360	Platea	001	1150.00	1157.86	2300.00	1052929.00	4	1
Platea n. 361	Platea	001	1225.00	1115.99	2450.00	978153.70	4	1
Platea n. 362	Platea	001	1300.00	1072.48	2600.00	903379.30	4	1
Platea n. 363	Platea	001	1375.00	1027.14	2750.00	828605.30	4	1
Platea n. 364	Platea	001	1450.00	979.70	2900.00	753830.60	4	1
Platea n. 365	Platea	001	1525.00	929.84	3050.00	679056.30	4	1
Platea n. 366	Platea	001	1600.00	877.15	3200.00	604281.80	4	1
Platea n. 367	Platea	001	1675.00	821.09	3350.00	529507.60	4	1

ANT S.r.l.		CODE CODICE C23ANTW001A019R00
		PAGE 68 di/of 209

Platea n. 368	Platea	001	1750.00	760.91	3500.00	454732.90	4	1
Platea n. 369	Platea	001	2175.00	607.52	4350.00	289877.30	4	1
Platea n. 370	Platea	001	2175.00	622.26	4350.00	304112.40	4	1
Platea n. 371	Platea	001	2175.00	552.11	4350.00	239407.60	4	1
Platea n. 372	Platea	001	2175.00	471.63	4350.00	174702.90	4	1
Platea n. 373	Platea	001	2175.00	374.24	4350.00	109998.10	4	1
Platea n. 374	Platea	001	2175.00	243.55	4350.00	46587.43	3	1
Platea n. 375	Platea	001	625.00	1416.71	1250.00	1576351.00	4	1
Platea n. 376	Platea	001	700.00	1382.70	1400.00	1501575.00	4	1
Platea n. 377	Platea	001	775.00	1347.84	1550.00	1426800.00	4	1
Platea n. 378	Platea	001	850.00	1312.04	1700.00	1352027.00	4	1
Platea n. 379	Platea	001	925.00	1275.82	1850.00	1278406.00	4	1
Platea n. 380	Platea	001	1000.00	1236.76	2000.00	1201324.00	4	1
Platea n. 381	Platea	001	1075.00	1198.26	2150.00	1127703.00	4	1
Platea n. 382	Platea	001	1150.00	1157.86	2300.00	1052929.00	4	1
Platea n. 383	Platea	001	1225.00	1115.99	2450.00	978154.20	4	1
Platea n. 384	Platea	001	1300.00	1072.48	2600.00	903379.30	4	1
Platea n. 385	Platea	001	1375.00	1027.14	2750.00	828605.30	4	1
Platea n. 386	Platea	001	1450.00	979.70	2900.00	753830.50	4	1
Platea n. 387	Platea	001	1525.00	929.84	3050.00	679056.30	4	1
Platea n. 388	Platea	001	1600.00	877.15	3200.00	604281.80	4	1
Platea n. 389	Platea	001	1675.00	821.09	3350.00	529507.50	4	1
Platea n. 390	Platea	001	1750.00	760.91	3500.00	454732.90	4	1
Platea n. 391	Platea	001	2175.00	607.52	4350.00	289877.30	4	1
Platea n. 392	Platea	001	2175.00	622.26	4350.00	304112.40	4	1
Platea n. 393	Platea	001	2175.00	552.11	4350.00	239407.60	4	1
Platea n. 394	Platea	001	2175.00	471.63	4350.00	174702.80	4	1
Platea n. 395	Platea	001	2175.00	374.24	4350.00	109998.10	4	1
Platea n. 396	Platea	001	2175.00	243.55	4350.00	46587.43	3	1
Platea n. 397	Platea	001	625.00	1416.71	1250.00	1576351.00	4	1
Platea n. 398	Platea	001	700.00	1382.70	1400.00	1501575.00	4	1
Platea n. 399	Platea	001	775.00	1347.84	1550.00	1426800.00	4	1
Platea n. 400	Platea	001	850.00	1312.04	1700.00	1352026.00	4	1
Platea n. 401	Platea	001	925.00	1275.82	1850.00	1278406.00	4	1

ANT S.r.l.		CODE CODICE C23ANTW001A019R00
		PAGE 69 di/of 209

Platea n. 402	Platea	001	1000.00	1236.76	2000.00	1201324.00	4	1
Platea n. 403	Platea	001	1075.00	1198.26	2150.00	1127703.00	4	1
Platea n. 404	Platea	001	1150.00	1157.86	2300.00	1052929.00	4	1
Platea n. 405	Platea	001	1225.00	1115.99	2450.00	978154.00	4	1
Platea n. 406	Platea	001	1300.00	1072.48	2600.00	903379.60	4	1
Platea n. 407	Platea	001	1375.00	1027.14	2750.00	828605.20	4	1
Platea n. 408	Platea	001	1450.00	979.70	2900.00	753830.50	4	1
Platea n. 409	Platea	001	1525.00	929.84	3050.00	679056.30	4	1
Platea n. 410	Platea	001	1600.00	877.15	3200.00	604281.80	4	1
Platea n. 411	Platea	001	1675.00	821.09	3350.00	529507.40	4	1
Platea n. 412	Platea	001	1750.00	760.91	3500.00	454733.00	4	1
Platea n. 413	Platea	001	2175.00	607.52	4350.00	289877.30	4	1
Platea n. 414	Platea	001	2175.00	622.26	4350.00	304112.40	4	1
Platea n. 415	Platea	001	2175.00	552.11	4350.00	239407.60	4	1
Platea n. 416	Platea	001	2175.00	471.63	4350.00	174702.90	4	1
Platea n. 417	Platea	001	2175.00	374.24	4350.00	109998.10	4	1
Platea n. 418	Platea	001	2175.00	243.55	4350.00	46587.43	3	1
Platea n. 419	Platea	001	625.00	1416.71	1250.00	1576351.00	4	1
Platea n. 420	Platea	001	700.00	1382.70	1400.00	1501575.00	4	1
Platea n. 421	Platea	001	775.00	1347.84	1550.00	1426800.00	4	1
Platea n. 422	Platea	001	850.00	1312.04	1700.00	1352026.00	4	1
Platea n. 423	Platea	001	925.00	1275.82	1850.00	1278406.00	4	1
Platea n. 424	Platea	001	1000.00	1236.76	2000.00	1201324.00	4	1
Platea n. 425	Platea	001	1075.00	1198.26	2150.00	1127703.00	4	1
Platea n. 426	Platea	001	1150.00	1157.86	2300.00	1052929.00	4	1
Platea n. 427	Platea	001	1225.00	1115.99	2450.00	978154.00	4	1
Platea n. 428	Platea	001	1300.00	1072.48	2600.00	903379.60	4	1
Platea n. 429	Platea	001	1375.00	1027.14	2750.00	828605.20	4	1
Platea n. 430	Platea	001	1450.00	979.70	2900.00	753830.50	4	1
Platea n. 431	Platea	001	1525.00	929.84	3050.00	679056.30	4	1
Platea n. 432	Platea	001	1600.00	877.15	3200.00	604281.80	4	1
Platea n. 433	Platea	001	1675.00	821.09	3350.00	529507.40	4	1
Platea n. 434	Platea	001	1750.00	760.91	3500.00	454733.00	4	1
Platea n. 435	Platea	001	2175.00	607.52	4350.00	289877.30	4	1

ANT S.r.l.		CODE CODICE C23ANTW001A019R00
		PAGE 70 di/of 209

Platea n. 436	Platea	001	2175.00	622.26	4350.00	304112.40	4	1
Platea n. 437	Platea	001	2175.00	552.11	4350.00	239407.60	4	1
Platea n. 438	Platea	001	2175.00	471.63	4350.00	174702.90	4	1
Platea n. 439	Platea	001	2175.00	374.24	4350.00	109998.10	4	1
Platea n. 440	Platea	001	2175.00	243.55	4350.00	46587.43	3	1
Platea n. 441	Platea	001	625.00	1416.71	1250.00	1576351.00	4	1
Platea n. 442	Platea	001	700.00	1382.70	1400.00	1501575.00	4	1
Platea n. 443	Platea	001	775.00	1347.84	1550.00	1426800.00	4	1
Platea n. 444	Platea	001	850.00	1312.04	1700.00	1352027.00	4	1
Platea n. 445	Platea	001	925.00	1275.82	1850.00	1278406.00	4	1
Platea n. 446	Platea	001	1000.00	1236.76	2000.00	1201324.00	4	1
Platea n. 447	Platea	001	1075.00	1198.26	2150.00	1127703.00	4	1
Platea n. 448	Platea	001	1150.00	1157.86	2300.00	1052929.00	4	1
Platea n. 449	Platea	001	1225.00	1115.99	2450.00	978154.20	4	1
Platea n. 450	Platea	001	1300.00	1072.48	2600.00	903379.30	4	1
Platea n. 451	Platea	001	1375.00	1027.14	2750.00	828605.30	4	1
Platea n. 452	Platea	001	1450.00	979.70	2900.00	753830.50	4	1
Platea n. 453	Platea	001	1525.00	929.84	3050.00	679056.30	4	1
Platea n. 454	Platea	001	1600.00	877.15	3200.00	604281.80	4	1
Platea n. 455	Platea	001	1675.00	821.09	3350.00	529507.50	4	1
Platea n. 456	Platea	001	1750.00	760.91	3500.00	454732.90	4	1
Platea n. 457	Platea	001	2175.00	607.52	4350.00	289877.30	4	1
Platea n. 458	Platea	001	2175.00	622.26	4350.00	304112.40	4	1
Platea n. 459	Platea	001	2175.00	552.11	4350.00	239407.60	4	1
Platea n. 460	Platea	001	2175.00	471.63	4350.00	174702.80	4	1
Platea n. 461	Platea	001	2175.00	374.24	4350.00	109998.10	4	1
Platea n. 462	Platea	001	2175.00	243.55	4350.00	46587.43	3	1
Platea n. 463	Platea	001	625.00	1416.71	1250.00	1576350.00	4	1
Platea n. 464	Platea	001	700.00	1382.70	1400.00	1501575.00	4	1
Platea n. 465	Platea	001	775.00	1347.84	1550.00	1426800.00	4	1
Platea n. 466	Platea	001	850.00	1312.04	1700.00	1352027.00	4	1
Platea n. 467	Platea	001	925.00	1275.82	1850.00	1278404.00	4	1
Platea n. 468	Platea	001	1000.00	1236.76	2000.00	1201325.00	4	1
Platea n. 469	Platea	001	1075.00	1198.26	2150.00	1127702.00	4	1

ANT S.r.l.



CODE CODICE

C23ANTW001A019R00

PAGE

71 di/of 209

Platea n. 470	Platea	001	1150.00	1157.86	2300.00	1052929.00	4	1
Platea n. 471	Platea	001	1225.00	1115.99	2450.00	978153.70	4	1
Platea n. 472	Platea	001	1300.00	1072.48	2600.00	903379.30	4	1
Platea n. 473	Platea	001	1375.00	1027.14	2750.00	828605.30	4	1
Platea n. 474	Platea	001	1450.00	979.70	2900.00	753830.60	4	1
Platea n. 475	Platea	001	1525.00	929.84	3050.00	679056.30	4	1
Platea n. 476	Platea	001	1600.00	877.15	3200.00	604281.80	4	1
Platea n. 477	Platea	001	1675.00	821.09	3350.00	529507.60	4	1
Platea n. 478	Platea	001	1750.00	760.91	3500.00	454732.90	4	1
Platea n. 479	Platea	001	2175.00	607.52	4350.00	289877.30	4	1
Platea n. 480	Platea	001	2175.00	622.26	4350.00	304112.40	4	1
Platea n. 481	Platea	001	2175.00	552.11	4350.00	239407.60	4	1
Platea n. 482	Platea	001	2175.00	471.63	4350.00	174702.90	4	1
Platea n. 483	Platea	001	2175.00	374.24	4350.00	109998.10	4	1
Platea n. 484	Platea	001	2175.00	243.55	4350.00	46587.43	3	1
Platea n. 485	Platea	001	625.00	1416.71	1250.00	1576350.00	4	1
Platea n. 486	Platea	001	700.00	1382.70	1400.00	1501575.00	4	1
Platea n. 487	Platea	001	775.00	1347.84	1550.00	1426800.00	4	1
Platea n. 488	Platea	001	850.00	1312.04	1700.00	1352027.00	4	1
Platea n. 489	Platea	001	925.00	1275.82	1850.00	1278404.00	4	1
Platea n. 490	Platea	001	1000.00	1236.76	2000.00	1201325.00	4	1
Platea n. 491	Platea	001	1075.00	1198.26	2150.00	1127702.00	4	1
Platea n. 492	Platea	001	1150.00	1157.86	2300.00	1052929.00	4	1
Platea n. 493	Platea	001	1225.00	1115.99	2450.00	978153.70	4	1
Platea n. 494	Platea	001	1300.00	1072.48	2600.00	903379.30	4	1
Platea n. 495	Platea	001	1375.00	1027.14	2750.00	828605.30	4	1
Platea n. 496	Platea	001	1450.00	979.70	2900.00	753830.60	4	1
Platea n. 497	Platea	001	1525.00	929.84	3050.00	679056.30	4	1
Platea n. 498	Platea	001	1600.00	877.15	3200.00	604281.80	4	1
Platea n. 499	Platea	001	1675.00	821.09	3350.00	529507.60	4	1
Platea n. 500	Platea	001	1750.00	760.91	3500.00	454732.90	4	1
Platea n. 501	Platea	001	2175.00	607.52	4350.00	289877.30	4	1
Platea n. 502	Platea	001	2175.00	622.26	4350.00	304112.40	4	1
Platea n. 503	Platea	001	2175.00	552.11	4350.00	239407.60	4	1

ANT S.r.l.		CODE CODICE C23ANTW001A019R00
		PAGE 72 di/of 209

Platea n. 504	Platea	001	2175.00	471.63	4350.00	174702.90	4	1
Platea n. 505	Platea	001	2175.00	374.24	4350.00	109998.10	4	1
Platea n. 506	Platea	001	2175.00	243.55	4350.00	46587.43	3	1
Platea n. 507	Platea	001	625.00	1416.71	1250.00	1576351.00	4	1
Platea n. 508	Platea	001	700.00	1382.70	1400.00	1501575.00	4	1
Platea n. 509	Platea	001	775.00	1347.84	1550.00	1426800.00	4	1
Platea n. 510	Platea	001	850.00	1312.04	1700.00	1352027.00	4	1
Platea n. 511	Platea	001	925.00	1275.82	1850.00	1278406.00	4	1
Platea n. 512	Platea	001	1000.00	1236.76	2000.00	1201324.00	4	1
Platea n. 513	Platea	001	1075.00	1198.26	2150.00	1127703.00	4	1
Platea n. 514	Platea	001	1150.00	1157.86	2300.00	1052929.00	4	1
Platea n. 515	Platea	001	1225.00	1115.99	2450.00	978154.20	4	1
Platea n. 516	Platea	001	1300.00	1072.48	2600.00	903379.30	4	1
Platea n. 517	Platea	001	1375.00	1027.14	2750.00	828605.30	4	1
Platea n. 518	Platea	001	1450.00	979.70	2900.00	753830.50	4	1
Platea n. 519	Platea	001	1525.00	929.84	3050.00	679056.30	4	1
Platea n. 520	Platea	001	1600.00	877.15	3200.00	604281.80	4	1
Platea n. 521	Platea	001	1675.00	821.09	3350.00	529507.50	4	1
Platea n. 522	Platea	001	1750.00	760.91	3500.00	454732.90	4	1
Platea n. 523	Platea	001	2175.00	607.52	4350.00	289877.30	4	1
Platea n. 524	Platea	001	2175.00	622.26	4350.00	304112.40	4	1
Platea n. 525	Platea	001	2175.00	552.11	4350.00	239407.60	4	1
Platea n. 526	Platea	001	2175.00	471.63	4350.00	174702.80	4	1
Platea n. 527	Platea	001	2175.00	374.24	4350.00	109998.10	4	1
Platea n. 528	Platea	001	2175.00	243.55	4350.00	46587.43	3	1

Elemento	Tipologia	Id.Strat.	Prof. Fon.	Base Eq.	Spessore	Lung. Eq.	Lung. Travata Eq.
n.		mm mm	mm	mm	mm		
Macro n. 1	Macro-Platea	001	625.00	16354.48	1250.00	16354.48	16354.48

ANT S.r.l.		CODE CODICE C23ANTW001A019R00
		PAGE 73 di/of 209

20. DATI DI CARICO DEGLI ELEMENTI COSTITUENTI LE FONDAZIONI SUPERFICIALI

20.1. LEGENDA TABELLA CARICHI DEGLI ELEMENTI

Elemento: Platea macro n. 1

Cmb	Tipo	Sism.	Ecc. B	Ecc. L	S. Taglio B	S. Taglio L	S. Normale	T.T. min	T.T. max
n.			mm	mm	N	N	N	N/mm ²	N/mm ²
001	SLU STR No		7572.47	-0.71	8059598.0	-0.4	-61502110.0	0.20580350	-0.45389100
002	SLU STR No		9972.69	-0.70	8044216.0	-0.6	-47309290.0	0.23871810	-0.42956000
003	SLV A1 Si		-428.71	-0.84	1471726.0	424752.5	-47312610.0	-0.08131556	-0.16659530
004	SLV A1 Si		-428.71	-0.57	1471726.0	-428115.1	-47312620.0	-0.08131556	-0.16659530
005	SLV A1 Si		-427.80	-0.84	-1369163.0	428114.7	-47306050.0	-0.08089152	-0.16625350
006	SLV A1 Si		-427.80	-0.57	-1369162.0	-424752.8	-47306050.0	-0.08089152	-0.16625350
007	SLV A1 Si		-428.71	-0.84	1471727.0	425799.1	-47312600.0	-0.08131556	-0.16659530
008	SLV A1 Si		-428.71	-0.56	1471726.0	-429161.3	-47312580.0	-0.08131556	-0.16659530
009	SLV A1 Si		-427.80	-0.85	-1369163.0	429161.3	-47306070.0	-0.08089152	-0.16625350
010	SLV A1 Si		-427.80	-0.57	-1369163.0	-425799.4	-47306060.0	-0.08089152	-0.16625350
011	SLV A1 Si		-428.71	-0.84	1471727.0	428114.6	-47312590.0	-0.08131556	-0.16659530
012	SLV A1 Si		-428.71	-0.57	1471726.0	-424752.7	-47312600.0	-0.08131556	-0.16659530
013	SLV A1 Si		-427.80	-0.84	-1369163.0	424753.1	-47306020.0	-0.08089152	-0.16625350
014	SLV A1 Si		-427.80	-0.57	-1369162.0	-428114.8	-47306040.0	-0.08089152	-0.16625350
015	SLV A1 Si		-428.71	-0.85	1471727.0	429161.3	-47312600.0	-0.08131556	-0.16659530
016	SLV A1 Si		-428.71	-0.57	1471726.0	-425799.3	-47312600.0	-0.08131556	-0.16659530
017	SLV A1 Si		-427.80	-0.84	-1369163.0	425799.3	-47306080.0	-0.08089152	-0.16625350
018	SLV A1 Si		-427.80	-0.56	-1369162.0	-429161.5	-47306060.0	-0.08089152	-0.16625350
019	SLV A1 Si		-428.39	-1.16	477415.0	1420941.0	-47310330.0	-0.08116716	-0.16647570
020	SLV A1 Si		-428.39	-0.25	477414.8	-1421950.0	-47310300.0	-0.08116716	-0.16647570
021	SLV A1 Si		-428.12	-1.16	-374851.7	1421950.0	-47308360.0	-0.08103993	-0.16637310
022	SLV A1 Si		-428.12	-0.25	-374851.8	-1420942.0	-47308330.0	-0.08103993	-0.16637310
023	SLV A1 Si		-428.39	-1.16	477415.0	1421950.0	-47310300.0	-0.08116716	-0.16647570
024	SLV A1 Si		-428.39	-0.25	477414.9	-1420942.0	-47310320.0	-0.08116716	-0.16647570
025	SLV A1 Si		-428.12	-1.16	-374851.8	1420941.0	-47308340.0	-0.08103993	-0.16637310
026	SLV A1 Si		-428.12	-0.25	-374852.0	-1421951.0	-47308340.0	-0.08103993	-0.16637310
027	SLV A1 Si		-428.39	-1.17	477414.9	1424430.0	-47310320.0	-0.08116716	-0.16647570

ANT S.r.l.



CODE CODICE

C23ANTW001A019R00

PAGE

74 di/of 209

028	SLV A1	Si	-428.39	-0.24	477415.3	-1425439.0	-47310300.0	-0.08116716	-0.16647570
029	SLV A1	Si	-428.12	-1.17	-374851.7	1425438.0	-47308360.0	-0.08103993	-0.16637310
030	SLV A1	Si	-428.12	-0.24	-374851.5	-1424431.0	-47308340.0	-0.08103993	-0.16637310
031	SLV A1	Si	-428.39	-1.17	477415.0	1425439.0	-47310280.0	-0.08116716	-0.16647570
032	SLV A1	Si	-428.39	-0.24	477415.0	-1424430.0	-47310290.0	-0.08116716	-0.16647570
033	SLV A1	Si	-428.12	-1.17	-374851.8	1424431.0	-47308340.0	-0.08103993	-0.16637310
034	SLV A1	Si	-428.12	-0.24	-374851.7	-1425439.0	-47308340.0	-0.08103993	-0.16637310
035	SLD	Si	-428.61	-0.81	1133936.0	323774.5	-47311850.0	-0.08126505	-0.16655470
036	SLD	Si	-428.60	-0.60	1133935.0	-326775.6	-47311880.0	-0.08126505	-0.16655470
037	SLD	Si	-427.90	-0.81	-1031372.0	326775.6	-47306790.0	-0.08094203	-0.16629410
038	SLD	Si	-427.90	-0.60	-1031373.0	-323774.6	-47306760.0	-0.08094203	-0.16629410
039	SLD	Si	-428.60	-0.81	1133936.0	325249.8	-47311860.0	-0.08126505	-0.16655470
040	SLD	Si	-428.60	-0.59	1133935.0	-328250.9	-47311850.0	-0.08126505	-0.16655470
041	SLD	Si	-427.90	-0.82	-1031372.0	328250.7	-47306790.0	-0.08094203	-0.16629410
042	SLD	Si	-427.90	-0.60	-1031372.0	-325249.8	-47306780.0	-0.08094203	-0.16629410
043	SLD	Si	-428.60	-0.81	1133935.0	326775.5	-47311860.0	-0.08126505	-0.16655470
044	SLD	Si	-428.60	-0.60	1133935.0	-323774.6	-47311880.0	-0.08126505	-0.16655470
045	SLD	Si	-427.90	-0.81	-1031372.0	323774.7	-47306800.0	-0.08094203	-0.16629410
046	SLD	Si	-427.90	-0.60	-1031373.0	-326775.6	-47306790.0	-0.08094203	-0.16629410
047	SLD	Si	-428.61	-0.82	1133935.0	328250.9	-47311860.0	-0.08126505	-0.16655470
048	SLD	Si	-428.60	-0.60	1133935.0	-325249.9	-47311870.0	-0.08126505	-0.16655470
049	SLD	Si	-427.90	-0.81	-1031372.0	325249.7	-47306790.0	-0.08094203	-0.16629410
050	SLD	Si	-427.90	-0.59	-1031372.0	-328251.0	-47306800.0	-0.08094203	-0.16629410
051	SLD	Si	-428.36	-1.05	376077.8	1083800.0	-47310080.0	-0.08115200	-0.16646350
052	SLD	Si	-428.36	-0.36	376078.0	-1084700.0	-47310120.0	-0.08115200	-0.16646350
053	SLD	Si	-428.15	-1.05	-273514.4	1084701.0	-47308580.0	-0.08105507	-0.16638530
054	SLD	Si	-428.15	-0.36	-273514.6	-1083800.0	-47308580.0	-0.08105507	-0.16638530
055	SLD	Si	-428.36	-1.05	376077.7	1084700.0	-47310090.0	-0.08115200	-0.16646350
056	SLD	Si	-428.36	-0.36	376077.7	-1083800.0	-47310080.0	-0.08115200	-0.16646350
057	SLD	Si	-428.15	-1.05	-273514.4	1083800.0	-47308560.0	-0.08105507	-0.16638530
058	SLD	Si	-428.15	-0.36	-273514.4	-1084700.0	-47308550.0	-0.08105507	-0.16638530
059	SLD	Si	-428.36	-1.06	376077.6	1088718.0	-47310100.0	-0.08115200	-0.16646350
060	SLD	Si	-428.36	-0.34	376077.6	-1089618.0	-47310060.0	-0.08115200	-0.16646350
061	SLD	Si	-428.15	-1.06	-273514.6	1089618.0	-47308560.0	-0.08105507	-0.16638530

ANT S.r.l.		<i>CODE CODICE</i> C23ANTW001A019R00
		<i>PAGE</i> 75 di/of 209

062	SLD	Si	-428.15	-0.35	-273514.5	-1088718.0	-47308580.0	-0.08105507	-0.16638530
063	SLD	Si	-428.36	-1.07	376077.7	1089618.0	-47310100.0	-0.08115200	-0.16646350
064	SLD	Si	-428.36	-0.35	376077.8	-1088718.0	-47310120.0	-0.08115200	-0.16646350
065	SLD	Si	-428.15	-1.06	-273514.6	1088718.0	-47308560.0	-0.08105507	-0.16638530
066	SLD	Si	-428.15	-0.34	-273514.4	-1089618.0	-47308580.0	-0.08105507	-0.16638530
067	SLE rare	No	6505.71	-0.71	5379903.0	-0.3	-47309300.0	0.12257360	-0.31340790
068	SLE freq	No	958.54	-0.71	1117006.0	-0.1	-47309300.0	-0.06325749	-0.17666340
069	SLE q.p.	No	-428.25	-0.70	51281.6	0.0	-47309320.0	-0.08110353	-0.16642440

ANT S.r.l.		CODE CODICE C23ANTW001A019R00
		PAGE 76 di/of 209

21. VALORI DI CALCOLO DELLA PORTANZA PER FONDAZIONI SUPERFICIALI

21.1. LEGENDA TABELLA DATI MATERIALI

I coeff. A1 risultano combinati secondo lo schema presente nella relazione di calcolo della struttura. Le azioni trasmesse in fondazione, relative alle combinazioni di tipo sismico, non saranno amplificate in quanto determinate ipotizzando un comportamento non dissipativo.

La verifica nei confronti dello Stato Limite di Danno viene eseguita determinando il carico limite della fondazione per le corrispondenti azioni di SLD, impiegando i coefficienti parziali gammaR di cui alla tabella 7.11.II.

Macro platea: 1

Cmb.	QmaxQlim	Qmax/Qlim	TL	TLlim	TL/TLlim	TB	TBlim	TB/TBlim	Stato	
n.	N/mm ² N/mm ²	daN	N			N	N			
1	0.45389100	0.53489730	0.849	0.4	24990080.0	0.000	8059598.0	24990080.0	0.323	Ok
2	0.42956000	0.53489730	0.803	0.6	19672030.0	0.000	8044216.0	19672030.0	0.409	Ok
3	0.16659530	0.53489730	0.311	424752.5	19673280.0	0.022	1471726.0	19673280.0	0.075	Ok
4	0.16659530	0.53489730	0.311	428115.1	19673280.0	0.022	1471726.0	19673280.0	0.075	Ok
5	0.16625350	0.53489730	0.311	428114.7	19670820.0	0.022	1369163.0	19670820.0	0.070	Ok
6	0.16625350	0.53489730	0.311	424752.8	19670820.0	0.022	1369162.0	19670820.0	0.070	Ok
7	0.16659530	0.53489730	0.311	425799.1	19673270.0	0.022	1471727.0	19673270.0	0.075	Ok
8	0.16659530	0.53489730	0.311	429161.3	19673260.0	0.022	1471726.0	19673260.0	0.075	Ok
9	0.16625350	0.53489730	0.311	429161.3	19670820.0	0.022	1369163.0	19670820.0	0.070	Ok
10	0.16625350	0.53489730	0.311	425799.4	19670820.0	0.022	1369163.0	19670820.0	0.070	Ok
11	0.16659530	0.53489730	0.311	428114.6	19673270.0	0.022	1471727.0	19673270.0	0.075	Ok
12	0.16659530	0.53489730	0.311	424752.7	19673270.0	0.022	1471726.0	19673270.0	0.075	Ok
13	0.16625350	0.53489730	0.311	424753.1	19670810.0	0.022	1369163.0	19670810.0	0.070	Ok
14	0.16625350	0.53489730	0.311	428114.8	19670810.0	0.022	1369162.0	19670810.0	0.070	Ok
15	0.16659530	0.53489730	0.311	429161.3	19673270.0	0.022	1471727.0	19673270.0	0.075	Ok
16	0.16659530	0.53489730	0.311	425799.3	19673270.0	0.022	1471726.0	19673270.0	0.075	Ok
17	0.16625350	0.53489730	0.311	425799.3	19670830.0	0.022	1369163.0	19670830.0	0.070	Ok
18	0.16625350	0.53489730	0.311	429161.5	19670820.0	0.022	1369162.0	19670820.0	0.070	Ok
19	0.16647570	0.53489730	0.311	1420941.0	19672420.0	0.072	477415.0	19672420.0	0.024	Ok
20	0.16647570	0.53489730	0.311	1421950.0	19672410.0	0.072	477414.8	19672410.0	0.024	Ok

ANT S.r.l.		CODE CODICE C23ANTW001A019R00
		PAGE 77 di/of 209

21	0.16637310	0.53489730	0.311 1421950.0	19671680.0	0.072	374851.7	19671680.0	0.019	Ok
22	0.16637310	0.53489730	0.311 1420942.0	19671670.0	0.072	374851.8	19671670.0	0.019	Ok
23	0.16647570	0.53489730	0.311 1421950.0	19672410.0	0.072	477415.0	19672410.0	0.024	Ok
24	0.16647570	0.53489730	0.311 1420942.0	19672420.0	0.072	477414.9	19672420.0	0.024	Ok
25	0.16637310	0.53489730	0.311 1420941.0	19671680.0	0.072	374851.8	19671680.0	0.019	Ok
26	0.16637310	0.53489730	0.311 1421951.0	19671670.0	0.072	374852.0	19671670.0	0.019	Ok
27	0.16647570	0.53489730	0.311 1424430.0	19672420.0	0.072	477414.9	19672420.0	0.024	Ok
28	0.16647570	0.53489730	0.311 1425439.0	19672410.0	0.072	477415.3	19672410.0	0.024	Ok
29	0.16637310	0.53489730	0.311 1425438.0	19671680.0	0.072	374851.7	19671680.0	0.019	Ok
30	0.16637310	0.53489730	0.311 1424431.0	19671680.0	0.072	374851.5	19671680.0	0.019	Ok
31	0.16647570	0.53489730	0.311 1425439.0	19672400.0	0.072	477415.0	19672400.0	0.024	Ok
32	0.16647570	0.53489730	0.311 1424430.0	19672410.0	0.072	477415.0	19672410.0	0.024	Ok
33	0.16637310	0.53489730	0.311 1424431.0	19671670.0	0.072	374851.8	19671670.0	0.019	Ok
34	0.16637310	0.53489730	0.311 1425439.0	19671670.0	0.072	374851.7	19671670.0	0.019	Ok
35	0.16655470	0.53489730	0.311 323774.5	19672990.0	0.016	1133936.0	19672990.0	0.058	Ok
36	0.16655470	0.53489730	0.311 326775.6	19673000.0	0.017	1133935.0	19673000.0	0.058	Ok
37	0.16629410	0.53489730	0.311 326775.6	19671090.0	0.017	1031372.0	19671090.0	0.052	Ok
38	0.16629410	0.53489730	0.311 323774.6	19671080.0	0.016	1031373.0	19671080.0	0.052	Ok
39	0.16655470	0.53489730	0.311 325249.8	19673000.0	0.017	1133936.0	19673000.0	0.058	Ok
40	0.16655470	0.53489730	0.311 328250.9	19672990.0	0.017	1133935.0	19672990.0	0.058	Ok
41	0.16629410	0.53489730	0.311 328250.7	19671090.0	0.017	1031372.0	19671090.0	0.052	Ok
42	0.16629410	0.53489730	0.311 325249.8	19671090.0	0.017	1031372.0	19671090.0	0.052	Ok
43	0.16655470	0.53489730	0.311 326775.5	19672990.0	0.017	1133935.0	19672990.0	0.058	Ok
44	0.16655470	0.53489730	0.311 323774.6	19673000.0	0.016	1133935.0	19673000.0	0.058	Ok
45	0.16629410	0.53489730	0.311 323774.7	19671100.0	0.016	1031372.0	19671100.0	0.052	Ok
46	0.16629410	0.53489730	0.311 326775.6	19671090.0	0.017	1031373.0	19671090.0	0.052	Ok
47	0.16655470	0.53489730	0.311 328250.9	19673000.0	0.017	1133935.0	19673000.0	0.058	Ok
48	0.16655470	0.53489730	0.311 325249.9	19673000.0	0.017	1133935.0	19673000.0	0.058	Ok
49	0.16629410	0.53489730	0.311 325249.7	19671090.0	0.017	1031372.0	19671090.0	0.052	Ok
50	0.16629410	0.53489730	0.311 328251.0	19671100.0	0.017	1031372.0	19671100.0	0.052	Ok
51	0.16646350	0.53489730	0.311 1083800.0	19672330.0	0.055	376077.8	19672330.0	0.019	Ok
52	0.16646350	0.53489730	0.311 1084700.0	19672340.0	0.055	376078.0	19672340.0	0.019	Ok
53	0.16638530	0.53489730	0.311 1084701.0	19671760.0	0.055	273514.4	19671760.0	0.014	Ok
54	0.16638530	0.53489730	0.311 1083800.0	19671760.0	0.055	273514.6	19671760.0	0.014	Ok

ANT S.r.l.		CODE CODICE C23ANTW001A019R00
		PAGE 78 di/of 209

55	0.16646350	0.53489730	0.311 1084700.0	19672330.0	0.055	376077.7	19672330.0	0.019	Ok
56	0.16646350	0.53489730	0.311 1083800.0	19672330.0	0.055	376077.7	19672330.0	0.019	Ok
57	0.16638530	0.53489730	0.311 1083800.0	19671750.0	0.055	273514.4	19671750.0	0.014	Ok
58	0.16638530	0.53489730	0.311 1084700.0	19671750.0	0.055	273514.4	19671750.0	0.014	Ok
59	0.16646350	0.53489730	0.311 1088718.0	19672330.0	0.055	376077.6	19672330.0	0.019	Ok
60	0.16646350	0.53489730	0.311 1089618.0	19672320.0	0.055	376077.6	19672320.0	0.019	Ok
61	0.16638530	0.53489730	0.311 1089618.0	19671750.0	0.055	273514.6	19671750.0	0.014	Ok
62	0.16638530	0.53489730	0.311 1088718.0	19671760.0	0.055	273514.5	19671760.0	0.014	Ok
63	0.16646350	0.53489730	0.311 1089618.0	19672330.0	0.055	376077.7	19672330.0	0.019	Ok
64	0.16646350	0.53489730	0.311 1088718.0	19672340.0	0.055	376077.8	19672340.0	0.019	Ok
65	0.16638530	0.53489730	0.311 1088718.0	19671760.0	0.055	273514.6	19671760.0	0.014	Ok
66	0.16638530	0.53489730	0.311 1089618.0	19671760.0	0.055	273514.4	19671760.0	0.014	Ok

Risultati più gravosi per cmb. di tipo **SLU STR**:

Sgm. Lt (tens. litostatica) = -0.01375000 N/mm²

Qlim = Qlim c + Qlim q + Qlim g + Qres P = 0.06222439 + 0.04261988 + 0.43005300 + 0.00000000

Qmax / Qlim = 0.45389100 / 0.53489730 = 0,849 Ok (Cmb. n. 001)

TB / TBlim = 8044216.0 / 19672030.0 = 0,409 Ok (Cmb. n. 002)

TL / TLim = 0.6 / 19672030.0 = 0,000 Ok (Cmb. n. 002)

Risultati più gravosi per cmb. di tipo **SLV A1 sism.**:

Sgm. Lt (tens. litostatica) = -0.01375000 N/mm²

Qlim = Qlim c + Qlim q + Qlim g + Qres P = 0.06222439 + 0.04261988 + 0.43005300 + 0.00000000

Qmax / Qlim = 0.16658290 / 0.53489730 = 0,311 Ok (Cmb. n. 003)

TB / TBlim = 1368186.0 / 19673180.0 = 0,070 Ok (Cmb. n. 003)

TL / TLim = 1322992.0 / 19671700.0 = 0,067 Ok (Cmb. n. 034)

Risultati più gravosi per cmb. di tipo **SLD sism.**:

Sgm. Lt (tens. litostatica) = -0.01375000 N/mm²

Qlim = Qlim c + Qlim q + Qlim g + Qres P = 0.06222439 + 0.04261988 + 0.43005300 + 0.00000000

Qmax / Qlim = 0.16655450 / 0.53489730 = 0,311 Ok (Cmb. n. 035)

TB / TBlim = 1132566.0 / 19673000.0 = 0,058 Ok (Cmb. n. 035)

TL / TLim = 1089677.0 / 19671750.0 = 0,055 Ok (Cmb. n. 061)

ANT S.r.l.

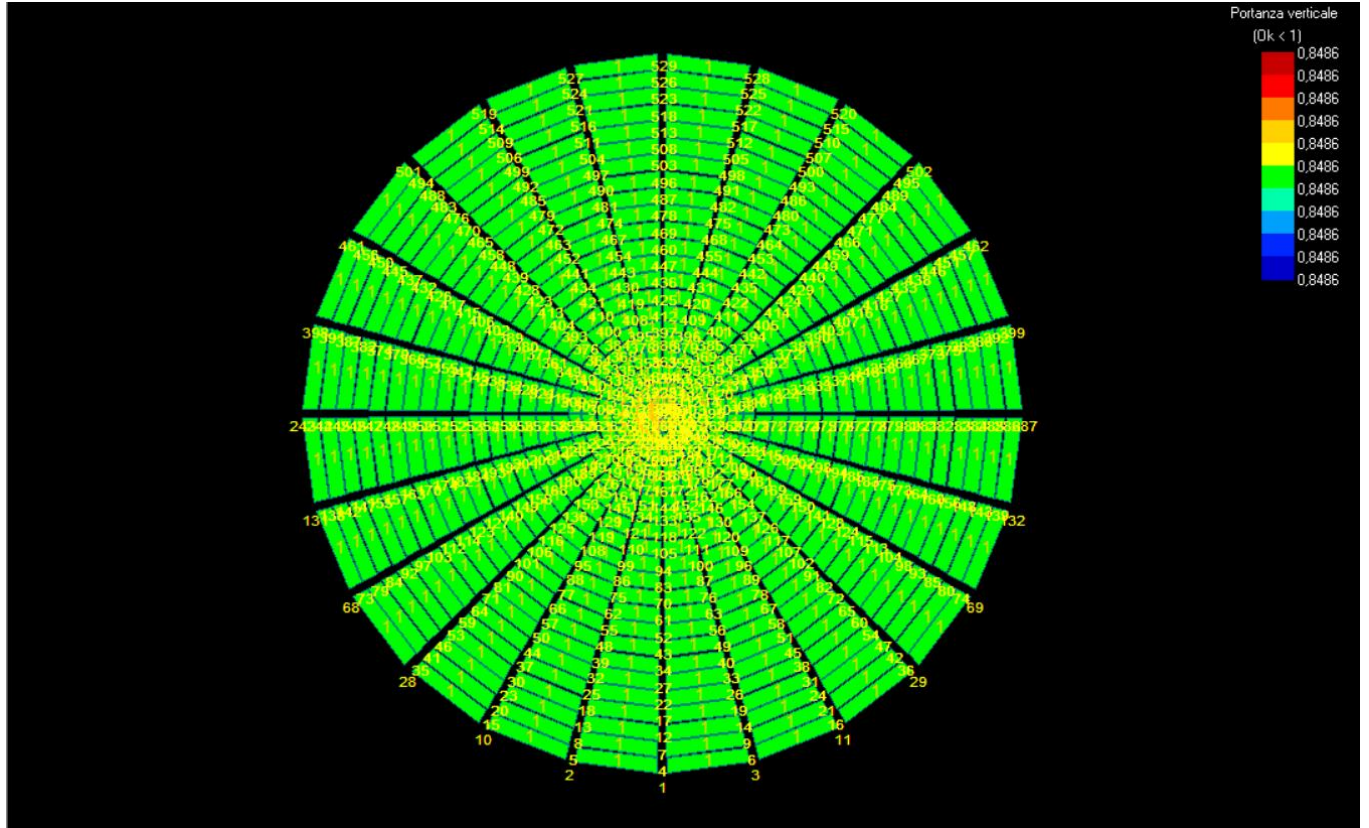


CODE CODICE

C23ANTW001A019R00

PAGE

79 di/of 209



02_INT_VERIFICA_PORTANZA_001

ANT S.r.l.		CODE CODICE C23ANTW001A019R00
		PAGE 80 di/of 209

22. VALORI DI CALCOLO DELLO SCORRIMENTO

22.1. SCORRIMENTO LONGITUDINALE

22.1.1. LEGENDA TABELLA VERIFICHE ELEMENTI

Cmb. Tipo	TL (N)	TLlim (N)	TL/TLlim (ok<1)	Stato
001 SLU STR	0.4	24990080.0	0.000	Ok
002 SLU STR	0.6	19672030.0	0.000	Ok
003 SLV A1 sism.	424752.5	19673280.0	0.022	Ok
004 SLV A1 sism.	428115.1	19673280.0	0.022	Ok
005 SLV A1 sism.	428114.7	19670820.0	0.022	Ok
006 SLV A1 sism.	424752.8	19670820.0	0.022	Ok
007 SLV A1 sism.	425799.1	19673270.0	0.022	Ok
008 SLV A1 sism.	429161.3	19673260.0	0.022	Ok
009 SLV A1 sism.	429161.3	19670820.0	0.022	Ok
010 SLV A1 sism.	425799.4	19670820.0	0.022	Ok
011 SLV A1 sism.	428114.6	19673270.0	0.022	Ok
012 SLV A1 sism.	424752.7	19673270.0	0.022	Ok
013 SLV A1 sism.	424753.1	19670810.0	0.022	Ok
014 SLV A1 sism.	428114.8	19670810.0	0.022	Ok
015 SLV A1 sism.	429161.3	19673270.0	0.022	Ok
016 SLV A1 sism.	425799.3	19673270.0	0.022	Ok
017 SLV A1 sism.	425799.3	19670830.0	0.022	Ok
018 SLV A1 sism.	429161.5	19670820.0	0.022	Ok
019 SLV A1 sism.	1420941.0	19672420.0	0.072	Ok
020 SLV A1 sism.	1421950.0	19672410.0	0.072	Ok
021 SLV A1 sism.	1421950.0	19671680.0	0.072	Ok
022 SLV A1 sism.	1420942.0	19671670.0	0.072	Ok
023 SLV A1 sism.	1421950.0	19672410.0	0.072	Ok
024 SLV A1 sism.	1420942.0	19672420.0	0.072	Ok
025 SLV A1 sism.	1420941.0	19671680.0	0.072	Ok
026 SLV A1 sism.	1421951.0	19671670.0	0.072	Ok
027 SLV A1 sism.	1424430.0	19672420.0	0.072	Ok
028 SLV A1 sism.	1425439.0	19672410.0	0.072	Ok
029 SLV A1 sism.	1425438.0	19671680.0	0.072	Ok
030 SLV A1 sism.	1424431.0	19671680.0	0.072	Ok
031 SLV A1 sism.	1425439.0	19672400.0	0.072	Ok
032 SLV A1 sism.	1424430.0	19672410.0	0.072	Ok
033 SLV A1 sism.	1424431.0	19671670.0	0.072	Ok
034 SLV A1 sism.	1425439.0	19671670.0	0.072	Ok

ANT S.r.l.		CODE CODICE C23ANTW001A019R00
		PAGE 81 di/of 209

035 SLD sism.	323774.5	19672990.0	0.016	Ok
036 SLD sism.	326775.6	19673000.0	0.017	Ok
037 SLD sism.	326775.6	19671090.0	0.017	Ok
038 SLD sism.	323774.6	19671080.0	0.016	Ok
039 SLD sism.	325249.8	19673000.0	0.017	Ok
040 SLD sism.	328250.9	19672990.0	0.017	Ok
041 SLD sism.	328250.7	19671090.0	0.017	Ok
042 SLD sism.	325249.8	19671090.0	0.017	Ok
043 SLD sism.	326775.5	19672990.0	0.017	Ok
044 SLD sism.	323774.6	19673000.0	0.016	Ok
045 SLD sism.	323774.7	19671100.0	0.016	Ok
046 SLD sism.	326775.6	19671090.0	0.017	Ok
047 SLD sism.	328250.9	19673000.0	0.017	Ok
048 SLD sism.	325249.9	19673000.0	0.017	Ok
049 SLD sism.	325249.7	19671090.0	0.017	Ok
050 SLD sism.	328251.0	19671100.0	0.017	Ok
051 SLD sism.	1083800.0	19672330.0	0.055	Ok
052 SLD sism.	1084700.0	19672340.0	0.055	Ok
053 SLD sism.	1084701.0	19671760.0	0.055	Ok
054 SLD sism.	1083800.0	19671760.0	0.055	Ok
055 SLD sism.	1084700.0	19672330.0	0.055	Ok
056 SLD sism.	1083800.0	19672330.0	0.055	Ok
057 SLD sism.	1083800.0	19671750.0	0.055	Ok
058 SLD sism.	1084700.0	19671750.0	0.055	Ok
059 SLD sism.	1088718.0	19672330.0	0.055	Ok
060 SLD sism.	1089618.0	19672320.0	0.055	Ok
061 SLD sism.	1089618.0	19671750.0	0.055	Ok
062 SLD sism.	1088718.0	19671760.0	0.055	Ok
063 SLD sism.	1089618.0	19672330.0	0.055	Ok
064 SLD sism.	1088718.0	19672340.0	0.055	Ok
065 SLD sism.	1088718.0	19671760.0	0.055	Ok
066 SLD sism.	1089618.0	19671760.0	0.055	Ok

22.2. SCORRIMENTO TRASVERSALE

22.2.1. LEGENDA TABELLA VERIFICHE ELEMENTI

Cmb. Tipo	TB (N)	TBlim (N)	TB/TBlim (ok<1)	Stato
001 SLU STR	8059598.0	24990080.0	0.323	Ok
002 SLU STR	8044216.0	19672030.0	0.409	Ok
003 SLV A1 sism.	1471726.0	19673280.0	0.075	Ok
004 SLV A1 sism.	1471726.0	19673280.0	0.075	Ok

ANT S.r.l.		CODE CODICE C23ANTW001A019R00
		PAGE 82 di/of 209

005 SLV A1 sism.	1369163.0	19670820.0	0.070	Ok
006 SLV A1 sism.	1369162.0	19670820.0	0.070	Ok
007 SLV A1 sism.	1471727.0	19673270.0	0.075	Ok
008 SLV A1 sism.	1471726.0	19673260.0	0.075	Ok
009 SLV A1 sism.	1369163.0	19670820.0	0.070	Ok
010 SLV A1 sism.	1369163.0	19670820.0	0.070	Ok
011 SLV A1 sism.	1471727.0	19673270.0	0.075	Ok
012 SLV A1 sism.	1471726.0	19673270.0	0.075	Ok
013 SLV A1 sism.	1369163.0	19670810.0	0.070	Ok
014 SLV A1 sism.	1369162.0	19670810.0	0.070	Ok
015 SLV A1 sism.	1471727.0	19673270.0	0.075	Ok
016 SLV A1 sism.	1471726.0	19673270.0	0.075	Ok
017 SLV A1 sism.	1369163.0	19670830.0	0.070	Ok
018 SLV A1 sism.	1369162.0	19670820.0	0.070	Ok
019 SLV A1 sism.	477415.0	19672420.0	0.024	Ok
020 SLV A1 sism.	477414.8	19672410.0	0.024	Ok
021 SLV A1 sism.	374851.7	19671680.0	0.019	Ok
022 SLV A1 sism.	374851.8	19671670.0	0.019	Ok
023 SLV A1 sism.	477415.0	19672410.0	0.024	Ok
024 SLV A1 sism.	477414.9	19672420.0	0.024	Ok
025 SLV A1 sism.	374851.8	19671680.0	0.019	Ok
026 SLV A1 sism.	374852.0	19671670.0	0.019	Ok
027 SLV A1 sism.	477414.9	19672420.0	0.024	Ok
028 SLV A1 sism.	477415.3	19672410.0	0.024	Ok
029 SLV A1 sism.	374851.7	19671680.0	0.019	Ok
030 SLV A1 sism.	374851.5	19671680.0	0.019	Ok
031 SLV A1 sism.	477415.0	19672400.0	0.024	Ok
032 SLV A1 sism.	477415.0	19672410.0	0.024	Ok
033 SLV A1 sism.	374851.8	19671670.0	0.019	Ok
034 SLV A1 sism.	374851.7	19671670.0	0.019	Ok
035 SLD sism.	1133936.0	19672990.0	0.058	Ok
036 SLD sism.	1133935.0	19673000.0	0.058	Ok
037 SLD sism.	1031372.0	19671090.0	0.052	Ok
038 SLD sism.	1031373.0	19671080.0	0.052	Ok
039 SLD sism.	1133936.0	19673000.0	0.058	Ok
040 SLD sism.	1133935.0	19672990.0	0.058	Ok
041 SLD sism.	1031372.0	19671090.0	0.052	Ok
042 SLD sism.	1031372.0	19671090.0	0.052	Ok
043 SLD sism.	1133935.0	19672990.0	0.058	Ok
044 SLD sism.	1133935.0	19673000.0	0.058	Ok
045 SLD sism.	1031372.0	19671100.0	0.052	Ok
046 SLD sism.	1031373.0	19671090.0	0.052	Ok
047 SLD sism.	1133935.0	19673000.0	0.058	Ok

ANT S.r.l.		<i>CODE CODICE</i> C23ANTW001A019R00
		<i>PAGE</i> 83 di/of 209

048 SLD sism.	1133935.0	19673000.0	0.058	Ok
049 SLD sism.	1031372.0	19671090.0	0.052	Ok
050 SLD sism.	1031372.0	19671100.0	0.052	Ok
051 SLD sism.	376077.8	19672330.0	0.019	Ok
052 SLD sism.	376078.0	19672340.0	0.019	Ok
053 SLD sism.	273514.4	19671760.0	0.014	Ok
054 SLD sism.	273514.6	19671760.0	0.014	Ok
055 SLD sism.	376077.7	19672330.0	0.019	Ok
056 SLD sism.	376077.7	19672330.0	0.019	Ok
057 SLD sism.	273514.4	19671750.0	0.014	Ok
058 SLD sism.	273514.4	19671750.0	0.014	Ok
059 SLD sism.	376077.6	19672330.0	0.019	Ok
060 SLD sism.	376077.6	19672320.0	0.019	Ok
061 SLD sism.	273514.6	19671750.0	0.014	Ok
062 SLD sism.	273514.5	19671760.0	0.014	Ok
063 SLD sism.	376077.7	19672330.0	0.019	Ok
064 SLD sism.	376077.8	19672340.0	0.019	Ok
065 SLD sism.	273514.6	19671760.0	0.014	Ok
066 SLD sism.	273514.4	19671760.0	0.014	Ok

ANT S.r.l.		CODE CODICE C23ANTW001A019R00
		PAGE 84 di/of 209

23. VALORI DI CALCOLO DEI CEDIMENTI PER FONDAZIONI SUPERFICIALI

23.1. LEGENDA TABELLA VERIFICHE ELEMENTI

Elemento Platea n. 1

Cmb.	Tipo	Car. Netto		Prof.	Sigm.Z/Sigm.Lit.	Cedim.Edom.
n.	N/mm ²	mm	%	mm		
67	SLE rare	-0.08192448		500.0	38.506	-2.61
68	SLE freq	-0.08192716		500.0	37.220	-2.58
69	SLE q.p.	-0.08550530		500.0	38.623	-2.69

Cedimento massimo in cmb n. 69 = -2.69 mm

Elemento Platea n. 2

Cmb.	Tipo	Car. Netto		Prof.	Sigm.Z/Sigm.Lit.	Cedim.Edom.
n.	N/mm ²	mm	%	mm		
67	SLE rare	-0.08236607		500.0	44.694	-3.04
68	SLE freq	-0.08236872		500.0	43.218	-3.01
69	SLE q.p.	-0.08588561		500.0	44.830	-3.14

Cedimento massimo in cmb n. 69 = -3.14 mm

Elemento Platea n. 3

Cmb.	Tipo	Car. Netto		Prof.	Sigm.Z/Sigm.Lit.	Cedim.Edom.
n.	N/mm ²	mm	%	mm		
67	SLE rare	-0.08288061		500.0	50.609	-3.31
68	SLE freq	-0.08288326		500.0	48.934	-3.28
69	SLE q.p.	-0.08633608		500.0	50.730	-3.41

Cedimento massimo in cmb n. 69 = -3.41 mm

Elemento Platea n. 4

Cmb.	Tipo	Car. Netto		Prof.	Sigm.Z/Sigm.Lit.	Cedim.Edom.
n.	N/mm ²	mm	%	mm		
67	SLE rare	-0.08347305		500.0	56.058	-3.49
68	SLE freq	-0.08347567		500.0	54.175	-3.45
69	SLE q.p.	-0.08686052		500.0	56.124	-3.59

ANT S.r.l.		CODE CODICE C23ANTW001A019R00
		PAGE 85 di/of 209

Cedimento massimo in cmb n. 69 = -3.59 mm

Elemento Platea n. 5

Cmb.	Tipo	Car. Netto		Prof.	Sigm.Z/Sigm.Lit.	Cedim.Edom.
n.	N/mm ²	mm	%	mm		
67	SLE rare	-0.08414735		500.0	60.955	-3.60
68	SLE freq	-0.08414996		500.0	58.861	-3.57
69	SLE q.p.	-0.08746161		500.0	60.926	-3.70

Cedimento massimo in cmb n. 69 = -3.70 mm

Elemento Platea n. 6

Cmb.	Tipo	Car. Netto		Prof.	Sigm.Z/Sigm.Lit.	Cedim.Edom.
n.	N/mm ²	mm	%	mm		
67	SLE rare	-0.08490393		500.0	65.286	-3.68
68	SLE freq	-0.08490654		500.0	62.981	-3.64
69	SLE q.p.	-0.08813909		500.0	65.126	-3.77

Cedimento massimo in cmb n. 69 = -3.77 mm

Elemento Platea n. 7

Cmb.	Tipo	Car. Netto		Prof.	Sigm.Z/Sigm.Lit.	Cedim.Edom.
n.	N/mm ²	mm	%	mm		
67	SLE rare	-0.08574728		500.0	69.120	-3.72
68	SLE freq	-0.08574989		500.0	66.605	-3.68
69	SLE q.p.	-0.08889589		500.0	68.796	-3.81

Cedimento massimo in cmb n. 69 = -3.81 mm

Elemento Platea n. 8

Cmb.	Tipo	Car. Netto		Prof.	Sigm.Z/Sigm.Lit.	Cedim.Edom.
n.	N/mm ²	mm	%	mm		
67	SLE rare	-0.08668233		500.0	72.537	-3.75
68	SLE freq	-0.08668494		500.0	69.814	-3.71
69	SLE q.p.	-0.08973604		500.0	72.019	-3.83

Cedimento massimo in cmb n. 69 = -3.83 mm

ANT S.r.l.		CODE CODICE C23ANTW001A019R00
		PAGE 86 di/of 209

Elemento Platea n. 9

Cmb.	Tipo	Car. Netto		Prof.	Sigm.Z/Sigm.Lit.	Cedim.Edom.
n.	N/mm ²	mm	%	mm		
67	SLE rare	-0.08771224		500.0	75.628	-3.77
68	SLE freq	-0.08771487		500.0	72.700	-3.72
69	SLE q.p.	-0.09066168		500.0	74.891	-3.84

Cedimento massimo in cmb n. 69 = -3.84 mm

Elemento Platea n. 10

Cmb.	Tipo	Car. Netto		Prof.	Sigm.Z/Sigm.Lit.	Cedim.Edom.
n.	N/mm ²	mm	%	mm		
67	SLE rare	-0.08884261		500.0	78.492	-3.78
68	SLE freq	-0.08884527		500.0	75.361	-3.73
69	SLE q.p.	-0.09167743		500.0	77.513	-3.84

Cedimento massimo in cmb n. 69 = -3.84 mm

Elemento Platea n. 11

Cmb.	Tipo	Car. Netto		Prof.	Sigm.Z/Sigm.Lit.	Cedim.Edom.
n.	N/mm ²	mm	%	mm		
67	SLE rare	-0.09007809		500.0	81.230	-3.78
68	SLE freq	-0.09008078		500.0	77.899	-3.73
69	SLE q.p.	-0.09278698		500.0	79.989	-3.84

Cedimento massimo in cmb n. 69 = -3.84 mm

Elemento Platea n. 12

Cmb.	Tipo	Car. Netto		Prof.	Sigm.Z/Sigm.Lit.	Cedim.Edom.
n.	N/mm ²	mm	%	mm		
67	SLE rare	-0.09142338		500.0	83.971	-3.78
68	SLE freq	-0.09142611		500.0	80.442	-3.73
69	SLE q.p.	-0.09399410		500.0	82.449	-3.83

Cedimento massimo in cmb n. 69 = -3.83 mm

Elemento Platea n. 13

Cmb.	Tipo	Car. Netto		Prof.	Sigm.Z/Sigm.Lit.	Cedim.Edom.
------	------	------------	--	-------	------------------	-------------

ANT S.r.l.		CODE CODICE C23ANTW001A019R00
		PAGE 87 di/of 209

n.	N/mm ²	mm	%	mm		
67	SLE rare	-0.09288422		500.0	86.880	-3.78
68	SLE freq	-0.09288704		500.0	83.158	-3.72
69	SLE q.p.	-0.09530365		500.0	85.065	-3.82

Cedimento massimo in cmb n. 69 = -3.82 mm

Elemento Platea n. 14

Cmb.	Tipo	Car. Netto	Prof.	Sigm.Z/Sigm.Lit.	Cedim.Edom.	
n.	N/mm ²	mm	%	mm		
67	SLE rare	-0.09446477		500.0	90.149	-3.78
68	SLE freq	-0.09446764		500.0	86.242	-3.72
69	SLE q.p.	-0.09671896		500.0	88.032	-3.81

Cedimento massimo in cmb n. 69 = -3.81 mm

Elemento Platea n. 15

Cmb.	Tipo	Car. Netto	Prof.	Sigm.Z/Sigm.Lit.	Cedim.Edom.	
n.	N/mm ²	mm	%	mm		
67	SLE rare	-0.09617545		500.0	93.590	-3.79
68	SLE freq	-0.09617847		500.0	89.508	-3.73
69	SLE q.p.	-0.09824997		500.0	91.159	-3.80

Cedimento massimo in cmb n. 69 = -3.80 mm

Elemento Platea n. 16

Cmb.	Tipo	Car. Netto	Prof.	Sigm.Z/Sigm.Lit.	Cedim.Edom.	
n.	N/mm ²	mm	%	mm		
67	SLE rare	-0.09802704		500.0	97.312	-3.90
68	SLE freq	-0.09803016		500.0	93.068	-3.83
69	SLE q.p.	-0.09990883		500.0	94.558	-3.90

Cedimento massimo in cmb n. 69 = -3.90 mm

Elemento Platea n. 17

Cmb.	Tipo	Car. Netto	Prof.	Sigm.Z/Sigm.Lit.	Cedim.Edom.	
n.	N/mm ²	mm	%	mm		
67	SLE rare	-0.11044600		500.0	99.982	-3.87

ANT S.r.l.		CODE CODICE C23ANTW001A019R00
		PAGE 88 di/of 209

68	SLE freq	-0.11044970	500.0	95.628	-3.81
69	SLE q.p.	-0.11244010	500.0	96.979	-3.87

Cedimento massimo in cmb n. 67 = -3.87 mm

Elemento Platea n. 18

Cmb.	Tipo	Car. Netto		Prof.	Sigm.Z/Sigm.Lit.	Cedim.Edom.
n.	N/mm ²	mm	%	mm		
67	SLE rare	-0.11046920		500.0	102.962	-3.92
68	SLE freq	-0.11047300		500.0	98.485	-3.85
69	SLE q.p.	-0.11206670		500.0	99.633	-3.90

Cedimento massimo in cmb n. 67 = -3.92 mm

Elemento Platea n. 19

Cmb.	Tipo	Car. Netto		Prof.	Sigm.Z/Sigm.Lit.	Cedim.Edom.
n.	N/mm ²	mm	%	mm		
67	SLE rare	-0.11046920		500.0	102.962	-3.92
68	SLE freq	-0.11047300		500.0	98.485	-3.85
69	SLE q.p.	-0.11206670		500.0	99.633	-3.90

Cedimento massimo in cmb n. 67 = -3.92 mm

Elemento Platea n. 20

Cmb.	Tipo	Car. Netto		Prof.	Sigm.Z/Sigm.Lit.	Cedim.Edom.
n.	N/mm ²	mm	%	mm		
67	SLE rare	-0.11053000		500.0	105.158	-3.91
68	SLE freq	-0.11053390		500.0	100.578	-3.84
69	SLE q.p.	-0.11175410		500.0	101.488	-3.88

Cedimento massimo in cmb n. 67 = -3.91 mm

Elemento Platea n. 21

Cmb.	Tipo	Car. Netto		Prof.	Sigm.Z/Sigm.Lit.	Cedim.Edom.
n.	N/mm ²	mm	%	mm		
67	SLE rare	-0.11057570		500.0	106.703	-3.90
68	SLE freq	-0.11057990		500.0	102.045	-3.83
69	SLE q.p.	-0.11142260		500.0	102.691	-3.85

ANT S.r.l.		CODE CODICE C23ANTW001A019R00
		PAGE 89 di/of 209

Cedimento massimo in cmb n. 67 = -3.90 mm

Elemento Platea n. 22

Cmb.	Tipo	Car. Netto		Prof.	Sigm.Z/Sigm.Lit.	Cedim.Edom.
n.	N/mm ²	mm	%	mm		
67	SLE rare	-0.11061050		500.0	107.490	-3.89
68	SLE freq	-0.11061570		500.0	102.782	-3.81
69	SLE q.p.	-0.11106970		500.0	103.140	-3.83

Cedimento massimo in cmb n. 67 = -3.89 mm

Elemento Platea n. 23

Cmb.	Tipo	Car. Netto		Prof.	Sigm.Z/Sigm.Lit.	Cedim.Edom.
n.	N/mm ²	mm	%	mm		
67	SLE rare	-0.13635710		500.0	59.034	-4.23
68	SLE freq	-0.08995027		500.0	40.361	-2.83
69	SLE q.p.	-0.08192782		500.0	37.220	-2.58

Cedimento massimo in cmb n. 67 = -4.23 mm

Elemento Platea n. 24

Cmb.	Tipo	Car. Netto		Prof.	Sigm.Z/Sigm.Lit.	Cedim.Edom.
n.	N/mm ²	mm	%	mm		
67	SLE rare	-0.13583530		500.0	68.253	-4.90
68	SLE freq	-0.09024821		500.0	46.823	-3.29
69	SLE q.p.	-0.08236940		500.0	43.219	-3.01

Cedimento massimo in cmb n. 67 = -4.90 mm

Elemento Platea n. 25

Cmb.	Tipo	Car. Netto		Prof.	Sigm.Z/Sigm.Lit.	Cedim.Edom.
n.	N/mm ²	mm	%	mm		
67	SLE rare	-0.13534500		500.0	76.847	-5.30
68	SLE freq	-0.09061305		500.0	52.950	-3.58
69	SLE q.p.	-0.08288392		500.0	48.934	-3.28

Cedimento massimo in cmb n. 67 = -5.30 mm

ANT S.r.l.		CODE CODICE C23ANTW001A019R00
		PAGE 90 di/of 209

Elemento Platea n. 26

Cmb.	Tipo	Car. Netto		Prof.	Sigm.Z/Sigm.Lit.	Cedim.Edom.
n.	N/mm ²	mm	%	mm		
67	SLE rare	-0.13487400		500.0	84.491	-5.53
68	SLE freq	-0.09104716		500.0	58.532	-3.76
69	SLE q.p.	-0.08347636		500.0	54.176	-3.45

Cedimento massimo in cmb n. 67 = -5.53 mm

Elemento Platea n. 27

Cmb.	Tipo	Car. Netto		Prof.	Sigm.Z/Sigm.Lit.	Cedim.Edom.
n.	N/mm ²	mm	%	mm		
67	SLE rare	-0.13440690		500.0	91.042	-5.65
68	SLE freq	-0.09155177		500.0	63.476	-3.87
69	SLE q.p.	-0.08415063		500.0	58.862	-3.57

Cedimento massimo in cmb n. 67 = -5.65 mm

Elemento Platea n. 28

Cmb.	Tipo	Car. Netto		Prof.	Sigm.Z/Sigm.Lit.	Cedim.Edom.
n.	N/mm ²	mm	%	mm		
67	SLE rare	-0.13393340		500.0	96.481	-5.70
68	SLE freq	-0.09212565		500.0	67.773	-3.94
69	SLE q.p.	-0.08490719		500.0	62.982	-3.64

Cedimento massimo in cmb n. 67 = -5.70 mm

Elemento Platea n. 29

Cmb.	Tipo	Car. Netto		Prof.	Sigm.Z/Sigm.Lit.	Cedim.Edom.
n.	N/mm ²	mm	%	mm		
67	SLE rare	-0.13343540		500.0	100.914	-5.69
68	SLE freq	-0.09277002		500.0	71.497	-3.97
69	SLE q.p.	-0.08575054		500.0	66.606	-3.68

Cedimento massimo in cmb n. 67 = -5.69 mm

Elemento Platea n. 30

Cmb.	Tipo	Car. Netto		Prof.	Sigm.Z/Sigm.Lit.	Cedim.Edom.
------	------	------------	--	-------	------------------	-------------

ANT S.r.l.		CODE CODICE C23ANTW001A019R00
		PAGE 91 di/of 209

n.	N/mm ²	mm	%	mm		
67	SLE rare	-0.13509690		500.0	100.914	-5.67
68	SLE freq	-0.09348784		500.0	74.735	-3.99
69	SLE q.p.	-0.08668561		500.0	69.814	-3.71

Cedimento massimo in cmb n. 67 = -5.67 mm

Elemento Platea n. 31

Cmb.	Tipo	Car. Netto	Prof.	Sigm.Z/Sigm.Lit.	Cedim.Edom.	
n.	N/mm ²	mm	%	mm		
67	SLE rare	-0.13464270		500.0	104.468	-5.63
68	SLE freq	-0.09428004		500.0	77.588	-3.99
69	SLE q.p.	-0.08771552		500.0	72.701	-3.72

Cedimento massimo in cmb n. 67 = -5.63 mm

Elemento Platea n. 32

Cmb.	Tipo	Car. Netto	Prof.	Sigm.Z/Sigm.Lit.	Cedim.Edom.	
n.	N/mm ²	mm	%	mm		
67	SLE rare	-0.13414620		500.0	107.286	-5.56
68	SLE freq	-0.09515019		500.0	80.159	-3.99
69	SLE q.p.	-0.08884593		500.0	75.361	-3.73

Cedimento massimo in cmb n. 67 = -5.56 mm

Elemento Platea n. 33

Cmb.	Tipo	Car. Netto	Prof.	Sigm.Z/Sigm.Lit.	Cedim.Edom.	
n.	N/mm ²	mm	%	mm		
67	SLE rare	-0.13359840		500.0	109.508	-5.48
68	SLE freq	-0.09610075		500.0	82.557	-3.97
69	SLE q.p.	-0.09008145		500.0	77.899	-3.73

Cedimento massimo in cmb n. 67 = -5.48 mm

Elemento Platea n. 34

Cmb.	Tipo	Car. Netto	Prof.	Sigm.Z/Sigm.Lit.	Cedim.Edom.	
n.	N/mm ²	mm	%	mm		
67	SLE rare	-0.13298930		500.0	111.277	-5.38

ANT S.r.l.		CODE CODICE C23ANTW001A019R00
		PAGE 92 di/of 209

68	SLE freq	-0.09713446	500.0	84.914	-3.95
69	SLE q.p.	-0.09142679	500.0	80.442	-3.73

Cedimento massimo in cmb n. 67 = -5.38 mm

Elemento Platea n. 35

Cmb.	Tipo	Car. Netto		Prof.	Sigm.Z/Sigm.Lit.	Cedim.Edom.
n.	N/mm ²	mm	%	mm		
67	SLE rare	-0.13231020		500.0	112.758	-5.27
68	SLE freq	-0.09844600		500.0	84.914	-3.93
69	SLE q.p.	-0.09288771		500.0	83.158	-3.72

Cedimento massimo in cmb n. 67 = -5.27 mm

Elemento Platea n. 36

Cmb.	Tipo	Car. Netto		Prof.	Sigm.Z/Sigm.Lit.	Cedim.Edom.
n.	N/mm ²	mm	%	mm		
67	SLE rare	-0.13155300		500.0	114.155	-5.15
68	SLE freq	-0.09968715		500.0	87.403	-3.91
69	SLE q.p.	-0.09446837		500.0	86.243	-3.72

Cedimento massimo in cmb n. 67 = -5.15 mm

Elemento Platea n. 37

Cmb.	Tipo	Car. Netto		Prof.	Sigm.Z/Sigm.Lit.	Cedim.Edom.
n.	N/mm ²	mm	%	mm		
67	SLE rare	-0.13071110		500.0	115.696	-5.03
68	SLE freq	-0.10077490		500.0	93.179	-3.90
69	SLE q.p.	-0.09617921		500.0	89.508	-3.73

Cedimento massimo in cmb n. 67 = -5.03 mm

Elemento Platea n. 38

Cmb.	Tipo	Car. Netto		Prof.	Sigm.Z/Sigm.Lit.	Cedim.Edom.
n.	N/mm ²	mm	%	mm		
67	SLE rare	-0.12637700		500.0	118.498	-4.94
68	SLE freq	-0.10219730		500.0	96.379	-3.99
69	SLE q.p.	-0.09803096		500.0	93.068	-3.83

ANT S.r.l.		CODE CODICE C23ANTW001A019R00
		PAGE 93 di/of 209

Cedimento massimo in cmb n. 67 = -4.94 mm

Elemento Platea n. 39

Cmb.	Tipo	Car. Netto		Prof.	Sigm.Z/Sigm.Lit.	Cedim.Edom.
n.	N/mm ²	mm	%	mm		
67	SLE rare	-0.14048250		500.0	119.156	-4.80
68	SLE freq	-0.11486490		500.0	98.627	-3.95
69	SLE q.p.	-0.11045060		500.0	95.628	-3.81

Cedimento massimo in cmb n. 67 = -4.80 mm

Elemento Platea n. 40

Cmb.	Tipo	Car. Netto		Prof.	Sigm.Z/Sigm.Lit.	Cedim.Edom.
n.	N/mm ²	mm	%	mm		
67	SLE rare	-0.14048250		500.0	119.156	-4.80
68	SLE freq	-0.11400770		500.0	101.030	-3.96
69	SLE q.p.	-0.11047400		500.0	98.484	-3.85

Cedimento massimo in cmb n. 67 = -4.80 mm

Elemento Platea n. 41

Cmb.	Tipo	Car. Netto		Prof.	Sigm.Z/Sigm.Lit.	Cedim.Edom.
n.	N/mm ²	mm	%	mm		
67	SLE rare	-0.13451530		500.0	119.221	-4.69
68	SLE freq	-0.11400770		500.0	101.030	-3.96
69	SLE q.p.	-0.11047400		500.0	98.484	-3.85

Cedimento massimo in cmb n. 67 = -4.69 mm

Elemento Platea n. 42

Cmb.	Tipo	Car. Netto		Prof.	Sigm.Z/Sigm.Lit.	Cedim.Edom.
n.	N/mm ²	mm	%	mm		
67	SLE rare	-0.12893670		500.0	118.032	-4.51
68	SLE freq	-0.11323960		500.0	102.597	-3.93
69	SLE q.p.	-0.11053490		500.0	100.578	-3.84

Cedimento massimo in cmb n. 67 = -4.51 mm

ANT S.r.l.		CODE CODICE C23ANTW001A019R00
		PAGE 94 di/of 209

Elemento Platea n. 43

Cmb.	Tipo	Car. Netto		Prof.	Sigm.Z/Sigm.Lit.	Cedim.Edom.
n.	N/mm ²	mm	%	mm		
67	SLE rare	-0.12328280		500.0	115.804	-4.31
68	SLE freq	-0.11244780		500.0	103.475	-3.89
69	SLE q.p.	-0.11058100		500.0	102.045	-3.83

Cedimento massimo in cmb n. 67 = -4.31 mm

Elemento Platea n. 44

Cmb.	Tipo	Car. Netto		Prof.	Sigm.Z/Sigm.Lit.	Cedim.Edom.
n.	N/mm ²	mm	%	mm		
67	SLE rare	-0.11061050		500.0	112.523	-4.12
68	SLE freq	-0.11061570		500.0	103.575	-3.85
69	SLE q.p.	-0.11060940		500.0	102.782	-3.81

Cedimento massimo in cmb n. 67 = -4.12 mm

Elemento Platea n. 45

Cmb.	Tipo	Car. Netto		Prof.	Sigm.Z/Sigm.Lit.	Cedim.Edom.
n.	N/mm ²	mm	%	mm		
67	SLE rare	-0.18707830		500.0	78.661	-5.76
68	SLE freq	-0.09742510		500.0	43.288	-3.05
69	SLE q.p.	-0.07834854		500.0	35.816	-2.48

Cedimento massimo in cmb n. 67 = -5.76 mm

Elemento Platea n. 46

Cmb.	Tipo	Car. Netto		Prof.	Sigm.Z/Sigm.Lit.	Cedim.Edom.
n.	N/mm ²	mm	%	mm		
67	SLE rare	-0.18565880		500.0	90.775	-6.66
68	SLE freq	-0.09758922		500.0	50.182	-3.55
69	SLE q.p.	-0.07885142		500.0	41.607	-2.89

Cedimento massimo in cmb n. 67 = -6.66 mm

Elemento Platea n. 47

Cmb.	Tipo	Car. Netto		Prof.	Sigm.Z/Sigm.Lit.	Cedim.Edom.
------	------	------------	--	-------	------------------	-------------

ANT S.r.l.		CODE CODICE C23ANTW001A019R00
		PAGE 95 di/of 209

n.	N/mm ²	mm	%	mm		
67	SLE rare	-0.18423220		500.0	101.934	-7.17
68	SLE freq	-0.09781460		500.0	56.692	-3.85
69	SLE q.p.	-0.07943004		500.0	47.138	-3.15

Cedimento massimo in cmb n. 67 = -7.17 mm

Elemento Platea n. 48

Cmb.	Tipo	Car. Netto	Prof.	Sigm.Z/Sigm.Lit.	Cedim.Edom.	
n.	N/mm ²	mm	%	mm		
67	SLE rare	-0.18277020		500.0	111.686	-7.45
68	SLE freq	-0.09810126		500.0	62.590	-4.04
69	SLE q.p.	-0.08009049		500.0	52.227	-3.32

Cedimento massimo in cmb n. 67 = -7.45 mm

Elemento Platea n. 49

Cmb.	Tipo	Car. Netto	Prof.	Sigm.Z/Sigm.Lit.	Cedim.Edom.	
n.	N/mm ²	mm	%	mm		
67	SLE rare	-0.18123960		500.0	119.831	-7.57
68	SLE freq	-0.09844776		500.0	67.776	-4.15
69	SLE q.p.	-0.08083797		500.0	56.796	-3.43

Cedimento massimo in cmb n. 67 = -7.57 mm

Elemento Platea n. 50

Cmb.	Tipo	Car. Netto	Prof.	Sigm.Z/Sigm.Lit.	Cedim.Edom.	
n.	N/mm ²	mm	%	mm		
67	SLE rare	-0.17961980		500.0	126.344	-7.59
68	SLE freq	-0.09885144		500.0	72.238	-4.22
69	SLE q.p.	-0.08167370		500.0	60.836	-3.50

Cedimento massimo in cmb n. 67 = -7.59 mm

Elemento Platea n. 51

Cmb.	Tipo	Car. Netto	Prof.	Sigm.Z/Sigm.Lit.	Cedim.Edom.	
n.	N/mm ²	mm	%	mm		
67	SLE rare	-0.18215510		500.0	126.344	-7.56

ANT S.r.l.		CODE CODICE C23ANTW001A019R00
		PAGE 96 di/of 209

68	SLE freq	-0.09931044	500.0	76.055	-4.25
69	SLE q.p.	-0.08260369	500.0	64.414	-3.55

Cedimento massimo in cmb n. 67 = -7.56 mm

Elemento Platea n. 52

Cmb.	Tipo	Car. Netto		Prof.	Sigm.Z/Sigm.Lit.	Cedim.Edom.
n.	N/mm ²	mm	%	mm		
67	SLE rare	-0.18047020		500.0	131.362	-7.51
68	SLE freq	-0.09982588		500.0	79.320	-4.26
69	SLE q.p.	-0.08363370		500.0	67.609	-3.58

Cedimento massimo in cmb n. 67 = -7.51 mm

Elemento Platea n. 53

Cmb.	Tipo	Car. Netto		Prof.	Sigm.Z/Sigm.Lit.	Cedim.Edom.
n.	N/mm ²	mm	%	mm		
67	SLE rare	-0.17863560		500.0	135.057	-7.41
68	SLE freq	-0.10039660		500.0	82.143	-4.25
69	SLE q.p.	-0.08476797		500.0	70.509	-3.60

Cedimento massimo in cmb n. 67 = -7.41 mm

Elemento Platea n. 54

Cmb.	Tipo	Car. Netto		Prof.	Sigm.Z/Sigm.Lit.	Cedim.Edom.
n.	N/mm ²	mm	%	mm		
67	SLE rare	-0.17662540		500.0	137.617	-7.27
68	SLE freq	-0.10102430		500.0	84.629	-4.23
69	SLE q.p.	-0.08601313		500.0	73.208	-3.61

Cedimento massimo in cmb n. 67 = -7.27 mm

Elemento Platea n. 55

Cmb.	Tipo	Car. Netto		Prof.	Sigm.Z/Sigm.Lit.	Cedim.Edom.
n.	N/mm ²	mm	%	mm		
67	SLE rare	-0.17441650		500.0	139.225	-7.10
68	SLE freq	-0.10224490		500.0	84.629	-4.21
69	SLE q.p.	-0.08737469		500.0	75.809	-3.62

ANT S.r.l.		CODE CODICE C23ANTW001A019R00
		PAGE 97 di/of 209

Cedimento massimo in cmb n. 67 = -7.10 mm

Elemento Platea n. 56

Cmb.	Tipo	Car. Netto		Prof.	Sigm.Z/Sigm.Lit.	Cedim.Edom.
n.	N/mm ²	mm	%	mm		
67	SLE rare	-0.17198510		500.0	140.062	-6.90
68	SLE freq	-0.10303350		500.0	86.896	-4.18
69	SLE q.p.	-0.08885833		500.0	78.434	-3.62

Cedimento massimo in cmb n. 67 = -6.90 mm

Elemento Platea n. 57

Cmb.	Tipo	Car. Netto		Prof.	Sigm.Z/Sigm.Lit.	Cedim.Edom.
n.	N/mm ²	mm	%	mm		
67	SLE rare	-0.16930930		500.0	140.326	-6.69
68	SLE freq	-0.10388640		500.0	89.079	-4.14
69	SLE q.p.	-0.09047078		500.0	81.251	-3.63

Cedimento massimo in cmb n. 67 = -6.69 mm

Elemento Platea n. 58

Cmb.	Tipo	Car. Netto		Prof.	Sigm.Z/Sigm.Lit.	Cedim.Edom.
n.	N/mm ²	mm	%	mm		
67	SLE rare	-0.16636800		500.0	140.258	-6.46
68	SLE freq	-0.10480550		500.0	91.358	-4.11
69	SLE q.p.	-0.09221687		500.0	84.452	-3.63

Cedimento massimo in cmb n. 67 = -6.46 mm

Elemento Platea n. 59

Cmb.	Tipo	Car. Netto		Prof.	Sigm.Z/Sigm.Lit.	Cedim.Edom.
n.	N/mm ²	mm	%	mm		
67	SLE rare	-0.16314370		500.0	140.116	-6.22
68	SLE freq	-0.10579280		500.0	93.935	-4.07
69	SLE q.p.	-0.09410761		500.0	87.856	-3.65

Cedimento massimo in cmb n. 67 = -6.22 mm

ANT S.r.l.		CODE CODICE C23ANTW001A019R00
		PAGE 98 di/of 209

Elemento Platea n. 60

Cmb.	Tipo	Car. Netto		Prof.	Sigm.Z/Sigm.Lit.	Cedim.Edom.
n.	N/mm ²	mm	%	mm		
67	SLE rare	-0.15963430		500.0	139.551	-5.99
68	SLE freq	-0.10607980		500.0	99.464	-4.14
69	SLE q.p.	-0.09615238		500.0	91.576	-3.76

Cedimento massimo in cmb n. 67 = -5.99 mm

Elemento Platea n. 61

Cmb.	Tipo	Car. Netto		Prof.	Sigm.Z/Sigm.Lit.	Cedim.Edom.
n.	N/mm ²	mm	%	mm		
67	SLE rare	-0.16847130		500.0	137.384	-5.66
68	SLE freq	-0.11897860		500.0	101.420	-4.07
69	SLE q.p.	-0.10846050		500.0	94.276	-3.74

Cedimento massimo in cmb n. 67 = -5.66 mm

Elemento Platea n. 62

Cmb.	Tipo	Car. Netto		Prof.	Sigm.Z/Sigm.Lit.	Cedim.Edom.
n.	N/mm ²	mm	%	mm		
67	SLE rare	-0.16847130		500.0	137.384	-5.66
68	SLE freq	-0.11897860		500.0	101.420	-4.07
69	SLE q.p.	-0.10888080		500.0	97.335	-3.79

Cedimento massimo in cmb n. 67 = -5.66 mm

Elemento Platea n. 63

Cmb.	Tipo	Car. Netto		Prof.	Sigm.Z/Sigm.Lit.	Cedim.Edom.
n.	N/mm ²	mm	%	mm		
67	SLE rare	-0.15692200		500.0	134.637	-5.41
68	SLE freq	-0.11730090		500.0	103.401	-4.07
69	SLE q.p.	-0.10931540		500.0	99.666	-3.80

Cedimento massimo in cmb n. 67 = -5.41 mm

Elemento Platea n. 64

Cmb.	Tipo	Car. Netto		Prof.	Sigm.Z/Sigm.Lit.	Cedim.Edom.
------	------	------------	--	-------	------------------	-------------

ANT S.r.l.		CODE CODICE C23ANTW001A019R00
		PAGE 99 di/of 209

n.	N/mm ²	mm	%	mm		
67	SLE rare	-0.14608850		500.0	130.202	-5.07
68	SLE freq	-0.11576060		500.0	104.477	-4.01
69	SLE q.p.	-0.10931540		500.0	99.666	-3.80

Cedimento massimo in cmb n. 67 = -5.07 mm

Elemento Platea n. 65

Cmb.	Tipo	Car. Netto	Prof.	Sigm.Z/Sigm.Lit.	Cedim.Edom.	
n.	N/mm ²	mm	%	mm		
67	SLE rare	-0.13512370		500.0	124.376	-4.70
68	SLE freq	-0.11418820		500.0	104.806	-3.95
69	SLE q.p.	-0.11014900		500.0	102.424	-3.80

Cedimento massimo in cmb n. 67 = -4.70 mm

Elemento Platea n. 66

Cmb.	Tipo	Car. Netto	Prof.	Sigm.Z/Sigm.Lit.	Cedim.Edom.	
n.	N/mm ²	mm	%	mm		
67	SLE rare	-0.12402900		500.0	117.242	-4.32
68	SLE freq	-0.11258160		500.0	104.313	-3.88
69	SLE q.p.	-0.11061700		500.0	103.352	-3.81

Cedimento massimo in cmb n. 67 = -4.32 mm

Elemento Platea n. 67

Cmb.	Tipo	Car. Netto	Prof.	Sigm.Z/Sigm.Lit.	Cedim.Edom.	
n.	N/mm ²	mm	%	mm		
67	SLE rare	-0.23063030		500.0	95.629	-7.07
68	SLE freq	-0.10384230		500.0	45.801	-3.24
69	SLE q.p.	-0.07501180		500.0	34.507	-2.37

Cedimento massimo in cmb n. 67 = -7.07 mm

Elemento Platea n. 68

Cmb.	Tipo	Car. Netto	Prof.	Sigm.Z/Sigm.Lit.	Cedim.Edom.	
n.	N/mm ²	mm	%	mm		
67	SLE rare	-0.22844000		500.0	110.247	-8.16

ANT S.r.l.		CODE CODICE C23ANTW001A019R00
		PAGE 100 di/of 209

68	SLE freq	-0.10389160	500.0	53.065	-3.77
69	SLE q.p.	-0.07557185	500.0	40.105	-2.77

Cedimento massimo in cmb n. 67 = -8.16 mm

Elemento Platea n. 69

Cmb.	Tipo	Car. Netto		Prof.	Sigm.Z/Sigm.Lit.	Cedim.Edom.
n.	N/mm ²	mm	%	mm		
67	SLE rare	-0.22620950		500.0	123.627	-8.77
68	SLE freq	-0.10399720		500.0	59.905	-4.09
69	SLE q.p.	-0.07621022		500.0	45.464	-3.02

Cedimento massimo in cmb n. 67 = -8.77 mm

Elemento Platea n. 70

Cmb.	Tipo	Car. Netto		Prof.	Sigm.Z/Sigm.Lit.	Cedim.Edom.
n.	N/mm ²	mm	%	mm		
67	SLE rare	-0.22389650		500.0	135.209	-9.09
68	SLE freq	-0.10415730		500.0	66.074	-4.28
69	SLE q.p.	-0.07693404		500.0	50.410	-3.19

Cedimento massimo in cmb n. 67 = -9.09 mm

Elemento Platea n. 71

Cmb.	Tipo	Car. Netto		Prof.	Sigm.Z/Sigm.Lit.	Cedim.Edom.
n.	N/mm ²	mm	%	mm		
67	SLE rare	-0.22145290		500.0	144.742	-9.23
68	SLE freq	-0.10436810		500.0	71.467	-4.40
69	SLE q.p.	-0.07774980		500.0	54.871	-3.30

Cedimento massimo in cmb n. 67 = -9.23 mm

Elemento Platea n. 72

Cmb.	Tipo	Car. Netto		Prof.	Sigm.Z/Sigm.Lit.	Cedim.Edom.
n.	N/mm ²	mm	%	mm		
67	SLE rare	-0.21884880		500.0	152.195	-9.23
68	SLE freq	-0.10462560		500.0	76.070	-4.46
69	SLE q.p.	-0.07865935		500.0	58.836	-3.38

ANT S.r.l.		CODE CODICE C23ANTW001A019R00
		PAGE 101 di/of 209

Cedimento massimo in cmb n. 67 = -9.23 mm

Elemento Platea n. 73

Cmb.	Tipo	Car. Netto		Prof.	Sigm.Z/Sigm.Lit.	Cedim.Edom.
n.	N/mm ²	mm	%	mm		
67	SLE rare	-0.22219850		500.0	152.195	-9.19
68	SLE freq	-0.10492550		500.0	79.967	-4.48
69	SLE q.p.	-0.07967007		500.0	62.372	-3.43

Cedimento massimo in cmb n. 67 = -9.19 mm

Elemento Platea n. 74

Cmb.	Tipo	Car. Netto		Prof.	Sigm.Z/Sigm.Lit.	Cedim.Edom.
n.	N/mm ²	mm	%	mm		
67	SLE rare	-0.21943040		500.0	157.735	-9.09
68	SLE freq	-0.10526720		500.0	83.257	-4.48
69	SLE q.p.	-0.08078863		500.0	65.552	-3.46

Cedimento massimo in cmb n. 67 = -9.09 mm

Elemento Platea n. 75

Cmb.	Tipo	Car. Netto		Prof.	Sigm.Z/Sigm.Lit.	Cedim.Edom.
n.	N/mm ²	mm	%	mm		
67	SLE rare	-0.21641060		500.0	161.568	-8.94
68	SLE freq	-0.10564780		500.0	86.052	-4.46
69	SLE q.p.	-0.08202020		500.0	68.465	-3.49

Cedimento massimo in cmb n. 67 = -8.94 mm

Elemento Platea n. 76

Cmb.	Tipo	Car. Netto		Prof.	Sigm.Z/Sigm.Lit.	Cedim.Edom.
n.	N/mm ²	mm	%	mm		
67	SLE rare	-0.21310060		500.0	163.920	-8.73
68	SLE freq	-0.10688480		500.0	86.052	-4.44
69	SLE q.p.	-0.08337232		500.0	71.202	-3.50

Cedimento massimo in cmb n. 67 = -8.73 mm

ANT S.r.l.		CODE CODICE C23ANTW001A019R00
		PAGE 102 di/of 209

Elemento Platea n. 77

Cmb.	Tipo	Car. Netto		Prof.	Sigm.Z/Sigm.Lit.	Cedim.Edom.
n.	N/mm ²	mm	%	mm		
67	SLE rare	-0.20946540		500.0	165.012	-8.49
68	SLE freq	-0.10739960		500.0	88.467	-4.41
69	SLE q.p.	-0.08485140		500.0	73.860	-3.52

Cedimento massimo in cmb n. 67 = -8.49 mm

Elemento Platea n. 78

Cmb.	Tipo	Car. Netto		Prof.	Sigm.Z/Sigm.Lit.	Cedim.Edom.
n.	N/mm ²	mm	%	mm		
67	SLE rare	-0.20546940		500.0	165.054	-8.22
68	SLE freq	-0.10795710		500.0	90.621	-4.37
69	SLE q.p.	-0.08646403		500.0	76.562	-3.53

Cedimento massimo in cmb n. 67 = -8.22 mm

Elemento Platea n. 79

Cmb.	Tipo	Car. Netto		Prof.	Sigm.Z/Sigm.Lit.	Cedim.Edom.
n.	N/mm ²	mm	%	mm		
67	SLE rare	-0.20107900		500.0	164.275	-7.91
68	SLE freq	-0.10855700		500.0	92.656	-4.32
69	SLE q.p.	-0.08821765		500.0	79.472	-3.54

Cedimento massimo in cmb n. 67 = -7.91 mm

Elemento Platea n. 80

Cmb.	Tipo	Car. Netto		Prof.	Sigm.Z/Sigm.Lit.	Cedim.Edom.
n.	N/mm ²	mm	%	mm		
67	SLE rare	-0.19626240		500.0	162.944	-7.59
68	SLE freq	-0.10919980		500.0	94.753	-4.27
69	SLE q.p.	-0.09011799		500.0	82.783	-3.55

Cedimento massimo in cmb n. 67 = -7.59 mm

Elemento Platea n. 81

Cmb.	Tipo	Car. Netto		Prof.	Sigm.Z/Sigm.Lit.	Cedim.Edom.
------	------	------------	--	-------	------------------	-------------

ANT S.r.l.		CODE CODICE C23ANTW001A019R00
		PAGE 103 di/of 209

n.	N/mm ²	mm	%	mm		
67	SLE rare	-0.19099250		500.0	161.346	-7.25
68	SLE freq	-0.10988570		500.0	97.120	-4.22
69	SLE q.p.	-0.09217646		500.0	86.316	-3.58

Cedimento massimo in cmb n. 67 = -7.25 mm

Elemento Platea n. 82

Cmb.	Tipo	Car. Netto	Prof.	Sigm.Z/Sigm.Lit.	Cedim.Edom.	
n.	N/mm ²	mm	%	mm		
67	SLE rare	-0.18526150		500.0	159.065	-6.91
68	SLE freq	-0.10941310		500.0	102.111	-4.26
69	SLE q.p.	-0.09440123		500.0	90.185	-3.70

Cedimento massimo in cmb n. 67 = -6.91 mm

Elemento Platea n. 83

Cmb.	Tipo	Car. Netto	Prof.	Sigm.Z/Sigm.Lit.	Cedim.Edom.	
n.	N/mm ²	mm	%	mm		
67	SLE rare	-0.19250450		500.0	153.223	-6.41
68	SLE freq	-0.12251030		500.0	103.818	-4.19
69	SLE q.p.	-0.10660540		500.0	93.015	-3.69

Cedimento massimo in cmb n. 67 = -6.41 mm

Elemento Platea n. 84

Cmb.	Tipo	Car. Netto	Prof.	Sigm.Z/Sigm.Lit.	Cedim.Edom.	
n.	N/mm ²	mm	%	mm		
67	SLE rare	-0.19250450		500.0	153.223	-6.41
68	SLE freq	-0.12251030		500.0	103.818	-4.19
69	SLE q.p.	-0.10739560		500.0	96.262	-3.74

Cedimento massimo in cmb n. 67 = -6.41 mm

Elemento Platea n. 85

Cmb.	Tipo	Car. Netto	Prof.	Sigm.Z/Sigm.Lit.	Cedim.Edom.	
n.	N/mm ²	mm	%	mm		
67	SLE rare	-0.17616210		500.0	148.022	-6.04

ANT S.r.l.		CODE CODICE C23ANTW001A019R00
		PAGE 104 di/of 209

68	SLE freq	-0.12012820	500.0	105.435	-4.16
69	SLE q.p.	-0.10817860	500.0	98.815	-3.76

Cedimento massimo in cmb n. 67 = -6.04 mm

Elemento Platea n. 86

Cmb.	Tipo	Car. Netto		Prof.	Sigm.Z/Sigm.Lit.	Cedim.Edom.
n.	N/mm ²	mm	%	mm		
67	SLE rare	-0.16081640		500.0	140.754	-5.55
68	SLE freq	-0.11792490		500.0	106.090	-4.08
69	SLE q.p.	-0.10895430		500.0	100.794	-3.77

Cedimento massimo in cmb n. 67 = -5.55 mm

Elemento Platea n. 87

Cmb.	Tipo	Car. Netto		Prof.	Sigm.Z/Sigm.Lit.	Cedim.Edom.
n.	N/mm ²	mm	%	mm		
67	SLE rare	-0.14529110		500.0	131.795	-5.03
68	SLE freq	-0.11568230		500.0	105.947	-4.00
69	SLE q.p.	-0.10971980		500.0	102.089	-3.78

Cedimento massimo in cmb n. 67 = -5.03 mm

Elemento Platea n. 88

Cmb.	Tipo	Car. Netto		Prof.	Sigm.Z/Sigm.Lit.	Cedim.Edom.
n.	N/mm ²	mm	%	mm		
67	SLE rare	-0.12958970		500.0	121.315	-4.50
68	SLE freq	-0.11339880		500.0	104.947	-3.91
69	SLE q.p.	-0.11061700		500.0	103.352	-3.81

Cedimento massimo in cmb n. 67 = -4.50 mm

Elemento Platea n. 89

Cmb.	Tipo	Car. Netto		Prof.	Sigm.Z/Sigm.Lit.	Cedim.Edom.
n.	N/mm ²	mm	%	mm		
67	SLE rare	-0.26404430		500.0	108.678	-8.08
68	SLE freq	-0.10876450		500.0	47.728	-3.39
69	SLE q.p.	-0.07214532		500.0	33.382	-2.29

ANT S.r.l.		CODE CODICE C23ANTW001A019R00
		PAGE 105 di/of 209

Cedimento massimo in cmb n. 67 = -8.08 mm

Elemento Platea n. 90

Cmb.	Tipo	Car. Netto		Prof.	Sigm.Z/Sigm.Lit.	Cedim.Edom.
n.	N/mm ²	mm	%	mm		
67	SLE rare	-0.26126270		500.0	125.221	-9.32
68	SLE freq	-0.10872570		500.0	55.277	-3.94
69	SLE q.p.	-0.07275447		500.0	38.814	-2.67

Cedimento massimo in cmb n. 67 = -9.32 mm

Elemento Platea n. 91

Cmb.	Tipo	Car. Netto		Prof.	Sigm.Z/Sigm.Lit.	Cedim.Edom.
n.	N/mm ²	mm	%	mm		
67	SLE rare	-0.25841540		500.0	140.311	-10.00
68	SLE freq	-0.10873950		500.0	62.369	-4.27
69	SLE q.p.	-0.07344415		500.0	44.025	-2.92

Cedimento massimo in cmb n. 67 = -10.00 mm

Elemento Platea n. 92

Cmb.	Tipo	Car. Netto		Prof.	Sigm.Z/Sigm.Lit.	Cedim.Edom.
n.	N/mm ²	mm	%	mm		
67	SLE rare	-0.25544970		500.0	153.302	-10.36
68	SLE freq	-0.10880240		500.0	68.747	-4.47
69	SLE q.p.	-0.07422247		500.0	48.849	-3.08

Cedimento massimo in cmb n. 67 = -10.36 mm

Elemento Platea n. 93

Cmb.	Tipo	Car. Netto		Prof.	Sigm.Z/Sigm.Lit.	Cedim.Edom.
n.	N/mm ²	mm	%	mm		
67	SLE rare	-0.25230550		500.0	163.907	-10.50
68	SLE freq	-0.10890910		500.0	74.299	-4.59
69	SLE q.p.	-0.07509684		500.0	53.216	-3.19

Cedimento massimo in cmb n. 67 = -10.50 mm

ANT S.r.l.		CODE CODICE C23ANTW001A019R00
		PAGE 106 di/of 209

Elemento Platea n. 94

Cmb.	Tipo	Car. Netto		Prof.	Sigm.Z/Sigm.Lit.	Cedim.Edom.
n.	N/mm ²	mm	%	mm		
67	SLE rare	-0.24894640		500.0	172.088	-10.48
68	SLE freq	-0.10905460		500.0	79.010	-4.64
69	SLE q.p.	-0.07606979		500.0	57.118	-3.27

Cedimento massimo in cmb n. 67 = -10.48 mm

Elemento Platea n. 95

Cmb.	Tipo	Car. Netto		Prof.	Sigm.Z/Sigm.Lit.	Cedim.Edom.
n.	N/mm ²	mm	%	mm		
67	SLE rare	-0.25292080		500.0	172.088	-10.43
68	SLE freq	-0.10923240		500.0	82.968	-4.66
69	SLE q.p.	-0.07714987		500.0	60.617	-3.32

Cedimento massimo in cmb n. 67 = -10.43 mm

Elemento Platea n. 96

Cmb.	Tipo	Car. Netto		Prof.	Sigm.Z/Sigm.Lit.	Cedim.Edom.
n.	N/mm ²	mm	%	mm		
67	SLE rare	-0.24932180		500.0	178.035	-10.31
68	SLE freq	-0.10944080		500.0	86.276	-4.66
69	SLE q.p.	-0.07834452		500.0	63.786	-3.36

Cedimento massimo in cmb n. 67 = -10.31 mm

Elemento Platea n. 97

Cmb.	Tipo	Car. Netto		Prof.	Sigm.Z/Sigm.Lit.	Cedim.Edom.
n.	N/mm ²	mm	%	mm		
67	SLE rare	-0.24539260		500.0	181.980	-10.12
68	SLE freq	-0.11067660		500.0	86.276	-4.63
69	SLE q.p.	-0.07965966		500.0	66.710	-3.39

Cedimento massimo in cmb n. 67 = -10.12 mm

Elemento Platea n. 98

Cmb.	Tipo	Car. Netto		Prof.	Sigm.Z/Sigm.Lit.	Cedim.Edom.
------	------	------------	--	-------	------------------	-------------

ANT S.r.l.		CODE CODICE C23ANTW001A019R00
		PAGE 107 di/of 209

n.	N/mm ²	mm	%	mm		
67	SLE rare	-0.24108550		500.0	184.180	-9.86
68	SLE freq	-0.11100030		500.0	89.051	-4.61
69	SLE q.p.	-0.08110364		500.0	69.477	-3.41

Cedimento massimo in cmb n. 67 = -9.86 mm

Elemento Platea n. 99

Cmb.	Tipo	Car. Netto	Prof.	Sigm.Z/Sigm.Lit.	Cedim.Edom.	
n.	N/mm ²	mm	%	mm		
67	SLE rare	-0.23635610		500.0	184.882	-9.56
68	SLE freq	-0.11135350		500.0	91.411	-4.57
69	SLE q.p.	-0.08268368		500.0	72.185	-3.43

Cedimento massimo in cmb n. 67 = -9.56 mm

Elemento Platea n. 100

Cmb.	Tipo	Car. Netto	Prof.	Sigm.Z/Sigm.Lit.	Cedim.Edom.	
n.	N/mm ²	mm	%	mm		
67	SLE rare	-0.23115970		500.0	184.320	-9.22
68	SLE freq	-0.11173370		500.0	93.479	-4.52
69	SLE q.p.	-0.08440709		500.0	74.954	-3.45

Cedimento massimo in cmb n. 67 = -9.22 mm

Elemento Platea n. 101

Cmb.	Tipo	Car. Netto	Prof.	Sigm.Z/Sigm.Lit.	Cedim.Edom.	
n.	N/mm ²	mm	%	mm		
67	SLE rare	-0.22545400		500.0	182.745	-8.86
68	SLE freq	-0.11213970		500.0	95.399	-4.46
69	SLE q.p.	-0.08628209		500.0	77.945	-3.46

Cedimento massimo in cmb n. 67 = -8.86 mm

Elemento Platea n. 102

Cmb.	Tipo	Car. Netto	Prof.	Sigm.Z/Sigm.Lit.	Cedim.Edom.	
n.	N/mm ²	mm	%	mm		
67	SLE rare	-0.21919860		500.0	180.449	-8.46

ANT S.r.l.		CODE CODICE C23ANTW001A019R00
		PAGE 108 di/of 209

68	SLE freq	-0.11257030	500.0	97.357	-4.40
69	SLE q.p.	-0.08831491	500.0	81.348	-3.48

Cedimento massimo in cmb n. 67 = -8.46 mm

Elemento Platea n. 103

Cmb.	Tipo	Car. Netto		Prof.	Sigm.Z/Sigm.Lit.	Cedim.Edom.
n.	N/mm ²	mm	%	mm		
67	SLE rare	-0.21235920		500.0	177.734	-8.05
68	SLE freq	-0.11302520		500.0	99.563	-4.34
69	SLE q.p.	-0.09051748		500.0	84.993	-3.51

Cedimento massimo in cmb n. 67 = -8.05 mm

Elemento Platea n. 104

Cmb.	Tipo	Car. Netto		Prof.	Sigm.Z/Sigm.Lit.	Cedim.Edom.
n.	N/mm ²	mm	%	mm		
67	SLE rare	-0.20492380		500.0	174.134	-7.63
68	SLE freq	-0.11196990		500.0	104.142	-4.36
69	SLE q.p.	-0.09289689		500.0	88.990	-3.64

Cedimento massimo in cmb n. 67 = -7.63 mm

Elemento Platea n. 105

Cmb.	Tipo	Car. Netto		Prof.	Sigm.Z/Sigm.Lit.	Cedim.Edom.
n.	N/mm ²	mm	%	mm		
67	SLE rare	-0.21094410		500.0	165.458	-6.99
68	SLE freq	-0.12521950		500.0	105.656	-4.27
69	SLE q.p.	-0.10501180		500.0	91.931	-3.64

Cedimento massimo in cmb n. 67 = -6.99 mm

Elemento Platea n. 106

Cmb.	Tipo	Car. Netto		Prof.	Sigm.Z/Sigm.Lit.	Cedim.Edom.
n.	N/mm ²	mm	%	mm		
67	SLE rare	-0.21094410		500.0	165.458	-6.99
68	SLE freq	-0.12521950		500.0	105.656	-4.27
69	SLE q.p.	-0.10611980		500.0	95.340	-3.70

ANT S.r.l.		CODE CODICE C23ANTW001A019R00
		PAGE 109 di/of 209

Cedimento massimo in cmb n. 67 = -6.99 mm

Elemento Platea n. 107

Cmb.	Tipo	Car. Netto		Prof.	Sigm.Z/Sigm.Lit.	Cedim.Edom.
n.	N/mm ²	mm	%	mm		
67	SLE rare	-0.19092420		500.0	158.360	-6.52
68	SLE freq	-0.12229710		500.0	106.994	-4.23
69	SLE q.p.	-0.10720200		500.0	98.083	-3.73

Cedimento massimo in cmb n. 67 = -6.52 mm

Elemento Platea n. 108

Cmb.	Tipo	Car. Netto		Prof.	Sigm.Z/Sigm.Lit.	Cedim.Edom.
n.	N/mm ²	mm	%	mm		
67	SLE rare	-0.17211660		500.0	148.900	-5.92
68	SLE freq	-0.11958510		500.0	107.325	-4.14
69	SLE q.p.	-0.10828010		500.0	100.274	-3.75

Cedimento massimo in cmb n. 67 = -5.92 mm

Elemento Platea n. 109

Cmb.	Tipo	Car. Netto		Prof.	Sigm.Z/Sigm.Lit.	Cedim.Edom.
n.	N/mm ²	mm	%	mm		
67	SLE rare	-0.15309230		500.0	137.517	-5.29
68	SLE freq	-0.11682850		500.0	106.821	-4.03
69	SLE q.p.	-0.10935110		500.0	101.801	-3.77

Cedimento massimo in cmb n. 67 = -5.29 mm

Elemento Platea n. 110

Cmb.	Tipo	Car. Netto		Prof.	Sigm.Z/Sigm.Lit.	Cedim.Edom.
n.	N/mm ²	mm	%	mm		
67	SLE rare	-0.13385620		500.0	124.452	-4.64
68	SLE freq	-0.11402570		500.0	105.432	-3.93
69	SLE q.p.	-0.11061700		500.0	103.352	-3.81

Cedimento massimo in cmb n. 67 = -4.64 mm

ANT S.r.l.		CODE CODICE C23ANTW001A019R00
		PAGE 110 di/of 209

Elemento Platea n. 111

Cmb.	Tipo	Car. Netto		Prof.	Sigm.Z/Sigm.Lit.	Cedim.Edom.
n.	N/mm ²	mm	%	mm		
67	SLE rare	-0.28504280		500.0	116.887	-8.71
68	SLE freq	-0.11185630		500.0	48.939	-3.49
69	SLE q.p.	-0.06994460		500.0	32.519	-2.22

Cedimento massimo in cmb n. 67 = -8.71 mm

Elemento Platea n. 112

Cmb.	Tipo	Car. Netto		Prof.	Sigm.Z/Sigm.Lit.	Cedim.Edom.
n.	N/mm ²	mm	%	mm		
67	SLE rare	-0.28188970		500.0	134.641	-10.04
68	SLE freq	-0.11176220		500.0	56.666	-4.05
69	SLE q.p.	-0.07059143		500.0	37.823	-2.60

Cedimento massimo in cmb n. 67 = -10.04 mm

Elemento Platea n. 113

Cmb.	Tipo	Car. Netto		Prof.	Sigm.Z/Sigm.Lit.	Cedim.Edom.
n.	N/mm ²	mm	%	mm		
67	SLE rare	-0.27865500		500.0	150.805	-10.78
68	SLE freq	-0.11171830		500.0	63.917	-4.38
69	SLE q.p.	-0.07132055		500.0	42.921	-2.84

Cedimento massimo in cmb n. 67 = -10.78 mm

Elemento Platea n. 114

Cmb.	Tipo	Car. Netto		Prof.	Sigm.Z/Sigm.Lit.	Cedim.Edom.
n.	N/mm ²	mm	%	mm		
67	SLE rare	-0.27527890		500.0	164.684	-11.16
68	SLE freq	-0.11172030		500.0	70.425	-4.59
69	SLE q.p.	-0.07214066		500.0	47.651	-3.00

Cedimento massimo in cmb n. 67 = -11.16 mm

Elemento Platea n. 115

Cmb.	Tipo	Car. Netto		Prof.	Sigm.Z/Sigm.Lit.	Cedim.Edom.
------	------	------------	--	-------	------------------	-------------

ANT S.r.l.		CODE CODICE C23ANTW001A019R00
		PAGE 111 di/of 209

n.	N/mm ²	mm	%	mm		
67	SLE rare	-0.27169460		500.0	175.964	-11.30
68	SLE freq	-0.11176150		500.0	76.077	-4.70
69	SLE q.p.	-0.07306004		500.0	51.946	-3.11

Cedimento massimo in cmb n. 67 = -11.30 mm

Elemento Platea n. 116

Cmb.	Tipo	Car. Netto	Prof.	Sigm.Z/Sigm.Lit.	Cedim.Edom.
n.	N/mm ²	mm	%	mm	
67	SLE rare	-0.26786100	500.0	184.605	-11.27
68	SLE freq	-0.11183660	500.0	80.857	-4.76
69	SLE q.p.	-0.07408165	500.0	55.798	-3.19

Cedimento massimo in cmb n. 67 = -11.27 mm

Elemento Platea n. 117

Cmb.	Tipo	Car. Netto	Prof.	Sigm.Z/Sigm.Lit.	Cedim.Edom.
n.	N/mm ²	mm	%	mm	
67	SLE rare	-0.27222810	500.0	184.605	-11.22
68	SLE freq	-0.11193770	500.0	84.853	-4.78
69	SLE q.p.	-0.07521498	500.0	59.269	-3.24

Cedimento massimo in cmb n. 67 = -11.22 mm

Elemento Platea n. 118

Cmb.	Tipo	Car. Netto	Prof.	Sigm.Z/Sigm.Lit.	Cedim.Edom.
n.	N/mm ²	mm	%	mm	
67	SLE rare	-0.26810700	500.0	190.809	-11.08
68	SLE freq	-0.11206250	500.0	88.173	-4.77
69	SLE q.p.	-0.07646801	500.0	62.430	-3.28

Cedimento massimo in cmb n. 67 = -11.08 mm

Elemento Platea n. 119

Cmb.	Tipo	Car. Netto	Prof.	Sigm.Z/Sigm.Lit.	Cedim.Edom.
n.	N/mm ²	mm	%	mm	
67	SLE rare	-0.26360640	500.0	194.827	-10.86

ANT S.r.l.		CODE CODICE C23ANTW001A019R00
		PAGE 112 di/of 209

68	SLE freq	-0.11335440	500.0	88.173	-4.74
69	SLE q.p.	-0.07784734	500.0	65.362	-3.31

Cedimento massimo in cmb n. 67 = -10.86 mm

Elemento Platea n. 120

Cmb.	Tipo	Car. Netto		Prof.	Sigm.Z/Sigm.Lit.	Cedim.Edom.
n.	N/mm ²	mm	%	mm		
67	SLE rare	-0.25867270		500.0	196.934	-10.57
68	SLE freq	-0.11358550		500.0	90.935	-4.71
69	SLE q.p.	-0.07936185		500.0	68.154	-3.34

Cedimento massimo in cmb n. 67 = -10.57 mm

Elemento Platea n. 121

Cmb.	Tipo	Car. Netto		Prof.	Sigm.Z/Sigm.Lit.	Cedim.Edom.
n.	N/mm ²	mm	%	mm		
67	SLE rare	-0.25325580		500.0	197.394	-10.23
68	SLE freq	-0.11383700		500.0	93.260	-4.67
69	SLE q.p.	-0.08101942		500.0	70.900	-3.36

Cedimento massimo in cmb n. 67 = -10.23 mm

Elemento Platea n. 122

Cmb.	Tipo	Car. Netto		Prof.	Sigm.Z/Sigm.Lit.	Cedim.Edom.
n.	N/mm ²	mm	%	mm		
67	SLE rare	-0.24730510		500.0	196.455	-9.86
68	SLE freq	-0.11410600		500.0	95.274	-4.61
69	SLE q.p.	-0.08282788		500.0	73.719	-3.38

Cedimento massimo in cmb n. 67 = -9.86 mm

Elemento Platea n. 123

Cmb.	Tipo	Car. Netto		Prof.	Sigm.Z/Sigm.Lit.	Cedim.Edom.
n.	N/mm ²	mm	%	mm		
67	SLE rare	-0.24077280		500.0	194.382	-9.45
68	SLE freq	-0.11439010		500.0	97.122	-4.55
69	SLE q.p.	-0.08479601		500.0	76.772	-3.41

ANT S.r.l.		CODE CODICE C23ANTW001A019R00
		PAGE 113 di/of 209

Cedimento massimo in cmb n. 67 = -9.45 mm

Elemento Platea n. 124

Cmb.	Tipo	Car. Netto		Prof.	Sigm.Z/Sigm.Lit.	Cedim.Edom.
n.	N/mm ²	mm	%	mm		
67	SLE rare	-0.23361330		500.0	191.480	-9.01
68	SLE freq	-0.11468760		500.0	98.993	-4.48
69	SLE q.p.	-0.08693063		500.0	80.247	-3.43

Cedimento massimo in cmb n. 67 = -9.01 mm

Elemento Platea n. 125

Cmb.	Tipo	Car. Netto		Prof.	Sigm.Z/Sigm.Lit.	Cedim.Edom.
n.	N/mm ²	mm	%	mm		
67	SLE rare	-0.22578770		500.0	188.065	-8.54
68	SLE freq	-0.11499730		500.0	101.098	-4.41
69	SLE q.p.	-0.08924382		500.0	83.976	-3.47

Cedimento massimo in cmb n. 67 = -8.54 mm

Elemento Platea n. 126

Cmb.	Tipo	Car. Netto		Prof.	Sigm.Z/Sigm.Lit.	Cedim.Edom.
n.	N/mm ²	mm	%	mm		
67	SLE rare	-0.21728120		500.0	183.636	-8.07
68	SLE freq	-0.11357610		500.0	105.417	-4.42
69	SLE q.p.	-0.09174190		500.0	88.072	-3.60

Cedimento massimo in cmb n. 67 = -8.07 mm

Elemento Platea n. 127

Cmb.	Tipo	Car. Netto		Prof.	Sigm.Z/Sigm.Lit.	Cedim.Edom.
n.	N/mm ²	mm	%	mm		
67	SLE rare	-0.22253330		500.0	173.175	-7.35
68	SLE freq	-0.12692140		500.0	106.811	-4.32
69	SLE q.p.	-0.10378830		500.0	91.099	-3.60

Cedimento massimo in cmb n. 67 = -7.35 mm

ANT S.r.l.		CODE CODICE C23ANTW001A019R00
		PAGE 114 di/of 209

Elemento Platea n. 128

Cmb.	Tipo	Car. Netto		Prof.	Sigm.Z/Sigm.Lit.	Cedim.Edom.
n.	N/mm ²	mm	%	mm		
67	SLE rare	-0.22253330		500.0	173.175	-7.35
68	SLE freq	-0.12692140		500.0	106.811	-4.32
69	SLE q.p.	-0.10514030		500.0	94.632	-3.67

Cedimento massimo in cmb n. 67 = -7.35 mm

Elemento Platea n. 129

Cmb.	Tipo	Car. Netto		Prof.	Sigm.Z/Sigm.Lit.	Cedim.Edom.
n.	N/mm ²	mm	%	mm		
67	SLE rare	-0.20020220		500.0	164.881	-6.82
68	SLE freq	-0.12365950		500.0	107.973	-4.28
69	SLE q.p.	-0.10645220		500.0	97.519	-3.70

Cedimento massimo in cmb n. 67 = -6.82 mm

Elemento Platea n. 130

Cmb.	Tipo	Car. Netto		Prof.	Sigm.Z/Sigm.Lit.	Cedim.Edom.
n.	N/mm ²	mm	%	mm		
67	SLE rare	-0.17921880		500.0	154.038	-6.15
68	SLE freq	-0.12062810		500.0	108.100	-4.17
69	SLE q.p.	-0.10776250		500.0	99.874	-3.73

Cedimento massimo in cmb n. 67 = -6.15 mm

Elemento Platea n. 131

Cmb.	Tipo	Car. Netto		Prof.	Sigm.Z/Sigm.Lit.	Cedim.Edom.
n.	N/mm ²	mm	%	mm		
67	SLE rare	-0.15799540		500.0	141.123	-5.45
68	SLE freq	-0.11754850		500.0	107.369	-4.06
69	SLE q.p.	-0.10906800		500.0	101.580	-3.76

Cedimento massimo in cmb n. 67 = -5.45 mm

Elemento Platea n. 132

Cmb.	Tipo	Car. Netto		Prof.	Sigm.Z/Sigm.Lit.	Cedim.Edom.
------	------	------------	--	-------	------------------	-------------

ANT S.r.l.		CODE CODICE C23ANTW001A019R00
		PAGE 115 di/of 209

n.	N/mm ²	mm	%	mm		
67	SLE rare	-0.13653780		500.0	126.427	-4.72
68	SLE freq	-0.11441940		500.0	105.736	-3.94
69	SLE q.p.	-0.11061700		500.0	103.352	-3.81

Cedimento massimo in cmb n. 67 = -4.72 mm

Elemento Platea n. 133

Cmb.	Tipo	Car. Netto	Prof.	Sigm.Z/Sigm.Lit.	Cedim.Edom.	
n.	N/mm ²	mm	%	mm		
67	SLE rare	-0.29219510		500.0	119.684	-8.93
68	SLE freq	-0.11290710		500.0	49.350	-3.52
69	SLE q.p.	-0.06855975		500.0	31.975	-2.18

Cedimento massimo in cmb n. 67 = -8.93 mm

Elemento Platea n. 134

Cmb.	Tipo	Car. Netto	Prof.	Sigm.Z/Sigm.Lit.	Cedim.Edom.	
n.	N/mm ²	mm	%	mm		
67	SLE rare	-0.28891550		500.0	137.851	-10.29
68	SLE freq	-0.11279400		500.0	57.138	-4.08
69	SLE q.p.	-0.06923029		500.0	37.199	-2.55

Cedimento massimo in cmb n. 67 = -10.29 mm

Elemento Platea n. 135

Cmb.	Tipo	Car. Netto	Prof.	Sigm.Z/Sigm.Lit.	Cedim.Edom.	
n.	N/mm ²	mm	%	mm		
67	SLE rare	-0.28554870		500.0	154.382	-11.04
68	SLE freq	-0.11273060		500.0	64.443	-4.42
69	SLE q.p.	-0.06998416		500.0	42.226	-2.79

Cedimento massimo in cmb n. 67 = -11.04 mm

Elemento Platea n. 136

Cmb.	Tipo	Car. Netto	Prof.	Sigm.Z/Sigm.Lit.	Cedim.Edom.	
n.	N/mm ²	mm	%	mm		
67	SLE rare	-0.28203330		500.0	168.563	-11.43

ANT S.r.l.		CODE CODICE C23ANTW001A019R00
		PAGE 116 di/of 209

68	SLE freq	-0.11271180	500.0	70.996	-4.63
69	SLE q.p.	-0.07083058	500.0	46.897	-2.95

Cedimento massimo in cmb n. 67 = -11.43 mm

Elemento Platea n. 137

Cmb.	Tipo	Car. Netto		Prof.	Sigm.Z/Sigm.Lit.	Cedim.Edom.
n.	N/mm ²	mm	%	mm		
67	SLE rare	-0.27829920		500.0	180.073	-11.57
68	SLE freq	-0.11273090		500.0	76.682	-4.74
69	SLE q.p.	-0.07177826		500.0	51.147	-3.06

Cedimento massimo in cmb n. 67 = -11.57 mm

Elemento Platea n. 138

Cmb.	Tipo	Car. Netto		Prof.	Sigm.Z/Sigm.Lit.	Cedim.Edom.
n.	N/mm ²	mm	%	mm		
67	SLE rare	-0.27430390		500.0	188.871	-11.54
68	SLE freq	-0.11278210		500.0	81.484	-4.80
69	SLE q.p.	-0.07283051		500.0	54.968	-3.13

Cedimento massimo in cmb n. 67 = -11.54 mm

Elemento Platea n. 139

Cmb.	Tipo	Car. Netto		Prof.	Sigm.Z/Sigm.Lit.	Cedim.Edom.
n.	N/mm ²	mm	%	mm		
67	SLE rare	-0.27880470		500.0	188.871	-11.49
68	SLE freq	-0.11285720		500.0	85.494	-4.82
69	SLE q.p.	-0.07399733		500.0	58.421	-3.19

Cedimento massimo in cmb n. 67 = -11.49 mm

Elemento Platea n. 140

Cmb.	Tipo	Car. Netto		Prof.	Sigm.Z/Sigm.Lit.	Cedim.Edom.
n.	N/mm ²	mm	%	mm		
67	SLE rare	-0.27450590		500.0	195.163	-11.34
68	SLE freq	-0.11295350		500.0	88.817	-4.80
69	SLE q.p.	-0.07528712		500.0	61.576	-3.23

ANT S.r.l.		CODE CODICE C23ANTW001A019R00
		PAGE 117 di/of 209

Cedimento massimo in cmb n. 67 = -11.34 mm

Elemento Platea n. 141

Cmb.	Tipo	Car. Netto		Prof.	Sigm.Z/Sigm.Lit.	Cedim.Edom.
n.	N/mm ²	mm	%	mm		
67	SLE rare	-0.26981090		500.0	199.206	-11.11
68	SLE freq	-0.11426450		500.0	88.817	-4.78
69	SLE q.p.	-0.07670677		500.0	64.514	-3.27

Cedimento massimo in cmb n. 67 = -11.11 mm

Elemento Platea n. 142

Cmb.	Tipo	Car. Netto		Prof.	Sigm.Z/Sigm.Lit.	Cedim.Edom.
n.	N/mm ²	mm	%	mm		
67	SLE rare	-0.26466390		500.0	201.282	-10.81
68	SLE freq	-0.11446400		500.0	91.575	-4.75
69	SLE q.p.	-0.07826570		500.0	67.321	-3.29

Cedimento massimo in cmb n. 67 = -10.81 mm

Elemento Platea n. 143

Cmb.	Tipo	Car. Netto		Prof.	Sigm.Z/Sigm.Lit.	Cedim.Edom.
n.	N/mm ²	mm	%	mm		
67	SLE rare	-0.25901280		500.0	201.659	-10.46
68	SLE freq	-0.11468110		500.0	93.889	-4.70
69	SLE q.p.	-0.07997204		500.0	70.090	-3.32

Cedimento massimo in cmb n. 67 = -10.46 mm

Elemento Platea n. 144

Cmb.	Tipo	Car. Netto		Prof.	Sigm.Z/Sigm.Lit.	Cedim.Edom.
n.	N/mm ²	mm	%	mm		
67	SLE rare	-0.25280530		500.0	200.592	-10.07
68	SLE freq	-0.11491230		500.0	95.884	-4.65
69	SLE q.p.	-0.08183403		500.0	72.942	-3.34

Cedimento massimo in cmb n. 67 = -10.07 mm

ANT S.r.l.		CODE CODICE C23ANTW001A019R00
		PAGE 118 di/of 209

Elemento Platea n. 145

Cmb.	Tipo	Car. Netto		Prof.	Sigm.Z/Sigm.Lit.	Cedim.Edom.
n.	N/mm ²	mm	%	mm		
67	SLE rare	-0.24599150		500.0	198.350	-9.65
68	SLE freq	-0.11515490		500.0	97.708	-4.58
69	SLE q.p.	-0.08386079		500.0	76.033	-3.37

Cedimento massimo in cmb n. 67 = -9.65 mm

Elemento Platea n. 146

Cmb.	Tipo	Car. Netto		Prof.	Sigm.Z/Sigm.Lit.	Cedim.Edom.
n.	N/mm ²	mm	%	mm		
67	SLE rare	-0.23852420		500.0	195.242	-9.19
68	SLE freq	-0.11540720		500.0	99.548	-4.51
69	SLE q.p.	-0.08605941		500.0	79.554	-3.40

Cedimento massimo in cmb n. 67 = -9.19 mm

Elemento Platea n. 147

Cmb.	Tipo	Car. Netto		Prof.	Sigm.Z/Sigm.Lit.	Cedim.Edom.
n.	N/mm ²	mm	%	mm		
67	SLE rare	-0.23036270		500.0	191.589	-8.71
68	SLE freq	-0.11566770		500.0	101.619	-4.44
69	SLE q.p.	-0.08844223		500.0	83.336	-3.44

Cedimento massimo in cmb n. 67 = -8.71 mm

Elemento Platea n. 148

Cmb.	Tipo	Car. Netto		Prof.	Sigm.Z/Sigm.Lit.	Cedim.Edom.
n.	N/mm ²	mm	%	mm		
67	SLE rare	-0.22149160		500.0	186.878	-8.23
68	SLE freq	-0.11412210		500.0	105.850	-4.44
69	SLE q.p.	-0.09101508		500.0	87.494	-3.57

Cedimento massimo in cmb n. 67 = -8.23 mm

Elemento Platea n. 149

Cmb.	Tipo	Car. Netto		Prof.	Sigm.Z/Sigm.Lit.	Cedim.Edom.
------	------	------------	--	-------	------------------	-------------

ANT S.r.l.		CODE CODICE C23ANTW001A019R00
		PAGE 119 di/of 209

n.	N/mm ²	mm	%	mm		
67	SLE rare	-0.22648240		500.0	175.807	-7.47
68	SLE freq	-0.12750010		500.0	107.202	-4.34
69	SLE q.p.	-0.10301840		500.0	90.574	-3.57

Cedimento massimo in cmb n. 67 = -7.47 mm

Elemento Platea n. 150

Cmb.	Tipo	Car. Netto	Prof.	Sigm.Z/Sigm.Lit.	Cedim.Edom.	
n.	N/mm ²	mm	%	mm		
67	SLE rare	-0.22648240		500.0	175.807	-7.47
68	SLE freq	-0.12750010		500.0	107.202	-4.34
69	SLE q.p.	-0.10452390		500.0	94.185	-3.65

Cedimento massimo in cmb n. 67 = -7.47 mm

Elemento Platea n. 151

Cmb.	Tipo	Car. Netto	Prof.	Sigm.Z/Sigm.Lit.	Cedim.Edom.	
n.	N/mm ²	mm	%	mm		
67	SLE rare	-0.20336380		500.0	167.104	-6.92
68	SLE freq	-0.12412280		500.0	108.304	-4.29
69	SLE q.p.	-0.10598040		500.0	97.163	-3.69

Cedimento massimo in cmb n. 67 = -6.92 mm

Elemento Platea n. 152

Cmb.	Tipo	Car. Netto	Prof.	Sigm.Z/Sigm.Lit.	Cedim.Edom.	
n.	N/mm ²	mm	%	mm		
67	SLE rare	-0.18163910		500.0	155.787	-6.23
68	SLE freq	-0.12098270		500.0	108.360	-4.19
69	SLE q.p.	-0.10743680		500.0	99.620	-3.72

Cedimento massimo in cmb n. 67 = -6.23 mm

Elemento Platea n. 153

Cmb.	Tipo	Car. Netto	Prof.	Sigm.Z/Sigm.Lit.	Cedim.Edom.	
n.	N/mm ²	mm	%	mm		
67	SLE rare	-0.15966650		500.0	142.350	-5.50

ANT S.r.l.		CODE CODICE C23ANTW001A019R00
		PAGE 120 di/of 209

68	SLE freq	-0.11779330	500.0	107.552	-4.07
69	SLE q.p.	-0.10888990	500.0	101.440	-3.76

Cedimento massimo in cmb n. 67 = -5.50 mm

Elemento Platea n. 154

Cmb.	Tipo	Car. Netto		Prof.	Sigm.Z/Sigm.Lit.	Cedim.Edom.
n.	N/mm ²	mm	%	mm		
67	SLE rare	-0.13745180		500.0	127.099	-4.75
68	SLE freq	-0.11455340		500.0	105.839	-3.94
69	SLE q.p.	-0.11061700		500.0	103.352	-3.81

Cedimento massimo in cmb n. 67 = -4.75 mm

Elemento Platea n. 155

Cmb.	Tipo	Car. Netto		Prof.	Sigm.Z/Sigm.Lit.	Cedim.Edom.
n.	N/mm ²	mm	%	mm		
67	SLE rare	-0.29219510		500.0	119.684	-8.93
68	SLE freq	-0.11290710		500.0	49.350	-3.52
69	SLE q.p.	-0.06855278		500.0	31.972	-2.18

Cedimento massimo in cmb n. 67 = -8.93 mm

Elemento Platea n. 156

Cmb.	Tipo	Car. Netto		Prof.	Sigm.Z/Sigm.Lit.	Cedim.Edom.
n.	N/mm ²	mm	%	mm		
67	SLE rare	-0.28891550		500.0	137.851	-10.29
68	SLE freq	-0.11279400		500.0	57.138	-4.08
69	SLE q.p.	-0.06922341		500.0	37.196	-2.55

Cedimento massimo in cmb n. 67 = -10.29 mm

Elemento Platea n. 157

Cmb.	Tipo	Car. Netto		Prof.	Sigm.Z/Sigm.Lit.	Cedim.Edom.
n.	N/mm ²	mm	%	mm		
67	SLE rare	-0.28554870		500.0	154.382	-11.04
68	SLE freq	-0.11273060		500.0	64.443	-4.42
69	SLE q.p.	-0.06997737		500.0	42.222	-2.79

ANT S.r.l.		CODE CODICE C23ANTW001A019R00
		PAGE 121 di/of 209

Cedimento massimo in cmb n. 67 = -11.04 mm

Elemento Platea n. 158

Cmb.	Tipo	Car. Netto		Prof.	Sigm.Z/Sigm.Lit.	Cedim.Edom.
n.	N/mm ²	mm	%	mm		
67	SLE rare	-0.28203330		500.0	168.563	-11.43
68	SLE freq	-0.11271180		500.0	70.996	-4.63
69	SLE q.p.	-0.07082386		500.0	46.893	-2.95

Cedimento massimo in cmb n. 67 = -11.43 mm

Elemento Platea n. 159

Cmb.	Tipo	Car. Netto		Prof.	Sigm.Z/Sigm.Lit.	Cedim.Edom.
n.	N/mm ²	mm	%	mm		
67	SLE rare	-0.27829920		500.0	180.073	-11.57
68	SLE freq	-0.11273090		500.0	76.682	-4.74
69	SLE q.p.	-0.07177166		500.0	51.143	-3.06

Cedimento massimo in cmb n. 67 = -11.57 mm

Elemento Platea n. 160

Cmb.	Tipo	Car. Netto		Prof.	Sigm.Z/Sigm.Lit.	Cedim.Edom.
n.	N/mm ²	mm	%	mm		
67	SLE rare	-0.27430390		500.0	188.871	-11.54
68	SLE freq	-0.11278210		500.0	81.484	-4.80
69	SLE q.p.	-0.07282399		500.0	54.964	-3.13

Cedimento massimo in cmb n. 67 = -11.54 mm

Elemento Platea n. 161

Cmb.	Tipo	Car. Netto		Prof.	Sigm.Z/Sigm.Lit.	Cedim.Edom.
n.	N/mm ²	mm	%	mm		
67	SLE rare	-0.27880470		500.0	188.871	-11.49
68	SLE freq	-0.11285720		500.0	85.494	-4.82
69	SLE q.p.	-0.07399098		500.0	58.417	-3.19

Cedimento massimo in cmb n. 67 = -11.49 mm

ANT S.r.l.		CODE CODICE C23ANTW001A019R00
		PAGE 122 di/of 209

Elemento Platea n. 162

Cmb.	Tipo	Car. Netto		Prof.	Sigm.Z/Sigm.Lit.	Cedim.Edom.
n.	N/mm ²	mm	%	mm		
67	SLE rare	-0.27450590		500.0	195.163	-11.34
68	SLE freq	-0.11295350		500.0	88.817	-4.80
69	SLE q.p.	-0.07528090		500.0	61.571	-3.23

Cedimento massimo in cmb n. 67 = -11.34 mm

Elemento Platea n. 163

Cmb.	Tipo	Car. Netto		Prof.	Sigm.Z/Sigm.Lit.	Cedim.Edom.
n.	N/mm ²	mm	%	mm		
67	SLE rare	-0.26981090		500.0	199.206	-11.11
68	SLE freq	-0.11426450		500.0	88.817	-4.78
69	SLE q.p.	-0.07670076		500.0	64.509	-3.27

Cedimento massimo in cmb n. 67 = -11.11 mm

Elemento Platea n. 164

Cmb.	Tipo	Car. Netto		Prof.	Sigm.Z/Sigm.Lit.	Cedim.Edom.
n.	N/mm ²	mm	%	mm		
67	SLE rare	-0.26466390		500.0	201.282	-10.81
68	SLE freq	-0.11446400		500.0	91.575	-4.75
69	SLE q.p.	-0.07825989		500.0	67.316	-3.29

Cedimento massimo in cmb n. 67 = -10.81 mm

Elemento Platea n. 165

Cmb.	Tipo	Car. Netto		Prof.	Sigm.Z/Sigm.Lit.	Cedim.Edom.
n.	N/mm ²	mm	%	mm		
67	SLE rare	-0.25901280		500.0	201.659	-10.46
68	SLE freq	-0.11468110		500.0	93.889	-4.70
69	SLE q.p.	-0.07996644		500.0	70.086	-3.32

Cedimento massimo in cmb n. 67 = -10.46 mm

Elemento Platea n. 166

Cmb.	Tipo	Car. Netto		Prof.	Sigm.Z/Sigm.Lit.	Cedim.Edom.
------	------	------------	--	-------	------------------	-------------

ANT S.r.l.		CODE CODICE C23ANTW001A019R00
		PAGE 123 di/of 209

n.	N/mm ²	mm	%	mm		
67	SLE rare	-0.25280530		500.0	200.592	-10.07
68	SLE freq	-0.11491230		500.0	95.884	-4.65
69	SLE q.p.	-0.08182871		500.0	72.937	-3.34

Cedimento massimo in cmb n. 67 = -10.07 mm

Elemento Platea n. 167

Cmb.	Tipo	Car. Netto	Prof.	Sigm.Z/Sigm.Lit.	Cedim.Edom.	
n.	N/mm ²	mm	%	mm		
67	SLE rare	-0.24599150		500.0	198.350	-9.65
68	SLE freq	-0.11515490		500.0	97.708	-4.58
69	SLE q.p.	-0.08385575		500.0	76.028	-3.37

Cedimento massimo in cmb n. 67 = -9.65 mm

Elemento Platea n. 168

Cmb.	Tipo	Car. Netto	Prof.	Sigm.Z/Sigm.Lit.	Cedim.Edom.	
n.	N/mm ²	mm	%	mm		
67	SLE rare	-0.23852420		500.0	195.242	-9.19
68	SLE freq	-0.11540720		500.0	99.548	-4.51
69	SLE q.p.	-0.08605474		500.0	79.549	-3.40

Cedimento massimo in cmb n. 67 = -9.19 mm

Elemento Platea n. 169

Cmb.	Tipo	Car. Netto	Prof.	Sigm.Z/Sigm.Lit.	Cedim.Edom.	
n.	N/mm ²	mm	%	mm		
67	SLE rare	-0.23036270		500.0	191.589	-8.71
68	SLE freq	-0.11566770		500.0	101.619	-4.44
69	SLE q.p.	-0.08843797		500.0	83.331	-3.44

Cedimento massimo in cmb n. 67 = -8.71 mm

Elemento Platea n. 170

Cmb.	Tipo	Car. Netto	Prof.	Sigm.Z/Sigm.Lit.	Cedim.Edom.	
n.	N/mm ²	mm	%	mm		
67	SLE rare	-0.22149160		500.0	186.878	-8.23

ANT S.r.l.		CODE CODICE C23ANTW001A019R00
		PAGE 124 di/of 209

68	SLE freq	-0.11412210	500.0	105.850	-4.44
69	SLE q.p.	-0.09101126	500.0	87.488	-3.57

Cedimento massimo in cmb n. 67 = -8.23 mm

Elemento Platea n. 171

Cmb.	Tipo	Car. Netto		Prof.	Sigm.Z/Sigm.Lit.	Cedim.Edom.
n.	N/mm ²	mm	%	mm		
67	SLE rare	-0.22648240		500.0	175.807	-7.47
68	SLE freq	-0.12750010		500.0	107.202	-4.34
69	SLE q.p.	-0.10301450		500.0	90.567	-3.57

Cedimento massimo in cmb n. 67 = -7.47 mm

Elemento Platea n. 172

Cmb.	Tipo	Car. Netto		Prof.	Sigm.Z/Sigm.Lit.	Cedim.Edom.
n.	N/mm ²	mm	%	mm		
67	SLE rare	-0.22648240		500.0	175.807	-7.47
68	SLE freq	-0.12750010		500.0	107.202	-4.34
69	SLE q.p.	-0.10452070		500.0	94.177	-3.65

Cedimento massimo in cmb n. 67 = -7.47 mm

Elemento Platea n. 173

Cmb.	Tipo	Car. Netto		Prof.	Sigm.Z/Sigm.Lit.	Cedim.Edom.
n.	N/mm ²	mm	%	mm		
67	SLE rare	-0.20336380		500.0	167.104	-6.92
68	SLE freq	-0.12412280		500.0	108.304	-4.29
69	SLE q.p.	-0.10597780		500.0	97.154	-3.69

Cedimento massimo in cmb n. 67 = -6.92 mm

Elemento Platea n. 174

Cmb.	Tipo	Car. Netto		Prof.	Sigm.Z/Sigm.Lit.	Cedim.Edom.
n.	N/mm ²	mm	%	mm		
67	SLE rare	-0.18163910		500.0	155.787	-6.23
68	SLE freq	-0.12098270		500.0	108.360	-4.19
69	SLE q.p.	-0.10743500		500.0	99.612	-3.72

ANT S.r.l.		CODE CODICE C23ANTW001A019R00
		PAGE 125 di/of 209

Cedimento massimo in cmb n. 67 = -6.23 mm

Elemento Platea n. 175

Cmb.	Tipo	Car. Netto		Prof.	Sigm.Z/Sigm.Lit.	Cedim.Edom.
n.	N/mm ²	mm	%	mm		
67	SLE rare	-0.15966650		500.0	142.350	-5.50
68	SLE freq	-0.11779330		500.0	107.552	-4.07
69	SLE q.p.	-0.10888890		500.0	101.437	-3.76

Cedimento massimo in cmb n. 67 = -5.50 mm

Elemento Platea n. 176

Cmb.	Tipo	Car. Netto		Prof.	Sigm.Z/Sigm.Lit.	Cedim.Edom.
n.	N/mm ²	mm	%	mm		
67	SLE rare	-0.13653590		500.0	127.099	-4.75
68	SLE freq	-0.11441830		500.0	105.839	-3.94
69	SLE q.p.	-0.11061700		500.0	103.352	-3.81

Cedimento massimo in cmb n. 67 = -4.75 mm

Elemento Platea n. 177

Cmb.	Tipo	Car. Netto		Prof.	Sigm.Z/Sigm.Lit.	Cedim.Edom.
n.	N/mm ²	mm	%	mm		
67	SLE rare	-0.28501460		500.0	116.877	-8.71
68	SLE freq	-0.11184510		500.0	48.934	-3.49
69	SLE q.p.	-0.06993084		500.0	32.513	-2.22

Cedimento massimo in cmb n. 67 = -8.71 mm

Elemento Platea n. 178

Cmb.	Tipo	Car. Netto		Prof.	Sigm.Z/Sigm.Lit.	Cedim.Edom.
n.	N/mm ²	mm	%	mm		
67	SLE rare	-0.28186230		500.0	134.629	-10.04
68	SLE freq	-0.11175120		500.0	56.661	-4.05
69	SLE q.p.	-0.07057782		500.0	37.816	-2.60

Cedimento massimo in cmb n. 67 = -10.04 mm

ANT S.r.l.		CODE CODICE C23ANTW001A019R00
		PAGE 126 di/of 209

Elemento Platea n. 179

Cmb.	Tipo	Car. Netto		Prof.	Sigm.Z/Sigm.Lit.	Cedim.Edom.
n.	N/mm ²	mm	%	mm		
67	SLE rare	-0.27862810		500.0	150.793	-10.78
68	SLE freq	-0.11170750		500.0	63.911	-4.38
69	SLE q.p.	-0.07130707		500.0	42.913	-2.84

Cedimento massimo in cmb n. 67 = -10.78 mm

Elemento Platea n. 180

Cmb.	Tipo	Car. Netto		Prof.	Sigm.Z/Sigm.Lit.	Cedim.Edom.
n.	N/mm ²	mm	%	mm		
67	SLE rare	-0.27525310		500.0	164.670	-11.16
68	SLE freq	-0.11170970		500.0	70.419	-4.59
69	SLE q.p.	-0.07212736		500.0	47.643	-3.00

Cedimento massimo in cmb n. 67 = -11.16 mm

Elemento Platea n. 181

Cmb.	Tipo	Car. Netto		Prof.	Sigm.Z/Sigm.Lit.	Cedim.Edom.
n.	N/mm ²	mm	%	mm		
67	SLE rare	-0.27166980		500.0	175.950	-11.30
68	SLE freq	-0.11175130		500.0	76.071	-4.70
69	SLE q.p.	-0.07304695		500.0	51.938	-3.11

Cedimento massimo in cmb n. 67 = -11.30 mm

Elemento Platea n. 182

Cmb.	Tipo	Car. Netto		Prof.	Sigm.Z/Sigm.Lit.	Cedim.Edom.
n.	N/mm ²	mm	%	mm		
67	SLE rare	-0.26783700		500.0	184.591	-11.27
68	SLE freq	-0.11182660		500.0	80.850	-4.76
69	SLE q.p.	-0.07406882		500.0	55.789	-3.18

Cedimento massimo in cmb n. 67 = -11.27 mm

Elemento Platea n. 183

Cmb.	Tipo	Car. Netto		Prof.	Sigm.Z/Sigm.Lit.	Cedim.Edom.
------	------	------------	--	-------	------------------	-------------

ANT S.r.l.		CODE CODICE C23ANTW001A019R00
		PAGE 127 di/of 209

n.	N/mm ²	mm	%	mm		
67	SLE rare	-0.27220360		500.0	184.591	-11.22
68	SLE freq	-0.11192810		500.0	84.847	-4.78
69	SLE q.p.	-0.07520242		500.0	59.260	-3.24

Cedimento massimo in cmb n. 67 = -11.22 mm

Elemento Platea n. 184

Cmb.	Tipo	Car. Netto	Prof.	Sigm.Z/Sigm.Lit.	Cedim.Edom.	
n.	N/mm ²	mm	%	mm		
67	SLE rare	-0.26808350		500.0	190.795	-11.08
68	SLE freq	-0.11205310		500.0	88.166	-4.77
69	SLE q.p.	-0.07645576		500.0	62.420	-3.28

Cedimento massimo in cmb n. 67 = -11.08 mm

Elemento Platea n. 185

Cmb.	Tipo	Car. Netto	Prof.	Sigm.Z/Sigm.Lit.	Cedim.Edom.	
n.	N/mm ²	mm	%	mm		
67	SLE rare	-0.26358400		500.0	194.812	-10.85
68	SLE freq	-0.11334480		500.0	88.166	-4.74
69	SLE q.p.	-0.07783542		500.0	65.353	-3.31

Cedimento massimo in cmb n. 67 = -10.85 mm

Elemento Platea n. 186

Cmb.	Tipo	Car. Netto	Prof.	Sigm.Z/Sigm.Lit.	Cedim.Edom.	
n.	N/mm ²	mm	%	mm		
67	SLE rare	-0.25865130		500.0	196.920	-10.57
68	SLE freq	-0.11357620		500.0	90.928	-4.71
69	SLE q.p.	-0.07935037		500.0	68.144	-3.34

Cedimento massimo in cmb n. 67 = -10.57 mm

Elemento Platea n. 187

Cmb.	Tipo	Car. Netto	Prof.	Sigm.Z/Sigm.Lit.	Cedim.Edom.	
n.	N/mm ²	mm	%	mm		
67	SLE rare	-0.25323550		500.0	197.380	-10.23

ANT S.r.l.		CODE CODICE C23ANTW001A019R00
		PAGE 128 di/of 209

68	SLE freq	-0.11382820	500.0	93.254	-4.67
69	SLE q.p.	-0.08100840	500.0	70.890	-3.36

Cedimento massimo in cmb n. 67 = -10.23 mm

Elemento Platea n. 188

Cmb.	Tipo	Car. Netto		Prof.	Sigm.Z/Sigm.Lit.	Cedim.Edom.
n.	N/mm ²	mm	%	mm		
67	SLE rare	-0.24728610		500.0	196.442	-9.86
68	SLE freq	-0.11409760		500.0	95.267	-4.61
69	SLE q.p.	-0.08281740		500.0	73.709	-3.38

Cedimento massimo in cmb n. 67 = -9.86 mm

Elemento Platea n. 189

Cmb.	Tipo	Car. Netto		Prof.	Sigm.Z/Sigm.Lit.	Cedim.Edom.
n.	N/mm ²	mm	%	mm		
67	SLE rare	-0.24075520		500.0	194.369	-9.45
68	SLE freq	-0.11438220		500.0	97.116	-4.55
69	SLE q.p.	-0.08478618		500.0	76.762	-3.41

Cedimento massimo in cmb n. 67 = -9.45 mm

Elemento Platea n. 190

Cmb.	Tipo	Car. Netto		Prof.	Sigm.Z/Sigm.Lit.	Cedim.Edom.
n.	N/mm ²	mm	%	mm		
67	SLE rare	-0.23359710		500.0	191.468	-9.01
68	SLE freq	-0.11468020		500.0	98.986	-4.48
69	SLE q.p.	-0.08692145		500.0	80.237	-3.43

Cedimento massimo in cmb n. 67 = -9.01 mm

Elemento Platea n. 191

Cmb.	Tipo	Car. Netto		Prof.	Sigm.Z/Sigm.Lit.	Cedim.Edom.
n.	N/mm ²	mm	%	mm		
67	SLE rare	-0.22577300		500.0	188.053	-8.54
68	SLE freq	-0.11499060		500.0	101.091	-4.41
69	SLE q.p.	-0.08923545		500.0	83.966	-3.47

ANT S.r.l.		CODE CODICE C23ANTW001A019R00
		PAGE 129 di/of 209

Cedimento massimo in cmb n. 67 = -8.54 mm

Elemento Platea n. 192

Cmb.	Tipo	Car. Netto		Prof.	Sigm.Z/Sigm.Lit.	Cedim.Edom.
n.	N/mm ²	mm	%	mm		
67	SLE rare	-0.21726830		500.0	183.625	-8.07
68	SLE freq	-0.11357090		500.0	105.410	-4.42
69	SLE q.p.	-0.09173446		500.0	88.061	-3.60

Cedimento massimo in cmb n. 67 = -8.07 mm

Elemento Platea n. 193

Cmb.	Tipo	Car. Netto		Prof.	Sigm.Z/Sigm.Lit.	Cedim.Edom.
n.	N/mm ²	mm	%	mm		
67	SLE rare	-0.22252260		500.0	173.162	-7.35
68	SLE freq	-0.12691610		500.0	106.803	-4.32
69	SLE q.p.	-0.10378070		500.0	91.086	-3.60

Cedimento massimo in cmb n. 67 = -7.35 mm

Elemento Platea n. 194

Cmb.	Tipo	Car. Netto		Prof.	Sigm.Z/Sigm.Lit.	Cedim.Edom.
n.	N/mm ²	mm	%	mm		
67	SLE rare	-0.22252260		500.0	173.162	-7.35
68	SLE freq	-0.12691610		500.0	106.803	-4.32
69	SLE q.p.	-0.10513400		500.0	94.616	-3.67

Cedimento massimo in cmb n. 67 = -7.35 mm

Elemento Platea n. 195

Cmb.	Tipo	Car. Netto		Prof.	Sigm.Z/Sigm.Lit.	Cedim.Edom.
n.	N/mm ²	mm	%	mm		
67	SLE rare	-0.20019370		500.0	164.867	-6.82
68	SLE freq	-0.12365530		500.0	107.964	-4.28
69	SLE q.p.	-0.10644730		500.0	97.502	-3.70

Cedimento massimo in cmb n. 67 = -6.82 mm

ANT S.r.l.		CODE CODICE C23ANTW001A019R00
		PAGE 130 di/of 209

Elemento Platea n. 196

Cmb.	Tipo	Car. Netto		Prof.	Sigm.Z/Sigm.Lit.	Cedim.Edom.
n.	N/mm ²	mm	%	mm		
67	SLE rare	-0.17921260		500.0	154.021	-6.15
68	SLE freq	-0.12062480		500.0	108.089	-4.17
69	SLE q.p.	-0.10775910		500.0	99.858	-3.73

Cedimento massimo in cmb n. 67 = -6.15 mm

Elemento Platea n. 197

Cmb.	Tipo	Car. Netto		Prof.	Sigm.Z/Sigm.Lit.	Cedim.Edom.
n.	N/mm ²	mm	%	mm		
67	SLE rare	-0.15799150		500.0	141.108	-5.45
68	SLE freq	-0.11754630		500.0	107.360	-4.06
69	SLE q.p.	-0.10906610		500.0	101.574	-3.76

Cedimento massimo in cmb n. 67 = -5.45 mm

Elemento Platea n. 198

Cmb.	Tipo	Car. Netto		Prof.	Sigm.Z/Sigm.Lit.	Cedim.Edom.
n.	N/mm ²	mm	%	mm		
67	SLE rare	-0.13385260		500.0	126.419	-4.72
68	SLE freq	-0.11402340		500.0	105.732	-3.94
69	SLE q.p.	-0.11061700		500.0	103.352	-3.81

Cedimento massimo in cmb n. 67 = -4.72 mm

Elemento Platea n. 199

Cmb.	Tipo	Car. Netto		Prof.	Sigm.Z/Sigm.Lit.	Cedim.Edom.
n.	N/mm ²	mm	%	mm		
67	SLE rare	-0.26399270		500.0	108.660	-8.08
68	SLE freq	-0.10874320		500.0	47.720	-3.39
69	SLE q.p.	-0.07212492		500.0	33.374	-2.29

Cedimento massimo in cmb n. 67 = -8.08 mm

Elemento Platea n. 200

Cmb.	Tipo	Car. Netto		Prof.	Sigm.Z/Sigm.Lit.	Cedim.Edom.
------	------	------------	--	-------	------------------	-------------

ANT S.r.l.		CODE CODICE C23ANTW001A019R00
		PAGE 131 di/of 209

n.	N/mm ²	mm	%	mm		
67	SLE rare	-0.26121240		500.0	125.200	-9.32
68	SLE freq	-0.10870470		500.0	55.267	-3.94
69	SLE q.p.	-0.07273429		500.0	38.804	-2.67

Cedimento massimo in cmb n. 67 = -9.32 mm

Elemento Platea n. 201

Cmb.	Tipo	Car. Netto	Prof.	Sigm.Z/Sigm.Lit.	Cedim.Edom.	
n.	N/mm ²	mm	%	mm		
67	SLE rare	-0.25836660		500.0	140.287	-10.00
68	SLE freq	-0.10871900		500.0	62.358	-4.27
69	SLE q.p.	-0.07342426		500.0	44.014	-2.92

Cedimento massimo in cmb n. 67 = -10.00 mm

Elemento Platea n. 202

Cmb.	Tipo	Car. Netto	Prof.	Sigm.Z/Sigm.Lit.	Cedim.Edom.	
n.	N/mm ²	mm	%	mm		
67	SLE rare	-0.25540240		500.0	153.277	-10.36
68	SLE freq	-0.10878240		500.0	68.735	-4.47
69	SLE q.p.	-0.07420283		500.0	48.837	-3.08

Cedimento massimo in cmb n. 67 = -10.36 mm

Elemento Platea n. 203

Cmb.	Tipo	Car. Netto	Prof.	Sigm.Z/Sigm.Lit.	Cedim.Edom.	
n.	N/mm ²	mm	%	mm		
67	SLE rare	-0.25225970		500.0	163.881	-10.50
68	SLE freq	-0.10888950		500.0	74.287	-4.59
69	SLE q.p.	-0.07507755		500.0	53.204	-3.19

Cedimento massimo in cmb n. 67 = -10.50 mm

Elemento Platea n. 204

Cmb.	Tipo	Car. Netto	Prof.	Sigm.Z/Sigm.Lit.	Cedim.Edom.	
n.	N/mm ²	mm	%	mm		
67	SLE rare	-0.24890220		500.0	172.062	-10.48

ANT S.r.l.		CODE CODICE C23ANTW001A019R00
		PAGE 132 di/of 209

68	SLE freq	-0.10903550	500.0	78.997	-4.64
69	SLE q.p.	-0.07605087	500.0	57.104	-3.27

Cedimento massimo in cmb n. 67 = -10.48 mm

Elemento Platea n. 205

Cmb.	Tipo	Car. Netto		Prof.	Sigm.Z/Sigm.Lit.	Cedim.Edom.
n.	N/mm ²	mm	%	mm		
67	SLE rare	-0.25287570		500.0	172.062	-10.43
68	SLE freq	-0.10921390		500.0	82.955	-4.66
69	SLE q.p.	-0.07713137		500.0	60.603	-3.32

Cedimento massimo in cmb n. 67 = -10.43 mm

Elemento Platea n. 206

Cmb.	Tipo	Car. Netto		Prof.	Sigm.Z/Sigm.Lit.	Cedim.Edom.
n.	N/mm ²	mm	%	mm		
67	SLE rare	-0.24927850		500.0	178.008	-10.31
68	SLE freq	-0.10942290		500.0	86.263	-4.66
69	SLE q.p.	-0.07832648		500.0	63.772	-3.36

Cedimento massimo in cmb n. 67 = -10.31 mm

Elemento Platea n. 207

Cmb.	Tipo	Car. Netto		Prof.	Sigm.Z/Sigm.Lit.	Cedim.Edom.
n.	N/mm ²	mm	%	mm		
67	SLE rare	-0.24535120		500.0	181.953	-10.11
68	SLE freq	-0.11065830		500.0	86.263	-4.63
69	SLE q.p.	-0.07964218		500.0	66.696	-3.39

Cedimento massimo in cmb n. 67 = -10.11 mm

Elemento Platea n. 208

Cmb.	Tipo	Car. Netto		Prof.	Sigm.Z/Sigm.Lit.	Cedim.Edom.
n.	N/mm ²	mm	%	mm		
67	SLE rare	-0.24104610		500.0	184.154	-9.86
68	SLE freq	-0.11098270		500.0	89.038	-4.61
69	SLE q.p.	-0.08108681		500.0	69.464	-3.41

ANT S.r.l.		CODE CODICE C23ANTW001A019R00
		PAGE 133 di/of 209

Cedimento massimo in cmb n. 67 = -9.86 mm

Elemento Platea n. 209

Cmb.	Tipo	Car. Netto		Prof.	Sigm.Z/Sigm.Lit.	Cedim.Edom.
n.	N/mm ²	mm	%	mm		
67	SLE rare	-0.23631880		500.0	184.857	-9.56
68	SLE freq	-0.11133660		500.0	91.399	-4.57
69	SLE q.p.	-0.08266758		500.0	72.171	-3.43

Cedimento massimo in cmb n. 67 = -9.56 mm

Elemento Platea n. 210

Cmb.	Tipo	Car. Netto		Prof.	Sigm.Z/Sigm.Lit.	Cedim.Edom.
n.	N/mm ²	mm	%	mm		
67	SLE rare	-0.23112460		500.0	184.296	-9.22
68	SLE freq	-0.11171770		500.0	93.467	-4.52
69	SLE q.p.	-0.08439181		500.0	74.940	-3.45

Cedimento massimo in cmb n. 67 = -9.22 mm

Elemento Platea n. 211

Cmb.	Tipo	Car. Netto		Prof.	Sigm.Z/Sigm.Lit.	Cedim.Edom.
n.	N/mm ²	mm	%	mm		
67	SLE rare	-0.22542130		500.0	182.722	-8.85
68	SLE freq	-0.11212450		500.0	95.387	-4.46
69	SLE q.p.	-0.08626773		500.0	77.931	-3.46

Cedimento massimo in cmb n. 67 = -8.85 mm

Elemento Platea n. 212

Cmb.	Tipo	Car. Netto		Prof.	Sigm.Z/Sigm.Lit.	Cedim.Edom.
n.	N/mm ²	mm	%	mm		
67	SLE rare	-0.21916860		500.0	180.426	-8.46
68	SLE freq	-0.11255620		500.0	97.345	-4.40
69	SLE q.p.	-0.08830164		500.0	81.334	-3.48

Cedimento massimo in cmb n. 67 = -8.46 mm

ANT S.r.l.		CODE CODICE C23ANTW001A019R00
		PAGE 134 di/of 209

Elemento Platea n. 213

Cmb.	Tipo	Car. Netto		Prof.	Sigm.Z/Sigm.Lit.	Cedim.Edom.
n.	N/mm ²	mm	%	mm		
67	SLE rare	-0.21233190		500.0	177.713	-8.04
68	SLE freq	-0.11301230		500.0	99.551	-4.34
69	SLE q.p.	-0.09050538		500.0	84.978	-3.51

Cedimento massimo in cmb n. 67 = -8.04 mm

Elemento Platea n. 214

Cmb.	Tipo	Car. Netto		Prof.	Sigm.Z/Sigm.Lit.	Cedim.Edom.
n.	N/mm ²	mm	%	mm		
67	SLE rare	-0.20489960		500.0	174.112	-7.62
68	SLE freq	-0.11195990		500.0	104.128	-4.36
69	SLE q.p.	-0.09288611		500.0	88.974	-3.64

Cedimento massimo in cmb n. 67 = -7.62 mm

Elemento Platea n. 215

Cmb.	Tipo	Car. Netto		Prof.	Sigm.Z/Sigm.Lit.	Cedim.Edom.
n.	N/mm ²	mm	%	mm		
67	SLE rare	-0.21092390		500.0	165.433	-6.99
68	SLE freq	-0.12520930		500.0	105.641	-4.27
69	SLE q.p.	-0.10500080		500.0	91.912	-3.63

Cedimento massimo in cmb n. 67 = -6.99 mm

Elemento Platea n. 216

Cmb.	Tipo	Car. Netto		Prof.	Sigm.Z/Sigm.Lit.	Cedim.Edom.
n.	N/mm ²	mm	%	mm		
67	SLE rare	-0.21092390		500.0	165.433	-6.99
68	SLE freq	-0.12520930		500.0	105.641	-4.27
69	SLE q.p.	-0.10611080		500.0	95.318	-3.70

Cedimento massimo in cmb n. 67 = -6.99 mm

Elemento Platea n. 217

Cmb.	Tipo	Car. Netto		Prof.	Sigm.Z/Sigm.Lit.	Cedim.Edom.
------	------	------------	--	-------	------------------	-------------

ANT S.r.l.		CODE CODICE C23ANTW001A019R00
		PAGE 135 di/of 209

n.	N/mm ²	mm	%	mm		
67	SLE rare	-0.19090820		500.0	158.332	-6.52
68	SLE freq	-0.12228890		500.0	106.977	-4.23
69	SLE q.p.	-0.10719500		500.0	98.058	-3.73

Cedimento massimo in cmb n. 67 = -6.52 mm

Elemento Platea n. 218

Cmb.	Tipo	Car. Netto	Prof.	Sigm.Z/Sigm.Lit.	Cedim.Edom.	
n.	N/mm ²	mm	%	mm		
67	SLE rare	-0.17210490		500.0	148.869	-5.92
68	SLE freq	-0.11957880		500.0	107.305	-4.14
69	SLE q.p.	-0.10827520		500.0	100.252	-3.75

Cedimento massimo in cmb n. 67 = -5.92 mm

Elemento Platea n. 219

Cmb.	Tipo	Car. Netto	Prof.	Sigm.Z/Sigm.Lit.	Cedim.Edom.	
n.	N/mm ²	mm	%	mm		
67	SLE rare	-0.15308490		500.0	137.488	-5.28
68	SLE freq	-0.11682420		500.0	106.803	-4.03
69	SLE q.p.	-0.10934830		500.0	101.793	-3.77

Cedimento massimo in cmb n. 67 = -5.28 mm

Elemento Platea n. 220

Cmb.	Tipo	Car. Netto	Prof.	Sigm.Z/Sigm.Lit.	Cedim.Edom.	
n.	N/mm ²	mm	%	mm		
67	SLE rare	-0.12958470		500.0	124.437	-4.63
68	SLE freq	-0.11339560		500.0	105.424	-3.92
69	SLE q.p.	-0.11061700		500.0	103.352	-3.81

Cedimento massimo in cmb n. 67 = -4.63 mm

Elemento Platea n. 221

Cmb.	Tipo	Car. Netto	Prof.	Sigm.Z/Sigm.Lit.	Cedim.Edom.	
n.	N/mm ²	mm	%	mm		
67	SLE rare	-0.23056380		500.0	95.606	-7.07

ANT S.r.l.		CODE CODICE C23ANTW001A019R00
		PAGE 136 di/of 209

68	SLE freq	-0.10381270	500.0	45.789	-3.24
69	SLE q.p.	-0.07498493	500.0	34.495	-2.37

Cedimento massimo in cmb n. 67 = -7.07 mm

Elemento Platea n. 222

Cmb.	Tipo	Car. Netto		Prof.	Sigm.Z/Sigm.Lit.	Cedim.Edom.
n.	N/mm ²	mm	%	mm		
67	SLE rare	-0.22837530		500.0	110.220	-8.16
68	SLE freq	-0.10386250		500.0	53.052	-3.77
69	SLE q.p.	-0.07554533		500.0	40.092	-2.77

Cedimento massimo in cmb n. 67 = -8.16 mm

Elemento Platea n. 223

Cmb.	Tipo	Car. Netto		Prof.	Sigm.Z/Sigm.Lit.	Cedim.Edom.
n.	N/mm ²	mm	%	mm		
67	SLE rare	-0.22614660		500.0	123.597	-8.77
68	SLE freq	-0.10396870		500.0	59.890	-4.09
69	SLE q.p.	-0.07618408		500.0	45.449	-3.02

Cedimento massimo in cmb n. 67 = -8.77 mm

Elemento Platea n. 224

Cmb.	Tipo	Car. Netto		Prof.	Sigm.Z/Sigm.Lit.	Cedim.Edom.
n.	N/mm ²	mm	%	mm		
67	SLE rare	-0.22383560		500.0	135.177	-9.09
68	SLE freq	-0.10412940		500.0	66.058	-4.28
69	SLE q.p.	-0.07690834		500.0	50.395	-3.19

Cedimento massimo in cmb n. 67 = -9.09 mm

Elemento Platea n. 225

Cmb.	Tipo	Car. Netto		Prof.	Sigm.Z/Sigm.Lit.	Cedim.Edom.
n.	N/mm ²	mm	%	mm		
67	SLE rare	-0.22139390		500.0	144.709	-9.22
68	SLE freq	-0.10434080		500.0	71.450	-4.40
69	SLE q.p.	-0.07772454		500.0	54.854	-3.30

ANT S.r.l.		CODE CODICE C23ANTW001A019R00
		PAGE 137 di/of 209

Cedimento massimo in cmb n. 67 = -9.22 mm

Elemento Platea n. 226

Cmb.	Tipo	Car. Netto		Prof.	Sigm.Z/Sigm.Lit.	Cedim.Edom.
n.	N/mm ²	mm	%	mm		
67	SLE rare	-0.21879180		500.0	152.161	-9.23
68	SLE freq	-0.10459910		500.0	76.053	-4.46
69	SLE q.p.	-0.07863462		500.0	58.819	-3.37

Cedimento massimo in cmb n. 67 = -9.23 mm

Elemento Platea n. 227

Cmb.	Tipo	Car. Netto		Prof.	Sigm.Z/Sigm.Lit.	Cedim.Edom.
n.	N/mm ²	mm	%	mm		
67	SLE rare	-0.22214030		500.0	152.161	-9.18
68	SLE freq	-0.10489970		500.0	79.949	-4.48
69	SLE q.p.	-0.07964595		500.0	62.354	-3.43

Cedimento massimo in cmb n. 67 = -9.18 mm

Elemento Platea n. 228

Cmb.	Tipo	Car. Netto		Prof.	Sigm.Z/Sigm.Lit.	Cedim.Edom.
n.	N/mm ²	mm	%	mm		
67	SLE rare	-0.21937440		500.0	157.700	-9.09
68	SLE freq	-0.10524220		500.0	83.239	-4.48
69	SLE q.p.	-0.08076524		500.0	65.534	-3.46

Cedimento massimo in cmb n. 67 = -9.09 mm

Elemento Platea n. 229

Cmb.	Tipo	Car. Netto		Prof.	Sigm.Z/Sigm.Lit.	Cedim.Edom.
n.	N/mm ²	mm	%	mm		
67	SLE rare	-0.21635690		500.0	161.533	-8.94
68	SLE freq	-0.10562380		500.0	86.034	-4.46
69	SLE q.p.	-0.08199757		500.0	68.447	-3.49

Cedimento massimo in cmb n. 67 = -8.94 mm

ANT S.r.l.		CODE CODICE C23ANTW001A019R00
		PAGE 138 di/of 209

Elemento Platea n. 230

Cmb.	Tipo	Car. Netto		Prof.	Sigm.Z/Sigm.Lit.	Cedim.Edom.
n.	N/mm ²	mm	%	mm		
67	SLE rare	-0.21304940		500.0	163.886	-8.73
68	SLE freq	-0.10686020		500.0	86.034	-4.44
69	SLE q.p.	-0.08335055		500.0	71.183	-3.50

Cedimento massimo in cmb n. 67 = -8.73 mm

Elemento Platea n. 231

Cmb.	Tipo	Car. Netto		Prof.	Sigm.Z/Sigm.Lit.	Cedim.Edom.
n.	N/mm ²	mm	%	mm		
67	SLE rare	-0.20941680		500.0	164.979	-8.49
68	SLE freq	-0.10737610		500.0	88.450	-4.41
69	SLE q.p.	-0.08483066		500.0	73.842	-3.52

Cedimento massimo in cmb n. 67 = -8.49 mm

Elemento Platea n. 232

Cmb.	Tipo	Car. Netto		Prof.	Sigm.Z/Sigm.Lit.	Cedim.Edom.
n.	N/mm ²	mm	%	mm		
67	SLE rare	-0.20542360		500.0	165.022	-8.21
68	SLE freq	-0.10793470		500.0	90.604	-4.37
69	SLE q.p.	-0.08644438		500.0	76.544	-3.53

Cedimento massimo in cmb n. 67 = -8.21 mm

Elemento Platea n. 233

Cmb.	Tipo	Car. Netto		Prof.	Sigm.Z/Sigm.Lit.	Cedim.Edom.
n.	N/mm ²	mm	%	mm		
67	SLE rare	-0.20103620		500.0	164.244	-7.91
68	SLE freq	-0.10853590		500.0	92.639	-4.32
69	SLE q.p.	-0.08819932		500.0	79.455	-3.54

Cedimento massimo in cmb n. 67 = -7.91 mm

Elemento Platea n. 234

Cmb.	Tipo	Car. Netto		Prof.	Sigm.Z/Sigm.Lit.	Cedim.Edom.
------	------	------------	--	-------	------------------	-------------

ANT S.r.l.		CODE CODICE C23ANTW001A019R00
		PAGE 139 di/of 209

n.	N/mm ²	mm	%	mm		
67	SLE rare	-0.19622290		500.0	162.914	-7.59
68	SLE freq	-0.10918010		500.0	94.736	-4.27
69	SLE q.p.	-0.09010106		500.0	82.765	-3.55

Cedimento massimo in cmb n. 67 = -7.59 mm

Elemento Platea n. 235

Cmb.	Tipo	Car. Netto	Prof.	Sigm.Z/Sigm.Lit.	Cedim.Edom.	
n.	N/mm ²	mm	%	mm		
67	SLE rare	-0.19095630		500.0	161.317	-7.25
68	SLE freq	-0.10986760		500.0	97.103	-4.22
69	SLE q.p.	-0.09216112		500.0	86.297	-3.58

Cedimento massimo in cmb n. 67 = -7.25 mm

Elemento Platea n. 236

Cmb.	Tipo	Car. Netto	Prof.	Sigm.Z/Sigm.Lit.	Cedim.Edom.	
n.	N/mm ²	mm	%	mm		
67	SLE rare	-0.18522920		500.0	159.036	-6.91
68	SLE freq	-0.10939900		500.0	102.092	-4.26
69	SLE q.p.	-0.09438765		500.0	90.164	-3.70

Cedimento massimo in cmb n. 67 = -6.91 mm

Elemento Platea n. 237

Cmb.	Tipo	Car. Netto	Prof.	Sigm.Z/Sigm.Lit.	Cedim.Edom.	
n.	N/mm ²	mm	%	mm		
67	SLE rare	-0.19247720		500.0	153.189	-6.41
68	SLE freq	-0.12249610		500.0	103.796	-4.18
69	SLE q.p.	-0.10659160		500.0	92.991	-3.68

Cedimento massimo in cmb n. 67 = -6.41 mm

Elemento Platea n. 238

Cmb.	Tipo	Car. Netto	Prof.	Sigm.Z/Sigm.Lit.	Cedim.Edom.	
n.	N/mm ²	mm	%	mm		
67	SLE rare	-0.19247720		500.0	153.189	-6.41

ANT S.r.l.		CODE CODICE C23ANTW001A019R00
		PAGE 140 di/of 209

68	SLE freq	-0.12249610	500.0	103.796	-4.18
69	SLE q.p.	-0.10738430	500.0	96.234	-3.74

Cedimento massimo in cmb n. 67 = -6.41 mm

Elemento Platea n. 239

Cmb.	Tipo	Car. Netto		Prof.	Sigm.Z/Sigm.Lit.	Cedim.Edom.
n.	N/mm ²	mm	%	mm		
67	SLE rare	-0.17614050		500.0	147.982	-6.04
68	SLE freq	-0.12011670		500.0	105.409	-4.16
69	SLE q.p.	-0.10816980		500.0	98.785	-3.76

Cedimento massimo in cmb n. 67 = -6.04 mm

Elemento Platea n. 240

Cmb.	Tipo	Car. Netto		Prof.	Sigm.Z/Sigm.Lit.	Cedim.Edom.
n.	N/mm ²	mm	%	mm		
67	SLE rare	-0.16080070		500.0	140.710	-5.55
68	SLE freq	-0.11791610		500.0	106.061	-4.08
69	SLE q.p.	-0.10894820		500.0	100.767	-3.77

Cedimento massimo in cmb n. 67 = -5.55 mm

Elemento Platea n. 241

Cmb.	Tipo	Car. Netto		Prof.	Sigm.Z/Sigm.Lit.	Cedim.Edom.
n.	N/mm ²	mm	%	mm		
67	SLE rare	-0.14528110		500.0	131.755	-5.03
68	SLE freq	-0.11567640		500.0	105.922	-3.99
69	SLE q.p.	-0.10971640		500.0	102.078	-3.78

Cedimento massimo in cmb n. 67 = -5.03 mm

Elemento Platea n. 242

Cmb.	Tipo	Car. Netto		Prof.	Sigm.Z/Sigm.Lit.	Cedim.Edom.
n.	N/mm ²	mm	%	mm		
67	SLE rare	-0.12402330		500.0	121.294	-4.49
68	SLE freq	-0.11257780		500.0	104.935	-3.90
69	SLE q.p.	-0.11061700		500.0	103.352	-3.81

ANT S.r.l.		CODE CODICE C23ANTW001A019R00
		PAGE 141 di/of 209

Cedimento massimo in cmb n. 67 = -4.49 mm

Elemento Platea n. 243

Cmb.	Tipo	Car. Netto		Prof.	Sigm.Z/Sigm.Lit.	Cedim.Edom.
n.	N/mm ²	mm	%	mm		
67	SLE rare	-0.18700860		500.0	78.636	-5.76
68	SLE freq	-0.09738967		500.0	43.274	-3.05
69	SLE q.p.	-0.07831517		500.0	35.802	-2.47

Cedimento massimo in cmb n. 67 = -5.76 mm

Elemento Platea n. 244

Cmb.	Tipo	Car. Netto		Prof.	Sigm.Z/Sigm.Lit.	Cedim.Edom.
n.	N/mm ²	mm	%	mm		
67	SLE rare	-0.18559090		500.0	90.746	-6.65
68	SLE freq	-0.09755445		500.0	50.166	-3.55
69	SLE q.p.	-0.07881857		500.0	41.591	-2.89

Cedimento massimo in cmb n. 67 = -6.65 mm

Elemento Platea n. 245

Cmb.	Tipo	Car. Netto		Prof.	Sigm.Z/Sigm.Lit.	Cedim.Edom.
n.	N/mm ²	mm	%	mm		
67	SLE rare	-0.18416620		500.0	101.903	-7.16
68	SLE freq	-0.09778050		500.0	56.675	-3.85
69	SLE q.p.	-0.07939778		500.0	47.121	-3.15

Cedimento massimo in cmb n. 67 = -7.16 mm

Elemento Platea n. 246

Cmb.	Tipo	Car. Netto		Prof.	Sigm.Z/Sigm.Lit.	Cedim.Edom.
n.	N/mm ²	mm	%	mm		
67	SLE rare	-0.18270600		500.0	111.652	-7.44
68	SLE freq	-0.09806787		500.0	62.571	-4.04
69	SLE q.p.	-0.08005883		500.0	52.208	-3.32

Cedimento massimo in cmb n. 67 = -7.44 mm

ANT S.r.l.		CODE CODICE C23ANTW001A019R00
		PAGE 142 di/of 209

Elemento Platea n. 247

Cmb.	Tipo	Car. Netto		Prof.	Sigm.Z/Sigm.Lit.	Cedim.Edom.
n.	N/mm ²	mm	%	mm		
67	SLE rare	-0.18117750		500.0	119.795	-7.57
68	SLE freq	-0.09841513		500.0	67.756	-4.15
69	SLE q.p.	-0.08080699		500.0	56.776	-3.43

Cedimento massimo in cmb n. 67 = -7.57 mm

Elemento Platea n. 248

Cmb.	Tipo	Car. Netto		Prof.	Sigm.Z/Sigm.Lit.	Cedim.Edom.
n.	N/mm ²	mm	%	mm		
67	SLE rare	-0.17955960		500.0	126.307	-7.59
68	SLE freq	-0.09881961		500.0	72.216	-4.22
69	SLE q.p.	-0.08164351		500.0	60.815	-3.50

Cedimento massimo in cmb n. 67 = -7.59 mm

Elemento Platea n. 249

Cmb.	Tipo	Car. Netto		Prof.	Sigm.Z/Sigm.Lit.	Cedim.Edom.
n.	N/mm ²	mm	%	mm		
67	SLE rare	-0.18209370		500.0	126.307	-7.56
68	SLE freq	-0.09927956		500.0	76.033	-4.25
69	SLE q.p.	-0.08257436		500.0	64.393	-3.55

Cedimento massimo in cmb n. 67 = -7.56 mm

Elemento Platea n. 250

Cmb.	Tipo	Car. Netto		Prof.	Sigm.Z/Sigm.Lit.	Cedim.Edom.
n.	N/mm ²	mm	%	mm		
67	SLE rare	-0.18041100		500.0	131.325	-7.51
68	SLE freq	-0.09979599		500.0	79.299	-4.25
69	SLE q.p.	-0.08360535		500.0	67.587	-3.58

Cedimento massimo in cmb n. 67 = -7.51 mm

Elemento Platea n. 251

Cmb.	Tipo	Car. Netto		Prof.	Sigm.Z/Sigm.Lit.	Cedim.Edom.
------	------	------------	--	-------	------------------	-------------

ANT S.r.l.		CODE CODICE C23ANTW001A019R00
		PAGE 143 di/of 209

n.	N/mm ²	mm	%	mm		
67	SLE rare	-0.17857860		500.0	135.020	-7.40
68	SLE freq	-0.10036780		500.0	82.121	-4.25
69	SLE q.p.	-0.08474069		500.0	70.487	-3.60

Cedimento massimo in cmb n. 67 = -7.40 mm

Elemento Platea n. 252

Cmb.	Tipo	Car. Netto	Prof.	Sigm.Z/Sigm.Lit.	Cedim.Edom.	
n.	N/mm ²	mm	%	mm		
67	SLE rare	-0.17657090		500.0	137.581	-7.26
68	SLE freq	-0.10099670		500.0	84.608	-4.23
69	SLE q.p.	-0.08598703		500.0	73.187	-3.61

Cedimento massimo in cmb n. 67 = -7.26 mm

Elemento Platea n. 253

Cmb.	Tipo	Car. Netto	Prof.	Sigm.Z/Sigm.Lit.	Cedim.Edom.	
n.	N/mm ²	mm	%	mm		
67	SLE rare	-0.17436450		500.0	139.189	-7.10
68	SLE freq	-0.10221680		500.0	84.608	-4.21
69	SLE q.p.	-0.08734995		500.0	75.787	-3.62

Cedimento massimo in cmb n. 67 = -7.10 mm

Elemento Platea n. 254

Cmb.	Tipo	Car. Netto	Prof.	Sigm.Z/Sigm.Lit.	Cedim.Edom.	
n.	N/mm ²	mm	%	mm		
67	SLE rare	-0.17193600		500.0	140.027	-6.90
68	SLE freq	-0.10300670		500.0	86.875	-4.18
69	SLE q.p.	-0.08883505		500.0	78.413	-3.62

Cedimento massimo in cmb n. 67 = -6.90 mm

Elemento Platea n. 255

Cmb.	Tipo	Car. Netto	Prof.	Sigm.Z/Sigm.Lit.	Cedim.Edom.	
n.	N/mm ²	mm	%	mm		
67	SLE rare	-0.16926300		500.0	140.292	-6.69

ANT S.r.l.		CODE CODICE C23ANTW001A019R00
		PAGE 144 di/of 209

68	SLE freq	-0.10386110	500.0	89.059	-4.14
69	SLE q.p.	-0.09044913	500.0	81.230	-3.63

Cedimento massimo in cmb n. 67 = -6.69 mm

Elemento Platea n. 256

Cmb.	Tipo	Car. Netto		Prof.	Sigm.Z/Sigm.Lit.	Cedim.Edom.
n.	N/mm ²	mm	%	mm		
67	SLE rare	-0.16632500		500.0	140.225	-6.46
68	SLE freq	-0.10478190		500.0	91.337	-4.11
69	SLE q.p.	-0.09219700		500.0	84.431	-3.63

Cedimento massimo in cmb n. 67 = -6.46 mm

Elemento Platea n. 257

Cmb.	Tipo	Car. Netto		Prof.	Sigm.Z/Sigm.Lit.	Cedim.Edom.
n.	N/mm ²	mm	%	mm		
67	SLE rare	-0.16310410		500.0	140.084	-6.22
68	SLE freq	-0.10577100		500.0	93.914	-4.07
69	SLE q.p.	-0.09408971		500.0	87.834	-3.65

Cedimento massimo in cmb n. 67 = -6.22 mm

Elemento Platea n. 258

Cmb.	Tipo	Car. Netto		Prof.	Sigm.Z/Sigm.Lit.	Cedim.Edom.
n.	N/mm ²	mm	%	mm		
67	SLE rare	-0.15959850		500.0	139.517	-5.99
68	SLE freq	-0.10606280		500.0	99.439	-4.14
69	SLE q.p.	-0.09613665		500.0	91.551	-3.76

Cedimento massimo in cmb n. 67 = -5.99 mm

Elemento Platea n. 259

Cmb.	Tipo	Car. Netto		Prof.	Sigm.Z/Sigm.Lit.	Cedim.Edom.
n.	N/mm ²	mm	%	mm		
67	SLE rare	-0.16844040		500.0	137.344	-5.66
68	SLE freq	-0.11896130		500.0	101.393	-4.07
69	SLE q.p.	-0.10844460		500.0	94.248	-3.74

ANT S.r.l.		CODE CODICE C23ANTW001A019R00
		PAGE 145 di/of 209

Cedimento massimo in cmb n. 67 = -5.66 mm

Elemento Platea n. 260

Cmb.	Tipo	Car. Netto		Prof.	Sigm.Z/Sigm.Lit.	Cedim.Edom.
n.	N/mm ²	mm	%	mm		
67	SLE rare	-0.16844040		500.0	137.344	-5.66
68	SLE freq	-0.11896130		500.0	101.393	-4.07
69	SLE q.p.	-0.10886780		500.0	97.302	-3.79

Cedimento massimo in cmb n. 67 = -5.66 mm

Elemento Platea n. 261

Cmb.	Tipo	Car. Netto		Prof.	Sigm.Z/Sigm.Lit.	Cedim.Edom.
n.	N/mm ²	mm	%	mm		
67	SLE rare	-0.15689750		500.0	134.589	-5.41
68	SLE freq	-0.11728690		500.0	103.368	-4.07
69	SLE q.p.	-0.10930540		500.0	99.632	-3.80

Cedimento massimo in cmb n. 67 = -5.41 mm

Elemento Platea n. 262

Cmb.	Tipo	Car. Netto		Prof.	Sigm.Z/Sigm.Lit.	Cedim.Edom.
n.	N/mm ²	mm	%	mm		
67	SLE rare	-0.14607050		500.0	130.149	-5.06
68	SLE freq	-0.11575000		500.0	104.442	-4.01
69	SLE q.p.	-0.10930540		500.0	99.632	-3.80

Cedimento massimo in cmb n. 67 = -5.06 mm

Elemento Platea n. 263

Cmb.	Tipo	Car. Netto		Prof.	Sigm.Z/Sigm.Lit.	Cedim.Edom.
n.	N/mm ²	mm	%	mm		
67	SLE rare	-0.13511210		500.0	124.327	-4.69
68	SLE freq	-0.11418100		500.0	104.775	-3.94
69	SLE q.p.	-0.11014520		500.0	102.412	-3.80

Cedimento massimo in cmb n. 67 = -4.69 mm

ANT S.r.l.		CODE CODICE C23ANTW001A019R00
		PAGE 146 di/of 209

Elemento Platea n. 264

Cmb.	Tipo	Car. Netto		Prof.	Sigm.Z/Sigm.Lit.	Cedim.Edom.
n.	N/mm ²	mm	%	mm		
67	SLE rare	-0.11754730		500.0	117.216	-4.31
68	SLE freq	-0.11162560		500.0	104.299	-3.88
69	SLE q.p.	-0.11061700		500.0	103.352	-3.81

Cedimento massimo in cmb n. 67 = -4.31 mm

Elemento Platea n. 265

Cmb.	Tipo	Car. Netto		Prof.	Sigm.Z/Sigm.Lit.	Cedim.Edom.
n.	N/mm ²	mm	%	mm		
67	SLE rare	-0.13629620		500.0	59.011	-4.23
68	SLE freq	-0.08991139		500.0	40.346	-2.82
69	SLE q.p.	-0.08188757		500.0	37.204	-2.58

Cedimento massimo in cmb n. 67 = -4.23 mm

Elemento Platea n. 266

Cmb.	Tipo	Car. Netto		Prof.	Sigm.Z/Sigm.Lit.	Cedim.Edom.
n.	N/mm ²	mm	%	mm		
67	SLE rare	-0.13577580		500.0	68.227	-4.90
68	SLE freq	-0.09021003		500.0	46.806	-3.29
69	SLE q.p.	-0.08232995		500.0	43.200	-3.01

Cedimento massimo in cmb n. 67 = -4.90 mm

Elemento Platea n. 267

Cmb.	Tipo	Car. Netto		Prof.	Sigm.Z/Sigm.Lit.	Cedim.Edom.
n.	N/mm ²	mm	%	mm		
67	SLE rare	-0.13528700		500.0	76.819	-5.30
68	SLE freq	-0.09057563		500.0	52.931	-3.57
69	SLE q.p.	-0.08284538		500.0	48.914	-3.28

Cedimento massimo in cmb n. 67 = -5.30 mm

Elemento Platea n. 268

Cmb.	Tipo	Car. Netto		Prof.	Sigm.Z/Sigm.Lit.	Cedim.Edom.
------	------	------------	--	-------	------------------	-------------

ANT S.r.l.		CODE CODICE C23ANTW001A019R00
		PAGE 147 di/of 209

n.	N/mm ²	mm	%	mm		
67	SLE rare	-0.13481750		500.0	84.460	-5.53
68	SLE freq	-0.09101056		500.0	58.510	-3.76
69	SLE q.p.	-0.08343873		500.0	54.153	-3.45

Cedimento massimo in cmb n. 67 = -5.53 mm

Elemento Platea n. 269

Cmb.	Tipo	Car. Netto	Prof.	Sigm.Z/Sigm.Lit.	Cedim.Edom.	
n.	N/mm ²	mm	%	mm		
67	SLE rare	-0.13435200		500.0	91.009	-5.65
68	SLE freq	-0.09151600		500.0	63.454	-3.87
69	SLE q.p.	-0.08411407		500.0	58.838	-3.56

Cedimento massimo in cmb n. 67 = -5.65 mm

Elemento Platea n. 270

Cmb.	Tipo	Car. Netto	Prof.	Sigm.Z/Sigm.Lit.	Cedim.Edom.	
n.	N/mm ²	mm	%	mm		
67	SLE rare	-0.13388010		500.0	96.447	-5.69
68	SLE freq	-0.09209084		500.0	67.750	-3.94
69	SLE q.p.	-0.08487178		500.0	62.957	-3.64

Cedimento massimo in cmb n. 67 = -5.69 mm

Elemento Platea n. 271

Cmb.	Tipo	Car. Netto	Prof.	Sigm.Z/Sigm.Lit.	Cedim.Edom.	
n.	N/mm ²	mm	%	mm		
67	SLE rare	-0.13338390		500.0	100.880	-5.69
68	SLE freq	-0.09273627		500.0	71.473	-3.97
69	SLE q.p.	-0.08571640		500.0	66.581	-3.68

Cedimento massimo in cmb n. 67 = -5.69 mm

Elemento Platea n. 272

Cmb.	Tipo	Car. Netto	Prof.	Sigm.Z/Sigm.Lit.	Cedim.Edom.	
n.	N/mm ²	mm	%	mm		
67	SLE rare	-0.13504430		500.0	100.880	-5.66

ANT S.r.l.		CODE CODICE C23ANTW001A019R00
		PAGE 148 di/of 209

68	SLE freq	-0.09345522	500.0	74.711	-3.99
69	SLE q.p.	-0.08665282	500.0	69.789	-3.71

Cedimento massimo in cmb n. 67 = -5.66 mm

Elemento Platea n. 273

Cmb.	Tipo	Car. Netto		Prof.	Sigm.Z/Sigm.Lit.	Cedim.Edom.
n.	N/mm ²	mm	%	mm		
67	SLE rare	-0.13459200		500.0	104.434	-5.63
68	SLE freq	-0.09424867		500.0	77.564	-3.99
69	SLE q.p.	-0.08768421		500.0	72.676	-3.72

Cedimento massimo in cmb n. 67 = -5.63 mm

Elemento Platea n. 274

Cmb.	Tipo	Car. Netto		Prof.	Sigm.Z/Sigm.Lit.	Cedim.Edom.
n.	N/mm ²	mm	%	mm		
67	SLE rare	-0.13409750		500.0	107.252	-5.56
68	SLE freq	-0.09512019		500.0	80.135	-3.99
69	SLE q.p.	-0.08881625		500.0	75.336	-3.73

Cedimento massimo in cmb n. 67 = -5.56 mm

Elemento Platea n. 275

Cmb.	Tipo	Car. Netto		Prof.	Sigm.Z/Sigm.Lit.	Cedim.Edom.
n.	N/mm ²	mm	%	mm		
67	SLE rare	-0.13355180		500.0	109.474	-5.48
68	SLE freq	-0.09607226		500.0	82.533	-3.97
69	SLE q.p.	-0.09005351		500.0	77.875	-3.73

Cedimento massimo in cmb n. 67 = -5.48 mm

Elemento Platea n. 276

Cmb.	Tipo	Car. Netto		Prof.	Sigm.Z/Sigm.Lit.	Cedim.Edom.
n.	N/mm ²	mm	%	mm		
67	SLE rare	-0.13294500		500.0	111.245	-5.38
68	SLE freq	-0.09710764		500.0	84.890	-3.95
69	SLE q.p.	-0.09140074		500.0	80.419	-3.72

ANT S.r.l.		CODE CODICE C23ANTW001A019R00
		PAGE 149 di/of 209

Cedimento massimo in cmb n. 67 = -5.38 mm

Elemento Platea n. 277

Cmb.	Tipo	Car. Netto		Prof.	Sigm.Z/Sigm.Lit.	Cedim.Edom.
n.	N/mm ²	mm	%	mm		
67	SLE rare	-0.13226820		500.0	112.726	-5.27
68	SLE freq	-0.09841856		500.0	84.890	-3.93
69	SLE q.p.	-0.09286369		500.0	83.135	-3.72

Cedimento massimo in cmb n. 67 = -5.27 mm

Elemento Platea n. 278

Cmb.	Tipo	Car. Netto		Prof.	Sigm.Z/Sigm.Lit.	Cedim.Edom.
n.	N/mm ²	mm	%	mm		
67	SLE rare	-0.13151360		500.0	114.124	-5.15
68	SLE freq	-0.09966153		500.0	87.380	-3.91
69	SLE q.p.	-0.09444652		500.0	86.220	-3.72

Cedimento massimo in cmb n. 67 = -5.15 mm

Elemento Platea n. 279

Cmb.	Tipo	Car. Netto		Prof.	Sigm.Z/Sigm.Lit.	Cedim.Edom.
n.	N/mm ²	mm	%	mm		
67	SLE rare	-0.13067430		500.0	115.664	-5.03
68	SLE freq	-0.10075400		500.0	93.155	-3.90
69	SLE q.p.	-0.09615969		500.0	89.484	-3.73

Cedimento massimo in cmb n. 67 = -5.03 mm

Elemento Platea n. 280

Cmb.	Tipo	Car. Netto		Prof.	Sigm.Z/Sigm.Lit.	Cedim.Edom.
n.	N/mm ²	mm	%	mm		
67	SLE rare	-0.12634720		500.0	118.459	-4.94
68	SLE freq	-0.10217880		500.0	96.351	-3.99
69	SLE q.p.	-0.09801390		500.0	93.041	-3.83

Cedimento massimo in cmb n. 67 = -4.94 mm

ANT S.r.l.		CODE CODICE C23ANTW001A019R00
		PAGE 150 di/of 209

Elemento Platea n. 281

Cmb.	Tipo	Car. Netto		Prof.	Sigm.Z/Sigm.Lit.	Cedim.Edom.
n.	N/mm ²	mm	%	mm		
67	SLE rare	-0.14045220		500.0	119.112	-4.80
68	SLE freq	-0.11484610		500.0	98.596	-3.94
69	SLE q.p.	-0.11043350		500.0	95.598	-3.81

Cedimento massimo in cmb n. 67 = -4.80 mm

Elemento Platea n. 282

Cmb.	Tipo	Car. Netto		Prof.	Sigm.Z/Sigm.Lit.	Cedim.Edom.
n.	N/mm ²	mm	%	mm		
67	SLE rare	-0.14045220		500.0	119.112	-4.80
68	SLE freq	-0.11399240		500.0	100.993	-3.96
69	SLE q.p.	-0.11046010		500.0	98.449	-3.84

Cedimento massimo in cmb n. 67 = -4.80 mm

Elemento Platea n. 283

Cmb.	Tipo	Car. Netto		Prof.	Sigm.Z/Sigm.Lit.	Cedim.Edom.
n.	N/mm ²	mm	%	mm		
67	SLE rare	-0.13449080		500.0	119.168	-4.69
68	SLE freq	-0.11399240		500.0	100.993	-3.96
69	SLE q.p.	-0.11046010		500.0	98.449	-3.84

Cedimento massimo in cmb n. 67 = -4.69 mm

Elemento Platea n. 284

Cmb.	Tipo	Car. Netto		Prof.	Sigm.Z/Sigm.Lit.	Cedim.Edom.
n.	N/mm ²	mm	%	mm		
67	SLE rare	-0.12891860		500.0	117.974	-4.50
68	SLE freq	-0.11322800		500.0	102.559	-3.93
69	SLE q.p.	-0.11052440		500.0	100.543	-3.84

Cedimento massimo in cmb n. 67 = -4.50 mm

Elemento Platea n. 285

Cmb.	Tipo	Car. Netto		Prof.	Sigm.Z/Sigm.Lit.	Cedim.Edom.
------	------	------------	--	-------	------------------	-------------

ANT S.r.l.		CODE CODICE C23ANTW001A019R00
		PAGE 151 di/of 209

n.	N/mm ²	mm	%	mm		
67	SLE rare	-0.12327110		500.0	115.750	-4.31
68	SLE freq	-0.11243990		500.0	103.440	-3.89
69	SLE q.p.	-0.11057370		500.0	102.014	-3.82

Cedimento massimo in cmb n. 67 = -4.31 mm

Elemento Platea n. 286

Cmb.	Tipo	Car. Netto	Prof.	Sigm.Z/Sigm.Lit.	Cedim.Edom.	
n.	N/mm ²	mm	%	mm		
67	SLE rare	-0.11754730		500.0	112.493	-4.10
68	SLE freq	-0.11162560		500.0	103.560	-3.85
69	SLE q.p.	-0.11060540		500.0	102.770	-3.81

Cedimento massimo in cmb n. 67 = -4.10 mm

Elemento Platea n. 287

Cmb.	Tipo	Car. Netto	Prof.	Sigm.Z/Sigm.Lit.	Cedim.Edom.	
n.	N/mm ²	mm	%	mm		
67	SLE rare	-0.08188072		500.0	38.489	-2.60
68	SLE freq	-0.08188619		500.0	37.203	-2.58
69	SLE q.p.	-0.08545725		500.0	38.605	-2.69

Cedimento massimo in cmb n. 69 = -2.69 mm

Elemento Platea n. 288

Cmb.	Tipo	Car. Netto	Prof.	Sigm.Z/Sigm.Lit.	Cedim.Edom.	
n.	N/mm ²	mm	%	mm		
67	SLE rare	-0.08232325		500.0	44.674	-3.04
68	SLE freq	-0.08232862		500.0	43.200	-3.01
69	SLE q.p.	-0.08583890		500.0	44.808	-3.13

Cedimento massimo in cmb n. 69 = -3.13 mm

Elemento Platea n. 289

Cmb.	Tipo	Car. Netto	Prof.	Sigm.Z/Sigm.Lit.	Cedim.Edom.	
n.	N/mm ²	mm	%	mm		
67	SLE rare	-0.08283875		500.0	50.588	-3.31

ANT S.r.l.		CODE CODICE C23ANTW001A019R00
		PAGE 152 di/of 209

68	SLE freq	-0.08284407	500.0	48.913	-3.28
69	SLE q.p.	-0.08629084	500.0	50.706	-3.41

Cedimento massimo in cmb n. 69 = -3.41 mm

Elemento Platea n. 290

Cmb.	Tipo	Car. Netto		Prof.	Sigm.Z/Sigm.Lit.	Cedim.Edom.
n.	N/mm ²	mm	%	mm		
67	SLE rare	-0.08343222		500.0	56.035	-3.49
68	SLE freq	-0.08343742		500.0	54.153	-3.45
69	SLE q.p.	-0.08681686		500.0	56.098	-3.59

Cedimento massimo in cmb n. 69 = -3.59 mm

Elemento Platea n. 291

Cmb.	Tipo	Car. Netto		Prof.	Sigm.Z/Sigm.Lit.	Cedim.Edom.
n.	N/mm ²	mm	%	mm		
67	SLE rare	-0.08410760		500.0	60.930	-3.60
68	SLE freq	-0.08411278		500.0	58.837	-3.56
69	SLE q.p.	-0.08741963		500.0	60.899	-3.70

Cedimento massimo in cmb n. 69 = -3.70 mm

Elemento Platea n. 292

Cmb.	Tipo	Car. Netto		Prof.	Sigm.Z/Sigm.Lit.	Cedim.Edom.
n.	N/mm ²	mm	%	mm		
67	SLE rare	-0.08486535		500.0	65.260	-3.68
68	SLE freq	-0.08487051		500.0	62.956	-3.63
69	SLE q.p.	-0.08809886		500.0	65.099	-3.77

Cedimento massimo in cmb n. 69 = -3.77 mm

Elemento Platea n. 293

Cmb.	Tipo	Car. Netto		Prof.	Sigm.Z/Sigm.Lit.	Cedim.Edom.
n.	N/mm ²	mm	%	mm		
67	SLE rare	-0.08570995		500.0	69.094	-3.72
68	SLE freq	-0.08571509		500.0	66.580	-3.68
69	SLE q.p.	-0.08885749		500.0	68.768	-3.81

ANT S.r.l.		CODE CODICE C23ANTW001A019R00
		PAGE 153 di/of 209

Cedimento massimo in cmb n. 69 = -3.81 mm

Elemento Platea n. 294

Cmb.	Tipo	Car. Netto		Prof.	Sigm.Z/Sigm.Lit.	Cedim.Edom.
n.	N/mm ²	mm	%	mm		
67	SLE rare	-0.08664636		500.0	72.510	-3.75
68	SLE freq	-0.08665154		500.0	69.788	-3.71
69	SLE q.p.	-0.08969963		500.0	71.991	-3.83

Cedimento massimo in cmb n. 69 = -3.83 mm

Elemento Platea n. 295

Cmb.	Tipo	Car. Netto		Prof.	Sigm.Z/Sigm.Lit.	Cedim.Edom.
n.	N/mm ²	mm	%	mm		
67	SLE rare	-0.08767766		500.0	75.602	-3.77
68	SLE freq	-0.08768292		500.0	72.675	-3.72
69	SLE q.p.	-0.09062731		500.0	74.864	-3.84

Cedimento massimo in cmb n. 69 = -3.84 mm

Elemento Platea n. 296

Cmb.	Tipo	Car. Netto		Prof.	Sigm.Z/Sigm.Lit.	Cedim.Edom.
n.	N/mm ²	mm	%	mm		
67	SLE rare	-0.08880955		500.0	78.465	-3.78
68	SLE freq	-0.08881489		500.0	75.336	-3.73
69	SLE q.p.	-0.09164522		500.0	77.486	-3.84

Cedimento massimo in cmb n. 69 = -3.84 mm

Elemento Platea n. 297

Cmb.	Tipo	Car. Netto		Prof.	Sigm.Z/Sigm.Lit.	Cedim.Edom.
n.	N/mm ²	mm	%	mm		
67	SLE rare	-0.09004660		500.0	81.204	-3.78
68	SLE freq	-0.09005213		500.0	77.874	-3.73
69	SLE q.p.	-0.09275704		500.0	79.963	-3.84

Cedimento massimo in cmb n. 69 = -3.84 mm

ANT S.r.l.		CODE CODICE C23ANTW001A019R00
		PAGE 154 di/of 209

Elemento Platea n. 298

Cmb.	Tipo	Car. Netto		Prof.	Sigm.Z/Sigm.Lit.	Cedim.Edom.
n.	N/mm ²	mm	%	mm		
67	SLE rare	-0.09139346		500.0	83.945	-3.78
68	SLE freq	-0.09139927		500.0	80.418	-3.72
69	SLE q.p.	-0.09396648		500.0	82.425	-3.83

Cedimento massimo in cmb n. 69 = -3.83 mm

Elemento Platea n. 299

Cmb.	Tipo	Car. Netto		Prof.	Sigm.Z/Sigm.Lit.	Cedim.Edom.
n.	N/mm ²	mm	%	mm		
67	SLE rare	-0.09285595		500.0	86.853	-3.78
68	SLE freq	-0.09286213		500.0	83.134	-3.72
69	SLE q.p.	-0.09527848		500.0	85.041	-3.81

Cedimento massimo in cmb n. 69 = -3.81 mm

Elemento Platea n. 300

Cmb.	Tipo	Car. Netto		Prof.	Sigm.Z/Sigm.Lit.	Cedim.Edom.
n.	N/mm ²	mm	%	mm		
67	SLE rare	-0.09443808		500.0	90.121	-3.78
68	SLE freq	-0.09444483		500.0	86.218	-3.72
69	SLE q.p.	-0.09669632		500.0	88.009	-3.80

Cedimento massimo in cmb n. 69 = -3.80 mm

Elemento Platea n. 301

Cmb.	Tipo	Car. Netto		Prof.	Sigm.Z/Sigm.Lit.	Cedim.Edom.
n.	N/mm ²	mm	%	mm		
67	SLE rare	-0.09615022		500.0	93.559	-3.79
68	SLE freq	-0.09615777		500.0	89.482	-3.73
69	SLE q.p.	-0.09823000		500.0	91.134	-3.80

Cedimento massimo in cmb n. 69 = -3.80 mm

Elemento Platea n. 302

Cmb.	Tipo	Car. Netto		Prof.	Sigm.Z/Sigm.Lit.	Cedim.Edom.
------	------	------------	--	-------	------------------	-------------

ANT S.r.l.		CODE CODICE C23ANTW001A019R00
		PAGE 155 di/of 209

n.	N/mm ²	mm	%	mm		
67	SLE rare	-0.09800311		500.0	97.274	-3.90
68	SLE freq	-0.09801175		500.0	93.039	-3.83
69	SLE q.p.	-0.09989154		500.0	94.531	-3.90

Cedimento massimo in cmb n. 69 = -3.90 mm

Elemento Platea n. 303

Cmb.	Tipo	Car. Netto	Prof.	Sigm.Z/Sigm.Lit.	Cedim.Edom.	
n.	N/mm ²	mm	%	mm		
67	SLE rare	-0.11042090		500.0	99.939	-3.87
68	SLE freq	-0.11043100		500.0	95.595	-3.81
69	SLE q.p.	-0.11242280		500.0	96.949	-3.87

Cedimento massimo in cmb n. 67 = -3.87 mm

Elemento Platea n. 304

Cmb.	Tipo	Car. Netto	Prof.	Sigm.Z/Sigm.Lit.	Cedim.Edom.	
n.	N/mm ²	mm	%	mm		
67	SLE rare	-0.11044840		500.0	102.907	-3.91
68	SLE freq	-0.11045780		500.0	98.446	-3.84
69	SLE q.p.	-0.11205280		500.0	99.598	-3.90

Cedimento massimo in cmb n. 67 = -3.91 mm

Elemento Platea n. 305

Cmb.	Tipo	Car. Netto	Prof.	Sigm.Z/Sigm.Lit.	Cedim.Edom.	
n.	N/mm ²	mm	%	mm		
67	SLE rare	-0.11044840		500.0	102.907	-3.91
68	SLE freq	-0.11045780		500.0	98.446	-3.84
69	SLE q.p.	-0.11205280		500.0	99.598	-3.90

Cedimento massimo in cmb n. 67 = -3.91 mm

Elemento Platea n. 306

Cmb.	Tipo	Car. Netto	Prof.	Sigm.Z/Sigm.Lit.	Cedim.Edom.	
n.	N/mm ²	mm	%	mm		
67	SLE rare	-0.11051430		500.0	105.099	-3.91

ANT S.r.l.		CODE CODICE C23ANTW001A019R00
		PAGE 156 di/of 209

68	SLE freq	-0.11052230	500.0	100.539	-3.84
69	SLE q.p.	-0.11174360	500.0	101.455	-3.88

Cedimento massimo in cmb n. 67 = -3.91 mm

Elemento Platea n. 307

Cmb.	Tipo	Car. Netto		Prof.	Sigm.Z/Sigm.Lit.	Cedim.Edom.
n.	N/mm ²	mm	%	mm		
67	SLE rare	-0.11056510		500.0	106.648	-3.90
68	SLE freq	-0.11057200		500.0	102.010	-3.82
69	SLE q.p.	-0.11141550		500.0	102.662	-3.85

Cedimento massimo in cmb n. 67 = -3.90 mm

Elemento Platea n. 308

Cmb.	Tipo	Car. Netto		Prof.	Sigm.Z/Sigm.Lit.	Cedim.Edom.
n.	N/mm ²	mm	%	mm		
67	SLE rare	-0.11059800		500.0	107.459	-3.88
68	SLE freq	-0.11060400		500.0	102.766	-3.81
69	SLE q.p.	-0.11106580		500.0	103.128	-3.83

Cedimento massimo in cmb n. 67 = -3.88 mm

Elemento Platea n. 309

Cmb.	Tipo	Car. Netto		Prof.	Sigm.Z/Sigm.Lit.	Cedim.Edom.
n.	N/mm ²	mm	%	mm		
67	SLE rare	-0.02746580		500.0	20.116	-1.08
68	SLE freq	-0.07385895		500.0	34.060	-2.34
69	SLE q.p.	-0.08877942		500.0	39.910	-2.79

Cedimento massimo in cmb n. 69 = -2.79 mm

Elemento Platea n. 310

Cmb.	Tipo	Car. Netto		Prof.	Sigm.Z/Sigm.Lit.	Cedim.Edom.
n.	N/mm ²	mm	%	mm		
67	SLE rare	-0.02887142		500.0	23.541	-1.29
68	SLE freq	-0.07444540		500.0	39.593	-2.73
69	SLE q.p.	-0.08910514		500.0	46.306	-3.25

ANT S.r.l.		CODE CODICE C23ANTW001A019R00
		PAGE 157 di/of 209

Cedimento massimo in cmb n. 69 = -3.25 mm

Elemento Platea n. 311

Cmb.	Tipo	Car. Netto		Prof.	Sigm.Z/Sigm.Lit.	Cedim.Edom.
n.	N/mm ²	mm	%	mm		
67	SLE rare	-0.03039146		500.0	26.991	-1.44
68	SLE freq	-0.07511096		500.0	44.895	-2.98
69	SLE q.p.	-0.08949856		500.0	52.376	-3.53

Cedimento massimo in cmb n. 69 = -3.53 mm

Elemento Platea n. 312

Cmb.	Tipo	Car. Netto		Prof.	Sigm.Z/Sigm.Lit.	Cedim.Edom.
n.	N/mm ²	mm	%	mm		
67	SLE rare	-0.03204818		500.0	30.388	-1.57
68	SLE freq	-0.07586312		500.0	49.795	-3.15
69	SLE q.p.	-0.08996238		500.0	57.910	-3.71

Cedimento massimo in cmb n. 69 = -3.71 mm

Elemento Platea n. 313

Cmb.	Tipo	Car. Netto		Prof.	Sigm.Z/Sigm.Lit.	Cedim.Edom.
n.	N/mm ²	mm	%	mm		
67	SLE rare	-0.03386461		500.0	33.698	-1.67
68	SLE freq	-0.07670863		500.0	54.221	-3.26
69	SLE q.p.	-0.09049813		500.0	62.820	-3.83

Cedimento massimo in cmb n. 69 = -3.83 mm

Elemento Platea n. 314

Cmb.	Tipo	Car. Netto		Prof.	Sigm.Z/Sigm.Lit.	Cedim.Edom.
n.	N/mm ²	mm	%	mm		
67	SLE rare	-0.03585225		500.0	36.916	-1.77
68	SLE freq	-0.07764953		500.0	58.163	-3.33
69	SLE q.p.	-0.09110466		500.0	67.094	-3.89

Cedimento massimo in cmb n. 69 = -3.89 mm

ANT S.r.l.		CODE CODICE C23ANTW001A019R00
		PAGE 158 di/of 209

Elemento Platea n. 315

Cmb.	Tipo	Car. Netto		Prof.	Sigm.Z/Sigm.Lit.	Cedim.Edom.
n.	N/mm ²	mm	%	mm		
67	SLE rare	-0.03803792		500.0	40.080	-1.85
68	SLE freq	-0.07869361		500.0	61.687	-3.39
69	SLE q.p.	-0.09178369		500.0	70.806	-3.93

Cedimento massimo in cmb n. 69 = -3.93 mm

Elemento Platea n. 316

Cmb.	Tipo	Car. Netto		Prof.	Sigm.Z/Sigm.Lit.	Cedim.Edom.
n.	N/mm ²	mm	%	mm		
67	SLE rare	-0.04044006		500.0	43.235	-1.94
68	SLE freq	-0.07984771		500.0	64.866	-3.42
69	SLE q.p.	-0.09253826		500.0	74.043	-3.95

Cedimento massimo in cmb n. 69 = -3.95 mm

Elemento Platea n. 317

Cmb.	Tipo	Car. Netto		Prof.	Sigm.Z/Sigm.Lit.	Cedim.Edom.
n.	N/mm ²	mm	%	mm		
67	SLE rare	-0.04307697		500.0	46.437	-2.02
68	SLE freq	-0.08111725		500.0	67.786	-3.45
69	SLE q.p.	-0.09336962		500.0	76.904	-3.96

Cedimento massimo in cmb n. 69 = -3.96 mm

Elemento Platea n. 318

Cmb.	Tipo	Car. Netto		Prof.	Sigm.Z/Sigm.Lit.	Cedim.Edom.
n.	N/mm ²	mm	%	mm		
67	SLE rare	-0.04596879		500.0	49.747	-2.11
68	SLE freq	-0.08250993		500.0	70.536	-3.47
69	SLE q.p.	-0.09428145		500.0	79.490	-3.95

Cedimento massimo in cmb n. 69 = -3.95 mm

Elemento Platea n. 319

Cmb.	Tipo	Car. Netto		Prof.	Sigm.Z/Sigm.Lit.	Cedim.Edom.
------	------	------------	--	-------	------------------	-------------

ANT S.r.l.		CODE CODICE C23ANTW001A019R00
		PAGE 159 di/of 209

n.	N/mm ²	mm	%	mm		
67	SLE rare	-0.04913437		500.0	53.236	-2.21
68	SLE freq	-0.08403250		500.0	73.216	-3.48
69	SLE q.p.	-0.09527653		500.0	81.909	-3.94

Cedimento massimo in cmb n. 69 = -3.94 mm

Elemento Platea n. 320

Cmb.	Tipo	Car. Netto	Prof.	Sigm.Z/Sigm.Lit.	Cedim.Edom.	
n.	N/mm ²	mm	%	mm		
67	SLE rare	-0.05259219		500.0	56.997	-2.31
68	SLE freq	-0.08569162		500.0	75.946	-3.50
69	SLE q.p.	-0.09635772		500.0	84.294	-3.92

Cedimento massimo in cmb n. 69 = -3.92 mm

Elemento Platea n. 321

Cmb.	Tipo	Car. Netto	Prof.	Sigm.Z/Sigm.Lit.	Cedim.Edom.	
n.	N/mm ²	mm	%	mm		
67	SLE rare	-0.05636090		500.0	61.162	-2.42
68	SLE freq	-0.08749498		500.0	78.889	-3.51
69	SLE q.p.	-0.09752911		500.0	86.817	-3.90

Cedimento massimo in cmb n. 69 = -3.90 mm

Elemento Platea n. 322

Cmb.	Tipo	Car. Netto	Prof.	Sigm.Z/Sigm.Lit.	Cedim.Edom.	
n.	N/mm ²	mm	%	mm		
67	SLE rare	-0.06045596		500.0	65.897	-2.54
68	SLE freq	-0.08944827		500.0	82.236	-3.53
69	SLE q.p.	-0.09879327		500.0	89.676	-3.88

Cedimento massimo in cmb n. 69 = -3.88 mm

Elemento Platea n. 323

Cmb.	Tipo	Car. Netto	Prof.	Sigm.Z/Sigm.Lit.	Cedim.Edom.	
n.	N/mm ²	mm	%	mm		
67	SLE rare	-0.06489445		500.0	71.101	-2.67

ANT S.r.l.		CODE CODICE C23ANTW001A019R00
		PAGE 160 di/of 209

68	SLE freq	-0.09156288	500.0	85.811	-3.55
69	SLE q.p.	-0.10015970	500.0	92.673	-3.88

Cedimento massimo in cmb n. 69 = -3.88 mm

Elemento Platea n. 324

Cmb.	Tipo	Car. Netto		Prof.	Sigm.Z/Sigm.Lit.	Cedim.Edom.
n.	N/mm ²	mm	%	mm		
67	SLE rare	-0.06966539		500.0	76.893	-2.88
68	SLE freq	-0.09384631		500.0	89.727	-3.68
69	SLE q.p.	-0.10164170		500.0	95.920	-3.97

Cedimento massimo in cmb n. 69 = -3.97 mm

Elemento Platea n. 325

Cmb.	Tipo	Car. Netto		Prof.	Sigm.Z/Sigm.Lit.	Cedim.Edom.
n.	N/mm ²	mm	%	mm		
67	SLE rare	-0.08039582		500.0	81.393	-2.97
68	SLE freq	-0.10601740		500.0	92.596	-3.67
69	SLE q.p.	-0.11427700		500.0	98.209	-3.93

Cedimento massimo in cmb n. 69 = -3.93 mm

Elemento Platea n. 326

Cmb.	Tipo	Car. Netto		Prof.	Sigm.Z/Sigm.Lit.	Cedim.Edom.
n.	N/mm ²	mm	%	mm		
67	SLE rare	-0.08640994		500.0	87.076	-3.15
68	SLE freq	-0.10692430		500.0	95.900	-3.73
69	SLE q.p.	-0.11353740		500.0	100.669	-3.95

Cedimento massimo in cmb n. 69 = -3.95 mm

Elemento Platea n. 327

Cmb.	Tipo	Car. Netto		Prof.	Sigm.Z/Sigm.Lit.	Cedim.Edom.
n.	N/mm ²	mm	%	mm		
67	SLE rare	-0.09211184		500.0	92.483	-3.32
68	SLE freq	-0.10781730		500.0	98.520	-3.75
69	SLE q.p.	-0.11353740		500.0	100.669	-3.95

ANT S.r.l.		CODE CODICE C23ANTW001A019R00
		PAGE 161 di/of 209

Cedimento massimo in cmb n. 69 = -3.95 mm

Elemento Platea n. 328

Cmb.	Tipo	Car. Netto		Prof.	Sigm.Z/Sigm.Lit.	Cedim.Edom.
n.	N/mm ²	mm	%	mm		
67	SLE rare	-0.09785992		500.0	97.672	-3.49
68	SLE freq	-0.10870430		500.0	100.581	-3.76
69	SLE q.p.	-0.11288010		500.0	102.307	-3.92

Cedimento massimo in cmb n. 69 = -3.92 mm

Elemento Platea n. 329

Cmb.	Tipo	Car. Netto		Prof.	Sigm.Z/Sigm.Lit.	Cedim.Edom.
n.	N/mm ²	mm	%	mm		
67	SLE rare	-0.10364900		500.0	102.464	-3.65
68	SLE freq	-0.10958250		500.0	101.973	-3.78
69	SLE q.p.	-0.11220000		500.0	103.266	-3.88

Cedimento massimo in cmb n. 69 = -3.88 mm

Elemento Platea n. 330

Cmb.	Tipo	Car. Netto		Prof.	Sigm.Z/Sigm.Lit.	Cedim.Edom.
n.	N/mm ²	mm	%	mm		
67	SLE rare	-0.10364900		500.0	108.069	-3.86
68	SLE freq	-0.10958250		500.0	103.349	-3.81
69	SLE q.p.	-0.11149500		500.0	103.463	-3.84

Cedimento massimo in cmb n. 67 = -3.86 mm

Elemento Platea n. 331

Cmb.	Tipo	Car. Netto		Prof.	Sigm.Z/Sigm.Lit.	Cedim.Edom.
n.	N/mm ²	mm	%	mm		
67	SLE rare	0.00000000		500.0	8.082	-0.22
68	SLE freq	-0.06637423		500.0	31.131	-2.11
69	SLE q.p.	-0.09162828		500.0	41.030	-2.88

Cedimento massimo in cmb n. 69 = -2.88 mm

ANT S.r.l.		CODE CODICE C23ANTW001A019R00
		PAGE 162 di/of 209

Elemento Platea n. 332

Cmb.	Tipo	Car. Netto		Prof.	Sigm.Z/Sigm.Lit.	Cedim.Edom.
n.	N/mm ²	mm	%	mm		
67	SLE rare	0.00000000		500.0	9.562	-0.27
68	SLE freq	-0.06709552		500.0	36.232	-2.47
69	SLE q.p.	-0.09190684		500.0	47.593	-3.35

Cedimento massimo in cmb n. 69 = -3.35 mm

Elemento Platea n. 333

Cmb.	Tipo	Car. Netto		Prof.	Sigm.Z/Sigm.Lit.	Cedim.Edom.
n.	N/mm ²	mm	%	mm		
67	SLE rare	0.00000000		500.0	11.183	-0.31
68	SLE freq	-0.06790166		500.0	41.150	-2.71
69	SLE q.p.	-0.09225143		500.0	53.810	-3.64

Cedimento massimo in cmb n. 69 = -3.64 mm

Elemento Platea n. 334

Cmb.	Tipo	Car. Netto		Prof.	Sigm.Z/Sigm.Lit.	Cedim.Edom.
n.	N/mm ²	mm	%	mm		
67	SLE rare	0.00000000		500.0	12.942	-0.36
68	SLE freq	-0.06880232		500.0	45.733	-2.86
69	SLE q.p.	-0.09266277		500.0	59.466	-3.82

Cedimento massimo in cmb n. 69 = -3.82 mm

Elemento Platea n. 335

Cmb.	Tipo	Car. Netto		Prof.	Sigm.Z/Sigm.Lit.	Cedim.Edom.
n.	N/mm ²	mm	%	mm		
67	SLE rare	0.00000000		500.0	14.848	-0.41
68	SLE freq	-0.06980699		500.0	49.918	-2.97
69	SLE q.p.	-0.09314150		500.0	64.470	-3.94

Cedimento massimo in cmb n. 69 = -3.94 mm

Elemento Platea n. 336

Cmb.	Tipo	Car. Netto		Prof.	Sigm.Z/Sigm.Lit.	Cedim.Edom.
------	------	------------	--	-------	------------------	-------------

ANT S.r.l.		CODE CODICE C23ANTW001A019R00
		PAGE 163 di/of 209

n.	N/mm ²	mm	%	mm		
67	SLE rare	0.00000000		500.0	16.919	-0.46
68	SLE freq	-0.07091909		500.0	53.696	-3.05
69	SLE q.p.	-0.09368607		500.0	68.808	-4.00

Cedimento massimo in cmb n. 69 = -4.00 mm

Elemento Platea n. 337

Cmb.	Tipo	Car. Netto	Prof.	Sigm.Z/Sigm.Lit.	Cedim.Edom.
n.	N/mm ²	mm	%	mm	
67	SLE rare	0.00000000	500.0	19.192	-0.52
68	SLE freq	-0.07214945	500.0	57.127	-3.11
69	SLE q.p.	-0.09429695	500.0	72.557	-4.04

Cedimento massimo in cmb n. 69 = -4.04 mm

Elemento Platea n. 338

Cmb.	Tipo	Car. Netto	Prof.	Sigm.Z/Sigm.Lit.	Cedim.Edom.
n.	N/mm ²	mm	%	mm	
67	SLE rare	0.00000000	500.0	21.709	-0.58
68	SLE freq	-0.07350681	500.0	60.278	-3.16
69	SLE q.p.	-0.09497657	500.0	75.806	-4.05

Cedimento massimo in cmb n. 69 = -4.05 mm

Elemento Platea n. 339

Cmb.	Tipo	Car. Netto	Prof.	Sigm.Z/Sigm.Lit.	Cedim.Edom.
n.	N/mm ²	mm	%	mm	
67	SLE rare	-0.00151434	500.0	24.520	-0.67
68	SLE freq	-0.07499854	500.0	63.230	-3.19
69	SLE q.p.	-0.09572525	500.0	78.656	-4.05

Cedimento massimo in cmb n. 69 = -4.05 mm

Elemento Platea n. 340

Cmb.	Tipo	Car. Netto	Prof.	Sigm.Z/Sigm.Lit.	Cedim.Edom.
n.	N/mm ²	mm	%	mm	
67	SLE rare	-0.00604648	500.0	27.679	-0.80

ANT S.r.l.		CODE CODICE C23ANTW001A019R00
		PAGE 164 di/of 209

68	SLE freq	-0.07663443	500.0	66.064	-3.23
69	SLE q.p.	-0.09654605	500.0	81.211	-4.04

Cedimento massimo in cmb n. 69 = -4.04 mm

Elemento Platea n. 341

Cmb.	Tipo	Car. Netto		Prof.	Sigm.Z/Sigm.Lit.	Cedim.Edom.
n.	N/mm ²	mm	%	mm		
67	SLE rare	-0.01100936		500.0	31.252	-0.94
68	SLE freq	-0.07842308		500.0	68.875	-3.26
69	SLE q.p.	-0.09744089		500.0	83.581	-4.03

Cedimento massimo in cmb n. 69 = -4.03 mm

Elemento Platea n. 342

Cmb.	Tipo	Car. Netto		Prof.	Sigm.Z/Sigm.Lit.	Cedim.Edom.
n.	N/mm ²	mm	%	mm		
67	SLE rare	-0.01643437		500.0	35.327	-1.10
68	SLE freq	-0.08037305		500.0	71.779	-3.29
69	SLE q.p.	-0.09866879		500.0	83.581	-4.01

Cedimento massimo in cmb n. 69 = -4.01 mm

Elemento Platea n. 343

Cmb.	Tipo	Car. Netto		Prof.	Sigm.Z/Sigm.Lit.	Cedim.Edom.
n.	N/mm ²	mm	%	mm		
67	SLE rare	-0.02235223		500.0	40.030	-1.27
68	SLE freq	-0.08249374		500.0	74.933	-3.32
69	SLE q.p.	-0.09975280		500.0	85.901	-3.98

Cedimento massimo in cmb n. 69 = -3.98 mm

Elemento Platea n. 344

Cmb.	Tipo	Car. Netto		Prof.	Sigm.Z/Sigm.Lit.	Cedim.Edom.
n.	N/mm ²	mm	%	mm		
67	SLE rare	-0.02878909		500.0	45.528	-1.46
68	SLE freq	-0.08479244		500.0	78.525	-3.35
69	SLE q.p.	-0.10092280		500.0	88.343	-3.96

ANT S.r.l.		CODE CODICE C23ANTW001A019R00
		PAGE 165 di/of 209

Cedimento massimo in cmb n. 69 = -3.96 mm

Elemento Platea n. 345

Cmb.	Tipo	Car. Netto		Prof.	Sigm.Z/Sigm.Lit.	Cedim.Edom.
n.	N/mm ²	mm	%	mm		
67	SLE rare	-0.03576798		500.0	51.829	-1.68
68	SLE freq	-0.08728134		500.0	82.390	-3.39
69	SLE q.p.	-0.10181750		500.0	93.995	-3.94

Cedimento massimo in cmb n. 69 = -3.94 mm

Elemento Platea n. 346

Cmb.	Tipo	Car. Netto		Prof.	Sigm.Z/Sigm.Lit.	Cedim.Edom.
n.	N/mm ²	mm	%	mm		
67	SLE rare	-0.04325798		500.0	59.075	-1.96
68	SLE freq	-0.08996493		500.0	86.642	-3.53
69	SLE q.p.	-0.10314520		500.0	97.115	-4.03

Cedimento massimo in cmb n. 69 = -4.03 mm

Elemento Platea n. 347

Cmb.	Tipo	Car. Netto		Prof.	Sigm.Z/Sigm.Lit.	Cedim.Edom.
n.	N/mm ²	mm	%	mm		
67	SLE rare	-0.05241711		500.0	64.980	-2.14
68	SLE freq	-0.10190500		500.0	89.802	-3.54
69	SLE q.p.	-0.11586990		500.0	99.292	-3.98

Cedimento massimo in cmb n. 69 = -3.98 mm

Elemento Platea n. 348

Cmb.	Tipo	Car. Netto		Prof.	Sigm.Z/Sigm.Lit.	Cedim.Edom.
n.	N/mm ²	mm	%	mm		
67	SLE rare	-0.06401052		500.0	72.874	-2.46
68	SLE freq	-0.10363200		500.0	93.528	-3.62
69	SLE q.p.	-0.11481270		500.0	101.590	-3.99

Cedimento massimo in cmb n. 69 = -3.99 mm

ANT S.r.l.		CODE CODICE C23ANTW001A019R00
		PAGE 166 di/of 209

Elemento Platea n. 349

Cmb.	Tipo	Car. Netto		Prof.	Sigm.Z/Sigm.Lit.	Cedim.Edom.
n.	N/mm ²	mm	%	mm		
67	SLE rare	-0.07496410		500.0	81.036	-2.78
68	SLE freq	-0.10529690		500.0	96.641	-3.66
69	SLE q.p.	-0.11481270		500.0	101.590	-3.99

Cedimento massimo in cmb n. 69 = -3.99 mm

Elemento Platea n. 350

Cmb.	Tipo	Car. Netto		Prof.	Sigm.Z/Sigm.Lit.	Cedim.Edom.
n.	N/mm ²	mm	%	mm		
67	SLE rare	-0.08602095		500.0	89.448	-3.11
68	SLE freq	-0.10696430		500.0	99.250	-3.70
69	SLE q.p.	-0.11385640		500.0	103.039	-3.95

Cedimento massimo in cmb n. 69 = -3.95 mm

Elemento Platea n. 351

Cmb.	Tipo	Car. Netto		Prof.	Sigm.Z/Sigm.Lit.	Cedim.Edom.
n.	N/mm ²	mm	%	mm		
67	SLE rare	-0.09717374		500.0	97.849	-3.45
68	SLE freq	-0.10863070		500.0	101.234	-3.75
69	SLE q.p.	-0.11287410		500.0	103.786	-3.90

Cedimento massimo in cmb n. 69 = -3.90 mm

Elemento Platea n. 352

Cmb.	Tipo	Car. Netto		Prof.	Sigm.Z/Sigm.Lit.	Cedim.Edom.
n.	N/mm ²	mm	%	mm		
67	SLE rare	-0.09717374		500.0	108.069	-3.86
68	SLE freq	-0.10863070		500.0	103.349	-3.81
69	SLE q.p.	-0.11186360		500.0	103.750	-3.86

Cedimento massimo in cmb n. 67 = -3.86 mm

Elemento Platea n. 353

Cmb.	Tipo	Car. Netto		Prof.	Sigm.Z/Sigm.Lit.	Cedim.Edom.
------	------	------------	--	-------	------------------	-------------

ANT S.r.l.		CODE CODICE C23ANTW001A019R00
		PAGE 167 di/of 209

n.	N/mm ²	mm	%	mm		
67	SLE rare	0.00000000		500.0	3.100	-0.05
68	SLE freq	-0.05994185		500.0	28.615	-1.92
69	SLE q.p.	-0.09382372		500.0	41.892	-2.94

Cedimento massimo in cmb n. 69 = -2.94 mm

Elemento Platea n. 354

Cmb.	Tipo	Car. Netto	Prof.	Sigm.Z/Sigm.Lit.	Cedim.Edom.
n.	N/mm ²	mm	%	mm	
67	SLE rare	0.00000000	500.0	3.688	-0.06
68	SLE freq	-0.06077993	500.0	33.345	-2.25
69	SLE q.p.	-0.09406491	500.0	48.582	-3.42

Cedimento massimo in cmb n. 69 = -3.42 mm

Elemento Platea n. 355

Cmb.	Tipo	Car. Netto	Prof.	Sigm.Z/Sigm.Lit.	Cedim.Edom.
n.	N/mm ²	mm	%	mm	
67	SLE rare	0.00000000	500.0	4.382	-0.07
68	SLE freq	-0.06170815	500.0	37.934	-2.47
69	SLE q.p.	-0.09437042	500.0	54.913	-3.72

Cedimento massimo in cmb n. 69 = -3.72 mm

Elemento Platea n. 356

Cmb.	Tipo	Car. Netto	Prof.	Sigm.Z/Sigm.Lit.	Cedim.Edom.
n.	N/mm ²	mm	%	mm	
67	SLE rare	0.00000000	500.0	5.200	-0.08
68	SLE freq	-0.06273731	500.0	42.246	-2.62
69	SLE q.p.	-0.09474026	500.0	60.663	-3.91

Cedimento massimo in cmb n. 69 = -3.91 mm

Elemento Platea n. 357

Cmb.	Tipo	Car. Netto	Prof.	Sigm.Z/Sigm.Lit.	Cedim.Edom.
n.	N/mm ²	mm	%	mm	
67	SLE rare	0.00000000	500.0	6.167	-0.10

ANT S.r.l.		CODE CODICE C23ANTW001A019R00
		PAGE 168 di/of 209

68	SLE freq	-0.06387927	500.0	46.223	-2.73
69	SLE q.p.	-0.09517431	500.0	65.738	-4.02

Cedimento massimo in cmb n. 69 = -4.02 mm

Elemento Platea n. 358

Cmb.	Tipo	Car. Netto		Prof.	Sigm.Z/Sigm.Lit.	Cedim.Edom.
n.	N/mm ²	mm	%	mm		
67	SLE rare	0.00000000		500.0	7.312	-0.12
68	SLE freq	-0.06513879		500.0	49.860	-2.81
69	SLE q.p.	-0.09567058		500.0	70.125	-4.09

Cedimento massimo in cmb n. 69 = -4.09 mm

Elemento Platea n. 359

Cmb.	Tipo	Car. Netto		Prof.	Sigm.Z/Sigm.Lit.	Cedim.Edom.
n.	N/mm ²	mm	%	mm		
67	SLE rare	0.00000000		500.0	8.678	-0.15
68	SLE freq	-0.06652945		500.0	53.211	-2.88
69	SLE q.p.	-0.09622866		500.0	73.903	-4.12

Cedimento massimo in cmb n. 69 = -4.12 mm

Elemento Platea n. 360

Cmb.	Tipo	Car. Netto		Prof.	Sigm.Z/Sigm.Lit.	Cedim.Edom.
n.	N/mm ²	mm	%	mm		
67	SLE rare	0.00000000		500.0	10.316	-0.18
68	SLE freq	-0.06806152		500.0	56.339	-2.93
69	SLE q.p.	-0.09685025		500.0	77.160	-4.13

Cedimento massimo in cmb n. 69 = -4.13 mm

Elemento Platea n. 361

Cmb.	Tipo	Car. Netto		Prof.	Sigm.Z/Sigm.Lit.	Cedim.Edom.
n.	N/mm ²	mm	%	mm		
67	SLE rare	0.00000000		500.0	12.287	-0.22
68	SLE freq	-0.06974424		500.0	59.318	-2.98
69	SLE q.p.	-0.09753519		500.0	80.002	-4.13

ANT S.r.l.		CODE CODICE C23ANTW001A019R00
		PAGE 169 di/of 209

Cedimento massimo in cmb n. 69 = -4.13 mm

Elemento Platea n. 362

Cmb.	Tipo	Car. Netto		Prof.	Sigm.Z/Sigm.Lit.	Cedim.Edom.
n.	N/mm ²	mm	%	mm		
67	SLE rare	0.00000000		500.0	14.670	-0.27
68	SLE freq	-0.07158905		500.0	62.225	-3.02
69	SLE q.p.	-0.09828582		500.0	82.533	-4.11

Cedimento massimo in cmb n. 69 = -4.11 mm

Elemento Platea n. 363

Cmb.	Tipo	Car. Netto		Prof.	Sigm.Z/Sigm.Lit.	Cedim.Edom.
n.	N/mm ²	mm	%	mm		
67	SLE rare	0.00000000		500.0	17.562	-0.34
68	SLE freq	-0.07360619		500.0	65.148	-3.06
69	SLE q.p.	-0.09944583		500.0	82.533	-4.09

Cedimento massimo in cmb n. 69 = -4.09 mm

Elemento Platea n. 364

Cmb.	Tipo	Car. Netto		Prof.	Sigm.Z/Sigm.Lit.	Cedim.Edom.
n.	N/mm ²	mm	%	mm		
67	SLE rare	0.00000000		500.0	21.090	-0.43
68	SLE freq	-0.07580586		500.0	68.201	-3.10
69	SLE q.p.	-0.10036890		500.0	84.866	-4.07

Cedimento massimo in cmb n. 69 = -4.07 mm

Elemento Platea n. 365

Cmb.	Tipo	Car. Netto		Prof.	Sigm.Z/Sigm.Lit.	Cedim.Edom.
n.	N/mm ²	mm	%	mm		
67	SLE rare	0.00000000		500.0	25.424	-0.54
68	SLE freq	-0.07819902		500.0	71.537	-3.15
69	SLE q.p.	-0.10136690		500.0	87.135	-4.05

Cedimento massimo in cmb n. 69 = -4.05 mm

ANT S.r.l.		CODE CODICE C23ANTW001A019R00
		PAGE 170 di/of 209

Elemento Platea n. 366

Cmb.	Tipo	Car. Netto		Prof.	Sigm.Z/Sigm.Lit.	Cedim.Edom.
n.	N/mm ²	mm	%	mm		
67	SLE rare	-0.00159230		500.0	30.776	-0.70
68	SLE freq	-0.08079422		500.0	75.339	-3.20
69	SLE q.p.	-0.10244250		500.0	89.515	-4.02

Cedimento massimo in cmb n. 69 = -4.02 mm

Elemento Platea n. 367

Cmb.	Tipo	Car. Netto		Prof.	Sigm.Z/Sigm.Lit.	Cedim.Edom.
n.	N/mm ²	mm	%	mm		
67	SLE rare	-0.01075218		500.0	37.285	-0.93
68	SLE freq	-0.08360440		500.0	79.453	-3.25
69	SLE q.p.	-0.10309050		500.0	95.011	-3.99

Cedimento massimo in cmb n. 69 = -3.99 mm

Elemento Platea n. 368

Cmb.	Tipo	Car. Netto		Prof.	Sigm.Z/Sigm.Lit.	Cedim.Edom.
n.	N/mm ²	mm	%	mm		
67	SLE rare	-0.02057647		500.0	45.145	-1.23
68	SLE freq	-0.08663142		500.0	83.993	-3.40
69	SLE q.p.	-0.10429970		500.0	98.032	-4.07

Cedimento massimo in cmb n. 69 = -4.07 mm

Elemento Platea n. 369

Cmb.	Tipo	Car. Netto		Prof.	Sigm.Z/Sigm.Lit.	Cedim.Edom.
n.	N/mm ²	mm	%	mm		
67	SLE rare	-0.02838637		500.0	51.863	-1.47
68	SLE freq	-0.09837319		500.0	87.404	-3.43
69	SLE q.p.	-0.11709300		500.0	100.124	-4.01

Cedimento massimo in cmb n. 69 = -4.01 mm

Elemento Platea n. 370

Cmb.	Tipo	Car. Netto		Prof.	Sigm.Z/Sigm.Lit.	Cedim.Edom.
------	------	------------	--	-------	------------------	-------------

ANT S.r.l.		CODE CODICE C23ANTW001A019R00
		PAGE 171 di/of 209

n.	N/mm ²	mm	%	mm		
67	SLE rare	-0.04477298		500.0	61.266	-1.88
68	SLE freq	-0.10080480		500.0	91.494	-3.53
69	SLE q.p.	-0.11579200		500.0	102.299	-4.02

Cedimento massimo in cmb n. 69 = -4.02 mm

Elemento Platea n. 371

Cmb.	Tipo	Car. Netto	Prof.	Sigm.Z/Sigm.Lit.	Cedim.Edom.	
n.	N/mm ²	mm	%	mm		
67	SLE rare	-0.06023827		500.0	71.515	-2.32
68	SLE freq	-0.10313280		500.0	95.029	-3.59
69	SLE q.p.	-0.11579200		500.0	102.299	-4.02

Cedimento massimo in cmb n. 69 = -4.02 mm

Elemento Platea n. 372

Cmb.	Tipo	Car. Netto	Prof.	Sigm.Z/Sigm.Lit.	Cedim.Edom.	
n.	N/mm ²	mm	%	mm		
67	SLE rare	-0.07585458		500.0	82.514	-2.79
68	SLE freq	-0.10547020		500.0	98.108	-3.65
69	SLE q.p.	-0.11460600		500.0	103.604	-3.97

Cedimento massimo in cmb n. 69 = -3.97 mm

Elemento Platea n. 373

Cmb.	Tipo	Car. Netto	Prof.	Sigm.Z/Sigm.Lit.	Cedim.Edom.	
n.	N/mm ²	mm	%	mm		
67	SLE rare	-0.09161346		500.0	93.919	-3.27
68	SLE freq	-0.10781360		500.0	100.601	-3.72
69	SLE q.p.	-0.11339170		500.0	104.186	-3.92

Cedimento massimo in cmb n. 69 = -3.92 mm

Elemento Platea n. 374

Cmb.	Tipo	Car. Netto	Prof.	Sigm.Z/Sigm.Lit.	Cedim.Edom.	
n.	N/mm ²	mm	%	mm		
67	SLE rare	-0.09161346		500.0	108.069	-3.86

ANT S.r.l.		CODE CODICE C23ANTW001A019R00
		PAGE 172 di/of 209

68	SLE freq	-0.10781360	500.0	103.349	-3.81
69	SLE q.p.	-0.11214670	500.0	103.972	-3.87

Cedimento massimo in cmb n. 69 = -3.87 mm

Elemento Platea n. 375

Cmb.	Tipo	Car. Netto		Prof.	Sigm.Z/Sigm.Lit.	Cedim.Edom.
n.	N/mm ²	mm	%	mm		
67	SLE rare	0.00000000		500.0	1.564	-0.02
68	SLE freq	-0.05501402		500.0	26.686	-1.77
69	SLE q.p.	-0.09521763		500.0	42.437	-2.98

Cedimento massimo in cmb n. 69 = -2.98 mm

Elemento Platea n. 376

Cmb.	Tipo	Car. Netto		Prof.	Sigm.Z/Sigm.Lit.	Cedim.Edom.
n.	N/mm ²	mm	%	mm		
67	SLE rare	0.00000000		500.0	1.854	-0.03
68	SLE freq	-0.05594052		500.0	31.132	-2.08
69	SLE q.p.	-0.09543356		500.0	49.207	-3.47

Cedimento massimo in cmb n. 69 = -3.47 mm

Elemento Platea n. 377

Cmb.	Tipo	Car. Netto		Prof.	Sigm.Z/Sigm.Lit.	Cedim.Edom.
n.	N/mm ²	mm	%	mm		
67	SLE rare	0.00000000		500.0	2.207	-0.03
68	SLE freq	-0.05696091		500.0	35.468	-2.29
69	SLE q.p.	-0.09571221		500.0	55.609	-3.77

Cedimento massimo in cmb n. 69 = -3.77 mm

Elemento Platea n. 378

Cmb.	Tipo	Car. Netto		Prof.	Sigm.Z/Sigm.Lit.	Cedim.Edom.
n.	N/mm ²	mm	%	mm		
67	SLE rare	0.00000000		500.0	2.638	-0.04
68	SLE freq	-0.05808753		500.0	39.571	-2.43
69	SLE q.p.	-0.09605411		500.0	61.418	-3.96

ANT S.r.l.		CODE CODICE C23ANTW001A019R00
		PAGE 173 di/of 209

Cedimento massimo in cmb n. 69 = -3.96 mm

Elemento Platea n. 379

Cmb.	Tipo	Car. Netto		Prof.	Sigm.Z/Sigm.Lit.	Cedim.Edom.
n.	N/mm ²	mm	%	mm		
67	SLE rare	0.00000000		500.0	3.166	-0.04
68	SLE freq	-0.05933387		500.0	43.390	-2.54
69	SLE q.p.	-0.09645837		500.0	66.538	-4.07

Cedimento massimo in cmb n. 69 = -4.07 mm

Elemento Platea n. 380

Cmb.	Tipo	Car. Netto		Prof.	Sigm.Z/Sigm.Lit.	Cedim.Edom.
n.	N/mm ²	mm	%	mm		
67	SLE rare	0.00000000		500.0	3.818	-0.05
68	SLE freq	-0.06070590		500.0	46.918	-2.63
69	SLE q.p.	-0.09692325		500.0	70.957	-4.14

Cedimento massimo in cmb n. 69 = -4.14 mm

Elemento Platea n. 381

Cmb.	Tipo	Car. Netto		Prof.	Sigm.Z/Sigm.Lit.	Cedim.Edom.
n.	N/mm ²	mm	%	mm		
67	SLE rare	0.00000000		500.0	4.630	-0.06
68	SLE freq	-0.06221901		500.0	50.208	-2.70
69	SLE q.p.	-0.09744767		500.0	74.752	-4.17

Cedimento massimo in cmb n. 69 = -4.17 mm

Elemento Platea n. 382

Cmb.	Tipo	Car. Netto		Prof.	Sigm.Z/Sigm.Lit.	Cedim.Edom.
n.	N/mm ²	mm	%	mm		
67	SLE rare	0.00000000		500.0	5.647	-0.08
68	SLE freq	-0.06388477		500.0	53.318	-2.76
69	SLE q.p.	-0.09803230		500.0	78.015	-4.18

Cedimento massimo in cmb n. 69 = -4.18 mm

ANT S.r.l.		CODE CODICE C23ANTW001A019R00
		PAGE 174 di/of 209

Elemento Platea n. 383

Cmb.	Tipo	Car. Netto		Prof.	Sigm.Z/Sigm.Lit.	Cedim.Edom.
n.	N/mm ²	mm	%	mm		
67	SLE rare	0.00000000		500.0	6.934	-0.10
68	SLE freq	-0.06571366		500.0	56.317	-2.81
69	SLE q.p.	-0.09867664		500.0	80.851	-4.18

Cedimento massimo in cmb n. 69 = -4.18 mm

Elemento Platea n. 384

Cmb.	Tipo	Car. Netto		Prof.	Sigm.Z/Sigm.Lit.	Cedim.Edom.
n.	N/mm ²	mm	%	mm		
67	SLE rare	0.00000000		500.0	8.575	-0.12
68	SLE freq	-0.06771851		500.0	59.279	-2.86
69	SLE q.p.	-0.09938272		500.0	83.367	-4.16

Cedimento massimo in cmb n. 69 = -4.16 mm

Elemento Platea n. 385

Cmb.	Tipo	Car. Netto		Prof.	Sigm.Z/Sigm.Lit.	Cedim.Edom.
n.	N/mm ²	mm	%	mm		
67	SLE rare	0.00000000		500.0	10.686	-0.16
68	SLE freq	-0.06991082		500.0	62.290	-2.91
69	SLE q.p.	-0.10056700		500.0	83.367	-4.14

Cedimento massimo in cmb n. 69 = -4.14 mm

Elemento Platea n. 386

Cmb.	Tipo	Car. Netto		Prof.	Sigm.Z/Sigm.Lit.	Cedim.Edom.
n.	N/mm ²	mm	%	mm		
67	SLE rare	0.00000000		500.0	13.426	-0.21
68	SLE freq	-0.07230196		500.0	65.457	-2.96
69	SLE q.p.	-0.10144050		500.0	85.676	-4.11

Cedimento massimo in cmb n. 69 = -4.11 mm

Elemento Platea n. 387

Cmb.	Tipo	Car. Netto		Prof.	Sigm.Z/Sigm.Lit.	Cedim.Edom.
------	------	------------	--	-------	------------------	-------------

ANT S.r.l.		CODE CODICE C23ANTW001A019R00
		PAGE 175 di/of 209

n.	N/mm ²	mm	%	mm		
67	SLE rare	0.00000000		500.0	17.009	-0.27
68	SLE freq	-0.07490406		500.0	68.932	-3.02
69	SLE q.p.	-0.10238400		500.0	87.912	-4.08

Cedimento massimo in cmb n. 69 = -4.08 mm

Elemento Platea n. 388

Cmb.	Tipo	Car. Netto	Prof.	Sigm.Z/Sigm.Lit.	Cedim.Edom.
n.	N/mm ²	mm	%	mm	
67	SLE rare	0.00000000	500.0	21.712	-0.37
68	SLE freq	-0.07772662	500.0	72.895	-3.08
69	SLE q.p.	-0.10339990	500.0	90.254	-4.05

Cedimento massimo in cmb n. 69 = -4.05 mm

Elemento Platea n. 389

Cmb.	Tipo	Car. Netto	Prof.	Sigm.Z/Sigm.Lit.	Cedim.Edom.
n.	N/mm ²	mm	%	mm	
67	SLE rare	0.00000000	500.0	27.817	-0.52
68	SLE freq	-0.08078326	500.0	77.201	-3.15
69	SLE q.p.	-0.10449030	500.0	92.904	-4.02

Cedimento massimo in cmb n. 69 = -4.02 mm

Elemento Platea n. 390

Cmb.	Tipo	Car. Netto	Prof.	Sigm.Z/Sigm.Lit.	Cedim.Edom.
n.	N/mm ²	mm	%	mm	
67	SLE rare	-0.00317019	500.0	35.620	-0.75
68	SLE freq	-0.08407380	500.0	81.962	-3.31
69	SLE q.p.	-0.10502670	500.0	98.611	-4.10

Cedimento massimo in cmb n. 69 = -4.10 mm

Elemento Platea n. 391

Cmb.	Tipo	Car. Netto	Prof.	Sigm.Z/Sigm.Lit.	Cedim.Edom.
n.	N/mm ²	mm	%	mm	
67	SLE rare	-0.00994481	500.0	42.619	-1.01

ANT S.r.l.		CODE CODICE C23ANTW001A019R00
		PAGE 176 di/of 209

68	SLE freq	-0.09566337	500.0	85.565	-3.34
69	SLE q.p.	-0.11786300	500.0	100.649	-4.04

Cedimento massimo in cmb n. 69 = -4.04 mm

Elemento Platea n. 392

Cmb.	Tipo	Car. Netto		Prof.	Sigm.Z/Sigm.Lit.	Cedim.Edom.
n.	N/mm ²	mm	%	mm		
67	SLE rare	-0.03000996		500.0	52.837	-1.46
68	SLE freq	-0.09863561		500.0	89.934	-3.46
69	SLE q.p.	-0.11640850		500.0	102.747	-4.04

Cedimento massimo in cmb n. 69 = -4.04 mm

Elemento Platea n. 393

Cmb.	Tipo	Car. Netto		Prof.	Sigm.Z/Sigm.Lit.	Cedim.Edom.
n.	N/mm ²	mm	%	mm		
67	SLE rare	-0.04893795		500.0	64.449	-1.98
68	SLE freq	-0.10147240		500.0	93.794	-3.54
69	SLE q.p.	-0.11640850		500.0	102.747	-4.04

Cedimento massimo in cmb n. 69 = -4.04 mm

Elemento Platea n. 394

Cmb.	Tipo	Car. Netto		Prof.	Sigm.Z/Sigm.Lit.	Cedim.Edom.
n.	N/mm ²	mm	%	mm		
67	SLE rare	-0.06805352		500.0	77.290	-2.54
68	SLE freq	-0.10432400		500.0	97.234	-3.62
69	SLE q.p.	-0.11507790		500.0	103.959	-3.99

Cedimento massimo in cmb n. 69 = -3.99 mm

Elemento Platea n. 395

Cmb.	Tipo	Car. Netto		Prof.	Sigm.Z/Sigm.Lit.	Cedim.Edom.
n.	N/mm ²	mm	%	mm		
67	SLE rare	-0.08734699		500.0	90.928	-3.13
68	SLE freq	-0.10718670		500.0	100.116	-3.70
69	SLE q.p.	-0.11371740		500.0	104.439	-3.93

ANT S.r.l.		CODE CODICE C23ANTW001A019R00
		PAGE 177 di/of 209

Cedimento massimo in cmb n. 69 = -3.93 mm

Elemento Platea n. 396

Cmb.	Tipo	Car. Netto		Prof.	Sigm.Z/Sigm.Lit.	Cedim.Edom.
n.	N/mm ²	mm	%	mm		
67	SLE rare	-0.08734699		500.0	108.069	-3.86
68	SLE freq	-0.10718670		500.0	103.349	-3.81
69	SLE q.p.	-0.11232480		500.0	104.111	-3.87

Cedimento massimo in cmb n. 69 = -3.87 mm

Elemento Platea n. 397

Cmb.	Tipo	Car. Netto		Prof.	Sigm.Z/Sigm.Lit.	Cedim.Edom.
n.	N/mm ²	mm	%	mm		
67	SLE rare	0.00000000		500.0	1.070	-0.01
68	SLE freq	-0.05192844		500.0	25.476	-1.68
69	SLE q.p.	-0.09570400		500.0	42.626	-3.00

Cedimento massimo in cmb n. 69 = -3.00 mm

Elemento Platea n. 398

Cmb.	Tipo	Car. Netto		Prof.	Sigm.Z/Sigm.Lit.	Cedim.Edom.
n.	N/mm ²	mm	%	mm		
67	SLE rare	0.00000000		500.0	1.263	-0.02
68	SLE freq	-0.05290880		500.0	29.743	-1.97
69	SLE q.p.	-0.09591078		500.0	49.424	-3.49

Cedimento massimo in cmb n. 69 = -3.49 mm

Elemento Platea n. 399

Cmb.	Tipo	Car. Netto		Prof.	Sigm.Z/Sigm.Lit.	Cedim.Edom.
n.	N/mm ²	mm	%	mm		
67	SLE rare	0.00000000		500.0	1.500	-0.02
68	SLE freq	-0.05398488		500.0	33.921	-2.17
69	SLE q.p.	-0.09617981		500.0	55.851	-3.79

Cedimento massimo in cmb n. 69 = -3.79 mm

ANT S.r.l.		CODE CODICE C23ANTW001A019R00
		PAGE 178 di/of 209

Elemento Platea n. 400

Cmb.	Tipo	Car. Netto		Prof.	Sigm.Z/Sigm.Lit.	Cedim.Edom.
n.	N/mm ²	mm	%	mm		
67	SLE rare	0.00000000		500.0	1.791	-0.02
68	SLE freq	-0.05517094		500.0	37.893	-2.32
69	SLE q.p.	-0.09651165		500.0	61.681	-3.98

Cedimento massimo in cmb n. 69 = -3.98 mm

Elemento Platea n. 401

Cmb.	Tipo	Car. Netto		Prof.	Sigm.Z/Sigm.Lit.	Cedim.Edom.
n.	N/mm ²	mm	%	mm		
67	SLE rare	0.00000000		500.0	2.153	-0.03
68	SLE freq	-0.05648128		500.0	41.612	-2.43
69	SLE q.p.	-0.09690516		500.0	66.816	-4.09

Cedimento massimo in cmb n. 69 = -4.09 mm

Elemento Platea n. 402

Cmb.	Tipo	Car. Netto		Prof.	Sigm.Z/Sigm.Lit.	Cedim.Edom.
n.	N/mm ²	mm	%	mm		
67	SLE rare	0.00000000		500.0	2.606	-0.03
68	SLE freq	-0.05792303		500.0	45.071	-2.51
69	SLE q.p.	-0.09735858		500.0	71.245	-4.16

Cedimento massimo in cmb n. 69 = -4.16 mm

Elemento Platea n. 403

Cmb.	Tipo	Car. Netto		Prof.	Sigm.Z/Sigm.Lit.	Cedim.Edom.
n.	N/mm ²	mm	%	mm		
67	SLE rare	0.00000000		500.0	3.179	-0.04
68	SLE freq	-0.05951279		500.0	48.323	-2.58
69	SLE q.p.	-0.09787061		500.0	75.046	-4.19

Cedimento massimo in cmb n. 69 = -4.19 mm

Elemento Platea n. 404

Cmb.	Tipo	Car. Netto		Prof.	Sigm.Z/Sigm.Lit.	Cedim.Edom.
------	------	------------	--	-------	------------------	-------------

ANT S.r.l.		CODE CODICE C23ANTW001A019R00
		PAGE 179 di/of 209

n.	N/mm ²	mm	%	mm		
67	SLE rare	0.00000000		500.0	3.911	-0.05
68	SLE freq	-0.06126208		500.0	51.421	-2.65
69	SLE q.p.	-0.09844180		500.0	78.311	-4.20

Cedimento massimo in cmb n. 69 = -4.20 mm

Elemento Platea n. 405

Cmb.	Tipo	Car. Netto	Prof.	Sigm.Z/Sigm.Lit.	Cedim.Edom.	
n.	N/mm ²	mm	%	mm		
67	SLE rare	0.00000000		500.0	4.859	-0.06
68	SLE freq	-0.06318249		500.0	54.433	-2.71
69	SLE q.p.	-0.09907155		500.0	81.145	-4.19

Cedimento massimo in cmb n. 69 = -4.19 mm

Elemento Platea n. 406

Cmb.	Tipo	Car. Netto	Prof.	Sigm.Z/Sigm.Lit.	Cedim.Edom.	
n.	N/mm ²	mm	%	mm		
67	SLE rare	0.00000000		500.0	6.100	-0.08
68	SLE freq	-0.06528755		500.0	57.430	-2.76
69	SLE q.p.	-0.09976174		500.0	83.655	-4.17

Cedimento massimo in cmb n. 69 = -4.17 mm

Elemento Platea n. 407

Cmb.	Tipo	Car. Netto	Prof.	Sigm.Z/Sigm.Lit.	Cedim.Edom.	
n.	N/mm ²	mm	%	mm		
67	SLE rare	0.00000000		500.0	7.749	-0.10
68	SLE freq	-0.06758959		500.0	60.494	-2.82
69	SLE q.p.	-0.10095440		500.0	83.655	-4.15

Cedimento massimo in cmb n. 69 = -4.15 mm

Elemento Platea n. 408

Cmb.	Tipo	Car. Netto	Prof.	Sigm.Z/Sigm.Lit.	Cedim.Edom.	
n.	N/mm ²	mm	%	mm		
67	SLE rare	0.00000000		500.0	9.966	-0.14

ANT S.r.l.		CODE CODICE C23ANTW001A019R00
		PAGE 180 di/of 209

68	SLE freq	-0.07010081	500.0	63.734	-2.88
69	SLE q.p.	-0.10181040	500.0	85.955	-4.13

Cedimento massimo in cmb n. 69 = -4.13 mm

Elemento Platea n. 409

Cmb.	Tipo	Car. Netto		Prof.	Sigm.Z/Sigm.Lit.	Cedim.Edom.
n.	N/mm ²	mm	%	mm		
67	SLE rare	0.00000000		500.0	12.983	-0.18
68	SLE freq	-0.07283396		500.0	67.296	-2.94
69	SLE q.p.	-0.10273480		500.0	88.181	-4.10

Cedimento massimo in cmb n. 69 = -4.10 mm

Elemento Platea n. 410

Cmb.	Tipo	Car. Netto		Prof.	Sigm.Z/Sigm.Lit.	Cedim.Edom.
n.	N/mm ²	mm	%	mm		
67	SLE rare	0.00000000		500.0	17.114	-0.25
68	SLE freq	-0.07579928		500.0	71.361	-3.00
69	SLE q.p.	-0.10372980		500.0	90.509	-4.06

Cedimento massimo in cmb n. 69 = -4.06 mm

Elemento Platea n. 411

Cmb.	Tipo	Car. Netto		Prof.	Sigm.Z/Sigm.Lit.	Cedim.Edom.
n.	N/mm ²	mm	%	mm		
67	SLE rare	0.00000000		500.0	22.740	-0.36
68	SLE freq	-0.07901063		500.0	75.786	-3.08
69	SLE q.p.	-0.10479740		500.0	93.143	-4.03

Cedimento massimo in cmb n. 69 = -4.03 mm

Elemento Platea n. 412

Cmb.	Tipo	Car. Netto		Prof.	Sigm.Z/Sigm.Lit.	Cedim.Edom.
n.	N/mm ²	mm	%	mm		
67	SLE rare	0.00000000		500.0	30.257	-0.54
68	SLE freq	-0.08246671		500.0	80.687	-3.25
69	SLE q.p.	-0.10527650		500.0	98.811	-4.11

ANT S.r.l.		CODE CODICE C23ANTW001A019R00
		PAGE 181 di/of 209

Cedimento massimo in cmb n. 69 = -4.11 mm

Elemento Platea n. 413

Cmb.	Tipo	Car. Netto		Prof.	Sigm.Z/Sigm.Lit.	Cedim.Edom.
n.	N/mm ²	mm	%	mm		
67	SLE rare	0.00000000		500.0	37.254	-0.76
68	SLE freq	-0.09396056		500.0	84.411	-3.29
69	SLE q.p.	-0.11812750		500.0	100.832	-4.05

Cedimento massimo in cmb n. 69 = -4.05 mm

Elemento Platea n. 414

Cmb.	Tipo	Car. Netto		Prof.	Sigm.Z/Sigm.Lit.	Cedim.Edom.
n.	N/mm ²	mm	%	mm		
67	SLE rare	-0.02072862		500.0	47.797	-1.21
68	SLE freq	-0.09727253		500.0	88.956	-3.41
69	SLE q.p.	-0.11812750		500.0	100.832	-4.05

Cedimento massimo in cmb n. 69 = -4.05 mm

Elemento Platea n. 415

Cmb.	Tipo	Car. Netto		Prof.	Sigm.Z/Sigm.Lit.	Cedim.Edom.
n.	N/mm ²	mm	%	mm		
67	SLE rare	-0.04183390		500.0	60.131	-1.77
68	SLE freq	-0.10042910		500.0	93.019	-3.50
69	SLE q.p.	-0.11662020		500.0	102.903	-4.05

Cedimento massimo in cmb n. 69 = -4.05 mm

Elemento Platea n. 416

Cmb.	Tipo	Car. Netto		Prof.	Sigm.Z/Sigm.Lit.	Cedim.Edom.
n.	N/mm ²	mm	%	mm		
67	SLE rare	-0.06314956		500.0	74.055	-2.39
68	SLE freq	-0.10360390		500.0	96.686	-3.59
69	SLE q.p.	-0.11523990		500.0	104.083	-4.00

Cedimento massimo in cmb n. 69 = -4.00 mm

ANT S.r.l.		CODE CODICE C23ANTW001A019R00
		PAGE 182 di/of 209

Elemento Platea n. 417

Cmb.	Tipo	Car. Netto		Prof.	Sigm.Z/Sigm.Lit.	Cedim.Edom.
n.	N/mm ²	mm	%	mm		
67	SLE rare	-0.08466514		500.0	89.060	-3.05
68	SLE freq	-0.10679290		500.0	99.811	-3.69
69	SLE q.p.	-0.11382920		500.0	104.528	-3.93

Cedimento massimo in cmb n. 69 = -3.93 mm

Elemento Platea n. 418

Cmb.	Tipo	Car. Netto		Prof.	Sigm.Z/Sigm.Lit.	Cedim.Edom.
n.	N/mm ²	mm	%	mm		
67	SLE rare	-0.08466514		500.0	108.069	-3.86
68	SLE freq	-0.10679290		500.0	103.349	-3.81
69	SLE q.p.	-0.11238600		500.0	104.160	-3.87

Cedimento massimo in cmb n. 69 = -3.87 mm

Elemento Platea n. 419

Cmb.	Tipo	Car. Netto		Prof.	Sigm.Z/Sigm.Lit.	Cedim.Edom.
n.	N/mm ²	mm	%	mm		
67	SLE rare	0.00000000		500.0	1.070	-0.01
68	SLE freq	-0.05195433		500.0	25.484	-1.68
69	SLE q.p.	-0.09570400		500.0	42.626	-3.00

Cedimento massimo in cmb n. 69 = -3.00 mm

Elemento Platea n. 420

Cmb.	Tipo	Car. Netto		Prof.	Sigm.Z/Sigm.Lit.	Cedim.Edom.
n.	N/mm ²	mm	%	mm		
67	SLE rare	0.00000000		500.0	1.264	-0.02
68	SLE freq	-0.05293301		500.0	29.752	-1.98
69	SLE q.p.	-0.09591078		500.0	49.424	-3.49

Cedimento massimo in cmb n. 69 = -3.49 mm

Elemento Platea n. 421

Cmb.	Tipo	Car. Netto		Prof.	Sigm.Z/Sigm.Lit.	Cedim.Edom.
------	------	------------	--	-------	------------------	-------------

ANT S.r.l.		CODE CODICE C23ANTW001A019R00
		PAGE 183 di/of 209

n.	N/mm ²	mm	%	mm		
67	SLE rare	0.00000000		500.0	1.500	-0.02
68	SLE freq	-0.05400738		500.0	33.931	-2.17
69	SLE q.p.	-0.09617981		500.0	55.851	-3.79

Cedimento massimo in cmb n. 69 = -3.79 mm

Elemento Platea n. 422

Cmb.	Tipo	Car. Netto	Prof.	Sigm.Z/Sigm.Lit.	Cedim.Edom.
n.	N/mm ²	mm	%	mm	
67	SLE rare	0.00000000	500.0	1.791	-0.02
68	SLE freq	-0.05519179	500.0	37.903	-2.32
69	SLE q.p.	-0.09651165	500.0	61.681	-3.98

Cedimento massimo in cmb n. 69 = -3.98 mm

Elemento Platea n. 423

Cmb.	Tipo	Car. Netto	Prof.	Sigm.Z/Sigm.Lit.	Cedim.Edom.
n.	N/mm ²	mm	%	mm	
67	SLE rare	0.00000000	500.0	2.154	-0.03
68	SLE freq	-0.05650070	500.0	41.622	-2.43
69	SLE q.p.	-0.09690516	500.0	66.816	-4.09

Cedimento massimo in cmb n. 69 = -4.09 mm

Elemento Platea n. 424

Cmb.	Tipo	Car. Netto	Prof.	Sigm.Z/Sigm.Lit.	Cedim.Edom.
n.	N/mm ²	mm	%	mm	
67	SLE rare	0.00000000	500.0	2.606	-0.03
68	SLE freq	-0.05794054	500.0	45.082	-2.51
69	SLE q.p.	-0.09735858	500.0	71.245	-4.16

Cedimento massimo in cmb n. 69 = -4.16 mm

Elemento Platea n. 425

Cmb.	Tipo	Car. Netto	Prof.	Sigm.Z/Sigm.Lit.	Cedim.Edom.
n.	N/mm ²	mm	%	mm	
67	SLE rare	0.00000000	500.0	3.179	-0.04

ANT S.r.l.		CODE CODICE C23ANTW001A019R00
		PAGE 184 di/of 209

68	SLE freq	-0.05952805	500.0	48.333	-2.58
69	SLE q.p.	-0.09787061	500.0	75.046	-4.19

Cedimento massimo in cmb n. 69 = -4.19 mm

Elemento Platea n. 426

Cmb.	Tipo	Car. Netto		Prof.	Sigm.Z/Sigm.Lit.	Cedim.Edom.
n.	N/mm ²	mm	%	mm		
67	SLE rare	0.00000000		500.0	3.912	-0.05
68	SLE freq	-0.06127545		500.0	51.431	-2.65
69	SLE q.p.	-0.09844180		500.0	78.311	-4.20

Cedimento massimo in cmb n. 69 = -4.20 mm

Elemento Platea n. 427

Cmb.	Tipo	Car. Netto		Prof.	Sigm.Z/Sigm.Lit.	Cedim.Edom.
n.	N/mm ²	mm	%	mm		
67	SLE rare	0.00000000		500.0	4.860	-0.06
68	SLE freq	-0.06319413		500.0	54.442	-2.71
69	SLE q.p.	-0.09907155		500.0	81.145	-4.19

Cedimento massimo in cmb n. 69 = -4.19 mm

Elemento Platea n. 428

Cmb.	Tipo	Car. Netto		Prof.	Sigm.Z/Sigm.Lit.	Cedim.Edom.
n.	N/mm ²	mm	%	mm		
67	SLE rare	0.00000000		500.0	6.101	-0.08
68	SLE freq	-0.06529763		500.0	57.438	-2.76
69	SLE q.p.	-0.09976174		500.0	83.655	-4.17

Cedimento massimo in cmb n. 69 = -4.17 mm

Elemento Platea n. 429

Cmb.	Tipo	Car. Netto		Prof.	Sigm.Z/Sigm.Lit.	Cedim.Edom.
n.	N/mm ²	mm	%	mm		
67	SLE rare	0.00000000		500.0	7.750	-0.10
68	SLE freq	-0.06759830		500.0	60.502	-2.82
69	SLE q.p.	-0.10095440		500.0	83.655	-4.15

ANT S.r.l.		CODE CODICE C23ANTW001A019R00
		PAGE 185 di/of 209

Cedimento massimo in cmb n. 69 = -4.15 mm

Elemento Platea n. 430

Cmb.	Tipo	Car. Netto		Prof.	Sigm.Z/Sigm.Lit.	Cedim.Edom.
n.	N/mm ²	mm	%	mm		
67	SLE rare	0.00000000		500.0	9.968	-0.14
68	SLE freq	-0.07010825		500.0	63.741	-2.88
69	SLE q.p.	-0.10181040		500.0	85.955	-4.13

Cedimento massimo in cmb n. 69 = -4.13 mm

Elemento Platea n. 431

Cmb.	Tipo	Car. Netto		Prof.	Sigm.Z/Sigm.Lit.	Cedim.Edom.
n.	N/mm ²	mm	%	mm		
67	SLE rare	0.00000000		500.0	12.985	-0.18
68	SLE freq	-0.07284031		500.0	67.303	-2.94
69	SLE q.p.	-0.10273480		500.0	88.181	-4.10

Cedimento massimo in cmb n. 69 = -4.10 mm

Elemento Platea n. 432

Cmb.	Tipo	Car. Netto		Prof.	Sigm.Z/Sigm.Lit.	Cedim.Edom.
n.	N/mm ²	mm	%	mm		
67	SLE rare	0.00000000		500.0	17.117	-0.25
68	SLE freq	-0.07580464		500.0	71.367	-3.00
69	SLE q.p.	-0.10372980		500.0	90.509	-4.06

Cedimento massimo in cmb n. 69 = -4.06 mm

Elemento Platea n. 433

Cmb.	Tipo	Car. Netto		Prof.	Sigm.Z/Sigm.Lit.	Cedim.Edom.
n.	N/mm ²	mm	%	mm		
67	SLE rare	0.00000000		500.0	22.744	-0.36
68	SLE freq	-0.07901513		500.0	75.793	-3.08
69	SLE q.p.	-0.10479740		500.0	93.143	-4.03

Cedimento massimo in cmb n. 69 = -4.03 mm

ANT S.r.l.		CODE CODICE C23ANTW001A019R00
		PAGE 186 di/of 209

Elemento Platea n. 434

Cmb.	Tipo	Car. Netto		Prof.	Sigm.Z/Sigm.Lit.	Cedim.Edom.
n.	N/mm ²	mm	%	mm		
67	SLE rare	0.00000000		500.0	30.264	-0.54
68	SLE freq	-0.08247044		500.0	80.695	-3.25
69	SLE q.p.	-0.10527650		500.0	98.811	-4.11

Cedimento massimo in cmb n. 69 = -4.11 mm

Elemento Platea n. 435

Cmb.	Tipo	Car. Netto		Prof.	Sigm.Z/Sigm.Lit.	Cedim.Edom.
n.	N/mm ²	mm	%	mm		
67	SLE rare	0.00000000		500.0	37.264	-0.76
68	SLE freq	-0.09396429		500.0	84.421	-3.29
69	SLE q.p.	-0.11812750		500.0	100.832	-4.05

Cedimento massimo in cmb n. 69 = -4.05 mm

Elemento Platea n. 436

Cmb.	Tipo	Car. Netto		Prof.	Sigm.Z/Sigm.Lit.	Cedim.Edom.
n.	N/mm ²	mm	%	mm		
67	SLE rare	-0.02072744		500.0	47.811	-1.21
68	SLE freq	-0.09727556		500.0	88.967	-3.41
69	SLE q.p.	-0.11812750		500.0	100.832	-4.05

Cedimento massimo in cmb n. 69 = -4.05 mm

Elemento Platea n. 437

Cmb.	Tipo	Car. Netto		Prof.	Sigm.Z/Sigm.Lit.	Cedim.Edom.
n.	N/mm ²	mm	%	mm		
67	SLE rare	-0.04183386		500.0	60.146	-1.77
68	SLE freq	-0.10043150		500.0	93.028	-3.50
69	SLE q.p.	-0.11662020		500.0	102.903	-4.05

Cedimento massimo in cmb n. 69 = -4.05 mm

Elemento Platea n. 438

Cmb.	Tipo	Car. Netto		Prof.	Sigm.Z/Sigm.Lit.	Cedim.Edom.
------	------	------------	--	-------	------------------	-------------

ANT S.r.l.		CODE CODICE C23ANTW001A019R00
		PAGE 187 di/of 209

n.	N/mm ²	mm	%	mm		
67	SLE rare	-0.06315031		500.0	74.070	-2.40
68	SLE freq	-0.10360560		500.0	96.695	-3.59
69	SLE q.p.	-0.11523990		500.0	104.083	-4.00

Cedimento massimo in cmb n. 69 = -4.00 mm

Elemento Platea n. 439

Cmb.	Tipo	Car. Netto	Prof.	Sigm.Z/Sigm.Lit.	Cedim.Edom.	
n.	N/mm ²	mm	%	mm		
67	SLE rare	-0.08466607		500.0	89.068	-3.07
68	SLE freq	-0.10679390		500.0	99.815	-3.69
69	SLE q.p.	-0.11382920		500.0	104.528	-3.93

Cedimento massimo in cmb n. 69 = -3.93 mm

Elemento Platea n. 440

Cmb.	Tipo	Car. Netto	Prof.	Sigm.Z/Sigm.Lit.	Cedim.Edom.	
n.	N/mm ²	mm	%	mm		
67	SLE rare	-0.11061050		500.0	108.069	-3.86
68	SLE freq	-0.11061570		500.0	103.349	-3.81
69	SLE q.p.	-0.11238600		500.0	104.160	-3.87

Cedimento massimo in cmb n. 69 = -3.87 mm

Elemento Platea n. 441

Cmb.	Tipo	Car. Netto	Prof.	Sigm.Z/Sigm.Lit.	Cedim.Edom.	
n.	N/mm ²	mm	%	mm		
67	SLE rare	0.00000000		500.0	1.564	-0.02
68	SLE freq	-0.05506231		500.0	26.701	-1.77
69	SLE q.p.	-0.09524878		500.0	42.447	-2.99

Cedimento massimo in cmb n. 69 = -2.99 mm

Elemento Platea n. 442

Cmb.	Tipo	Car. Netto	Prof.	Sigm.Z/Sigm.Lit.	Cedim.Edom.	
n.	N/mm ²	mm	%	mm		
67	SLE rare	0.00000000		500.0	1.855	-0.03

ANT S.r.l.		CODE CODICE C23ANTW001A019R00
		PAGE 188 di/of 209

68	SLE freq	-0.05598506	500.0	31.148	-2.08
69	SLE q.p.	-0.09546284	500.0	49.218	-3.47

Cedimento massimo in cmb n. 69 = -3.47 mm

Elemento Platea n. 443

Cmb.	Tipo	Car. Netto		Prof.	Sigm.Z/Sigm.Lit.	Cedim.Edom.
n.	N/mm ²	mm	%	mm		
67	SLE rare	0.00000000		500.0	2.208	-0.03
68	SLE freq	-0.05700111		500.0	35.486	-2.29
69	SLE q.p.	-0.09573959		500.0	55.621	-3.77

Cedimento massimo in cmb n. 69 = -3.77 mm

Elemento Platea n. 444

Cmb.	Tipo	Car. Netto		Prof.	Sigm.Z/Sigm.Lit.	Cedim.Edom.
n.	N/mm ²	mm	%	mm		
67	SLE rare	0.00000000		500.0	2.638	-0.04
68	SLE freq	-0.05812385		500.0	39.589	-2.44
69	SLE q.p.	-0.09607966		500.0	61.431	-3.96

Cedimento massimo in cmb n. 69 = -3.96 mm

Elemento Platea n. 445

Cmb.	Tipo	Car. Netto		Prof.	Sigm.Z/Sigm.Lit.	Cedim.Edom.
n.	N/mm ²	mm	%	mm		
67	SLE rare	0.00000000		500.0	3.167	-0.04
68	SLE freq	-0.05936668		500.0	43.409	-2.54
69	SLE q.p.	-0.09648228		500.0	66.551	-4.07

Cedimento massimo in cmb n. 69 = -4.07 mm

Elemento Platea n. 446

Cmb.	Tipo	Car. Netto		Prof.	Sigm.Z/Sigm.Lit.	Cedim.Edom.
n.	N/mm ²	mm	%	mm		
67	SLE rare	0.00000000		500.0	3.819	-0.05
68	SLE freq	-0.06073536		500.0	46.937	-2.63
69	SLE q.p.	-0.09694508		500.0	70.969	-4.14

ANT S.r.l.		CODE CODICE C23ANTW001A019R00
		PAGE 189 di/of 209

Cedimento massimo in cmb n. 69 = -4.14 mm

Elemento Platea n. 447

Cmb.	Tipo	Car. Netto		Prof.	Sigm.Z/Sigm.Lit.	Cedim.Edom.
n.	N/mm ²	mm	%	mm		
67	SLE rare	0.00000000		500.0	4.631	-0.06
68	SLE freq	-0.06224535		500.0	50.226	-2.70
69	SLE q.p.	-0.09746706		500.0	74.764	-4.17

Cedimento massimo in cmb n. 69 = -4.17 mm

Elemento Platea n. 448

Cmb.	Tipo	Car. Netto		Prof.	Sigm.Z/Sigm.Lit.	Cedim.Edom.
n.	N/mm ²	mm	%	mm		
67	SLE rare	0.00000000		500.0	5.649	-0.08
68	SLE freq	-0.06390820		500.0	53.335	-2.76
69	SLE q.p.	-0.09804954		500.0	78.027	-4.18

Cedimento massimo in cmb n. 69 = -4.18 mm

Elemento Platea n. 449

Cmb.	Tipo	Car. Netto		Prof.	Sigm.Z/Sigm.Lit.	Cedim.Edom.
n.	N/mm ²	mm	%	mm		
67	SLE rare	0.00000000		500.0	6.936	-0.10
68	SLE freq	-0.06573441		500.0	56.334	-2.81
69	SLE q.p.	-0.09869198		500.0	80.862	-4.18

Cedimento massimo in cmb n. 69 = -4.18 mm

Elemento Platea n. 450

Cmb.	Tipo	Car. Netto		Prof.	Sigm.Z/Sigm.Lit.	Cedim.Edom.
n.	N/mm ²	mm	%	mm		
67	SLE rare	0.00000000		500.0	8.577	-0.12
68	SLE freq	-0.06773677		500.0	59.295	-2.86
69	SLE q.p.	-0.09939625		500.0	83.377	-4.16

Cedimento massimo in cmb n. 69 = -4.16 mm

ANT S.r.l.		CODE CODICE C23ANTW001A019R00
		PAGE 190 di/of 209

Elemento Platea n. 451

Cmb.	Tipo	Car. Netto		Prof.	Sigm.Z/Sigm.Lit.	Cedim.Edom.
n.	N/mm ²	mm	%	mm		
67	SLE rare	0.00000000		500.0	10.689	-0.16
68	SLE freq	-0.06992676		500.0	62.304	-2.91
69	SLE q.p.	-0.10058090		500.0	83.377	-4.14

Cedimento massimo in cmb n. 69 = -4.14 mm

Elemento Platea n. 452

Cmb.	Tipo	Car. Netto		Prof.	Sigm.Z/Sigm.Lit.	Cedim.Edom.
n.	N/mm ²	mm	%	mm		
67	SLE rare	0.00000000		500.0	13.429	-0.21
68	SLE freq	-0.07231581		500.0	65.471	-2.97
69	SLE q.p.	-0.10145260		500.0	85.685	-4.12

Cedimento massimo in cmb n. 69 = -4.12 mm

Elemento Platea n. 453

Cmb.	Tipo	Car. Netto		Prof.	Sigm.Z/Sigm.Lit.	Cedim.Edom.
n.	N/mm ²	mm	%	mm		
67	SLE rare	0.00000000		500.0	17.014	-0.27
68	SLE freq	-0.07491597		500.0	68.945	-3.02
69	SLE q.p.	-0.10239470		500.0	87.921	-4.09

Cedimento massimo in cmb n. 69 = -4.09 mm

Elemento Platea n. 454

Cmb.	Tipo	Car. Netto		Prof.	Sigm.Z/Sigm.Lit.	Cedim.Edom.
n.	N/mm ²	mm	%	mm		
67	SLE rare	0.00000000		500.0	21.719	-0.37
68	SLE freq	-0.07773683		500.0	72.908	-3.08
69	SLE q.p.	-0.10340920		500.0	90.262	-4.05

Cedimento massimo in cmb n. 69 = -4.05 mm

Elemento Platea n. 455

Cmb.	Tipo	Car. Netto		Prof.	Sigm.Z/Sigm.Lit.	Cedim.Edom.
------	------	------------	--	-------	------------------	-------------

ANT S.r.l.		CODE CODICE C23ANTW001A019R00
		PAGE 191 di/of 209

n.	N/mm ²	mm	%	mm		
67	SLE rare	0.00000000		500.0	27.827	-0.52
68	SLE freq	-0.08079187		500.0	77.214	-3.15
69	SLE q.p.	-0.10449820		500.0	92.912	-4.02

Cedimento massimo in cmb n. 69 = -4.02 mm

Elemento Platea n. 456

Cmb.	Tipo	Car. Netto	Prof.	Sigm.Z/Sigm.Lit.	Cedim.Edom.
n.	N/mm ²	mm	%	mm	
67	SLE rare	-0.00316554	500.0	35.635	-0.75
68	SLE freq	-0.08408105	500.0	81.978	-3.31
69	SLE q.p.	-0.10503210	500.0	98.619	-4.10

Cedimento massimo in cmb n. 69 = -4.10 mm

Elemento Platea n. 457

Cmb.	Tipo	Car. Netto	Prof.	Sigm.Z/Sigm.Lit.	Cedim.Edom.
n.	N/mm ²	mm	%	mm	
67	SLE rare	-0.00994107	500.0	42.638	-1.01
68	SLE freq	-0.09567060	500.0	85.583	-3.34
69	SLE q.p.	-0.11786830	500.0	100.658	-4.04

Cedimento massimo in cmb n. 69 = -4.04 mm

Elemento Platea n. 458

Cmb.	Tipo	Car. Netto	Prof.	Sigm.Z/Sigm.Lit.	Cedim.Edom.
n.	N/mm ²	mm	%	mm	
67	SLE rare	-0.03000844	500.0	52.864	-1.46
68	SLE freq	-0.09864157	500.0	89.955	-3.46
69	SLE q.p.	-0.11641260	500.0	102.757	-4.04

Cedimento massimo in cmb n. 69 = -4.04 mm

Elemento Platea n. 459

Cmb.	Tipo	Car. Netto	Prof.	Sigm.Z/Sigm.Lit.	Cedim.Edom.
n.	N/mm ²	mm	%	mm	
67	SLE rare	-0.04893851	500.0	64.476	-1.98

ANT S.r.l.		CODE CODICE C23ANTW001A019R00
		PAGE 192 di/of 209

68	SLE freq	-0.10147710	500.0	93.812	-3.54
69	SLE q.p.	-0.11641260	500.0	102.757	-4.04

Cedimento massimo in cmb n. 69 = -4.04 mm

Elemento Platea n. 460

Cmb.	Tipo	Car. Netto		Prof.	Sigm.Z/Sigm.Lit.	Cedim.Edom.
n.	N/mm ²	mm	%	mm		
67	SLE rare	-0.06805537		500.0	77.318	-2.55
68	SLE freq	-0.10432750		500.0	97.252	-3.62
69	SLE q.p.	-0.11508100		500.0	103.967	-3.99

Cedimento massimo in cmb n. 69 = -3.99 mm

Elemento Platea n. 461

Cmb.	Tipo	Car. Netto		Prof.	Sigm.Z/Sigm.Lit.	Cedim.Edom.
n.	N/mm ²	mm	%	mm		
67	SLE rare	-0.08734888		500.0	90.943	-3.16
68	SLE freq	-0.10718880		500.0	100.124	-3.70
69	SLE q.p.	-0.11371950		500.0	104.447	-3.93

Cedimento massimo in cmb n. 69 = -3.93 mm

Elemento Platea n. 462

Cmb.	Tipo	Car. Netto		Prof.	Sigm.Z/Sigm.Lit.	Cedim.Edom.
n.	N/mm ²	mm	%	mm		
67	SLE rare	-0.11061050		500.0	108.069	-3.86
68	SLE freq	-0.11061570		500.0	103.349	-3.81
69	SLE q.p.	-0.11232590		500.0	104.114	-3.87

Cedimento massimo in cmb n. 69 = -3.87 mm

Elemento Platea n. 463

Cmb.	Tipo	Car. Netto		Prof.	Sigm.Z/Sigm.Lit.	Cedim.Edom.
n.	N/mm ²	mm	%	mm		
67	SLE rare	0.00000000		500.0	3.101	-0.05
68	SLE freq	-0.05999685		500.0	28.633	-1.92
69	SLE q.p.	-0.09388106		500.0	41.910	-2.94

ANT S.r.l.		CODE CODICE C23ANTW001A019R00
		PAGE 193 di/of 209

Cedimento massimo in cmb n. 69 = -2.94 mm

Elemento Platea n. 464

Cmb.	Tipo	Car. Netto		Prof.	Sigm.Z/Sigm.Lit.	Cedim.Edom.
n.	N/mm ²	mm	%	mm		
67	SLE rare	0.00000000		500.0	3.690	-0.06
68	SLE freq	-0.06083113		500.0	33.365	-2.25
69	SLE q.p.	-0.09411822		500.0	48.601	-3.43

Cedimento massimo in cmb n. 69 = -3.43 mm

Elemento Platea n. 465

Cmb.	Tipo	Car. Netto		Prof.	Sigm.Z/Sigm.Lit.	Cedim.Edom.
n.	N/mm ²	mm	%	mm		
67	SLE rare	0.00000000		500.0	4.384	-0.07
68	SLE freq	-0.06175494		500.0	37.956	-2.47
69	SLE q.p.	-0.09441905		500.0	54.933	-3.72

Cedimento massimo in cmb n. 69 = -3.72 mm

Elemento Platea n. 466

Cmb.	Tipo	Car. Netto		Prof.	Sigm.Z/Sigm.Lit.	Cedim.Edom.
n.	N/mm ²	mm	%	mm		
67	SLE rare	0.00000000		500.0	5.202	-0.08
68	SLE freq	-0.06278013		500.0	42.268	-2.62
69	SLE q.p.	-0.09478471		500.0	60.685	-3.91

Cedimento massimo in cmb n. 69 = -3.91 mm

Elemento Platea n. 467

Cmb.	Tipo	Car. Netto		Prof.	Sigm.Z/Sigm.Lit.	Cedim.Edom.
n.	N/mm ²	mm	%	mm		
67	SLE rare	0.00000000		500.0	6.169	-0.10
68	SLE freq	-0.06391840		500.0	46.247	-2.73
69	SLE q.p.	-0.09521490		500.0	65.760	-4.02

Cedimento massimo in cmb n. 69 = -4.02 mm

ANT S.r.l.		CODE CODICE C23ANTW001A019R00
		PAGE 194 di/of 209

Elemento Platea n. 468

Cmb.	Tipo	Car. Netto		Prof.	Sigm.Z/Sigm.Lit.	Cedim.Edom.
n.	N/mm ²	mm	%	mm		
67	SLE rare	0.00000000		500.0	7.315	-0.12
68	SLE freq	-0.06517448		500.0	49.883	-2.81
69	SLE q.p.	-0.09570753		500.0	70.148	-4.09

Cedimento massimo in cmb n. 69 = -4.09 mm

Elemento Platea n. 469

Cmb.	Tipo	Car. Netto		Prof.	Sigm.Z/Sigm.Lit.	Cedim.Edom.
n.	N/mm ²	mm	%	mm		
67	SLE rare	0.00000000		500.0	8.681	-0.15
68	SLE freq	-0.06656190		500.0	53.234	-2.88
69	SLE q.p.	-0.09626212		500.0	73.925	-4.12

Cedimento massimo in cmb n. 69 = -4.12 mm

Elemento Platea n. 470

Cmb.	Tipo	Car. Netto		Prof.	Sigm.Z/Sigm.Lit.	Cedim.Edom.
n.	N/mm ²	mm	%	mm		
67	SLE rare	0.00000000		500.0	10.319	-0.18
68	SLE freq	-0.06809089		500.0	56.362	-2.93
69	SLE q.p.	-0.09688045		500.0	77.182	-4.13

Cedimento massimo in cmb n. 69 = -4.13 mm

Elemento Platea n. 471

Cmb.	Tipo	Car. Netto		Prof.	Sigm.Z/Sigm.Lit.	Cedim.Edom.
n.	N/mm ²	mm	%	mm		
67	SLE rare	0.00000000		500.0	12.291	-0.22
68	SLE freq	-0.06977072		500.0	59.339	-2.98
69	SLE q.p.	-0.09756234		500.0	80.022	-4.13

Cedimento massimo in cmb n. 69 = -4.13 mm

Elemento Platea n. 472

Cmb.	Tipo	Car. Netto		Prof.	Sigm.Z/Sigm.Lit.	Cedim.Edom.
------	------	------------	--	-------	------------------	-------------

ANT S.r.l.		CODE CODICE C23ANTW001A019R00
		PAGE 195 di/of 209

n.	N/mm ²	mm	%	mm		
67	SLE rare	0.00000000		500.0	14.675	-0.27
68	SLE freq	-0.07161278		500.0	62.245	-3.02
69	SLE q.p.	-0.09831009		500.0	82.552	-4.12

Cedimento massimo in cmb n. 69 = -4.12 mm

Elemento Platea n. 473

Cmb.	Tipo	Car. Netto	Prof.	Sigm.Z/Sigm.Lit.	Cedim.Edom.
n.	N/mm ²	mm	%	mm	
67	SLE rare	0.00000000	500.0	17.567	-0.34
68	SLE freq	-0.07362733	500.0	65.168	-3.06
69	SLE q.p.	-0.09947063	500.0	82.552	-4.10

Cedimento massimo in cmb n. 69 = -4.10 mm

Elemento Platea n. 474

Cmb.	Tipo	Car. Netto	Prof.	Sigm.Z/Sigm.Lit.	Cedim.Edom.
n.	N/mm ²	mm	%	mm	
67	SLE rare	0.00000000	500.0	21.097	-0.43
68	SLE freq	-0.07582458	500.0	68.220	-3.10
69	SLE q.p.	-0.10039090	500.0	84.883	-4.07

Cedimento massimo in cmb n. 69 = -4.07 mm

Elemento Platea n. 475

Cmb.	Tipo	Car. Netto	Prof.	Sigm.Z/Sigm.Lit.	Cedim.Edom.
n.	N/mm ²	mm	%	mm	
67	SLE rare	0.00000000	500.0	25.433	-0.54
68	SLE freq	-0.07821542	500.0	71.555	-3.15
69	SLE q.p.	-0.10138640	500.0	87.151	-4.05

Cedimento massimo in cmb n. 69 = -4.05 mm

Elemento Platea n. 476

Cmb.	Tipo	Car. Netto	Prof.	Sigm.Z/Sigm.Lit.	Cedim.Edom.
n.	N/mm ²	mm	%	mm	
67	SLE rare	-0.00158676	500.0	30.787	-0.70

ANT S.r.l.		CODE CODICE C23ANTW001A019R00
		PAGE 196 di/of 209

68	SLE freq	-0.08080844	500.0	75.357	-3.20
69	SLE q.p.	-0.10245950	500.0	89.531	-4.02

Cedimento massimo in cmb n. 69 = -4.02 mm

Elemento Platea n. 477

Cmb.	Tipo	Car. Netto		Prof.	Sigm.Z/Sigm.Lit.	Cedim.Edom.
n.	N/mm ²	mm	%	mm		
67	SLE rare	-0.01074708		500.0	37.299	-0.93
68	SLE freq	-0.08361659		500.0	79.472	-3.25
69	SLE q.p.	-0.10310280		500.0	95.026	-3.99

Cedimento massimo in cmb n. 69 = -3.99 mm

Elemento Platea n. 478

Cmb.	Tipo	Car. Netto		Prof.	Sigm.Z/Sigm.Lit.	Cedim.Edom.
n.	N/mm ²	mm	%	mm		
67	SLE rare	-0.02057244		500.0	45.166	-1.23
68	SLE freq	-0.08664178		500.0	84.015	-3.40
69	SLE q.p.	-0.10430990		500.0	98.048	-4.07

Cedimento massimo in cmb n. 69 = -4.07 mm

Elemento Platea n. 479

Cmb.	Tipo	Car. Netto		Prof.	Sigm.Z/Sigm.Lit.	Cedim.Edom.
n.	N/mm ²	mm	%	mm		
67	SLE rare	-0.02838359		500.0	51.890	-1.47
68	SLE freq	-0.09838362		500.0	87.428	-3.43
69	SLE q.p.	-0.11710300		500.0	100.141	-4.02

Cedimento massimo in cmb n. 69 = -4.02 mm

Elemento Platea n. 480

Cmb.	Tipo	Car. Netto		Prof.	Sigm.Z/Sigm.Lit.	Cedim.Edom.
n.	N/mm ²	mm	%	mm		
67	SLE rare	-0.04477298		500.0	61.304	-1.88
68	SLE freq	-0.10081340		500.0	91.523	-3.53
69	SLE q.p.	-0.11579980		500.0	102.319	-4.02

ANT S.r.l.		CODE CODICE C23ANTW001A019R00
		PAGE 197 di/of 209

Cedimento massimo in cmb n. 69 = -4.02 mm

Elemento Platea n. 481

Cmb.	Tipo	Car. Netto		Prof.	Sigm.Z/Sigm.Lit.	Cedim.Edom.
n.	N/mm ²	mm	%	mm		
67	SLE rare	-0.06024070		500.0	71.556	-2.32
68	SLE freq	-0.10313970		500.0	95.056	-3.59
69	SLE q.p.	-0.11579980		500.0	102.319	-4.02

Cedimento massimo in cmb n. 69 = -4.02 mm

Elemento Platea n. 482

Cmb.	Tipo	Car. Netto		Prof.	Sigm.Z/Sigm.Lit.	Cedim.Edom.
n.	N/mm ²	mm	%	mm		
67	SLE rare	-0.07585807		500.0	82.554	-2.79
68	SLE freq	-0.10547520		500.0	98.133	-3.66
69	SLE q.p.	-0.11461180		500.0	103.619	-3.97

Cedimento massimo in cmb n. 69 = -3.97 mm

Elemento Platea n. 483

Cmb.	Tipo	Car. Netto		Prof.	Sigm.Z/Sigm.Lit.	Cedim.Edom.
n.	N/mm ²	mm	%	mm		
67	SLE rare	-0.09161635		500.0	93.942	-3.29
68	SLE freq	-0.10781650		500.0	100.612	-3.72
69	SLE q.p.	-0.11339550		500.0	104.201	-3.92

Cedimento massimo in cmb n. 69 = -3.92 mm

Elemento Platea n. 484

Cmb.	Tipo	Car. Netto		Prof.	Sigm.Z/Sigm.Lit.	Cedim.Edom.
n.	N/mm ²	mm	%	mm		
67	SLE rare	-0.11061050		500.0	108.069	-3.86
68	SLE freq	-0.11061570		500.0	103.349	-3.81
69	SLE q.p.	-0.11214870		500.0	103.978	-3.86

Cedimento massimo in cmb n. 69 = -3.86 mm

ANT S.r.l.		CODE CODICE C23ANTW001A019R00
		PAGE 198 di/of 209

Elemento Platea n. 485

Cmb.	Tipo	Car. Netto		Prof.	Sigm.Z/Sigm.Lit.	Cedim.Edom.
n.	N/mm ²	mm	%	mm		
67	SLE rare	0.00000000		500.0	8.086	-0.22
68	SLE freq	-0.06642260		500.0	31.149	-2.12
69	SLE q.p.	-0.09169368		500.0	41.051	-2.88

Cedimento massimo in cmb n. 69 = -2.88 mm

Elemento Platea n. 486

Cmb.	Tipo	Car. Netto		Prof.	Sigm.Z/Sigm.Lit.	Cedim.Edom.
n.	N/mm ²	mm	%	mm		
67	SLE rare	0.00000000		500.0	9.567	-0.27
68	SLE freq	-0.06714176		500.0	36.252	-2.48
69	SLE q.p.	-0.09196808		500.0	47.616	-3.35

Cedimento massimo in cmb n. 69 = -3.35 mm

Elemento Platea n. 487

Cmb.	Tipo	Car. Netto		Prof.	Sigm.Z/Sigm.Lit.	Cedim.Edom.
n.	N/mm ²	mm	%	mm		
67	SLE rare	0.00000000		500.0	11.189	-0.31
68	SLE freq	-0.06794560		500.0	41.172	-2.71
69	SLE q.p.	-0.09230790		500.0	53.835	-3.64

Cedimento massimo in cmb n. 69 = -3.64 mm

Elemento Platea n. 488

Cmb.	Tipo	Car. Netto		Prof.	Sigm.Z/Sigm.Lit.	Cedim.Edom.
n.	N/mm ²	mm	%	mm		
67	SLE rare	0.00000000		500.0	12.948	-0.36
68	SLE freq	-0.06884395		500.0	45.757	-2.87
69	SLE q.p.	-0.09271490		500.0	59.493	-3.82

Cedimento massimo in cmb n. 69 = -3.82 mm

Elemento Platea n. 489

Cmb.	Tipo	Car. Netto		Prof.	Sigm.Z/Sigm.Lit.	Cedim.Edom.
------	------	------------	--	-------	------------------	-------------

ANT S.r.l.		CODE CODICE C23ANTW001A019R00
		PAGE 199 di/of 209

n.	N/mm ²	mm	%	mm		
67	SLE rare	0.00000000		500.0	14.855	-0.41
68	SLE freq	-0.06984621		500.0	49.943	-2.98
69	SLE q.p.	-0.09318959		500.0	64.497	-3.94

Cedimento massimo in cmb n. 69 = -3.94 mm

Elemento Platea n. 490

Cmb.	Tipo	Car. Netto	Prof.	Sigm.Z/Sigm.Lit.	Cedim.Edom.
n.	N/mm ²	mm	%	mm	
67	SLE rare	0.00000000	500.0	16.926	-0.46
68	SLE freq	-0.07095589	500.0	53.721	-3.05
69	SLE q.p.	-0.09373035	500.0	68.836	-4.00

Cedimento massimo in cmb n. 69 = -4.00 mm

Elemento Platea n. 491

Cmb.	Tipo	Car. Netto	Prof.	Sigm.Z/Sigm.Lit.	Cedim.Edom.
n.	N/mm ²	mm	%	mm	
67	SLE rare	0.00000000	500.0	19.200	-0.52
68	SLE freq	-0.07218384	500.0	57.152	-3.11
69	SLE q.p.	-0.09433760	500.0	72.585	-4.04

Cedimento massimo in cmb n. 69 = -4.04 mm

Elemento Platea n. 492

Cmb.	Tipo	Car. Netto	Prof.	Sigm.Z/Sigm.Lit.	Cedim.Edom.
n.	N/mm ²	mm	%	mm	
67	SLE rare	0.00000000	500.0	21.717	-0.58
68	SLE freq	-0.07353872	500.0	60.303	-3.16
69	SLE q.p.	-0.09501373	500.0	75.833	-4.05

Cedimento massimo in cmb n. 69 = -4.05 mm

Elemento Platea n. 493

Cmb.	Tipo	Car. Netto	Prof.	Sigm.Z/Sigm.Lit.	Cedim.Edom.
n.	N/mm ²	mm	%	mm	
67	SLE rare	-0.00151905	500.0	24.529	-0.67

ANT S.r.l.		CODE CODICE C23ANTW001A019R00
		PAGE 200 di/of 209

68	SLE freq	-0.07502805	500.0	63.254	-3.20
69	SLE q.p.	-0.09575911	500.0	78.682	-4.05

Cedimento massimo in cmb n. 69 = -4.05 mm

Elemento Platea n. 494

Cmb.	Tipo	Car. Netto		Prof.	Sigm.Z/Sigm.Lit.	Cedim.Edom.
n.	N/mm ²	mm	%	mm		
67	SLE rare	-0.00605021		500.0	27.689	-0.80
68	SLE freq	-0.07666155		500.0	66.088	-3.23
69	SLE q.p.	-0.09657675		500.0	81.235	-4.04

Cedimento massimo in cmb n. 69 = -4.04 mm

Elemento Platea n. 495

Cmb.	Tipo	Car. Netto		Prof.	Sigm.Z/Sigm.Lit.	Cedim.Edom.
n.	N/mm ²	mm	%	mm		
67	SLE rare	-0.01101224		500.0	31.263	-0.94
68	SLE freq	-0.07844780		500.0	68.898	-3.26
69	SLE q.p.	-0.09746855		500.0	83.604	-4.03

Cedimento massimo in cmb n. 69 = -4.03 mm

Elemento Platea n. 496

Cmb.	Tipo	Car. Netto		Prof.	Sigm.Z/Sigm.Lit.	Cedim.Edom.
n.	N/mm ²	mm	%	mm		
67	SLE rare	-0.01643642		500.0	35.339	-1.10
68	SLE freq	-0.08039538		500.0	71.801	-3.29
69	SLE q.p.	-0.09869707		500.0	83.604	-4.01

Cedimento massimo in cmb n. 69 = -4.01 mm

Elemento Platea n. 497

Cmb.	Tipo	Car. Netto		Prof.	Sigm.Z/Sigm.Lit.	Cedim.Edom.
n.	N/mm ²	mm	%	mm		
67	SLE rare	-0.02235358		500.0	40.043	-1.27
68	SLE freq	-0.08251370		500.0	74.954	-3.32
69	SLE q.p.	-0.09977811		500.0	85.922	-3.98

ANT S.r.l.		CODE CODICE C23ANTW001A019R00
		PAGE 201 di/of 209

Cedimento massimo in cmb n. 69 = -3.98 mm

Elemento Platea n. 498

Cmb.	Tipo	Car. Netto		Prof.	Sigm.Z/Sigm.Lit.	Cedim.Edom.
n.	N/mm ²	mm	%	mm		
67	SLE rare	-0.02878985		500.0	45.544	-1.46
68	SLE freq	-0.08481007		500.0	78.546	-3.35
69	SLE q.p.	-0.10094520		500.0	88.363	-3.96

Cedimento massimo in cmb n. 69 = -3.96 mm

Elemento Platea n. 499

Cmb.	Tipo	Car. Netto		Prof.	Sigm.Z/Sigm.Lit.	Cedim.Edom.
n.	N/mm ²	mm	%	mm		
67	SLE rare	-0.03576824		500.0	51.850	-1.68
68	SLE freq	-0.08729666		500.0	82.413	-3.39
69	SLE q.p.	-0.10183400		500.0	94.016	-3.94

Cedimento massimo in cmb n. 69 = -3.94 mm

Elemento Platea n. 500

Cmb.	Tipo	Car. Netto		Prof.	Sigm.Z/Sigm.Lit.	Cedim.Edom.
n.	N/mm ²	mm	%	mm		
67	SLE rare	-0.04325820		500.0	59.102	-1.96
68	SLE freq	-0.08997800		500.0	86.667	-3.53
69	SLE q.p.	-0.10315910		500.0	97.136	-4.03

Cedimento massimo in cmb n. 69 = -4.03 mm

Elemento Platea n. 501

Cmb.	Tipo	Car. Netto		Prof.	Sigm.Z/Sigm.Lit.	Cedim.Edom.
n.	N/mm ²	mm	%	mm		
67	SLE rare	-0.05241901		500.0	65.015	-2.14
68	SLE freq	-0.10191830		500.0	89.831	-3.54
69	SLE q.p.	-0.11588360		500.0	99.315	-3.98

Cedimento massimo in cmb n. 69 = -3.98 mm

ANT S.r.l.		CODE CODICE C23ANTW001A019R00
		PAGE 202 di/of 209

Elemento Platea n. 502

Cmb.	Tipo	Car. Netto		Prof.	Sigm.Z/Sigm.Lit.	Cedim.Edom.
n.	N/mm ²	mm	%	mm		
67	SLE rare	-0.06401493		500.0	72.921	-2.46
68	SLE freq	-0.10364320		500.0	93.564	-3.62
69	SLE q.p.	-0.11482360		500.0	101.618	-3.99

Cedimento massimo in cmb n. 69 = -3.99 mm

Elemento Platea n. 503

Cmb.	Tipo	Car. Netto		Prof.	Sigm.Z/Sigm.Lit.	Cedim.Edom.
n.	N/mm ²	mm	%	mm		
67	SLE rare	-0.07497010		500.0	81.087	-2.78
68	SLE freq	-0.10530580		500.0	96.675	-3.67
69	SLE q.p.	-0.11482360		500.0	101.618	-3.99

Cedimento massimo in cmb n. 69 = -3.99 mm

Elemento Platea n. 504

Cmb.	Tipo	Car. Netto		Prof.	Sigm.Z/Sigm.Lit.	Cedim.Edom.
n.	N/mm ²	mm	%	mm		
67	SLE rare	-0.08602669		500.0	89.495	-3.11
68	SLE freq	-0.10697060		500.0	99.280	-3.71
69	SLE q.p.	-0.11386440		500.0	103.064	-3.95

Cedimento massimo in cmb n. 69 = -3.95 mm

Elemento Platea n. 505

Cmb.	Tipo	Car. Netto		Prof.	Sigm.Z/Sigm.Lit.	Cedim.Edom.
n.	N/mm ²	mm	%	mm		
67	SLE rare	-0.09717774		500.0	97.876	-3.47
68	SLE freq	-0.10863430		500.0	101.249	-3.75
69	SLE q.p.	-0.11287950		500.0	103.807	-3.90

Cedimento massimo in cmb n. 69 = -3.90 mm

Elemento Platea n. 506

Cmb.	Tipo	Car. Netto		Prof.	Sigm.Z/Sigm.Lit.	Cedim.Edom.
------	------	------------	--	-------	------------------	-------------

ANT S.r.l.		CODE CODICE C23ANTW001A019R00
		PAGE 203 di/of 209

n.	N/mm ²	mm	%	mm		
67	SLE rare	-0.11061050		500.0	108.069	-3.86
68	SLE freq	-0.11061570		500.0	103.349	-3.81
69	SLE q.p.	-0.11186650		500.0	103.759	-3.86

Cedimento massimo in cmb n. 67 = -3.86 mm

Elemento Platea n. 507

Cmb.	Tipo	Car. Netto	Prof.	Sigm.Z/Sigm.Lit.	Cedim.Edom.	
n.	N/mm ²	mm	%	mm		
67	SLE rare	-0.02749090		500.0	20.126	-1.08
68	SLE freq	-0.07390242		500.0	34.077	-2.34
69	SLE q.p.	-0.08883654		500.0	39.930	-2.79

Cedimento massimo in cmb n. 69 = -2.79 mm

Elemento Platea n. 508

Cmb.	Tipo	Car. Netto	Prof.	Sigm.Z/Sigm.Lit.	Cedim.Edom.	
n.	N/mm ²	mm	%	mm		
67	SLE rare	-0.02889592		500.0	23.552	-1.29
68	SLE freq	-0.07448767		500.0	39.613	-2.73
69	SLE q.p.	-0.08915978		500.0	46.330	-3.25

Cedimento massimo in cmb n. 69 = -3.25 mm

Elemento Platea n. 509

Cmb.	Tipo	Car. Netto	Prof.	Sigm.Z/Sigm.Lit.	Cedim.Edom.	
n.	N/mm ²	mm	%	mm		
67	SLE rare	-0.03041533		500.0	27.004	-1.44
68	SLE freq	-0.07515192		500.0	44.917	-2.98
69	SLE q.p.	-0.08955064		500.0	52.401	-3.54

Cedimento massimo in cmb n. 69 = -3.54 mm

Elemento Platea n. 510

Cmb.	Tipo	Car. Netto	Prof.	Sigm.Z/Sigm.Lit.	Cedim.Edom.	
n.	N/mm ²	mm	%	mm		
67	SLE rare	-0.03207126		500.0	30.402	-1.57

ANT S.r.l.		CODE CODICE C23ANTW001A019R00
		PAGE 204 di/of 209

68	SLE freq	-0.07590266	500.0	49.818	-3.15
69	SLE q.p.	-0.09001185	500.0	57.937	-3.72

Cedimento massimo in cmb n. 69 = -3.72 mm

Elemento Platea n. 511

Cmb.	Tipo	Car. Netto		Prof.	Sigm.Z/Sigm.Lit.	Cedim.Edom.
n.	N/mm ²	mm	%	mm		
67	SLE rare	-0.03388690		500.0	33.714	-1.67
68	SLE freq	-0.07674668		500.0	54.245	-3.26
69	SLE q.p.	-0.09054486		500.0	62.848	-3.83

Cedimento massimo in cmb n. 69 = -3.83 mm

Elemento Platea n. 512

Cmb.	Tipo	Car. Netto		Prof.	Sigm.Z/Sigm.Lit.	Cedim.Edom.
n.	N/mm ²	mm	%	mm		
67	SLE rare	-0.03587362		500.0	36.932	-1.77
68	SLE freq	-0.07768601		500.0	58.188	-3.34
69	SLE q.p.	-0.09114867		500.0	67.123	-3.90

Cedimento massimo in cmb n. 69 = -3.90 mm

Elemento Platea n. 513

Cmb.	Tipo	Car. Netto		Prof.	Sigm.Z/Sigm.Lit.	Cedim.Edom.
n.	N/mm ²	mm	%	mm		
67	SLE rare	-0.03805835		500.0	40.097	-1.85
68	SLE freq	-0.07872839		500.0	61.712	-3.39
69	SLE q.p.	-0.09182494		500.0	70.835	-3.93

Cedimento massimo in cmb n. 69 = -3.93 mm

Elemento Platea n. 514

Cmb.	Tipo	Car. Netto		Prof.	Sigm.Z/Sigm.Lit.	Cedim.Edom.
n.	N/mm ²	mm	%	mm		
67	SLE rare	-0.04045950		500.0	43.252	-1.94
68	SLE freq	-0.07988075		500.0	64.891	-3.42
69	SLE q.p.	-0.09257676		500.0	74.072	-3.95

ANT S.r.l.		CODE CODICE C23ANTW001A019R00
		PAGE 205 di/of 209

Cedimento massimo in cmb n. 69 = -3.95 mm

Elemento Platea n. 515

Cmb.	Tipo	Car. Netto		Prof.	Sigm.Z/Sigm.Lit.	Cedim.Edom.
n.	N/mm ²	mm	%	mm		
67	SLE rare	-0.04309536		500.0	46.454	-2.02
68	SLE freq	-0.08114840		500.0	67.811	-3.45
69	SLE q.p.	-0.09340532		500.0	76.931	-3.96

Cedimento massimo in cmb n. 69 = -3.96 mm

Elemento Platea n. 516

Cmb.	Tipo	Car. Netto		Prof.	Sigm.Z/Sigm.Lit.	Cedim.Edom.
n.	N/mm ²	mm	%	mm		
67	SLE rare	-0.04598612		500.0	49.764	-2.12
68	SLE freq	-0.08253918		500.0	70.561	-3.47
69	SLE q.p.	-0.09431439		500.0	79.516	-3.95

Cedimento massimo in cmb n. 69 = -3.95 mm

Elemento Platea n. 517

Cmb.	Tipo	Car. Netto		Prof.	Sigm.Z/Sigm.Lit.	Cedim.Edom.
n.	N/mm ²	mm	%	mm		
67	SLE rare	-0.04915061		500.0	53.254	-2.21
68	SLE freq	-0.08405973		500.0	73.240	-3.48
69	SLE q.p.	-0.09530669		500.0	81.935	-3.94

Cedimento massimo in cmb n. 69 = -3.94 mm

Elemento Platea n. 518

Cmb.	Tipo	Car. Netto		Prof.	Sigm.Z/Sigm.Lit.	Cedim.Edom.
n.	N/mm ²	mm	%	mm		
67	SLE rare	-0.05260730		500.0	57.015	-2.31
68	SLE freq	-0.08571675		500.0	75.970	-3.50
69	SLE q.p.	-0.09638510		500.0	84.319	-3.92

Cedimento massimo in cmb n. 69 = -3.92 mm

ANT S.r.l.		CODE CODICE C23ANTW001A019R00
		PAGE 206 di/of 209

Elemento Platea n. 519

Cmb.	Tipo	Car. Netto		Prof.	Sigm.Z/Sigm.Lit.	Cedim.Edom.
n.	N/mm ²	mm	%	mm		
67	SLE rare	-0.05637490		500.0	61.182	-2.42
68	SLE freq	-0.08751792		500.0	78.912	-3.51
69	SLE q.p.	-0.09755374		500.0	86.840	-3.90

Cedimento massimo in cmb n. 69 = -3.90 mm

Elemento Platea n. 520

Cmb.	Tipo	Car. Netto		Prof.	Sigm.Z/Sigm.Lit.	Cedim.Edom.
n.	N/mm ²	mm	%	mm		
67	SLE rare	-0.06046891		500.0	65.919	-2.54
68	SLE freq	-0.08946893		500.0	82.259	-3.53
69	SLE q.p.	-0.09881512		500.0	89.699	-3.89

Cedimento massimo in cmb n. 69 = -3.89 mm

Elemento Platea n. 521

Cmb.	Tipo	Car. Netto		Prof.	Sigm.Z/Sigm.Lit.	Cedim.Edom.
n.	N/mm ²	mm	%	mm		
67	SLE rare	-0.06490642		500.0	71.127	-2.67
68	SLE freq	-0.09158128		500.0	85.836	-3.55
69	SLE q.p.	-0.10017870		500.0	92.697	-3.88

Cedimento massimo in cmb n. 69 = -3.88 mm

Elemento Platea n. 522

Cmb.	Tipo	Car. Netto		Prof.	Sigm.Z/Sigm.Lit.	Cedim.Edom.
n.	N/mm ²	mm	%	mm		
67	SLE rare	-0.06967663		500.0	76.926	-2.88
68	SLE freq	-0.09386239		500.0	89.755	-3.68
69	SLE q.p.	-0.10165790		500.0	95.946	-3.97

Cedimento massimo in cmb n. 69 = -3.97 mm

Elemento Platea n. 523

Cmb.	Tipo	Car. Netto		Prof.	Sigm.Z/Sigm.Lit.	Cedim.Edom.
------	------	------------	--	-------	------------------	-------------

ANT S.r.l.		CODE CODICE C23ANTW001A019R00
		PAGE 207 di/of 209

n.	N/mm ²	mm	%	mm		
67	SLE rare	-0.08040905		500.0	81.434	-2.97
68	SLE freq	-0.10603380		500.0	92.628	-3.67
69	SLE q.p.	-0.11429320		500.0	98.237	-3.93

Cedimento massimo in cmb n. 69 = -3.93 mm

Elemento Platea n. 524

Cmb.	Tipo	Car. Netto	Prof.	Sigm.Z/Sigm.Lit.	Cedim.Edom.	
n.	N/mm ²	mm	%	mm		
67	SLE rare	-0.08642276		500.0	87.128	-3.15
68	SLE freq	-0.10693790		500.0	95.938	-3.73
69	SLE q.p.	-0.11355020		500.0	100.702	-3.95

Cedimento massimo in cmb n. 69 = -3.95 mm

Elemento Platea n. 525

Cmb.	Tipo	Car. Netto	Prof.	Sigm.Z/Sigm.Lit.	Cedim.Edom.	
n.	N/mm ²	mm	%	mm		
67	SLE rare	-0.09212289		500.0	92.540	-3.32
68	SLE freq	-0.10782780		500.0	98.558	-3.75
69	SLE q.p.	-0.11355020		500.0	100.702	-3.95

Cedimento massimo in cmb n. 69 = -3.95 mm

Elemento Platea n. 526

Cmb.	Tipo	Car. Netto	Prof.	Sigm.Z/Sigm.Lit.	Cedim.Edom.	
n.	N/mm ²	mm	%	mm		
67	SLE rare	-0.09786826		500.0	97.725	-3.49
68	SLE freq	-0.10871170		500.0	100.615	-3.76
69	SLE q.p.	-0.11288970		500.0	102.337	-3.92

Cedimento massimo in cmb n. 69 = -3.92 mm

Elemento Platea n. 527

Cmb.	Tipo	Car. Netto	Prof.	Sigm.Z/Sigm.Lit.	Cedim.Edom.	
n.	N/mm ²	mm	%	mm		
67	SLE rare	-0.10365390		500.0	102.494	-3.67

ANT S.r.l.		CODE CODICE C23ANTW001A019R00
		PAGE 208 di/of 209

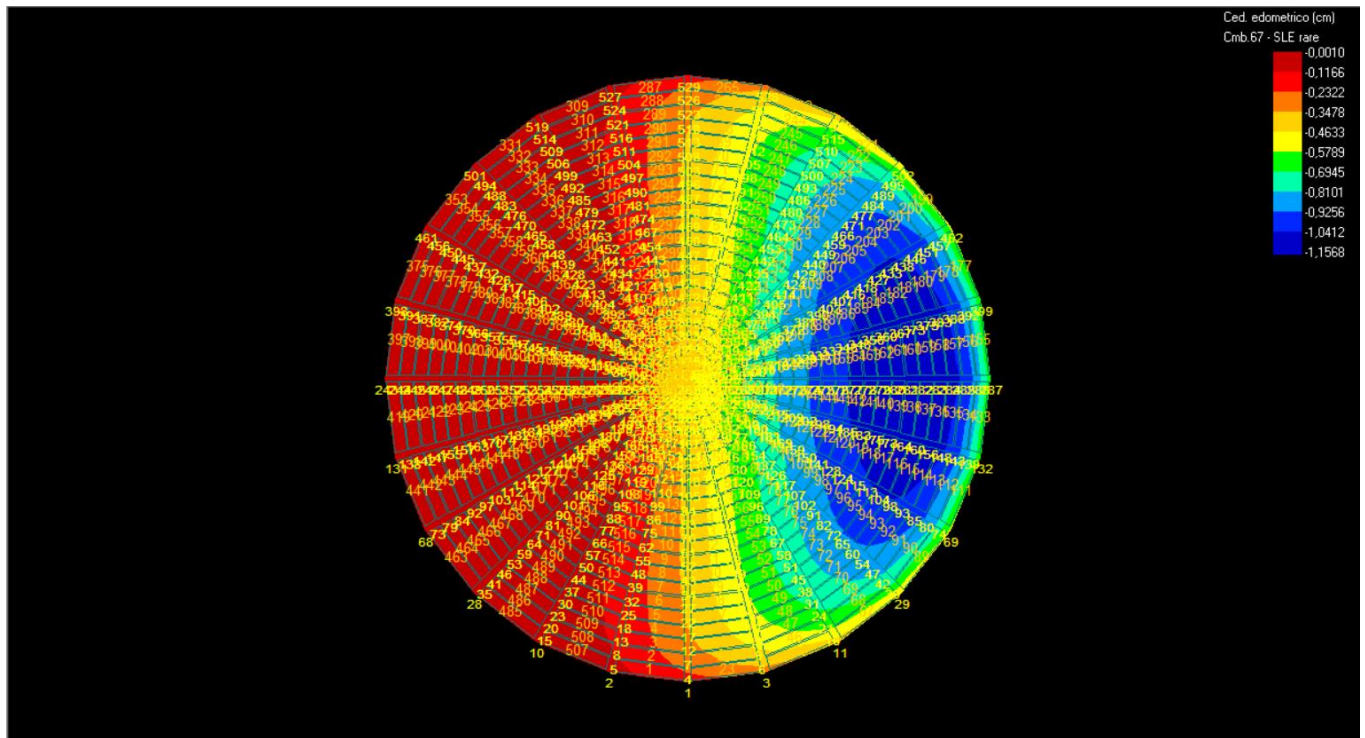
68	SLE freq	-0.10958660	500.0	101.988	-3.78
69	SLE q.p.	-0.11220660	500.0	103.292	-3.88

Cedimento massimo in cmb n. 69 = -3.88 mm

Elemento Platea n. 528

Cmb.	Tipo	Car. Netto	Prof.	Sigm.Z/Sigm.Lit.	Cedim.Edom.
n.	N/mm ²	mm %	mm		
67	SLE rare	-0.11061050	500.0	108.069	-3.86
68	SLE freq	-0.11061570	500.0	103.349	-3.81
69	SLE q.p.	-0.11149850	500.0	103.473	-3.84

Cedimento massimo in cmb n. 67 = -3.86 mm



03_INT_MAPPA_CEDIMENTI_EDEOMETRICI_001

ANT S.r.l.		CODE CODICE C23ANTW001A019R00
		PAGE 209 di/of 209

24. CONCLUSIONI

Considerato quanto sopra, le verifiche sul sistema di fondazione analizzato risultano essere soddisfatte. Si precisa ancora una volta che il calcolo ha carattere preliminare, dovrà essere verificato in fase esecutiva considerando i carichi effettivamente trasmessi dalla sovrastruttura.